



ეროვნული  
მეცნიერებების

524  
1989

ISSN—0132—1447

საქართველოს სსრ  
აკადემიის აკადემიუ  
მოგენე

# СООБЩЕНИЯ

АКАДЕМИИ НАУК  
ГРУЗИНСКОЙ ССР

# BULLETIN

OF THE ACADEMY OF SCIENCES  
OF THE GEORGIAN SSR

ტომ 133 თომ

№ 2

თებერვალი 1989 ФЕВРАЛЬ

თბილისი • TBILISI

F524  
1939  
LIBRARY OF THE  
ACADEMY OF SCIENCES  
OF THE GEORGIAN SSR

საქართველოს სსრ  
აკადემიური აკადემიის  
ამჟამანა

# ამჟამანა

## СООБЩЕНИЯ

АКАДЕМИИ НАУК  
ГРУЗИНСКОЙ ССР

## BULLETIN

OF THE ACADEMY OF SCIENCES  
OF THE GEORGIAN SSR

ტომი 133 თომ

№ 2

თებერვალი 1989 ФЕВРАЛЬ

ჟურნალი დაარსებულია 1940 წელს  
Журнал основан в 1940 году

საქართველოს სსრ მეცნიერებათა აკადემიის კოველფოსური სამეცნიერო ჟურნალი „მომბე“  
ქართულ, რუსულ და ინგლისურ ენებზე

Ежемесячный научный журнал АН Грузинской ССР „Сообщения“  
на грузинском, русском и английском языках

### ს ა რ თ ვ ე ლ ი ს ს ი მ ა კ ი ს ი ს მ ა მ ბ ე ბ ი ს ი

გ. ალექსიძე, თ. ანდრონიქაშვილი, თ. ბერიძე (მთავარი რედაქტორის მოადგილი), თ. გამყრელიძე,  
ე. გამყრელიძე, გ. გველიანინი, გ. გომელაშვილი, რ. გორდელიანი (მთავარი რედაქტორის მოადგილი),  
გ. ზალიშვილი, ა. თაველიძე (მთავარი რედაქტორი), გ. კესიძე, ი. კოლუხაძე (მთავარი  
რედაქტორის მოადგილი), თ. კობალევიშვილი, გ. ლომინიძე, რ. მეტრევილი, დ. მუსეევიშვილი  
(მთავარი რედაქტორის მოადგილი), ბ. ნანეშვილი, თ. ონაინი, ბ. სალექვაძე (მთავარი რედაქტორის  
მოადგილი), ე. სენნიაშვილი, თ. ურუშაძე, გ. ციციშვილი, გ. ჭოლოშვილი, გ. ხვინგავა

### РЕДАКЦИОННАЯ КОЛЛЕГИЯ

М. А. Алексидзе, Т. Г. Андроникашвили, Т. Г. Беридзе (заместитель главного редактора), Т. В. Гамкрелидзе, Э. П. Гамкрелидзе, Г. Г. Гвелесиани, В. И. Гомелаури,  
Р. Б. Гордезiani (заместитель главного редактора), М. М. Заалишвили, Г. И. Квеситадзе, И. Т. Кигурадзе (заместитель главного редактора), Т. И. Копалешвили,  
Д. Г. Ломинадзе, Р. В. Метревели, Д. Л. Мухсхелишвили (заместитель главного редактора), Б. Р. Нанешвили, Т. Н. Ониани, М. Е. Салуквадзе (заместитель главного редактора),  
Э. А. Сехниашвили, А. Н. Тавхелидзе (главный редактор), Т. Т. Урушадзе, М. В. Хвингия, Г. Ш. Цицишвили, Г. С. Чогошвили

პასუხისმგებელი მდივანი ა. დებაგვილი  
Ответственный секретарь А. Б. Якобашвили

რედაქციის მისამართი: 380060, თბილისი, კუთუმ्बია ქ. 19, ტეл. 37-22-16.  
საქართველოს სსრ მეცნიერებათა აკადემიის სტამბა 380060, კუთუმ्बია ქ. 19, ტეл. 37-22-97.

Адрес редакции: 380060. Тбилиси, ул. Кутузова 19, тел. 37-22-16.  
Типография АН ГССР. 380060, Тбилиси, ул. Кутузова 19, тел. 37-22-97.

გადაეცა წარმოებას 25.01.1989. ხელმოწერილია დასაბეჭდად 22.03.1989. ფორმატი  
70×108<sup>1/16</sup>. მდგარი ზექდება. პრობოთი ნაბ. თ. 14. ბირ. საღ-გატარება 14.8.  
სააღრიცხო-საგამომცემლო თაბაზი 18.5. ტირაჟი 1100.  
უ 01108. შეკვ. № 254, ფასი 1 გ. 90 კაპ.

Сдано в набор 25.01.1988. Подписано к печати 22.03.1989. Формат 70×108<sup>1/16</sup>.  
Печать высокая. Усл. печ. л. 14.8, уч.-изд. л. 14, усл. кр.-отт. 14.8. Ти-  
раж 1100. УЗ 01108. Зак. № 254. Цена 1 р. 90 к.

## ୩ ୦ ୬ ୧ ୯ ୮ ୦

### ବାଟୀବାତିକା

*ଗ. ମୃଦୁ ପାଠା.	ବିଦେଶୀଭାଷାରେ ବିଦେଶୀଭାଷାରେ ବିଦେଶୀଭାଷାରେ ବିଦେଶୀଭାଷାରେ	244
*ର. କୁଳାଚିତ୍ତବାଦୀ.	ବିଦେଶୀଭାଷାରେ ବିଦେଶୀଭାଷାରେ ବିଦେଶୀଭାଷାରେ ବିଦେଶୀଭାଷାରେ	246
*ଲ. ଲାନ୍ଧିରା.	PW -ବ୍ୟବହାରିତ ବ୍ୟବହାରିତ ବ୍ୟବହାରିତ ବ୍ୟବହାରିତ	251
*ମ. ଗୁଣ୍ଡାରାଜ୍.	ବିଦେଶୀଭାଷାରେ ବିଦେଶୀଭାଷାରେ ବିଦେଶୀଭାଷାରେ ବିଦେଶୀଭାଷାରେ	255
*ସ. ଲାଗୁ ନନ୍ଦା.	ବିଦେଶୀଭାଷାରେ ବିଦେଶୀଭାଷାରେ ବିଦେଶୀଭାଷାରେ ବିଦେଶୀଭାଷାରେ	259
*କ. ଅତିରିକ୍ତ.	ବିଦେଶୀଭାଷାରେ ବିଦେଶୀଭାଷାରେ ବିଦେଶୀଭାଷାରେ ବିଦେଶୀଭାଷାରେ	264
*ଲ. ଉନ୍ନତିକାରୀ.	L(R <sub>n</sub> ) ବିଦେଶୀଭାଷାରେ ବିଦେଶୀଭାଷାରେ ବିଦେଶୀଭାଷାରେ	266
ବାଟୀବାତିକାରୀ ପରିଚିତି		
*ମ. କୁମାର, ମ. କୁମାର, ମ. କୁମାର ମନ୍ଦିର, ଏକାଶଭାବରେ ବିଦେଶୀଭାଷାରେ	ବିଦେଶୀଭାଷାରେ ବିଦେଶୀଭାଷାରେ ବିଦେଶୀଭାଷାରେ ବିଦେଶୀଭାଷାରେ	271

### ଭାବିତାବିଧିବିଷୟ

*ଲ. ଗୁଣ୍ଡାରାଜ୍.	ଭାବିତାବିଧିବିଷୟ ବିଦେଶୀଭାଷାରେ ବିଦେଶୀଭାଷାରେ ବିଦେଶୀଭାଷାରେ	276
-----------------	---	-----

### ବିଭାଗିତା

*ମ. ଗାମ୍ପାର୍କାରୀ.	ବିଭାଗିତା ବିଭାଗିତା ବିଭାଗିତା ବିଭାଗିତା	279
*ମ. ମାର୍କୋମାର୍କା.	ବିଭାଗିତା ବିଭାଗିତା ବିଭାଗିତା ବିଭାଗିତା	284
*ମ. କାଶିଶାଖା.	ବିଭାଗିତା ବିଭାଗିତା ବିଭାଗିତା ବିଭାଗିତା	287

### ବିଭାଗିତା

*ମ. ସତ୍ୟାକାଶ ମନ୍ଦିର.	ବିଭାଗିତା ବିଭାଗିତା ବିଭାଗିତା ବିଭାଗିତା	292
*ମ. କାଶିଶାଖା.	ବିଭାଗିତା ବିଭାଗିତା ବିଭାଗିତା ବିଭାଗିତା	296

\* ବାଟୀବାତିକାରୀ ପରିଚିତି ବିଭାଗିତା ବିଭାଗିତା ବିଭାଗିତା ବିଭାଗିତା

### സിംഹാലിനഗി

\*ഡ. ടൗട്ടേർ റിക്ക്. സാജാർത്തുലൻസ് ഖോഗിര്ത എംഗാൾക്കുടാ വൈല്യാന്തുർ ചാർമനാഫ്രെഞ്ചി  
Ca—Na മെംഡ്രോൾ ശീംഗ്രേഡിസ് സ്റ്റർക്കുർബുൾഡിസ് ശേശാക്കേഡ് 351

### സാമ്പഠിംഗ് ഘടകങ്ങൾ

\*ഡ. ധനേന്ദ്ര ശ്രീ ല. ന. കാരി കുമാർ. സാഡിരുപ്പലിസ് മന്ദർബുംഗേഡിസ് ഗാബ്ലേനാ സൈറ്റുൾഹി  
ശൈമോജേഡിസ് എൽഇംസിയർനബാങ്ക് 356

### ഘടകാലിനഗി

\*ഡ. കെ. ശ്രീകുമാര ഇംഗ്രേസ്, ഡ. കെ. കെ. ലാക്കു ലിക്ക്, ഡ. മാർഗരോറ ഓ. ഗാബിസിംഗ്, ത. കുമാർ ബിന്ദിക്ക്. ഫുലാറിസ് കൊമിസ്ക്കോ ഭോഗ്യേഡീഷി അറോലിന്റാം സിലിന്റോമാന്തുരുമുഡിസ് ചാർമനേഡിസ് ഷിറ്റിസ് പ്രൈസ്

### ഘടകാനുബന്ധങ്ങൾ

\*ഡ. എസാതോൻ. എസിന്റുർക്കുലി അമ്രകാവോസ് മാക്സാസായോഡുലാ ഗാബ്ലേനിസ് ശേശാക്കേഡ് ദ്രോകാഡി  
സിസ്റ്റേമിസ് ഹൈവോറി ദാദ്വേഡിസ് ശൈളാസൈറ്റിസാസ് 364

### പിഡിക്കാനുബന്ധം

\*ഡ. ലൗറേ ലിംഗം. നീറു സ്വേച്ഛാസ്കോ സിമ്പ്രോഡിസ് മീന്റേ നോക്കാസീ ഗാമ്പുള ശൈലാപിൻഡി  
സാമ്പാടിക്കുമിലേഡിംഗ് ട്രാല്ലേഡിസ് മിന്റ മാസിസ ഗാഡാത്രാനിസ് ശേശാക്കേഡ് 367

### തുംബനുബന്ധം

\*ഡ. കുമാർ കുമാര ശ്രീ ല. തുംബനാപ്രേമിസ് ഇന്ത്രേൻസിഫോപിസ് ഗാമ്പുക്കാഡേബുൾ മേതന്തി ഡാ  
മെൻ ഗ്രേസേറ്റിലീൻറ്രെലി ഇസാബുത്യേഡ് 372

### ടോഡാഗതിബന്ധങ്ങൾ

\*ഡ. ലൈഫാ, റി. റൂക്സിംഗ്, ഡ. സൈറോ പോന്റോ, ഡ. മാർക്കു റിംഗ്. ഫാസാദു-  
ലൈത് സാജാർത്തുലൻസ് നീറത്തേരീനിനിനി നീഡാഗ്രേഡിസ് മിന്റനമന്റുമീത്രിശുൾ താവിഡു-  
ശുർഗ്ഗാനി 376

### പുന്താനുബന്ധം

\*ഡ. ലാക്കിഷ്വില, ഡ. കാരിക്ക്. സാജാർത്തുലൻസ് ഫ്ലോറിസാന്തോസ് ഖോഗിര്ത എംഗാൾ  
ട്രാപ്പിനിസ് ശേശാക്കേഡ് 378

### ദിവാനുബന്ധം ഔഷധനിലനിഗി

\*ഡ. ശാമുറാൻ, ത. പുരുഷോക്ക്, ഡ. റാജു. കുർത്താന്ത്രേഡിസ് ഗാബ്ലേനാ വാഴിസ്  
ലൈറ്റുമേഡിസ് പിന്നുവാദലൈറ്റുമേഡിസ് 383

### ദിവാനുബന്ധം ഡാ ശില്പകുമാർ

ഡ. ഗംഗനലാശ്രീ ല, ഡ. കുമാര (സാജീ. സി. മേറൻ. ഏ.ഡി. ശൈക്കു-കോർസ് പിന്നല്ലും).  
സാക്കുവരിസ് (Saccharomyces cerevisiae) ഇൻട്രാർശുരി ഫ്രോമിസമുൾലും ലൈ-  
ഇലൈർക്കുറ്റന്റുരോഡി. പ്രൂല്സിന്റുമേഡിസ് എലൈർഷും വെലിം 385

### അധാരിക്കാഡാ ഡാ കെ. കെ. ലിനിഗി

\*ഡ. കുമാരകുമാർ, ഡ. പുന്നന്റുക്ക്. താവോസ് ട്രോനിസ് ലൈനോമിന്റുന്റുലും തൃപിത്താലിന്റും  
ബൈശിസ്കി ശ്രേണിലും ഡാ ഗാമ്പുവാലും ക്രോഡേസ് ശീരിസ് ഏർബുരി എൻഡോഡേഡി 391

- \*४. से उल्लंघनश्वासी, ग्र. मासिश राज्य, वि. युवान निवाश्वासी 300  
मांगनीतिश्वरी व्यक्तिश्वरी सायंतक्षिणी

\*५. अपाश्वासी, ग्र. अल्पश्वासी (साव्य. स्वर भेद्य). व्याघ्रमीली व्याघ्रमीली, ड. जीर्ण राजा,  
स. साव्योही, त. प्रांगश्वराजा. उद्धवश्वरीश्वरी श्रियालसुव्यासी रामेश्वरी औषधामित्री  
ज्येष्ठीश्वरी श्वेतापिंश्वर नारीलम्हि वारावाधश्वरीश्वरी इति रामेश्वरीश्वरी व्यामिक्यव्यामिक्य 304

### अनालिखित शब्द

\*६. दृश्यमानश्वासी, ग्र. साक्षण दृश्यमानश्वरी, त. एन दृश्यमानश्वासी (साव्य. स्वर  
भेद्य). व्याघ्रमीली श्वेतापिंश्वरीश्वरी (साव्य. स्वर भेद्य). उद्धवश्वरी रामेश्वरी व्यामिक्य  
ज्येष्ठीश्वरी तेजवालि ज्येष्ठीश्वरी तेजवालि 307

\*७. शातकरिश्वासी, ग्र. शाक्तलाश्वासी श्वासी श्वासी श्वासी श्वासी श्वासी श्वासी  
श्वासी श्वासी श्वासी श्वासी श्वासी श्वासी श्वासी श्वासी श्वासी श्वासी श्वासी 311

— 60 —

- \*8. ପ୍ରାକ୍ତିକତାଙ୍କେ, ଲ. ରୂପ୍ୟ ଶୈଳାଶ୍ଵରୀଲୀ, ଲ. ହନ୍ଦାନାଶ୍ଵରୀଲୀ (ସାହ୍). ଲେଖକ ମେବ୍ର. ଅଧ୍ୟାତ୍ମମିଳିର ଚିତ୍ରପାଠୀରୁକୁଳନ୍ଦନରୁଟିର). ଲାଲଗନ-ଆଶ୍ରମିଲୁକୁଳଶ୍ଵରୀପାଠୀରୁ ଏବଂ କାନ୍ତିଲ୍ଲିମ୍ବରାଙ୍ଗିରୁ ମାତ୍ର ସାମ୍ବାର୍ଦ୍ଦିତାଙ୍କେ

\*9. ତେବେ ଦରକାଶ୍ଵରୀଲୀ, ପ. ଲ୍ଲିକ୍ରେଚ୍‌ଶ୍ଵରୀଲୀ, ଲ. ଥ୍ରେଲିକ୍ରେଚ୍‌ଶ୍ଵରୀଲୀ (ସାହ୍). ଲେଖକ ମେବ୍ର. ଅଧ୍ୟାତ୍ମମିଳିର ଅଧ୍ୟାତ୍ମମିଳିରୁ), ଆ. କାନ୍ତିଲ୍ଲିମ୍ବରାଙ୍ଗିରୁ କାନ୍ତିଲ୍ଲିମ୍ବରାଙ୍ଗିରୁରୁ ନାତଶୀରୁ-ଚିତ୍ରପାଠୀରୁଙ୍କୁ ମଲ୍ଲୁକୁଳିର ଅବିଦର୍ଧିତାଙ୍କ ଫୁଲରୁକ୍ଷମିଲୁରୀ ଉତ୍ତରାଧିକରଣକୁମ୍ଭରୀର ଅବିଦର୍ଧିତାଙ୍କ ମାତ୍ର କାନ୍ତିଲ୍ଲିମ୍ବରାଙ୍ଗିରୁଙ୍କୁ

ଓଡ଼ିଆ ଲେଖକ

- \*iii. გუგავა, ლ. დევაძე, ქ. ჭაფარიძე, ი. მევანაძე, ნ. სეფა-  
შვილი. „სიძეტრიული“ სპირორმენტის ელექტრონული აღნაგობა 324

\*4. ბალავაძე, გ. გველესიანი (საქ. სსრ მეცნ. აკადემიის წევრ-ორგენის-  
ლენტი), რ. ცხადაია, ლ. მარტუკი. მანგანუმისა და სილიკუმის ოქი-  
ლების ნახშერბათთ აღღების თერმოლინამიკურ მოლებრება 327

ელექტრონულია

- \*3. შავგულიძე, ლ. გეგეშიძე, ჭ. ჭავჭავაძე. კამპიონის პალკენ-თა  
თოიცანატ-კონკურსების პირებითმეტრული შესრულა 1,2-ტროპილენგლიკოლში 332

ଶିଖିତାର୍ଥ କୋଣଙ୍ଗଳା

- \*. ୭ୟାରୁଳ୍ଲାଙ୍କିଲ୍ଲ, ୧. ୦୯୮୯୪୩୩୫୨୯, ୨. କେସାଥେବ୍ରୀ, ୩. ଦେଖିବୁର୍ରି, ୪. କୁଣ୍ଡଳୀ  
ବିନ୍ଦୁ, ୫. ଶ୍ରୀରାମନାନ୍ଦ, ୬. ପ୍ରଥମାନ୍ତର୍ଗତିଶ୍ଵର୍ଲାଙ୍କିଲ୍ଲ, ୭. ଉତ୍ତରପ୍ରକାଶନ  
ଲୋକ୍ସାହୀନ୍ଦ୍ରିୟରେ 335

გეოლოგია



ପ୍ରତିରାଳଗଠନ

- ଲୁଙ୍ଗରେ ପାଇବାକୁ ଅନୁରୋଧ କରିଛନ୍ତି ।

### ପରେବିଳାକା

\*୨. ଗୁରୁତ୍ବପଦୀ, ଭ. ପରେବିଳାକା, ଘ. ଶାନ୍ତିକା, ଝ. ଲୁହା ଫିଲୋଜି, ମ. ଉପରେବିଳାକା  
ଅନ୍ଧିକାରୀ ଆଶିଷ ପ୍ରକାଶନ ସାମଗ୍ରୀରେ ରୂପାବଳୀ ଯେଉଁବିଳାକା ପାଇଁ ଏହାଙ୍କ  
ପାଇଁ ଆମେ ଦେଖିଲାମେ ହୀନ ଏହାଙ୍କ ପାଇଁ ଏହାଙ୍କ ପାଇଁ

396

### ପରେବିଳାକା

\*୩. ତମକାଙ୍କା, ଭ. କରାତାକାଙ୍କା, ଝ. ଗିରାରକାକାଙ୍କା, ମ. ଶଶିକାଙ୍କା, ମୁଣ୍ଡାକାଙ୍କା  
ଚିହ୍ନାଶକାମାକାଙ୍କା ପାଇଁ ଏହାଙ୍କ ପାଇଁ ଏହାଙ୍କ ଏହାଙ୍କ ଆମେ ଦେଖିଲାମେ ହୀନ

399

\*୪. କୁମାରପାଇସିଲା, ଭ. ପାଲାଶପାଇସିଲା, ଝ. କରାତାକାଙ୍କା (ଶାର୍କ. ସ୍ଵର୍ଣ୍ଣ ମୁଦ୍ରଣ, ଏକାଗ୍ରମିଳି  
ଶ୍ରୀପାନ୍ଦିତନାଥକୁମାର), ମ୍ପର୍ମାର୍କୁଲା ପରିପାଳାସର୍ବଜ୍ଞାନିକ ଉଚ୍ଚଶିକ୍ଷାକାରୀ  
ବିଭାଗରେ ହୀନରେ ହୀନ ଏହାଙ୍କ ପାଇଁ ଏହାଙ୍କ ପାଇଁ ଏହାଙ୍କ ପାଇଁ ଏହାଙ୍କ ପାଇଁ

403

### ମୋଟାମୋଟା

\*୫. ସିର୍ବାନ୍ଧକା, ଭାଲୁକାରୀକା ଦୀର୍ଘବାହି ପାଇଁ ଏହାଙ୍କ ପାଇଁ — *Anopheles melanoon*  
— ଏହାଙ୍କ ପାଇଁ ଏହାଙ୍କ ପାଇଁ ଏହାଙ୍କ ପାଇଁ ଏହାଙ୍କ ପାଇଁ

407

### ମୋଟାମୋଟା

\*୬. ପାତାକାଙ୍କା, ଭ. ଫାଟାକାଙ୍କା, ଝ. ସ୍ଵର୍ଣ୍ଣକାଙ୍କା, ମହାଲି ମନନାବ୍ୟବୀକାରିକ  
ବିଭାଗରେ ହୀନରେ ହୀନ ଏହାଙ୍କ ପାଇଁ ଏହାଙ୍କ ପାଇଁ ଏହାଙ୍କ ପାଇଁ

412

### ମୋଟାମୋଟା

\*୭. ପାତାକାଙ୍କା, ଭ. ଫାଟାକାଙ୍କା, ଝ. ସ୍ଵର୍ଣ୍ଣକାଙ୍କା, ମହାଲି ମନନାବ୍ୟବୀକାରିକ  
ବିଭାଗରେ ହୀନରେ ହୀନ ଏହାଙ୍କ ପାଇଁ ଏହାଙ୍କ ପାଇଁ ଏହାଙ୍କ ପାଇଁ ଏହାଙ୍କ ପାଇଁ

416

### ମେହିଲାମେହିଲା

\*୮. ମାଟ୍ରାକାଙ୍କା, ଭ. ମାଟ୍ରାକାଙ୍କା, ଝ. ମାଟ୍ରାକାଙ୍କା, ମହାଲି ମନନାବ୍ୟବୀକାରିକ  
ବିଭାଗରେ ହୀନରେ ହୀନ ଏହାଙ୍କ ପାଇଁ ଏହାଙ୍କ ପାଇଁ

418

\*୯. ମାଟ୍ରାକାଙ୍କା, ଭ. ମାଟ୍ରାକାଙ୍କା, ଝ. ମାଟ୍ରାକାଙ୍କା, ମହାଲି ମନନାବ୍ୟବୀକାରିକ  
ବିଭାଗରେ ହୀନରେ ହୀନ ଏହାଙ୍କ ପାଇଁ ଏହାଙ୍କ ପାଇଁ

423

\*୧୦. ମାଟ୍ରାକାଙ୍କା, ଭ. ମାଟ୍ରାକାଙ୍କା, ଝ. ମାଟ୍ରାକାଙ୍କା, ମହାଲି ମନନାବ୍ୟବୀକାରିକ  
ବିଭାଗରେ ହୀନରେ ହୀନ ଏହାଙ୍କ ପାଇଁ ଏହାଙ୍କ ପାଇଁ

427

### ପାଲାମାବିନ୍ଦୁ

\*୧୧. ମାଟ୍ରାକାଙ୍କା, ଭ. ମାଟ୍ରାକାଙ୍କା, ଝ. ମାଟ୍ରାକାଙ୍କା, ମହାଲି ମନନାବ୍ୟବୀକାରିକ  
ବିଭାଗରେ ହୀନରେ ହୀନ ଏହାଙ୍କ ପାଇଁ ଏହାଙ୍କ ପାଇଁ

431

### ପରେବିଳାକା

\*୧୨. ମାଟ୍ରାକାଙ୍କା, ଭ. ମାଟ୍ରାକାଙ୍କା, ଝ. ମାଟ୍ରାକାଙ୍କା, ମହାଲି ମନନାବ୍ୟବୀକାରିକ  
ବିଭାଗରେ ହୀନରେ ହୀନ ଏହାଙ୍କ ପାଇଁ ଏହାଙ୍କ ପାଇଁ

435

### ପିଲିପିଲା

\*୧୩. ମାଟ୍ରାକାଙ୍କା, ଭ. ମାଟ୍ରାକାଙ୍କା, ଝ. ମାଟ୍ରାକାଙ୍କା, ମହାଲି ମନନାବ୍ୟବୀକାରିକ  
ବିଭାଗରେ ହୀନରେ ହୀନ ଏହାଙ୍କ ପାଇଁ ଏହାଙ୍କ ପାଇଁ

439

### କାର୍ଡେମାନ୍‌ରାକା

\*୧୪. ମାଟ୍ରାକାଙ୍କା, ଭ. ମାଟ୍ରାକାଙ୍କା, ଝ. ମାଟ୍ରାକାଙ୍କା, ମହାଲି ମନନାବ୍ୟବୀକାରିକ  
ବିଭାଗରେ ହୀନରେ ହୀନ ଏହାଙ୍କ ପାଇଁ ଏହାଙ୍କ ପାଇଁ

441

## СОДЕРЖАНИЕ

### МАТЕМАТИКА

Г. М. Мжавия. Бисингулярные интегральные уравнения с комплексным со- приложением	241
М. Г. Робакидзе. Коэффициенты Фурье по системе Хаара от абсолютно непрерывных функций	245
А. Н. Ландия. $p^n$ -Расслоения на проективных моделях факторопространств	249
И. Дж. Губеладзе. О классической алгебраической $K$ -теории моноидных алгебр, II	253
С. А. Логунов. Далекие точки и кардинальные инварианты	257
М. Т. Ашордия. О разрешимости квазилинейных краевых задач для систем обобщенных обыкновенных дифференциальных уравнений	261
Л. К. Панджикидзе. О сходимости кратных сопряженных рядов в метрике $L(R_n)$ и об интегрируемости сопряженных функций многих переменных	265

### МАТЕМАТИЧЕСКАЯ ФИЗИКА

И. А. Жвания, М. В. Кокая, М. З. Максимов. Связь стационарных волновых решений нелинейных эволюционных уравнений с решениями Эмдена уравнения Эмдена—Фаулера	269
--	-----

### ТЕОРИЯ УПРУГОСТИ

Л. А. Гоголаури. Упругий анизотропный клин, подкрепленный на конеч- ном участке стержнем переменного сечения	273
---	-----

### ФИЗИКА

Н. У. Гамкрелидзе, М. Г. Кекуа. Поведение кислорода в сплавах кремний-германий	277
Т. А. Марсагишили, М. Н. Мачаварини. К теории ИК-спектров поляризуемых дипольноактивных ионов в конденсированной среде	281
Р. С. Кабисов, В. И. Кесаев. Критерий справедливости классического приближения для квантовой одномерной частицы	285

### ГЕОФИЗИКА

В. Н. Страхов, Т. А. Гванцеладзе. О решении линейных обратных за- дач гравиметрии	289
И. А. Хабурзания, Г. П. Борисова. Комплексная оценка палео- напряженности геомагнитного поля	293
Дж. З. Сологашвили, Г. М. Майсурадзе, Е. Ш. Павленишвили. К вопросу о геомагнитном эпизоде Храми	297
В. Г. Абашидзе, М. А. Алексидзе (академик АН ГССР), Д. К. Ки- рия, А. И. Савич, Т. А. Цагурия. Исследование перемещения и напряжения в приповерхностной части земной коры в районе водохра- нилища Ингурской ГЭС	301

\* Заглавие, отмеченное звездочкой, относится к резюме статьи.

## АНАЛИТИЧЕСКАЯ ХИМИЯ

- Н. О. Буркиашвили, К. И. Сакодынский, Т. Г. Андроникашвили (член-корреспондент АН ГССР). Разделение фенолкарбоновых кислот методом высокоеффективной жидкостной хроматографии 305

- И. Ш. Шатиришвили, Г. Н. Закалашвили. Определение органических кислот и сахаров в грузинских винах методом жидкостной хроматографии 309

## ОРГАНИЧЕСКАЯ ХИМИЯ

- М. Г. Карчадзе, Р. Ш. Ткешелашвили, Л. М. Хананашвили (член-корреспондент АН ГССР). Олиго- $\alpha$ -нафтилсилексиоксаны и полимеры на их основе 313

- М. Н. Тевдорашвили, Э. Г. Леквейшвили, Л. Д. Меликадзе (академик АН ГССР), А. А. Полякова. Выявление оптимальных условий фотохимического взаимодействия малеинового ангидрида с фенантреновыми углеводородами нефти 317

## ФИЗИЧЕСКАЯ ХИМИЯ

- М. Т. Гугава; Л. В. Девадзе, К. Г. Джапаридзе, И. А. Мжаварадзе, Н. О. Сепашвили. Электронное строение «симметричных» спирохроменов 321

- Д. И. Багдavadze, Г. Г. Гвелесиани (член-корреспондент АН ГССР), Р. А. Цхадая, Л. А. Маршук. Термодинамическое моделирование восстановления оксидов марганца и кремния углеродом 325

## ЭЛЕКТРОХИМИЯ

- В. В. Шавгулидзе, Л. В. Гегешидзе, Дж. И. Джапаридзе. Потенциометрическое исследование галогенидных и тиоцианатных комплексов кадмия в 1,2-пропиленгликоле 329

## ХИМИЧЕСКАЯ ТЕХНОЛОГИЯ

- Т. С. Шакарашвили, М. К. Андгуладзе, И. В. Карабадзе, М. Н. Бекаури, Н. Г. Чубинидзе, М. И. Мерлани, М. И. Кубанеишвили, Г. О. Поцхверашвили. Кормовые дрожжи на основе н-парафинов из грузинской нефти 333

## ГЕОЛОГИЯ

- И. К. Джанджава. Физико-химическая природа прочности и деформируемости оползневых грунтов Черноморского побережья Абхазии 337

## ПЕТРОЛОГИЯ

- Д. М. Шенгелиа, Н. Г. Попорадзе, Т. Н. Цуцунаева. Новые данные о метаморфитах Джентинского тектонического покрова на северном Кавказе 341

- А. В. Окропивариадзе. Новые данные об Ацгарском тектоническом клине 345

МИНЕРАЛОГИЯ	
Б. Д. Тутберидзе. Структурная упорядоченность Ca-Na полевых шпатов в некоторых молодых вулканогенных образованиях Грузии	349
СТРОИТЕЛЬНАЯ МЕХАНИКА	
З. Б. Бочоришвили, С. О. Хачтрян. Влияние поворота фундамента на интенсивность сейсмического воздействия	353
МЕТАЛЛУРГИЯ	
З. А. Мушкудиани, М. В. Мумладзе, Д. Л. Маглакелидзе, Б. Г. Маргисев, А. Г. Габисиани, Т. А. Чубинидзе. Разливка стали в изложницы под легкоплавким шлаком производства силикомарганца	357
МАШИНОВЕДЕНИЕ	
Б. А. Асатиани. О влиянии характеристик асинхронного привода при оценке колебательных напряжений упругой системы	361
ГИДРОТЕХНИКА	
Л. Д. Гогелиани. О массопереносе трехмерными волнами, распространяющимися по поверхности раздела, двух разноплотностных потоков	365
ТЕПЛОТЕХНИКА	
В. А. Джамарджишили. Усовершенствованный метод интенсификации теплоотдачи и его экспериментальное обоснование	369
ПОЧВОВЕДЕНИЕ	
В. В. Лежава, Т. В. Турсина, Е. В. Скворцова, Л. Г. Мачавариани. Микроморфометрические особенности орштейновых почв Западной Грузии	373
БОТАНИКА	
Н. И. Лачашвили, М. Н. Хачидзе. О некоторых новых таксонах для флоры Грузии	377
ФИЗИОЛОГИЯ РАСТЕНИЙ	
С. М. Шамцян, Т. А. Церцвадзе, Л. П. Рапава. Влияние ретардантов роста на морозоустойчивость виноградной лозы	381
ГЕНЕТИКА И СЕЛЕКЦИЯ	
* Г. Г. Гиголашвили, Д. И. Джохадзе (член-корреспондент АН ГССР). Электрофорез в пульсирующем электрическом поле интактной хромосомной ДНК дрожжей ( <i>Saccharomyces cerevisiae</i> )	387

## ФИЗИОЛОГИЯ ЧЕЛОВЕКА И ЖИВОТНЫХ

- Л. Д. Пхакадзе, Д. Г. Цинцадзе. Локомоторная самостимуляция мозга в условиях активного выбора между электрическим раздражением миндалины и перегородки

389

## БИОФИЗИКА

- А. О. Гуджабидзе, М. И. Кошоридзе, Д. В. Шанидзе, В. Н. Руисиешвили, М. А. Царпидзе. Спектрофотометрические исследования биодеградации полиимидных пленок плесневым грибом *Trichoderma lignorum*

393

## БИОХИМИЯ

- З. В. Тохадзе, Н. К. Рогава, Р. Э. Гиоргобиани, Д. Ш. Угрехелидзе. Влияние бензимидазолов на пероксидазу, фенолоксидазу и хлорофиллазу яблок

397

- Н. В. Джамришвили, М. И. Балашвили, Д. И. Джохадзе (член-корреспондент АН ГССР). Стимуляция эндогенной белоксинтезирующей активности растительных протопластов гибберелловой кислотой и кинетином

401

## ЭНТОМОЛОГИЯ

- Ш. Г. Сичинава. Результаты фенологических наблюдений за комарами *Aporheles melanoop*—основными переносчиками малярии в Западной Грузии

405

## ЗООЛОГИЯ

- Э. Ш. Квавадзе, Р. А. Пациашвили, Л. Ф. Суладзе. Новые данные о дождевых червях рода *Dendrobaena* (*Oligochaeta, Lumbricidae*)

409

## ЦИТОЛОГИЯ

- М. Д. Калатозишвили. Изменение количества цитопламматической РНК в нейронах моторной коры и хвостатых ядер головного мозга крыс при гипокинезии

413

## ЭКСПЕРИМЕНТАЛЬНАЯ МЕДИЦИНА

- Н. Я. Полянко. Функциональные и структурные изменения в системе регуляции агрегатного состояния крови (РАСК) в форме тромбогеморрагического синдрома (ТГС) при экспериментальном амебиазе

417

- А. В. Пирцхалава. Отсроченная реакция острого отравления организма хлорофосом

421

- И. Ш. Надирадзе, А. Р. Цалугелашвили. Коррекция коагуляционных нарушений у оперированных онкологических больных с использованием устройства для мониторной инфузии гепарина

425

## ПАЛЕОБИОЛОГИЯ

- В. М. Чхиквадзе. О систематическом положении третичных гигантских сухопутных черепах Азии, Европы и Африки

429

---

## ЭКОНОМИКА

Г. Г. Ч а р а е в. Выделение предшественников и преемников сельхозкультур методами линейного программирования

433

## ИСТОРИЯ

П. Р. Р а м и ш в и л и. О структуре возрастных групп деловых людей «каппадокийских» табличек

437

## АРХЕОЛОГИЯ

\* Н. О. С у л а в а. Фибулы Цхветского могильника античного времени

444

## C O N T E N T S

### M A T H E M A T I C S

G. M. Mzhavia. Bisingular integral equations with complex conjugation	244
M. G. Robakidze. Fourier coefficients of absolutely continuous function with respect to Haar's system	247
A. N. Landia. $P^n$ -bundles on a projective model of the quotient by a finite group	251
I. J. Gubeladze. On classical algebraic $K$ -theory of monoid algebras, II	255
S. A. Logunov. Remote points and cardinal invariants	259
M. T. Ashordia. On the solvability of quasi-linear boundary-value problems for systems of generalized ordinary differential equations	264
L. K. Panjikidze. Convergence of multiple conjugate trigonometric series in the space $L(Rn)$ and integrability of conjugate functions of multiple variables	267

### M A T H E M A T I C A L P H Y S I C S

I. A. Zhvania, M. V. Kokaila, M. Z. Maksimov. Connection between stationary wave solutions of nonlinear evolution equations and Emden's solutions of Emden—Fowler equation	272
--	-----

### T H E O R Y O F E L A S T I C I T Y

L. A. Gogolauri. Elastic anisotropic wedge strengthened at the finite part by a bar of varying cross-section	276
--	-----

### P H Y S I C S

N. U. Gamkrelidze, M. G. Kekua. The behaviour of oxygen in silicon-germanium alloys	279
T. A. Marsagishvili, M. N. Machavariani. Towards the theory of IR-spectroscopy of polarizable dipoleactive ions in a condensed medium	284
R. S. Kabisov, V. I. Kesayev. Criteria of validity of the classical approximation for one-dimensional quantum particle	287

### G E O P H Y S I C S

V. N. Strakhov, T. A. Gvantseladze. Solution of linear inverse gravimetric problems	292
I. A. Khaburzania, G. P. Borisova. A comprehensive assessment of the geomagnetic field paleointensity	296
J. Z. Sologashvili, G. M. Maisuradze, E. Sh. Pavlenishvili. On the problem of the Khrami geomagnetic episode	300
V. G. Abashidze, M. A. Aleksidze, D. K. Kiria, A. I. Savich, T. A. Tsaguria. Investigation of displacement and stress in the near-surface part of the Earth's crust in the Inguri Hydro reservoir area	304

**ANALYTICAL CHEMISTRY**

- N. O. Burkiashvili, K. I. Sakodynsky, T. G. Andronikashvili.  
 Fractionation of phenolcarboxylic acids by the method of high-performance liquid chromatography 308
- I. Sh. Shatirishvili, G. N. Zakalashvili. Determination of organic acids and sugars in Georgian wines by the method of liquid chromatography 311

**ORGANIC CHEMISTRY**

- M. G. Karchkhadze, R. Sh. Tkeshelashvili, L. M. Khananashvili.  
 Olygo- $\alpha$ -naphthylsilsesquioxans and polymers based on them 316
- M. N. Tevdorashvili, E. G. Lekveishvili, L. D. Melikadze, A. A. Poliakova. Determination of optimum conditions of photochemical interaction of maleic anhydride with phenanthrene hydrocarbons of oil 319

**PHYSICAL CHEMISTRY**

- M. T. Gugava, L. V. Devadze, K. G. Japaridze, I. A. Mzhavaniadze, N. O. Sepashvili. The electron structure of symmetric spirochromens 324
- J. I. Bagdavadze, G. G. Gvelesiani, R. A. Tskhadaya, L. A. Marshuk. Thermodynamic modelling of the reduction of manganese and silicon oxides by carbon 328

**ELECTROCHEMISTRY**

- V. V. Shavgulidze, L. V. Gegeshidze, J. I. Japaridze. Potentiometric investigation of halogenide and tiocyanate complexes of cadmium in 1,2-propyleneglycol 332

**CHEMICAL TECHNOLOGY**

- T. S. Shakarashvili, M. K. Andguladze, N. V. Kakabadze, M. N. Bekauri, N. G. Chubinidze, M. I. Merlani, M. I. Kubaneishvili, G. O. Potskhverashvili. Fodder yeast based on n-paraffins of Georgian oil 335

**GEOLOGY**

- I. K. Janjgava. Physical and chemical nature of strength and deformation of the Black Sea coastal landslide grounds 340

**PETROLOGY**

- D. M. Shengelia, N. G. Poporadze, T. N. Tsutsunava. New data about metamorphites of the Jentu tectonic nappe in the Northern Caucasus 344
- A. V. Okrostsvaridze. New data on the Atsgara tectonic wedge 347

**MINERALOGY**

- B. D. Tutberidze. On structural regularity of Ca-Na-bearing feldspars in some of the young volcanic formations of Georgia 352

**STRUCTURAL MECHANICS**

- Z. B. Bochorishvili, S. O. Khachatriyan. The effect of the foundation turn on the intensity of seismic action 356

## METALLURGY

- Z. A. Mushkudiani, M. V. Mumladze, D. L. Maglakelidze, B. G. Margiev, A. G. Gabisiani, T. A. Chubinidze. Steel pouring into a mould under easily fusible slag of silico-manganese production 360

## MACHINE BUILDING SCIENCE

- B. L. Asatiani. On the influence of asynchronous drive characteristics during the estimation of oscillation stress of the elastic system 364

## HYDRAULIC ENGINEERING

- L. D. Gogeliani. On mass transfer by three-dimensional waves spreading at the interface of two flows of different density 368

## HEAT ENGINEERING

- V. A. Jamarjashvili. Connective heat exchange intensification method and its experimental basis 372

## SOIL SCIENCE

- V. V. Lezhava, T. V. Tursina, E. B. Skvortsova, L. G. Machavariani. Micromorphometric peculiarities of orstein soils of western Georgia 376

## BOTANY

- N. I. Lachashvili, M. N. Khachidze. New data for the flora of Georgia 379

## PLANT PHYSIOLOGY

- S. M. Shamtsyan, T. A. Tservadze, L. P. Rapava. The effect of growth retardants on frost-resistance of the grapevine 384

## GENETICS AND SELECTION

- G. G. Gigolashvili, D. I. Jokhadze. Separation of intact chromosomal DNA molecules from yeast (*Saccharomyces cerevisiae*) by pulse-electrophoresis 387

## HUMAN AND ANIMAL PHYSIOLOGY

- L. D. Pkhakadze, D. G. Tsintsadze. Brain locomotor self-stimulation under conditions of active choice of amygdala or septum electric stimulation 392

## BIOPHYSICS

- A. O. Gujabidze, M. I. Koshoridze, D. V. Shanidze, V. N. Rusie shvili, M. A. Tsartsidze. Spectrophotometric study of polyimide film biodegradation by mold fungus *Trichoderma lignorum* 396

## BIOCHEMISTRY

- Z. V. Tokhadze, N. K. Rogava, R. E. Giorgobiani, D. Sh. Ugrekhelidze. The effect of benzimidazole fungicides on peroxidase, phenoloxidase and chlorophyllase in apples 399

- N. V. Jamrishvili, M. I. Balashvili, D. I. Jokhadze. Stimulation of endogenous protein-synthesizing activity of plant protoplasts by gibberellic acid and kinetin 404



## ENTOMOLOGY

- Sh. G. Sichinava. Phenological observation results of *Anopheles melanoon* mosquitoes, carriers of malaria in western Georgia 408

## ZOOLOGY

- E. Sh. Kvavadze, R. A. Patsiashvili, L. F. Suladze. New data about earthworms of the genus *Dendrobaena* (*oligochaeta, lumbricidae*) 412

## CYTOLOGY

- M. D. Kalatozishvili. Alteration of cytoplasmic RNA amount in the neurons of the rat's motor cortex and caudate nuclei during hypokinesia 416

## EXPERIMENTAL MEDICINE

- N. I. Polyanko. Functional and structural changes in the blood aggregate status regulation systems in the form of thrombohaemorrhagic syndrome (THS) at experimental amebiasis 418  
 A. V. Pirtskhalava. The delayed reaction of acute poisoning of the organism with chlorophos 423  
 I. Sh. Nadiradze, A. R. Tsalugelashvili. Correction of postoperative coagulolytical disorders in cancer patients with the use of the arrangement for monitor infusion of heparin 427

## PALAEOBIOLOGY

- V. M. Chkhikvadze. On the systematic position of tertiary giant land tortoises from Asia, Europe and Africa 431

## ECONOMICS

- G. G. Charaev. Selection of forerunners and successors of agricultural crops by the method of mathematical programming 436

## HISTORY

- P. R. Ramishvili. On the structure of the age groups of businessmen according to Cappadocian tablets 440

## ARCHAEOLOGY

- N. O. Sulava. Fibulae from the Tskheta Antique age cemetery 444

МАТЕМАТИКА

Г. М. МЖАВИЯ

БИСИНГУЛЯРНЫЕ ИНТЕГРАЛЬНЫЕ УРАВНЕНИЯ  
С КОМПЛЕКСНЫМ СОПРЯЖЕНИЕМ

(Представлено академиком Б. В. Хведелидзе 26.8.1987)

Пусть  $\Gamma_k$  ( $k = 1, 2$ ) — кусочно-ляпуновская ориентированная линия и (см. [1])

$$\rho_k(t) = \prod_{j=1}^{n_k} |t - c_{kj}|^{\alpha_{jk}}, -1 < \alpha_{jk} < p_k - 1, 1 < p_k < \infty, (j=1, 2, \dots, n_k) \quad (1)$$

— весовая функция; будем считать, что  $\Gamma_k$  не содержит точек возврата и  $c_{k1}, \dots, c_{kn_k}$  — ее узлы.

$L_{\vec{p}}(\Gamma^2, \rho)$  будет обозначать пространство со смешанной нормой

$$\|\varphi\|_{\vec{p}, \rho} = \left[ \int_{\Gamma_2} \rho_2(t_2) |dt_2| \left( \int_{\Gamma_1} \rho_1(t_1) |\varphi(t_1, t_2)|^{p_1} |dt_1| \right)^{p_2/p_1} \right]^{1/p_2}$$

В работе построен символ и дан критерий нетеровости уравнения вида

$$A\varphi = A_0\varphi + A_1\bar{\varphi} + \overline{A_2\varphi} + \overline{A_3\bar{\varphi}} = f, \quad (2)$$

где

$$A_j\varphi = a_{0j}\varphi + a_{1j}S_1\varphi + a_{2j}S_2\varphi + a_{12j}S_{12}\varphi + W_j\varphi, \quad (3)$$

$$S_1\varphi(t_1, t_2) = \frac{1}{\pi i} \int_{\Gamma_1} \frac{\varphi(\tau, t_2)}{\tau - t_1}, \quad S_2\varphi(t_1, t_2) = \frac{1}{\pi i} \int_{\Gamma_2} \frac{\varphi(t_1, \tau)}{\tau - t_2} d\tau,$$

$$S_{12}\varphi(t_1, t_2) = \frac{1}{(\pi i)^2} \int_{\Gamma_1} \int_{\Gamma_2} \frac{\varphi(\tau_1, \tau_2) d\tau_1 d\tau_2}{(\tau_1 - t_1)(\tau_2 - t_2)}.$$

Здесь  $a_r(t_1, t_2)$  — разрывные функции по обеим переменным, но обладают предельными значениями по переменным  $t_1$  и  $t_2$  в каждой точке линий  $\Gamma_1$  и  $\Gamma_2$  по всем направлениям<sup>(1)</sup> равномерно относительно другой переменной. Класс таких коэффициентов обозначается через  $\text{ПС}(\Gamma^2)$  и определяется как замыкание по равномерной норме  $\|a\|_\infty = \sup_{t_k \in \Gamma_k} |a(t_1, t_2)|$

множества кусочно-постоянных функций двух переменных.

$W_j$  в (3) являются интегральными операторами с фиксированными особенностями в ядрах. В случае сингулярных интегральных операторов одной переменной определение таких операторов дано в [2] (см. также [3, 4]); класс этих ядер обозначим через  $LH_{\omega_k}(\Gamma_k^2, c_{k1}, \dots, c_{kn_k})$ .

(1) В точках гладкости линии  $\Gamma_k$  собираются две дуги (т. е. существует два направления), а в узлах  $c_{kj}$  может собираться любое число гладких дуг  $n(c_{kj}) = 1, 2, \dots$

Определение. Через  $L^{\omega}HO$  обозначим класс операторов ядра  $w(t_1, \tau_1, t_2, \tau_2)$ , которых имеют вид

$$w(t_1, \tau_1, t_2, \tau_2) = \sum_{j=1}^N w_{j1}(t, \tau) \cdot w_{j2}(t, \tau), \quad (4)$$

где

1) либо  $w_{jk} \in LH_{\omega_k}(\Gamma_k^2, c_{k1}, \dots, c_{kn_k})$  ( $k = 1, 2$ );

2) либо  $w_{jk} \in LH_{\omega_k}(\Gamma_k^2, c_{k1}, \dots, c_{kn_k})$  и

$$w_{jr}(t_r, \tau_r) = \nu_1 \delta(t_r - \tau_r) + \frac{1}{\pi i} \frac{\nu_2}{\tau_r - t_r}, \quad r \neq k, \quad r, k = 1, 2. \quad (5)$$

Здесь  $\nu_1$  и  $\nu_2$  — константы, а  $\delta(t)$  — дельта-функция Дирака.

Ограниченностю оператора (2) в пространстве  $L_p(\Gamma^2, \rho)$  известна из работ [1, 5].

Определим символ уравнения (2). Для этого нам следует определить сперва символ четырех операторов:  $aI$ ,  $S_1$ ,  $S_2$  и  $W$  ( $a \in \Pi C(\Gamma^2)$ ,  $W \in L^{\omega}HO_\omega$ ).

Пусть  $\Gamma_{IR}^2 = \Gamma_1 \times \overline{\mathbb{R}} \cup \Gamma_2 \times \overline{\mathbb{R}}$  (непересекающееся объединение множеств), где  $\mathbb{R} = \mathbb{R} \cup \{\pm\infty\}$  — двухточечная компактификация  $|R|$ .

Окрестность  $\gamma_{kj}$  узла  $c_{kj} \in \Gamma_k$  разбивается на конечное объединение гладких дуг  $\gamma_{kj} = \bigcup_{q=1}^{n(c_{kj})} \gamma_{kjq}$ , где  $\gamma_{kjq}$  имеют общим концом узел  $c_{kj}$  и перенумерованы в порядке, в котором они встречаются при движении вокруг узла против хода часовой стрелки.

В [2—4] определен символ  $\tilde{W}_{\omega_k}(t_k, \xi)$  оператора с ядром  $w(t, \tau) \in LH_\omega(\Gamma_k^2)$  (как преобразование Меллина однородной части ядра  $w(t, \tau)$ , локализованной в окрестности  $c_{kj}$ ).

Если же  $w(t, \tau)$  имеет вид (5), то положим

$$\tilde{W}_{\omega_r}(t_r, \xi) = \nu_1 + \nu_2 S_{\omega_r}(t_r, \xi), \quad t_r \in \Gamma_r,$$

где  $S_{\omega_r}(t_r, \xi)$  — символ оператора  $S_{\Gamma_r}$  в пространстве  $L_{p_r}(\Gamma_r, \rho_r)$  (см. [1, 6], а также [4]).

Символ оператора  $aI$ ,  $a \in \Pi C(\Gamma^2)$  см. в [7].

Символ оператора  $S_k$  ( $k = 1, 2$ ) определяется равенством  $(t \in \Gamma_j)$

$$S_\omega(t, \xi) = \begin{cases} S_{\Gamma_k}, & k \neq j, \\ S_{\omega_k}(t, \xi), & k = j, \quad (j, k = 1, 2), \end{cases}$$

где

$$S_{\Gamma_k} \Phi(t) = \frac{1}{\pi i} \int_{\Gamma_k} \frac{\Phi(\tau)}{\tau - t} d\tau.$$

Символ оператора  $W$  с ядром (4) определяется равенством

$$W_\omega(t, \xi) = \sum_{j=1}^N (W_{j1})_\omega(t, \xi) (W_{j2})_\omega(t, \xi),$$

где

$$W_{jk}(t, \xi) = \begin{cases} O, & \text{если } w_{jk} \in LH_{\omega_k}(\Gamma_k^2, c_{k1}, \dots, c_{kn_k}), t \neq c_{k1}, \dots, c_{kn_k}, \\ (\widetilde{w}_{jk})_{\omega_k}(c_{kj}, \xi), & \text{если } t = c_{kj}, w_{jk} \in LH_{\omega_k}(\Gamma_k^2, c_{k1}, \dots, c_{kn_k}), \\ [\nu_1 + \nu_2 S_{\omega_k}(t, \xi)]I, & \text{если } t \in \Gamma_k, \text{ ядро } W_{jk} \text{ имеет вид (5) и } k=r \\ \nu_1 I + \nu_2 S_{\Gamma_r}, & \text{если } t \in \Gamma_k, \text{ ядро } W_{jk} \text{ имеет вид (5) и } k \neq r \end{cases}$$

$j = 1, 2, \dots, N; k = 1, 2; r = 1, 2.$

Символ оператора  $A_j$  (см. 3) определяется теперь однозначно (отображение символа  $A \rightarrow A_\omega(t, \xi)$  — это алгебраический гомоморфизм), а символ уравнения (2) определяется равенством

$$A_\omega(t, \xi) = \begin{pmatrix} (A_0)_\omega(t, \xi) + J(A_3)_\omega(t, \xi)J & (A_1)_\omega(t, \xi) + J(A_2)_\omega(t, \xi)J \\ J(A_1)_\omega(t, -\xi)J + (A_2)_\omega(t, \xi) & J(A_0)_\omega(t, -\xi)J + (A_3)_\omega(t, \xi) \end{pmatrix} \quad (6)$$

где  $J\varphi(t) \equiv \overline{\varphi(t)}$ .

Символ  $A_\omega(t, \xi)$  ( $(t, \xi) \in \Gamma_k \times \overline{\Gamma R}$ ,  $k = 1, 2$ ) уравнения (2) — это оператор-функция со значениями во множестве сингулярных интегральных операторов с разрывными коэффициентами и неподвижными особенностями в ядрах, действующими в векторном пространстве  $L_{p_j}^{n(l_j)}(\Gamma_j, \rho_j)$  ( $j=1, 2; j \neq k$ ).

Теорема 1. Для того чтобы уравнение (2) имело левый (правый) регуляризатор в пространстве  $L_p(\Gamma^2, \bar{\rho})$  над полем действительных чисел, необходимо и достаточно, чтобы его символ  $A_\omega(t, \xi)$  был обратим слева (справа) в пространстве  $L_{p_k}^{n(l)}(\Gamma_k, \rho_k)$  ( $t \in \Gamma_j, k \neq j, k, j = 1, 2$ ) для всех значений параметров  $(t, \xi) \in \Gamma_{|R}$ .

Отметим, что одномерные сингулярные интегральные уравнения с комплексным сопряжением исследованы ранее в [4], а бисингулярные интегральные операторы (3) в [7], но в случае  $W_j=0$ .

Основная теорема справедлива и для уравнений (2) с матричными коэффициентами в векторном пространстве  $L_p^m(\Gamma^2, \bar{\rho})$ , а также для операторов из банаховой алгебры, порожденной операторами (2).

К уравнению (2) сводится, например, следующая обобщенная граничная задача Маркушевича: найти аналитическую функцию двух комплексных переменных  $\Phi(z_1, z_2)$  на декартовом произведении  $(C^1 \setminus \Gamma_1) \times (C^1 \setminus \Gamma_2)$  такую, что четыре граничных значения  $\Phi^{\pm\pm}(t_1, t_2)$  были связаны на  $\Gamma_1 \times \Gamma_2$  равенством<sup>(1)</sup>

$$\Phi^{++} = b_0 \Phi^{+-} + b_1 \Phi^{-+} + b_2 \Phi^{--} + \\ + b_3 \overline{\Phi^{+-}} + b_4 \overline{\Phi^{-+}} + b_5 \overline{\Phi^{--}} + g,$$

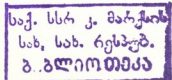
где  $g \in L_p(\Gamma^2, \bar{\rho})$ , а  $b_0, \dots, b_5 \in \Pi C(\Gamma^2)$ .

В одномерном случае задача Маркушевича исследована в общем виде в [8].

Северо-Кавказский горно-металлургический Институт

(Поступило 11.11.1987)

<sup>(1)</sup> Определения и сведения см. в [4].



გ. მჟავია

გისინგულარული ინტეგრალური განტოლები კომპლექსური  
 უმულლებით

რეზიუმე

ავტორია (2) ბისინგულარული ინტეგრალური განტოლების სიმბოლო  
 (იხ. (6)) და მიღებულია მისი ნეტერისეულობის კრიტერიუმი ორი ცვლადის  
 ლებეგის ზომად ფუნქციათა სივრცეში შერეული ნორმით და წონით.

MATHEMATICS

G. M. MZHAVIA

### BISINGULAR INTEGRAL EQUATIONS WITH COMPLEX CONJUGATION

Summary

A symbol is defined for a bisingular integral equation (2) (cf. (6)) and a criterion is obtained for it to be Noetherian in the space of measurable Lebesgue functions of two variables with mixed norm and weight.

## ლიტერატურა — ЛИТЕРАТУРА — REFERENCES

1. Б. В. Хведелидзе. Труды Тбил. матем. ин-та, 23, 1957, 3—158.
2. Р. В. Дудучава. Сообщения АН ГССР, 91, 2, 1978, 293—296.
3. Р. В. Дучучава. Труды Тбил. матем. ин-та LX, 1979, 2—138.
4. Т. И. Лაцабидзе. Труды Тбил. матем. ин-та, XXVI, 1985, 107—122.
5. В. М. Кокилашвили. Труды Тбил. матем. ин-та, LIII, 1976, 38—61.
6. А. П. Солдатов. Дифф. уравнения, XIV, 4, 1978, 706—718.
7. Р. В. Дудучава. Матем. сб., 101, 4, 1976, 584—609.
8. Р. В. Дудучава, Т. И. Лაцабидзе. Труды Тбил. матем. ин-та, LXXII, 1985, 40—59.



МАТЕМАТИКА

М. Г. РОБАКИДЗЕ

КОЭФФИЦИЕНТЫ ФУРЬЕ ПО СИСТЕМЕ ХААРА  
 ОТ АБСОЛЮТНО НЕПРЕРЫВНЫХ ФУНКЦИЙ

(Представлено членом-корреспондентом Академии Л. В. Жнизишвили 6.6.1988)

В настоящей статье приводятся результаты, касающиеся коэффициентов Фурье по системе Хаара абсолютно непрерывных функций одной переменной.

Обозначим через  $AC(0,1)$  множество всех абсолютно непрерывных функций, заданных на отрезке  $[0, 1]$ .

Будем считать, что функции Хаара определены так, как в оригинальной работе Хаара [1] (см. и [2]).

Пусть  $f \in L(0, 1)$ . Ряд Фурье этой функции относительно системы Хаара  $\{X_m\}$  имеет вид

$$f(t) \sim \sum_{m=1}^{\infty} c_m(f) X_m(t) = c_1(f) + \sum_{n=0}^{\infty} \sum_{k=1}^{2^n} c_n^{(k)}(f) X_n^{(k)}(t),$$

где

$$c_1(f) = \int_0^1 f(t) dt, \quad c_m(f) = c_n^{(k)}(f) = \int_0^1 f(t) X_n^{(k)}(t) dt, \quad 2 \leq m < \infty,$$

$$m = 2^n + k, \quad 1 \leq k \leq 2^n, \quad n = 0, 1, 2, \dots.$$

Числа  $c_m(f)$ ,  $m=1, 2, \dots$  называют коэффициентами Фурье—Хаара функции  $f$ .

Пусть  $\Delta c_n^{(k)}(f)$  обозначает разность

$$c_n^{(k)} - c_n^{(k+1)}, \quad 0 < k \leq 2^n - 1.$$

Поведение разности коэффициентов  $\Delta c_n^{(k)}(f)$  было рассмотрено в работах Ш. В. Цагарейшивили [3], [4].

Ниже будут приведены теоремы, которые связаны в некотором смысле с результатами С. В. Бочкирева [5].

Лемма 1. Если  $f' \in AC(0, 1)$ , то

$$\lim_{n \rightarrow \infty} 2^{\frac{3}{2}n} \sum_{k=1}^{2^n-1} |\Delta c_n^{(k)}(f)| \leq \frac{1}{4} \int_0^1 |f'(t)| dt.$$

Теорема 1. Если  $f' \notin AC(0, 1)$  и

$$\lim_{n \rightarrow \infty} 2^{\frac{3}{2}n} \max_{1 \leq m \leq 2^n-1} \left| \sum_{k=1}^m \Delta c_n^{(k)}(f) \right| = 0,$$

то  $f(x) = ax + b$ ,  $x \in [0, 1]$ , где  $a$  и  $b$  — некоторые действительные числа.

Лемма 2. Пусть  $f'$  — абсолютно непрерывная и монотонная функция на  $[0, 1]$ . Тогда

$$\lim_{n \rightarrow \infty} \sum_{k=1}^{2^n - 1} |\Delta c_n^{(k)}(f)|^{2/5} \geq \frac{1}{\sqrt[5]{2^4}} \int_0^1 |f''(x)|^{2/5} dx.$$

Предположим, что для абсолютно непрерывной на  $[0, 1]$  функции  $f$ , производные которой существуют всюду на  $[0, 1]$ , выполнено неравенство  $f'(1) \geq f'(t)$  при  $t \in [0, 1]$ .

Определим множество  $E$ . Точка  $x$  принадлежит  $E$ , если  $f'(t) \leq f'(x)$  при  $0 \leq t \leq x$ . Множество  $E$  замкнуто, значит, дополнение к этому множеству  $CE = \bigcup_{i=1}^{\infty} (a_i, b_i)$  и интервалы  $(a_i, b_i)$  не перекрываются.

Положим

$$\tilde{f}'(t) = \begin{cases} f'(t) & \text{при } t \in E, \\ f'(a_i) = f'(b_i) & \text{при } t \in (a_i, b_i), i = 1, 2, \dots. \end{cases}$$

Функция  $\tilde{f}'(t)$  абсолютно непрерывна и монотонна.

Рассмотрим первообразные функции  $f + C_1$  и  $\tilde{f} + C_2$  функций  $f'$  и  $\tilde{f}'$ .

Лемма 3. Для функций  $f$  и  $\tilde{f}$  имеет место неравенство

$$\lim_{n \rightarrow \infty} \sum_{k=1}^{2^n - 1} |\Delta c_n^{(k)}(f)|^{2/5} \geq \lim_{n \rightarrow \infty} \sum_{k=1}^{2^n - 1} |\Delta c_n^{(k)}(\tilde{f}')|^{2/5}.$$

Теорема 2. Пусть функция  $f'$  абсолютно непрерывна на  $[0, 1]$  и

$$\lim_{n \rightarrow \infty} \sum_{k=1}^{2^n - 1} |\Delta c_n^{(k)}(f')|^{2/5} = 0,$$

тогда  $f(x) = ax + b$ ,  $x \in [0, 1]$ , где  $a$  и  $b$  — некоторые действительные числа.

Тбилисский государственный университет

(Поступило 16.6.1988)

თაოგანიძე

ა. რობაკიძე

აგსოლუტურად უჯავები ფუნქციის ფურის პოეზიის ნომინაციის გამარჯვები  
ჰასახის სისტემის მიმართ

• რეზიუმე

მოყვანილია დებულებები, რომლებიც ეხება ერთი ცვლადის აგსოლუტურად უწევები ფუნქციის ფური-პარის კოეფიციენტების ყოფაშეცვენას. კერძოდ, განხილულია თეორემები, რომლებიც გრძელი აზრით დაკავშირებულია ს. ბოჩქოროვის [2] სათანადო შედეგებთან.

M. G. ROBAKIDZE

FOURIER COEFFICIENTS OF ABSOLUTELY CONTINUOUS FUNCTION  
WITH RESPECT TO HAAR'S SYSTEM

## Summary

Statements are given concerning the Fourier—Haar coefficients of an absolutely continuous function of one variable.

In particular, the theorems are given which are connected with corresponding results of S. Bochkarev [2].

## ЛІТЕРАТУРА — REFERENCES

1. А. Наг. Math. Ann., 69, 1910, 331—371.
2. П. Л. Ульянов. Матем. сб., 63, № 3, 1964, 356—391.
3. В. Ш. Цагарейшвили. Сообщения АН ГССР, 63, № 1, 1971, 37—39.
4. В. Ш. Цагарейшвили. Сообщения АН ГССР, 81, № 1, 1976, 29—31.
5. С. В. Бочкарёв. Матем. сб., 80, № 1, 1969, 97—116.



А. Н. ЛАНДИЯ

**$p^n$ -РАССЛОЕНИЯ НА ПРОЕКТИВНЫХ МОДЕЛЯХ  
ФАКТОРПРОСТРАНСТВ**

(Представлено членом-корреспондентом Академии Х. Н. Инасаридзе 12.2.1987)

Пусть  $G$  — конечная группа,  $G \rightarrow GL(V)$  — точное комплексное представление с условием — действие  $G$  свободно вне подмногообразия коразмерности  $\geq 3$  (например, можно взять 3-кратное прямое произведение начального  $V$  и рассматривать диагональное действие на  $V \times V \times V$ ). Пусть  $B_0(G)$  — подгруппа в  $H^2(G, M/\mathbb{Z})$  тех коциклов, которые тривиализируются при ограничении на все абелевы подгруппы  $A \subset G$ . 2-коцикл  $\gamma \in B_0(G)$  задает  $P^n$ -расслоение над фактором  $V^L/G$ , где  $V^L$  — открытая по Зарисскому часть пространства  $V$ , на котором действие  $G$  свободно, и имеем гомоморфизм групп  $B_0(G) \xrightarrow{\alpha} Br(V^L/G)$  (см. [1]). Обозначим через  $\tilde{X}$  проективное разрешение особенностей многообразия  $V/G$ .  $V^L/G$  является открытой частью  $\tilde{X}$ . Возникает естественная задача продолжения  $P^n$ -расслоения  $\alpha(\gamma)$  на все многообразие  $\tilde{X}$ , т. е. до элемента группы Брауэра  $Br(\tilde{X})$ . Ввиду вложений  $Br(\tilde{X}) \rightarrow H^2(\tilde{X}, O^*)_{tors} \approx B_0(G)$  задача [продолжения всех  $\alpha(\gamma)$  эквивалентна доказательству изоморфизма  $Br(\tilde{X}) \approx H^2(\tilde{X}, O^*)_{tors}$  для гладкого проективного многообразия  $\tilde{X}$ .

Определение 1 ([1]) Группа  $G$  называется  $\gamma$ -минимальной, если  $\gamma \in B_0(G)$  нетривиален, а при ограничении на любую собственную подгруппу  $H \xrightarrow{i} G$  имеем  $i^* \gamma = 0$ , где  $i^* : B_0(G) \rightarrow B_0(H)$ .

По теореме 4.8 и 5.3 в [1] почти все  $\gamma$ -минимальные группы имеют свойства:  $G$  есть конечная  $p$ -группа,  $[G, G] = C(G)$  — коммутатор совпадает с центром группы,  $G$  есть центральное расширение  $0 \rightarrow [G, G] \rightarrow G \rightarrow G^{ab} \rightarrow 1$  и группы  $[G, G]$ ,  $G^{ab}$  являются элементарными  $p$ -группами.

Класс  $\gamma$ -минимальных групп с перечисленными свойствами обозначим через  $K$ .

Заметим, что в классе групп  $K$ , с помощью инварианта  $B_0(G)$ , были впервые получены примеры нерациональных фактормногообразий по линейному действию конечной группы, (см. [2]) что и стимулировало интерес к  $Br(V/G)$ .

Очевидно, для любого  $\gamma \in B_0(G)$  существует  $\gamma$ -минимальная подгруппа  $G_m \subset G$ , и  $\gamma$ -минимальные группы появляются первым нетривиальным препятствием к продолжению  $P^n$ -расслоения с  $V^L/G$ .

Теорема 1. Пусть  $G$  — группа класса  $K$ . Тогда для  $P^n$ -расслоения, определенного коциклом  $\gamma \in B_0(G)$ -элемента  $\alpha(\gamma) \in Br(V^L/G)$ , существует продолжение на некоторую гладкую проективную модель  $\tilde{X}$  до элемента  $P \in Br(\tilde{X})$  со свойством  $f^*(P) = \alpha(\gamma)$ , где  $f^* : Br(\tilde{X}) \rightarrow Br(V^L/G)$ ,  $f : V^L/G \rightarrow \tilde{X}$ .

Дадим набросок доказательства теоремы. Пусть  $\pi: G \rightarrow G^{ab}$  задаёт гомоморфизм  $\pi^*: H^2(G^{ab}, Q/Z) \rightarrow H^2(G, Q/Z)$ . Согласно лемме 3.6 из [1],

$B_0(G) \subset I_m \pi^*$ . Пусть  $V = \sum_{i=1}^n V_i$  — такое представление  $G$ , что элементы центра  $C = \sum_{i=1}^n Z_i$  действуют так:  $Z_i$  действует на  $V_i$  скалярно, а на  $V_j$  — тривиально.  $i \neq j$ . Тогда имеем действие  $G^{ab}$  на многообразии

$P = \prod_{i=1}^n P(V_i)$ . Пусть  $P^L$  — часть  $P$ , где действие  $G^{ab}$  свободно, а  $P^s = P \setminus P^L$ .

Лемма 1. Пусть  $\tilde{Y}$  — раздугие  $P/G^{ab}$  с центром в  $P^s/G^{ab}$ ,  $\gamma'$  — элемент  $H^2(G^{ab}, Q/Z)$  со свойством  $\pi^*\gamma' = \gamma$ . В случае существования продолжения элемента  $\alpha^{ab}(\gamma') \in Br(P^L/G^{ab})$  до элемента из  $Br(\tilde{Y})$  можно найти продолжение  $\alpha(\gamma)$  до элемента из  $Br(\tilde{X})$ , где  $\tilde{X}$  — проективное разрешение  $V/G$ , которое накрывает  $\tilde{Y}$ :

$$\begin{array}{ccc} \tilde{X} & \rightarrow & \tilde{Y} \\ \downarrow & & \downarrow t \\ V/G & \rightarrow & P/G^{ab} \end{array}$$

Лемма сводит доказательство теоремы к рассмотрению нашей задачи для  $\alpha^{ab}(\gamma') \in Br(P^L/G^{ab})$ , и  $Br(\tilde{Y}) \rightarrow Br(P^L/G^{ab})$ . Следующее предложение проясняет структуру подмногообразия  $P^s/G^{ab}$ , которое мы раздуваем.

Предложение 1. Многообразие  $P^s/G^{ab}$  распадается на компоненты связности  $X_i$ , причем каждое  $X_i$  имеет аналитическую окрестность  $\Phi_i$ , которая изоморфна окрестности в  $P^s/G_i^{ab}$ , где  $G_i^{ab}$  — собственная подгруппа  $G^{ab}$ .

Коцикл  $\gamma' \in H^2(G^{ab}, Q/Z)$  тривиально ограничивается на каждую собственную подгруппу  $G_i^{ab}$ , ввиду  $\gamma$ -минимальности группы.

Лемма 2. Пусть  $\Phi_i^- = \Phi_i \cap P^L/G^{ab}$ . Тогда из-за  $\gamma$ -минимальности  $\gamma'/G_i^{ab} = 0$  и поэтому ограничение  $\alpha^{ab}(\gamma')$  на каждое  $\Phi_i^-$  задается проектизацией векторного расслоения  $V_i$ .

Таким образом, нам нужно продолжать уже векторные расслоения  $V_i$  на попарно непересекающиеся прообразы  $t^{-1}(\Phi_i)$  с подмножествами  $\Phi_i^- \subset t^{-1}(\Phi_i)$ . Эта задача действительно решается раздугием подмногообразия  $P^s/G^{ab}$ , что видно из следующей леммы (лемма 3.5 из [3]):

Лемма 3. Пусть  $Y$  — неприводимое многообразие,  $M$  — когерентный пучок на  $Y$ , который локально свободен вне подмногообразия  $Z$ . Тогда при раздугии  $t: \tilde{Y} \rightarrow Y$  с центром в  $Z$ , замыкание  $\tilde{t}^*(M|_{Y \setminus Z})$  есть локально свободный пучок на  $\tilde{Y}$  ( $\tilde{t}'$  есть фактор  $t^*(M)$  по подпучку, порожденному локальными сечениями, обращающимися в ноль вне  $t^{-1}(Z)$ ).

Полученное решение задачи продолжения  $P^s$ -расслоения на гладкую проективную модель  $\tilde{X}$  от  $V/G$  является реализацией следующего подхода к решению этой задачи: найти покрытие  $V^s/G$  ( $V^s = V \setminus V^L$ ) такими труб-

чательным окрестностями  $\{U_i\}$ , что ограничение на каждое  $U_i^- = U_i \cap V^L/G$  элемента  $\alpha(\gamma)$  является проективизацией векторного расслоения  $V_i$ ; продолжать векторные расслоения  $V_i$  на модель  $\tilde{X}$ , при этом учитывая возникающие склейки на  $U_i^- \cup U_j^-$  (которые могут приводить к тому, что на  $U_i^- \cup U_j^-$  ограничение  $\alpha(\gamma)$  не является проективизацией векторного расслоения); получать таким образом продолжение  $\alpha(\gamma)$  до элемента из  $Br(\tilde{X})$ .

В случае  $\gamma$ -минимальных групп  $\alpha(\gamma)$  задается проективизацией векторного расслоения на достаточно больших непересекающихся  $\{U_i^-\}$ , что снижает проблемы склейки.

Академия наук Грузинской ССР  
 Тбилисский математический институт  
 им. А. М. Рзмадзе

(Поступило 12.11.1987)

გამოშატილი

ა. ლანდია

$P^n$ -უბიგრაციები ფაქტორისივრცხვის პროექციულ მოძილებები

რეზიუმე

ვთქვათ,  $G$  სასრული ჯგუფია,  $G \rightarrow GL(V) — \text{ზუსტი კომპლექსური წარმოდგენა, } G$  მოქმედებს თავისუფლად  $V^L$ -ზე.  $\alpha(\gamma)$  იყოს  $\gamma \in B_0(G)$  კლემფნტის ანასახი ჰომომორფიზმით  $\alpha : B_0(G) \rightarrow Br(V^L/G)$ .

თეორემა.  $G$  იყოს  $\gamma$ -მინიმალური ჯგუფი (იხ. [1]). მათინ არსებობს  $\alpha(\gamma)$  კლემფნტის  $P$  გაგრძელება  $V/G$ -ს განსაკუთრებულობების  $\tilde{X}$  გლუვ პროექციულ ამოსსნაზე,  $f^*(P) = \alpha(\gamma)$ . სადაც  $f^*$  ინდუცირებულია ჩადგმით  $V^L/G \xrightarrow{f} \tilde{X}$ .

დამტკიცება ეყრდნობა შემდეგ ფაქტს:  $\alpha(\gamma)$  არის ვექტორული განფენების პროეტივიზაცია  $V^S/G$ -ს ( $V^S/V^L$ ) საქმით დიდი თანაუკუთხით მიღმინებით დაფარვისათვის  $\{U_i\}$ .

ყველა  $\gamma \in B_0(G) = H^2(\tilde{X}, O^*)_{\text{tors}}$  კოიცლის გაგრძელება  $Br(\tilde{X})$ -ის კლემფნტად მოგვცემდა იზომორფიზმს  $Br(\tilde{X}) \approx H^2(\tilde{X}, O^*)_{\text{tors}}$ .

MATHEMATICS

A. N. LANDIA

## $P^n$ -BUNDLES ON A PROJECTIVE MODEL OF THE QUOTIENT BY A FINITE GROUP

Summary

Let  $G$  be a finite group,  $G \rightarrow GL(V)$  — a faithful complex representation.  $G$  acts freely on  $V^L \subset V$ . Let  $\alpha(\gamma)$  be the image of  $\gamma \in B_0(G)$  by the homomorphism  $\alpha : B_0(G) \rightarrow Br(V^L/G)$ . (cf. [1]).

Theorem. Let  $G$  be a  $\gamma$ -minimal group (cf. [1]). Given the element  $\alpha(\gamma) \in Br(V^L/G)$  there exists the element  $p \in Br(\tilde{X})$ ,  $F^*(P) = \alpha(\gamma)$ ,  $\tilde{X}$  being the

projective desingularization of  $V/G$  and  $f^*$  induced by the open immersion  
 $V^L/G \xrightarrow{f^*} \widetilde{X}$ .

The proof is based on the following fact:  $\alpha(\gamma)$  is trivial on a sufficiently large disjoint cover  $\{U_i\}$  of  $V^S/G(V^S = V/V^L)$ .

If the theorem were proved for all  $\gamma \in B_0(G)$  and all finite  $G$ , it would give us the isomorphism  $Br(\widetilde{X}) \approx H^2(\widetilde{X}, O^*)_{tors}$ .

#### ЛІТЕРАТУРА — REFERENCES

1. Ф. А. БОГОМОЛОВ. Изв. АН СССР, сер. мат., 51, 1987, 485—516.
2. D. J. Saltman. Inv. Math., 77, 1984, 71—84.
3. Б. Г. Мойшезон. Изв. АН СССР, сер. мат., 33, 1969, 174—238.



МАТЕМАТИКА

И. Дж. ГУБЕЛАДЗЕ

О КЛАССИЧЕСКОЙ АЛГЕБРАИЧЕСКОЙ  $K$ -ТЕОРИИ  
МОНОИДНЫХ АЛГЕБР, II

(Представлено членом-корреспондентом Академии Х. Н. Инасаридзе 22.10.1987)

В этой статье приводятся теоремы, которые либо усиливают, либо существенно дополняют результаты из [1, 2], описывающие низшие алгебраические  $K$ -функторы для моноидных алгебр. Все рассматриваемые моноидные алгебры предполагаются коммутативными, причем, если не оговорено противное, то моноиды подразумеваются удовлетворяющими условию сокращения. Будем говорить, что в моноиде отсутствует нетривиальное кручение, если в его группе частных нет нетривиальных элементов конечного порядка.

Напомним, что моноид  $M$  без нетривиального кручения называется целозамкнутым, если справедлива импликация —  $n > 0$ ,  $x \in K(M)$  (группа частных),  $x^n \in M$  (моноидную операцию записываем мультипликативно)  $\Rightarrow x \in M$ ; полунормальность моноида без нетривиального кручения означает справедливость импликации  $x \in K(M)$ ,  $x^2 \in M$ ,  $x^3 \in M \Rightarrow x \in M$ . Наши  $K$ -теоретические обозначения следуют [3]. Основным методом доказательств служит введенная нами в [4] (см. также [2]) геометрическая интерпретация моноидных алгебр.

**Теорема 1.** Пусть  $R$  обозначает либо кольцо целых чисел, либо конечное поле вида  $Z/pZ$ , где  $p$  — простое число  $\geq 5$ . Тогда целозамкнутые подмоноиды  $M \subset Z_+^2$  ( $Z_+$  обозначает аддитивный моноид неотрицательных целых чисел), для которых группы  $K_2(R)$  и  $K_2(R[M])$  не изоморфны, расположены плотно (в смысле нашей геометрической интерпретации) в  $Z_+^2$ .

После столь «сильно отрицательного» результата перечислим теоремы, имеющие «положительные формулировки».

**Теорема 2.** Пусть  $R[M]$  — любая моноидная область целостности, тогда полунормальность кольца  $R[M]$  эквивалентна полунормальности  $R$  и  $M$  по отдельности.

**Замечание 1.** Аналогичное теореме 2 утверждение для условия целозамкнутости содержится в [4, 5].

**Следствие 1.** Пусть  $R$  — любое полунормальное целостное кольцо и  $M$  — любой моноид без нетривиального кручения, в котором отсутствуют неединичные обратимые элементы. Тогда следующие условия эквивалентны:

- $M$  полунормален,
- $R[M]$  полунормален,
- $\text{Pic}(R) = \text{Pic}(R[M])$ .

Согласно результатам из [6], отсутствие нетривиальных обратимых элементов в  $M$  является необходимым условием.

**Теорема 3.** Существует класс коммутативных моноидов  $M$ , не удовлетворяющих условию сокращения, для которых все конечнопорожденные проективные  $R[M]$ -модули, при любой области главных идеалов  $R$ , свободны. Простейший такой моноид задается образующими  $t$  и  $p$  и соотношением  $t^ap^b = p^{a+b}$  при  $a + b \geq 2$ .

Вопрос об описании максимального класса коммутативных моноидов (без требования условия сокращения), обладающих указанным в теореме 5 свойством, по-прежнему остается открытым.

**Теорема 4.** Пусть  $R$  — любое коммутативное нетерово локальное кольцо с конечной размерностью Крулля  $\dim R = d$  и  $M$  — любой полуформальный моноид (без нетривиального кручения) ранга 2. Тогда естественное стображение

$$GL_r(R[M])/E_r(R[M]) \rightarrow K_1(R[M])$$

является сюръективным при  $r \geq \max(3, d+1)$ .

Учитывая результаты из [7] относительно стабилизации полной линейной группы кольца многочленов (с нетеровым кольцом коэффициентов), теорему 6 можно рассматривать как  $K_1$ -аналог (точнее — обобщенный  $K_1$ -аналог, ввиду общего кольца коэффициентов) основного результата из [8] (для этого теореме Андерсона следует придать подходящий стабилизационный вид относительно функтора  $K_0$ ).

**Теорема 5.** Пусть  $R$  — любое коммутативное  $K_2$ -регулярное кольцо, для которого  $SK_1(R) = 0$ , а  $M$  — моноид конечного ранга без нетривиального кручения, в котором каждый элемент  $x$  содержится в некотором неконечнопорожденном целозамкнутом промежуточном подмоноиде  $x \in N \subset M$  ранга 1. Тогда для любого идеала  $I \subset R[M]$ , порожденного некоторым подмножеством из  $M$ , изоморфность естественного отображения  $K_2(R) \rightarrow K_2(R[M])$  влечет за собой изоморфность естественного отображения  $K_2(R) \rightarrow K_2(R[M]/\sqrt{I})$  ( $\sqrt{I}$  обозначает радикал идеала  $I$ ).

Простейшим примером моноидов указанного в этой теореме вида служит  $\mathbf{Q}_+^d$ , где  $d$  — любое натуральное число, а  $\mathbf{Q}_+$  — аддитивный моноид неотрицательных рациональных чисел. Приведенное утверждение для этого частного случая содержится в [9]. Теорема 7 является обобщенным  $K_2$ -аналогом результатов из [10]; условие существования промежуточного моноида  $x \in N \subset M$  с нужными свойствами является необходимым (согласно контрпримерам из [11]).

В заключение приведем теорему, дающую достаточное условие тривиальности значения функтора общего вида  $F : \underline{\text{Rings}} \rightarrow \underline{\text{Ab-Groups}}$  на моноидном кольце  $R[M]$ , где  $M$  является делимым (т. е.  $M^c = M$  для любого натурального  $c$ ). Напомним, что функтор  $F : \underline{\text{Rings}} \rightarrow \underline{\text{Ab-Groups}}$  называется непрерывным, если он сохраняет направленные прямые предели если же любой декартовый квадрат колец

$$\begin{array}{ccc} \Lambda & \longrightarrow & \Lambda_1 \\ \downarrow & & \downarrow f \\ \Lambda_2 & \longrightarrow & \Lambda' \end{array}$$

с сюръективным  $f$  индуцирует естественную точную последовательность

$$F(\Lambda) \rightarrow F(\Lambda_1) \oplus F(\Lambda_2) \rightarrow F(\Lambda'),$$

то функтор  $F$  называется полуточным.

Пусть  $F$  — непрерывный полуточный функтор. Тогда справедлива

**Теорема 6.** Пусть  $R$  — любое коммутативное кольцо, для которого естественное отображение  $F(R) \rightarrow F(R[Z^d_+])$  является изоморфизмом при любом натуральном  $d$ , а  $M$  — любой делимый мононид, который можно вложить в мононид вида  $\mathbf{Q}_+ \otimes N$ , где  $N$  — некоторый конечнопорожденный мононид без нетривиального кручения и без нетривиальных обратимых элементов. Тогда из конечной порожденности факторгруппы  $F(R[M])/F(R)$  следует равенство  $F(R) = F(R[M])$ .

В частном случае функторов  $F = SK_i, NK_i$  ( $i = 0, 1$ ) получаем теорему 4 из [1].

Академия наук Грузинской ССР  
Тбилисский математический институт  
им. А. М. Размадзе

(Поступило 12.11.1987)

‘გათვალისწინება

0. გუბელაძე

მონოდური ალგებრების კლასიკური ალგებრული  $K$ -თეორიის  
შესახებ, II

რეზიუმე

მტკიცდება, რომ  $R[M]$  მონოდური მთელობის არის ნახევრად ნორმალურობა ეკვივალენტურია  $R$ -ის და  $M$ -ის ერთდროული ნახევრად ნორმალურობისა. 2-რანგიან ნახევრად ნორმალურ მონოდურება მონოდური რეცლის სიურექციული  $K_1$ -სტაბილიზაცია ემთხვევა მრავალწევრთა აღგებრის სიურექციულ  $K_1$ -სტაბილიზაციას.  $K_2$ -რეგულარული  $R$  რეცლისათვის და თითქმის გაყოფადი  $M$  მონოდისათვის დამტკიცებულია შემდეგი იმპლიკაციის სამართლიანობა:

$$K_2(R) = K_2(R[M]) \Rightarrow K_2(R) = K_2(R[M]/I),$$

სადაც  $I$  არის  $M$ -ის ქვესიმრავლით წარმოქმნილი რაციოლური იდეალი  $R[M]$ -ში. ნებისმიერი ნახევრად ზუსტი ფუნქციონისათვის  $F\text{-Rings} \rightarrow Ab\text{-Groups}$  და  $F$ -რეგულარული  $R$  რეცლისათვის დადგნილია  $R[M]$ -ის  $F$ -რეგულარობის პირობები, სადაც  $M$  გაყოფადი მონოდია.

MATHEMATICS

J. GUBELADZE

## ON CLASSICAL ALGEBRAIC $K$ -THEORY OF MONOID ALGEBRAS, II

Summary

It is proved that: seminormality of the integral monoid ring  $R[M]$  is equivalent to that of  $R$  and  $M$  simultaneously; the surjective  $K_1$ -stabilization of a monoid ring over a seminormal monoid of rank 2 and the surjective

$K_1$ -stabilization of the polynomial algebras coincide. For a  $K_2$ -regular ring  $R$  and the divisible-like monoid  $M$  the following implication is proved:  $K_2(R) = K_2(R[M]) \Rightarrow K_2(R) = K_2(R[M]/I)$ , where  $I$  is a radical ideal in  $R[M]$ , generated by some subset in  $M$ . For an arbitrary semiexact functor  $F : \text{Rings} \rightarrow \text{Ab-Groups}$  and for a  $F$ -regular ring  $R$  the condition for  $F$  regularity of  $R[M]$  for a divisible  $M$  is obtained.

#### ЛІТЕРАТУРА — REFERENCES

1. И. Дж. Губеладзе. Сообщения АН ГССР, 122, № 2, 1986.
2. И. Дж. Губеладзе. Сообщения АН ГССР, 125, № 2, 1987.
3. Х. Басс. Алгебраическая К-теория, М., 1973.
4. И. Дж. Губеладзе. Исследования по алгебре. Тбилиси, 1985.
5. M. Hochster. Ann. Math., vol. 96, № 2, 1972.
6. D. F. Anderson. J. Pure and Appl. Algebra, v. 23, 1982, p. 221—226.
7. А. А. Суслин. Изв. АН СССР, 41, № 2, 1977.
8. D. F. Anderson. Pacific J. Math., vol. 79, 1978, p. 5—15.
9. И. Дж. Губеладзе. Тезисы 18 Всесоюзной алгебраической конференции. Кишинев, 1985.
10. T. Vorst. Math. Z., 184, № 3, 1983.
11. R. G. Swan. J. Pure and Appl. Algebra, vol. 1, № 3, 1971.



МАТЕМАТИКА

С. А. ЛОГУНОВ

ДАЛЕКИЕ ТОЧКИ И КАРДИНАЛЬНЫЕ ИНВАРИАНТЫ

(Представлено членом-корреспондентом Академии Х. Н. Инасаридзе 14.10.1987)

В [1–3] были даны определения далекой и удаленной точек нароста  $X^* = \beta X \setminus X$  расширения Чеха–Стоуна топологического пространства  $X$ . Работа посвящена построению подобных точек при различных ограничениях на кардинальные инварианты пространства  $X$ . Пространства предполагаются вполне регулярными и не псевдокомпактными.

Напомним, что множество  $F \subset X$  называется  $G_\delta$ -плотным, в  $X$ , если  $G \cap F \neq \emptyset$  для всякого непустого  $G_\delta$ -множества  $G \subset X$ . Множество  $F$  имеет счетный характер (псевдохарактер, тесноту), если  $\chi(x, F) \leq \omega$  ( $\phi(x, F) \leq \omega$ ),  $t(x, F) \leq \omega$  для всякой точки  $x \in F$ . Точка  $x \in X$  называется слабой  $P$ -точкой, если она не является предельной точкой ни для какого счетного множества  $D \subset X \setminus \{x\}$ . Всякий ультрафильтр  $u \in \omega^*$  определяет на множестве функций из  $\omega$  в  $\omega$  частичный порядок по следующему правилу:  $f < g$ , если  $\{n \in \omega : f(n) < g(n)\} \in u$ .

Следуя [4], обозначим символом  $[\eta_0 = \omega_1]$  следующее предположение: найдется такой ультрафильтр  $u \in \omega^*$ , что в  $(\omega^\omega, \prec_u)$  существует возраста-

ющее неограниченное семейство функций мощности  $\omega_1$ .

Определение [2]. Точка нароста  $\xi \in X^*$  называется далекой (удаленной), если  $\xi \notin [D]_{\beta X}$  для любого замкнутого дискретного (нигде не плотного) множества  $D \subset X$ .

Пусть  $D$  — замкнутое покрытие пространства  $X$ .

Определение 1. Семейство  $\{A_\alpha : \alpha \in \omega_1\}$  назовем преддалеким для  $D$ , если для каждого  $D \in D$  найдется такое  $\alpha(D) \in \omega_1$ , что  $[A_\alpha] \cap D = \emptyset$  для всех  $\alpha > \alpha(D)$ .

Доказательства следующих двух лемм, основанные на построениях [2] и [4] соответственно, мы опускаем.

Лемма 1. Пусть пространство  $X$  нормально и в каждом замкнутом  $G_\delta$ -множестве  $A \subset X$  существует преддалекое для  $D$  семейство  $\{A_\alpha : \alpha \in \omega_1\}$ , состоящее из замкнутых  $G_\delta$ -множеств  $A_\alpha \subset A$ . Тогда найдется такая точка нароста  $\xi \in X^*$ , что  $\xi \notin [D]_{\beta X}$  для любого множества  $D \in D$ .

Лемма 2.  $[\eta_0 = \omega_1]$ . Пусть в каждом открытом множестве  $A \subset X$  существует семейство открытых подмножеств  $\{A_\alpha : \alpha \in \omega_1\}$ , удовлетворяющее следующему условию: для каждого  $D \in D$  найдется такое  $\alpha \in \omega_1$ , что  $[A_\alpha] \cap D = \emptyset$ . Тогда найдется такая точка нароста  $\xi \in X^*$ , что  $\xi \notin [D]_{\beta X}$  для любого  $D \in D$ .

Теорема 1. Пусть пространство  $X$  нормально и множество точек  $\{x \in X : \chi(x) = \phi(x) = \omega_1\}$   $G_\delta$ -плотно в  $X$ . Тогда найдется такая точка

$\xi \in X^*$ , что  $\xi \notin [D]_{\beta X}$  для любого замкнутого множества  $D \subset X$ , имеющего счетный псевдохарактер.

Доказательство. Пусть  $A \subset X$  — замкнутое  $G_\delta$ -множество. Зададим точку  $x \in A$  такую, что  $\chi(x) = \phi(x) = \omega_1$  и ее базу  $\{U_\alpha : \alpha \in \omega_1\}$ . Для каждого  $\alpha \in \omega_1$  найдется замкнутое  $G_\delta$ -множество  $C_\alpha \subset U_\alpha \cap A$ , содержащее точку  $x$ . Пусть  $V_\alpha = \bigcap_{\beta < \alpha} C_\beta$ . Тогда  $B = \{V_\alpha : \alpha \in \omega_1\}$  — вложенная база точки  $x$ , состоящая из замкнутых  $G_\delta$ -множеств.

Несложно построить по трансфинитной индукции дизъюнктное семейство  $\Omega = \{A_\alpha : \alpha \in \omega_1\}$  и строго вложенное семейство  $\{F_\alpha : \alpha \in \omega_1\}$ , состоящие из непустых замкнутых  $G_\delta$ -множеств и удовлетворяющие для каждого  $\alpha \in \omega_1$  следующим условиям:

1.  $F_0 = V_0$ ;
2.  $A_{\alpha+1} \subset F_\alpha \cap V_{\alpha+1}$ ;
3.  $x \in F_{\alpha+1} \subset F_\alpha \cap V_{\alpha+1}$ ;
4.  $A_\alpha \cap F_\alpha = \emptyset$ .

В силу леммы 1 нам достаточно проверить, что для любого замкнутого множества  $D \subset X$ , имеющего счетный псевдохарактер, найдется такое  $\alpha(D) \in \omega_1$ , что  $A_\alpha \cap D = \emptyset$  для каждого  $\alpha \in \omega_1$ ,  $\alpha > \alpha(D)$ . Это очевидно, если  $x \notin D$ . Пусть  $x \in D$ . Найдется такое счетное семейство  $\{V_\alpha : j \in \omega\} \subset B$ , что  $\bigcap_{j \in \omega} V_\alpha \cap D = \{x\}$ . Пусть  $\alpha(D) = \sup \{\alpha_j : j \in \omega\}$ . Для каждого  $\alpha \in \omega_1$ ,  $\alpha > \alpha(D)$  по построению имеем:  $A_\alpha \cap D = \emptyset$ , так как  $x \notin A_\alpha$  и  $A_\alpha \subset \bigcap_{j \in \omega} V_\alpha$ .

Теорема 2. Пусть локально компактное пространство  $X$  ни в одной точке не удовлетворяет первой аксиоме счетности. Тогда найдется такая точка  $\xi \in X^*$ , удовлетворяющая следующему условию:  $\xi \notin [D]_{\beta X}$  для любого замкнутого множества  $D \subset X$  такого, что  $\chi(F, D) \leq \omega$  для всякого бикомпакта  $F \subset D$ .

Теорема 3. Пусть нормальное пространство  $X$  ни в одной точке не имеет счетного псевдохарактера. Тогда найдется такая точка  $\xi \in X^*$ , что  $\xi \notin [D]_{\beta X}$  для любого счетного замкнутого множества  $D \subset X$ .

Теорема 4. Пусть пространство  $X$  локально компактно и множество точек  $\{x \in X : \chi(x) = t(x) = \omega_1\}$   $G_\delta$ -плотно в  $X$ . Тогда найдется такая точка  $\xi \in X^*$ , что  $\xi \notin [D]_{\beta X}$  для любого замкнутого локально компактного множества счетной тесноты  $D \subset X$ .

Теорема 5. [ $\eta_0 = \omega_1$ ]. Пусть множество точек  $\{x \in X : \phi(x) = \omega$  и  $\chi(x) = \omega_1\}$  всюду плотно в  $X$ . Тогда найдется такая точка  $\xi \in X^*$ , что  $\xi \notin [D]_{\beta X}$  для любого замкнутого локально компактного множества  $D \subset X$ .

Доказательство. Пусть множество  $A \subset X$  открыто. Зафиксируем точку  $x \in A$  такую, что  $\phi(x) = \omega$  и  $\chi(x) = \omega_1$ . Пусть  $B = \{U_\alpha : \alpha \in \omega_1\}$  ее база, состоящая из открытых подмножеств  $A$ . Для каждого  $\alpha \in \omega_1$  зафиксируем вложенную с замыканием псевдобазу  $\{V_{\alpha n} : n \in \omega\}$  точки  $x$ , состоящую из открытых подмножеств  $U_\alpha$ . В силу несчетности характера точки  $x$  найдется такая окрестность  $O_{\alpha x}$ , что  $V_{\alpha n} \setminus [O_{\alpha x}] \neq \emptyset$  для любого  $n \in \omega$ . Зафиксируем непустое открытое множество  $A_{\alpha n}$  с замыканием принадлежащее  $V_{\alpha n} \setminus [O_{\alpha x}]$ . Положим  $\Omega = \{A_{\alpha n} : \alpha \in \omega_1, n \in \omega\}$ .

В силу леммы 2 нам достаточно проверить, что для любого замкнутого локально компактного множества  $D \subset X$  найдется такое  $A_{\alpha n} \in \Omega$ , что

$[A_{an}] \cap D = \emptyset$ . Это очевидно, если  $x \notin D$ . Пусть  $x \in D$ . Найдется такое  $U_a \in B$ , что  $[U_a] \cap D$  бикомпактно. Следовательно, найдется такое  $n \in \omega$ , что  $V_{an} \cap D \subseteq O_{ax}$ . Но тогда  $(V_{an} \setminus O_{ax}) \cap D = \emptyset$  и, следовательно,  $[A_{an}] \cap D = \emptyset$ .

**Теорема 6** [ $\eta_0 = \omega_1$ ]. Пусть пространство  $X$  имеет характер  $\omega_1$  на всюду плотном множестве точек. Тогда найдется такая точка  $\xi \in X^*$ , что  $\xi \notin [D]_{\beta X}$  для любого замкнутого множества  $D \subset X$ , удовлетворяющего первой аксиоме счетности.

**Теорема 7.** Пусть пространство  $X$  удовлетворяет первой аксиоме счетности на всюду плотном множестве точек и не имеет изолированных точек. Тогда найдется далекая точка  $\xi \in X^*$ , предельная для счетного замкнутого множества  $D \subset X$ .

Следующий результат дополняет теорему 0.1 работы [5].

**Теорема 8.** Пусть всякое открытые подмножество  $A \subset X$  локально компактного пространства  $X$  удовлетворяет одному из следующих условий:

1.  $\pi\omega(A) = \omega_1$  и  $\pi\chi(A) = \omega$ ;
2.  $d(A) = \omega_1$  и  $t(A) = \omega$ .

Тогда пространство  $\beta X$  содержит в наросте слабую  $P$ -точку.

Московский государственный университет

(Поступило 20.1.1987)

Редакторы

Б. А. Логунов

Ученый редактор Ю. А. Качалов

Литература

$X$  локально компактное и однородное по всему множеству точек  $X^*$ . Установлено, что для каждого открытого локально компактного подмножества  $A \subset X$  существует такая точка  $\xi \in X^*$ , что  $\xi \notin [A]_{\beta X}$ . Доказано, что если  $A$  удовлетворяет одному из следующих условий:

MATHEMATICS

S. A. LOGUNOV

## REMOTE POINTS AND CARDINAL INVARIANTS

Summary

Under some restrictions on cardinal invariants of the space  $X$  remote, in a sense, points  $X^* = \beta X \setminus X$  are constructed in its Čech-Stone remainder.

## ЛІТОРАЛА — ЛІТЕРАТУРА — REFERENCES

1. E. K. van Douwen. Why certain Čech-Stone remainders are not homogeneous. *Colloq. Math.* v. 41, № 1. 1979.
2. E. K. van Douwen. Remote points. *Diss. Math.* 1981.
3. S. B. Chaiken, J. H. Smith. Remote points and G-spaces. *Gen. Topol. and Appl.* v. 11, № 3. 1980.
4. A. Dow. Remote points in spaces with  $\pi$ -weight  $\omega_1$ . *Fund. Math.* v. 124, № 3, 1984.
5. J. van Mill. Weak P-points in Čech-Stone compactifications. *Trans. Amer. Math. Soc.* v. 273, № 2. 1982.

М. Т. АШОРДИЯ

О РАЗРЕШИМОСТИ КВАЗИЛИНЕЙНЫХ КРАЕВЫХ ЗАДАЧ  
ДЛЯ СИСТЕМ ОБОБЩЕННЫХ ОБЫКНОВЕННЫХ  
ДИФФЕРЕНЦИАЛЬНЫХ УРАВНЕНИЙ

(Представлено членом-корреспондентом Академии И. Т. Кигурадзе 10.11.1987)

В настоящей статье рассматривается система обобщенных обыкновенных дифференциальных уравнений

$$dx_i(t) = f_i(t, x_1(t), \dots, x_n(t)) d\alpha_i(t) \quad (i=1, \dots, n) \quad (1)$$

с краевыми условиями

$$h_i(x_1, \dots, x_n) = c_i(x_1, \dots, x_n) \quad (i=1, \dots, n). \quad (2)$$

Начальные и краевые задачи для систем вида (1) раньше исследовались в [1—5]. Ниже приводятся признаки разрешимости и однозначной разрешимости задачи (1), (2). Аналогичные признаки для систем обыкновенных дифференциальных уравнений содержатся в [6].

Мы будем пользоваться следующими обозначениями.

$R$  — числовая прямая,  $R_+ = [0, +\infty] \cdot R^n$  —  $n$ -мерное вещественное евклидово пространство, а  $x = (x_k)_{k=1}^n$  — произвольная точка в нем;  $\|x\| = \sqrt{|x_1|^2 + \dots + |x_n|^2}$ ;  $V_a^b x$  — сумма полных вариаций компонент вектор-функции  $x : [a, b] \rightarrow R^n$  ( $-\infty < a < b < +\infty$ );  $BV_n(a, b)$  — банахово пространство вектор-функций  $x : [a, b] \rightarrow R^n$  таких, что  $\int_a^b |x'(t)| dt < +\infty$ ;  $\|x\|_{BV_n} = \sqrt{\int_a^b |x'(t)|^2 dt}$ ;  $\|x\|_a^b = \sqrt{\int_a^b x(t)^2 dt}$ ;  $\|x\|_{\sup} = \sup_{a \leq t \leq b} \|x(t)\|$ ;  $d_1 x(t) = x(t) - x(t-)$ ,  $d_2 x(t) = x(t+) - x(t)$ .

$R^{n \times n}$  — множество вещественных  $n \times n$  матриц.  $G = (g_{ik})_{i,k=1}^n$  —  $n \times n$ -матрица с элементами  $g_{ik}$  ( $i, k = 1, \dots, n$ );  $\det G$  — ее определитель.  $\text{diag}(\lambda_1, \dots, \lambda_n)$  — диагональная матрица с диагональными элементами  $\lambda_i$  ( $i = 1, \dots, n$ ).  $E$  — единичная  $n \times n$ -матрица.

Если  $G = (g_{ik})_{i,k=1}^n$  и  $H = (h_{ik})_{i,k=1}^n$ , то  $G \leq H (\Rightarrow g_{ik} \leq h_{ik}, i, k = 1, \dots, n)$ .

Если  $\alpha_1, \alpha_2 : [a, b] \rightarrow R$  — неубывающие функции,

$$\alpha(t) = \alpha_1(t) - \alpha_2(t), \quad x : [a, b] \rightarrow R \quad \text{и} \quad s, t \in [a, b], \quad s \leq t,$$

то

$$\int_s^t x(\tau) d\alpha(\tau) = \int_s^t x(\tau) d\alpha_1(\tau) - \int_s^t x(\tau) d\alpha_2(\tau),$$

где под  $\int_s^t x(\tau) d\alpha_i(\tau)$  ( $i=1, 2$ ) понимается интеграл на сегменте  $[s, t]$  от функции  $x$  по мере Лебега—Стильтеса  $\mu_{\alpha_i}$  порожденной функцией  $\alpha_i$  на том же сегменте.

$L(a, b; \alpha)$ —пространство функций, суммируемых по  $\alpha$  на сегменте  $[a, b]$ ;

$$L(a, b; \alpha_1, \dots, \alpha_n) = \{X = (x_{ik})_{i,k=1}^n : x_{ik} \in L(a, b; \alpha_k) \text{ } (i, k=1, \dots, n)\};$$

$S(a, b; A_1, A_2; \alpha) = \{X \in L(a, b; \alpha_1, \dots, \alpha_n) : A_1(t) \leq X(t) \leq A_2(t)$   
при  $a \leq t \leq b\}.$

$K(a, b; \alpha)$ —класс Каратеодори, т. е. множество функций  $f : [a, b] \times R^n \rightarrow R$  таких, что: 1)  $f(\cdot, x)$  измерима относительно меры  $\mu_a$  при любом  $x \in R^n$ ; 2)  $f(t, \cdot)$  непрерывна при любом  $t \in [a, b]$ ; 3) для любого  $r > 0$  на множество  $\{(t, x) : a \leq t \leq b, \|x\| \leq r\}$  соблюдается неравенство  $|f(t, x)| \leq h_r(t)$ , где функция  $h_r \in L(a, b; \alpha)$ .

$K^0(a, b; \alpha_1, \dots, \alpha_n)$ —множество матричных функций  $A = (a_{ik})_{i,k=1}^n : [a, b] \times R^n \rightarrow R^{n \times n}$  таких, что  $a_{ik}(\cdot, y(\cdot)) \in L(a, b; \alpha)$  при  $y \in BV_n(a, b)$  и  $|a_{ik}(t, x)| \leq \varphi_r(t)$  при  $a \leq t \leq b, \|x\| \leq r$ , где  $\alpha = \alpha_1 + \dots + \alpha_n$ ,  $\varphi_r \in L(a, b; \alpha)$  ( $r > 0; i, k=1, \dots, n$ ).

Всюду ниже предполагается, что  $\alpha_i : [a, b] \rightarrow R$  ( $i=1, \dots, n$ )—неубывающие функции  $\alpha = \alpha_1 + \dots + \alpha_n$ ;  $f_i \in K(a, b; \alpha_i)$  ( $i=1, \dots, n$ );  $h_i(x) =$

$$= \sum_{k=1}^n \int_a^b x_k(\tau) d\beta_{ik}(\tau) \quad (i=1, \dots, n) \quad \text{при } x = (x_k)_{k=1}^n \in BV_n(a, b);$$

$\beta_{ik} \in BV_n(a, b)$  ( $i, k=1, \dots, n$ );  $c_i : BV_n(a, b) \rightarrow R$  ( $i=1, \dots, n$ )—непрерывные отображения,  $|c_i(x)| \leq \omega(\|x\|_{\sup})$ , где функция  $\omega : R_+ \rightarrow R_+$ —непрерывна, не убывает и  $\lim_{r \rightarrow +\infty} \frac{\omega(r)}{r} = +\infty$ .

Под решением задачи (1), (2) понимается удовлетворяющая условию (2) вектор-функция  $x = (x_k)_{k=1}^n \in BV_n(a, b)$  такая, что при  $a \leq s \leq t \leq b$

$$x_k(t) = x_k(s) + \int_s^t f_k(\tau, x_1(\tau), \dots, x_n(\tau)) d\alpha_k(\tau) \quad (k=1, \dots, n).$$

**Теорема 1.** Пусть существует матричная функция  $(A = a_{ik})_{i,k=1}^n \in K^0(a, b; \alpha_1, \dots, \alpha_n)$  такая, что для любого  $i \in \{1, \dots, n\}$  на множестве  $[a, b] \times R^n$  имеем  $A(\cdot, x) \in S(a, b; A_1, A_2; \alpha)$  и

$$\left| f_i(t, x_1, \dots, x_n) - \sum_{k=1}^n a_{ik}(t, x_1, \dots, x_n) x_k \right| \leq q_i(t; |x_1|, \dots, |x_n|), \quad (3)$$

где  $A_1, A_2 \in L(a, b; \alpha_1, \dots, \alpha_n)$ , а  $q_i \in K(a, b; \alpha_i)$ —неубывающая по последним  $n$ -переменным функция, удовлетворяющая условию

$$\lim_{\|x\| \rightarrow +\infty} \frac{1}{\|x\|} \int_a^b q_i(t, |x_1|, \dots, |x_n|) d\alpha_i(t) = 0. \quad (4)$$

Пусть, кроме того,

$$\det [E + (-1)^i \operatorname{diag}(d_j \alpha_1(t), \dots, d_j \alpha_n(t)) \cdot A_1(t)] \neq 0 \text{ при}$$

$$a \leq t \leq b (j=1, 2) \quad (5)$$

и однородная краевая задача

$$dx_i(t) = \sum_{k=1}^n b_{ik}(t) x_k(t) d\alpha_i(t) \quad (i=1, \dots, n), \quad (6)$$

$$h_i(x_1, \dots, x_n) = 0 \quad (i=1, \dots, n) \quad (7)$$

имеет только нулевое решение, если только  $B = (b_{ik})_{i,k=1}^n \in S(a, b; A_1, A_2; \alpha)$ . Тогда задача (1), (2) разрешима.

Следствие. Пусть для любого  $i \in \{1, \dots, n\}$  на множестве  $[a, b] \times R^n$  соблюдается (4) и

$$|\dot{f}_i(t, x_1, \dots, x_n)| \leq \sum_{k=1}^n h_{ik}(t) |x_k| + q_i(t, |x_1|, \dots, |x_n|),$$

где  $H = (h_{ik})_{i,k=1}^n \in L(a, b; \alpha, \dots, \alpha)$ , а  $q_i \in K(a, b; \alpha_i)$  — неубывающая по последним  $n$ -переменным функция. Пусть, кроме того, для любой матричной функции  $B = (b_{ik})_{i,k=1}^n \in S(a, b; A_1, A_2; \alpha)$  ( $A_1 = -H$ ,  $A_2 = H$ ) однородная краевая задача (6), (7) имеет только нулевое решение и соблюдается (5). Тогда задача (1), (2) разрешима.

Теорема 2. Пусть  $c_i(x) = c_{0i} = \operatorname{const} (i=1, \dots, n)$  при  $x \in BV_n(a, b)$  и на множестве  $[a, b] \times R^n$

$$|\dot{f}_i(t, x_1, \dots, x_n) - \dot{f}_i(t, y_1, \dots, y_n)| \leq \sum_{k=1}^n h_{ik}(t) |x_k - y_k|,$$

здесь  $H = (h_{ik})_{i,k=1}^n \in L(a, b; \alpha, \dots, \alpha)$ . Пусть, кроме того, для любой матричной функции  $B = (b_{ik})_{i,k=1}^n \in S(a, b; A_1, A_2; \alpha)$  ( $A_1 = -H$ ,  $A_2 = H$ ) однородная краевая задача (6), (7) имеет только нулевое решение и соблюдается (5). Тогда задача (1), (2) имеет единственное решение.

Грузинский политехнический институт  
им. В. И. Ленина

(Поступило 24.12.1987)

## მ. აშორდია

განხოგადიგულ ჩვეულებების დიფერენციალურ განტოლებათა  
 სისტემებისათვის კვაზიტრიზივი სასაზღვრო ამოცანების  
 ამონსნადობის შესახებ

რეზიუმე

მოყვანილია დებულებები განხოგადებულ ჩვეულებრივ დიფერენციალურ  
 განტოლებათა (1) სისტემის ისეთი მონაბენის არსებობისა და ერთადერთო-  
 ბის შესახებ, რომელიც აკმაყოფილებს (2) სასზღვრო პირობებს.

MATHEMATICS

M. T. ASHORDIA

ON THE SOLVABILITY OF QUASI-LINEAR BOUNDARY-VALUE  
 PROBLEMS FOR SYSTEMS OF GENERALIZED ORDINARY  
 DIFFERENTIAL EQUATIONS

Summary

The existence and uniqueness of solutions to the system (1) of generalized ordinary differential equations satisfying the boundary conditions (2) are stated.

## ლიტერატურა — ЛИТЕРАТУРА — REFERENCES

1. I. Kurzweil. Czech. Math. J., 8 (83), 1958, 360—388.
2. S. Schwabik, M. Tvrdy. Czech. Math. J., 29 (104), 1979, 451—477.
3. S. Schwabik *et al.* Differential and Integral Equations. Praha, 1979, 248.
4. М. Т. Ашордия. Сообщения АН ГССР, 115, № 1, 1984, 17—20.
5. М. Т. Ашордия. Сообщения АН ГССР, 118, № 4, 1985, 261—264.
6. И. Т. Кигурадзе. Некоторые сингулярные краевые задачи для обыкновенных дифференциальных уравнений. Тбилиси, 1975, 352.

Л. К. ПАНДЖИКИДЗЕ

## О СХОДИМОСТИ КРАТНЫХ СОПРЯЖЕННЫХ РЯДОВ В МЕТРИКЕ $L(R_n)$ И ОБ ИНТЕГРИРУЕМОСТИ СОПРЯЖЕННЫХ ФУНКЦИЙ МНОГИХ ПЕРЕМЕННЫХ

(Представлено членом-корреспондентом Академии Л. В. Жинишвили 22.9.1987)

Приведем некоторые известные обозначения и определения (см. [1, 2]).

Обычно через  $E_n$  ( $n \geq 2$ ) обозначают  $n$ -мерное евклидово пространство точек  $\vec{x} = (x_1, x_2, \dots, x_n)$ . Далее, пусть  $M = \{1, 2, \dots, n\}$  и  $B \subset M$ , где  $B = \{i_1, i_2, \dots, i_k\}$  ( $i_l \neq i_p$  при  $l \neq p$ ,  $i_k \leq n$ ). Тогда через  $E_n(B)$  обозначают ту гиперплоскость, которая натянута лишь на те координатные векторы, индексы которых составляют множество  $B$ . Пользуются и следующими обозначениями:  $R_n = [-\pi, \pi]^n$ ,  $K_n(B) = [0, 1]^n \cap E_n(B)$ ,  $U_n(B) = [0, \pi]^n \cap E_n(B)$ . Символ  $\vec{x}_B$  — это такая точка из  $E_n$ , координаты которой с индексами из  $B$  совпадают с соответствующими координатами точки  $\vec{x}$ , а остальные — нули, и  $d\vec{x}_B = dx_{i_1} dx_{i_2} \dots dx_{i_k}$ .

Далее, смешанным модулем непрерывности называют всякую функцию  $\omega_B : K_n(B) \rightarrow [0, +\infty[$ , которая удовлетворяет следующим условиям:

- 1)  $\omega_B = 0$ , если  $\delta_{i_1} \delta_{i_2} \dots \delta_{i_k} = 0$ ,
- 2)  $\omega_B \in C(K_n(B))$ ,
- 3)  $\omega_B \uparrow$  в смысле Харди,
- 4)  $\omega_B$  — полуаддитивна относительно каждого из переменных.

Если  $\Delta(f; \vec{x}, \vec{h}_i) = f(\vec{x} + \vec{h}_i) - f(\vec{x})$  с  $\vec{h}_i = (0, 0, \dots, h_i, 0, \dots, 0)$ ,  $h_i \in E_1$  ( $i = \overline{1, n}$ ), то символ  $\Delta(f, \vec{x}, \vec{h}_B)$  обозначает выражение, которое получается последовательным применением операции  $\Delta$  по тем переменным, индексы которых составляют множество  $B$  (при  $i_k \geq 2$ ). Выражение

$$\omega_B(\vec{\delta}_B, f)_{L(R_n)} = \sup_{|h_{i_j}| \leq \delta_{i_j}} \|\Delta(f; \vec{x}; \vec{h}_B)\|_{L(R_n)}$$
$$j = \overline{1, k}$$

называют смешанным интегральным модулем непрерывности функции  $f \in L(R_n)$ , периодичной с периодом  $2\pi$  относительно каждого (при  $n \geq 2$ ) из переменных.

Через  $H(\omega_B, L(R_n))$  обозначают класс

$$\{f \in L(R_n) : \omega_B(\vec{\delta}_B, f)_{L(R_n)} = O(\omega_B(\vec{\delta}_B))\}$$

при  $\{\vec{\delta}_B \rightarrow +\vec{O}_B\}$ , где  $\omega_B$  — некоторый заданный смешанный модуль непрерывности.

Далее, если  $f \in L(R_n)$  ( $n \geq 2$ ), то через  $\sigma_n(f)$  обозначают  $n$ -кратный тригонометрический ряд Фурье функции  $f$ , а символом  $\bar{\sigma}_n[f; B]$  — сопря-

женный к ряду  $\sigma_n(f)$  тригонометрический ряд по тем переменным, индексы которых составляют множество  $B$ .

В настоящей статье приводятся теоремы, которые представляют собой необходимые и достаточные условия для того, чтобы все ряды  $\bar{\sigma}_n[f; B]$ , ( $B \subseteq M$ ) сходились в смысле Прингсхайма в метрике пространства  $L(R_n)$  и сопряженная функция  $\vec{f}_B$  принадлежала классу  $L(R_n)$  для любых  $f$  из  $H(\omega_B, L(R_n))$ . Приведенные теоремы обобщают соответствующие результаты из работ Л. В. Жижиашвили [1, 2], в том смысле, что не накладываются никакие дополнительные условия на данный смешанный модуль непрерывности  $\omega_B$ .

Приведем основные утверждения:

**Теорема 1.** Для того чтобы  $\bar{\sigma}_n[f; B]$  сходились в смысле метрики  $L(R_n)$  для всех  $f$  из класса  $H(\omega_B, L(R_n))$ , необходимо и достаточно выполненные условия

$$\sum_{\vec{m}_B \geqslant \vec{1}_B} \left( \prod_{j=1}^k m_{i_j} \right)^{-1} \omega_B \left( \left( \frac{\vec{1}}{m} \right)_B \right) < \infty,$$

где

$$\left( \frac{\vec{1}}{m} \right)_B = \left( \frac{1}{m_{i_1}}, \frac{1}{m_{i_2}}, \dots, \frac{1}{m_{i_k}} \right).$$

**Теорема 2.** Для вложения

$$\bar{H}(\omega_B, L(R_n)) \subset L(R_n),$$

где

$$\bar{H}(\omega_B, L(R_n)) = \{ \vec{f} : f \in H(\omega_B, L(R_n)) \},$$

необходимо и достаточно, чтобы

$$\int_{U'_n(B)} \left( \prod_{j=1}^n \delta_{i_j} \right)^{-1} \omega_B(\vec{\delta}_B) d\vec{\delta}_B < \infty.$$

Надо отметить, что при доказательствах приведенных здесь результатов основным является установление необходимости сформулированных условий.

Тбилисский государственный университет

(Поступило 5.11.1987)

შათავათიძე

ლ. ფაჯურიძე

*L(R\_n)* მეტრიკული ჯერადი უსულებული ტრიგონომეტრიული მატრიცების პრიგადობისა და მრავალი ცვლადის უსულებული ფუნქციების ინტეგრაციონის შესახებ

რეზიუმე

მრავალი ცვლადის ფუნქციათა გარევეული კლასებისათვის მოყვანილია იმის აუცილებელი და საკმარისი პირობები, რომ ამ კლასებიდან აღებული ყოველი ფუნქციის ფურიეს გერადი ტრიგონომეტრიული მწკრივის შეუძლებული მწკრივი კრებადი იყოს  $L$  სივრცის მეტრიკით და უკველი ფუნქციისათვის მრავალი ცვლადის შეუძლებული ფუნქცია ეკუთვნოდეს  $L$  სივრცეს.

L. K. PANJIKIDZE

CONVERGENCE OF MULTIPLE CONJUGATE TRIGONOMETRIC  
SERIES IN THE SPACE  $L(R^n)$  AND INTEGRABILITY OF  
CONJUGATE FUNCTIONS OF MULTIPLE VARIABLES

Summary

The results for some classes of functions of multiple variables are presented. These results represent necessary and sufficient conditions for all functions from the classes under consideration to have conjugate trigonometric series which converge in the space  $L$  and for every function the conjugate function of multiple variables in the space  $L$ .

ЛІСТОВАЧКА — ЛІТЕРАТУРА — REFERENCES

1. Л. В. Жижиашвили. Сообщения АН ГССР, 97, № 1, 1980, 17—20.
2. Л. В. Жижиашвили. Сообщения АН ГССР, 97, № 2, 1980, 277—279.



МАТЕМАТИЧЕСКАЯ ФИЗИКА

И. А. ЖВАНИЯ, М. В. КОКАЯ, М. З. МАКСИМОВ

СВЯЗЬ СТАЦИОНАРНЫХ ВОЛНОВЫХ РЕШЕНИЙ  
 НЕЛИНЕЙНЫХ ЭВОЛЮЦИОННЫХ УРАВНЕНИЙ  
 С РЕШЕНИЯМИ ЭМДЕНА УРАВНЕНИЯ ЭМДЕНА—ФАУЛЕРА

(Представлено академиком А. В. Бицадзе 1.10.1987)

При изучении нелинейных процессов весьма важным является нахождение решений в виде бегущих волн, когда сравнительно легко удается выяснить роль соответствующих нелинейностей, а также диссипации и дисперсии. При этом задача существенно упрощается, если ее анализ удается свести к известным классам дифференциальных уравнений. Например, автомодельные решения некоторых эталонных дифференциальных уравнений в частных производных изучаются с помощью общей теории Пенлеве [1].

По аналогии с этим представляется интерес установить связь некоторых решений нелинейных эволюционных уравнений с хорошо известной в различных областях физики задачей Эмдена—Фаулера (ЭФ) [2—4].

Рассмотрим, для конкретности, задачу об ударных волнах в диспергирующих средах с диссипацией, описываемую следующим обобщенным уравнением Кортевега — де Вриза — Бюргерса (КдВБ):

$$\frac{\partial u}{\partial t} + \alpha u^p \frac{\partial u}{\partial x} - \delta \frac{\partial^2 u}{\partial x^2} + \beta \frac{\partial^3 u}{\partial x^3} = 0, \quad (1)$$

с граничными условиями

$$u = \frac{\partial u}{\partial x} = \frac{\partial^2 u}{\partial x^2} = 0 \quad \text{при } x \rightarrow \infty, \quad (2)$$

где величина  $\delta > 0$  характеризует диссипацию;  $\alpha = \pm 1$ ;  $p \geq 1$  — рациональное число, определяемое следующим образом:  $p$  — «четное», если  $p = \frac{q}{r}$  ( $q$  и  $r$  — натуральные числа) и  $q$  — четное и  $p$  — «нечетное», если  $q$  и  $r$  — оба нечетные;  $\beta$  — параметр дисперсии, без ограничения общности можно считать положительным. В противном случае преобразования  $u \rightarrow -u$ ,  $x \rightarrow -x$ ,  $t \rightarrow t$  приводят к тому же уравнению (1), но с величиной  $(-\beta) > 0$  при «нечетном»  $p$ , а при «четном»  $p$  необходимо осуществить дополнительную замену  $\alpha \rightarrow -\alpha$  [5, 6].

Будем искать решения системы (1) — (2) в виде волны, бегущей со скоростью  $w$ :

$$u(x, t) = u(\xi), \quad \xi = x - wt. \quad (3)$$

Тогда после подстановки (3) в (1) и однократного интегрирования с учетом условий (2), получим

$$\frac{d^2 v}{d\eta^2} - a \frac{dv}{d\eta} + \alpha v^{p+1} + \frac{a^2 - 1}{4} v = 0, \quad (4)$$

где введены обозначения:

$$u = \left[ \frac{(p+1)(\delta^2 + 4\beta\omega)}{\beta} \right]^{\frac{1}{p}} v; \\ \xi = \frac{\beta}{\sqrt{\delta^2 + 4\beta\omega}} \eta; \quad a = \frac{\delta}{\sqrt{\delta^2 + 4\beta\omega}}. \quad (5)$$

Легко показать, что с помощью известных преобразований

$$v(\eta) = \xi^{\frac{1-a}{2}} \Theta(\xi); \quad \xi = e^{-\eta}. \quad (6)$$

(4) сводится к уравнению ЭФ

$$\zeta^{\sigma+2} \frac{d}{d\zeta} \left( \zeta^2 \frac{d\Theta}{d\zeta} \right) + \alpha \Theta^\nu = 0, \quad (7)$$

$$\sigma = \frac{a-1}{2}, \quad p=2; \quad \nu=p+1,$$

а (2) к условиям Эмдена [3]

$$\Theta(0) = \Theta_0 > 0, \quad \left. \frac{d\Theta}{d\zeta} \right|_{\zeta=0} = 0. \quad (8)$$

В случае  $p=1$  этот переход возможен при любых граничных условиях.

Таким образом, установлена связь между стационарными решениями системы (1)–(3) и задачей ЭФ (7)–(8), т. е. эти две разные физические задачи в методическом плане совпадают. Причем общая теория уравнений ЭФ разработана достаточно хорошо и может быть успешно применена к изучению стационарных волн системы (1)–(2). Отметим, что характер решений уравнения ЭФ существенно зависит от соотношений между параметрами  $\sigma$  и  $\nu$ , значения  $a$  и арифметической природы числа  $p$ . Так, при отсутствии диссипации ( $\delta=0$ ) имеем обобщенное уравнение Кортевега—де Вриза (КдВ) [6, 7], а в (7)

$a=0$ ,  $\sigma=\frac{-p}{2}-2$ , следовательно,  $2\sigma+\nu+3=0$ , т. е. выполняется условие получения точных решений системы (7)–(8), которые соответствуют уединенным волнам обобщенного уравнения КдВ.

В общем случае  $\sigma$  и  $\nu$  удовлетворяют неравенствам

$$\sigma+2<0<2\sigma+\nu+3,$$

т. е. решения (7) оказываются либо монотонными, либо осциллирующими [4], следовательно, система (1)–(3) может иметь решения в виде стационарных ударных волн с изменяющейся структурой фронта. Причем для «четных»  $p$  возникают волны сжатия, когда

$$\operatorname{sign}(\text{амплитуда}) = \operatorname{sign}(\alpha)$$

и разрежения, когда

$$\operatorname{sign}(\text{амплитуда}) = -\operatorname{sign}(\alpha).$$

Если  $p$  — «нечетное», то имеем ударные волны одного типа при условии

$$\operatorname{sign}(\text{амплитуда}) = \operatorname{sign}(\alpha).$$

Следует отметить, что полученные здесь связи между знаком амплитуды волны и параметром  $\alpha$  аналогичны условиям существования уединенных волн в обобщенном уравнении КdВ [7].

Теория уравнения ЭФ позволяет также изучать асимптотическое поведение стационарных волновых решений (1). Действительно, если в (7) положить  $z = \xi^{-1}$ , получим

$$\frac{d^2 \Theta}{dz^2} + \alpha z^\sigma \Theta^v = 0. \quad (9)$$

Тогда асимптотические представления возможных правильных решений этого уравнения при  $z \rightarrow \infty$  дают поведение стационарных волн системы (1)–(2) при  $\xi \rightarrow \infty$ . Для изучения их поведения при  $\xi \rightarrow -\infty$  можно воспользоваться асимптотиками ( $\xi \rightarrow \infty$ ) правильных решений уравнения

$$\frac{d^2 \Phi}{d\xi^2} + \alpha \xi^{-\bar{\sigma}} \Phi^v = 0, \quad (10)$$

$$\bar{\sigma} = -\sigma - v - 3,$$

полученного из (7) подстановкой  $\Phi = \xi \Theta$ .

Полученные результаты могут быть положены в основу исследования других нелинейных процессов, описываемых уравнениями размерности (1+1) типа Фишера, Буссинеска, Шредингера и др. [7–9], имеющих большое прикладное значение.

(Поступило 15.4.1988)

---

 გათხმდის ური ფიზიკა

ი. ჩვანია, ა. კოჩაია, ა. მარგარევი

არაზრდივი ელემენტური განტოლებების სტაციონარული ტალღური ამონსენიგის პავშირი ემყონ — ფაზულის განტოლების ემყონის ამონსენიგთან

რეზიუმე

დამყარებულია კავშირი არწრფივ ელემენტურ განტოლებებსა და ემდენ — ფაზულის განტოლებას შორის, განზოგადებული კორტევება — დევრის — ბიურგერსის განტოლების მაგალითზე. მიღებულია ცვალებადი ფრონტის მქონე სტაციონარული დარტუმითი ტალღების არსებობის პირობები.

I. A. ZHVANIA, M. V. KOKAIA, M. Z. MAKSIMOV

CONNECTION BETWEEN STATIONARY WAVE SOLUTIONS OF  
NONLINEAR EVOLUTION EQUATIONS AND EMDEN'S SOLUTIONS OF  
EMDEN—FOULER EQUATION

Summary

Using the example of generalized Kortevég—de Vriez—Burgers equation a connection between nonlinear evolution equations and Emden—Fouler equation is shown. The conditions for the existence of stationary shock waves with variable front are obtained.

©0060206 — ЛИТЕРАТУРА — REFERENCES

1. М. Абловиц, Х. Сигур. Солитоны и метод обратной задачи. М., 1987.
2. J. S. W. Wong. SIAM Rev., 17, № 2, 1975, 339—360.
3. Дж. Сансоне. Обыкновенные дифференциальные уравнения, т. 2. М., 1954.
4. Р. Беллман. Теория устойчивости решений дифференциальных уравнений. М., 1954.
5. В. И. Карпман. Нелинейные волны в диспергирующих средах. М., 1973.
6. A. Jeffry, T. Kakutani. SIAM Rev., 14, № 4, 1972, 582—643.
7. П. Бхатнагар. Нелинейные волны в одномерных дисперсных системах. М., 1983.
8. Ф. Калоджеро, А. Дегасперис. Спектральные преобразования и солитоны. М., 1985.
9. А. Корпел, П. П. Банерджи. ТИИЭР, 72, № 9, 1984, 6—30.



## ТЕОРИЯ УПРУГОСТИ

Л. А. ГОГОЛАУРИ

### УПРУГИЙ АНИЗОТРОПНЫЙ КЛИН, ПОДКРЕПЛЕННЫЙ НА КОНЧЕЧНОМ УЧАСТКЕ СТЕРЖНЕМ ПЕРЕМЕННОГО СЕЧЕНИЯ

(Представлено академиком Н. П. Векуа 5.4.1988)

Пусть упругая тонкая анизотропная пластинка на плоскости  $z=x+iy$  занимает угол  $-\Theta < \arg z < 0$ ,  $0 < \Theta < 2\pi$ . Пусть одна сторона  $\arg z = -\Theta$  угла свободна или защемлена, а к другой стороне  $\arg z = 0$ , на отрезке  $[0; 1]$  прикреплен упругий абсолютно гибкий стержень, площадь сечения которого  $S_0$  изменяется по линейному закону  $S_0 = h_0 kx$ , где  $h_0$  — толщина стержня. К торцу стержня приложена сила  $P$ . Требуется определить напряжения в пластинке.

Из условий равновесия элемента стержня на участке крепления и полного контакта упругого стержня с пластинкой получим

$$k_1 x \sigma_x(x) + k_2 x \tau_{xy}(x) - h \int_0^x \tau_{xy}(s) ds = 0, \quad x > 0, \quad (1)$$

где  $k_1 = h_0 k E_0 a_{11}$ ;  $k_2 = h_0 k E_0 a_{16}$ ;  $E_0$  — модуль упругости стержня;  $a_{11}$ ,  $a_{16}$  — упругие постоянные пластинки [1].

С помощью афинных преобразований

$$x_k = x + \alpha_k y, \quad y_k = \beta_k y, \quad \beta_k > 0, \quad k = 1, 2 \quad (2)$$

$(s_k = \alpha_k + i\beta_k, (k = 1, 2)$  — корни характеристического уравнения, причем  $s_1 \neq s_2$  [1]) заданная область  $S = \{-\Theta < \arg z < 0\}$  на плоскости комплексного переменного  $z$  переходит, соответственно, в области  $S_k = \{-\Theta_k < \arg z_k < 0\}$  на плоскости  $z_k (k = 1, 2)$ .

На основании известных формул задача сводится к решению следующей граничной задачи: найти две функции  $\Phi_1(z_1)$ ,  $\Phi_2(z_2)$ , аналитические соответственно в областях  $S_1$  и  $S_2$ , по граничным условиям [1]

$$(s_1 - \bar{s}_2) t_1 \Phi_1(t_1) + (\bar{s}_1 - \bar{s}_2) \bar{t}_1 \overline{\Phi_1(t_1)} + (s_2 - \bar{s}_2) t_2 \Phi_2(t_2) = 0, \quad (3)$$

$$t_k = \rho (\cos \Theta - s_k \sin \Theta), \quad \rho = |t| \geq 0,$$

$$(s_1 - \bar{s}_2) \Phi_1(t_1) + (\bar{s}_1 - \bar{s}_2) \overline{\Phi_1(t_1)} + (s_2 - \bar{s}_2) \Phi_2(t_2) = -\tau(x), \quad (4)$$

$$t_1 = t_2 = x > 0,$$

$$2 \operatorname{Re} [k_1 a x \Phi_1(x)] + (k_2 - 2 \alpha_2 k_1) x \tau_{xy} = h \int_0^x \tau_{xy}(s) ds, \quad (5)$$

где  $a = (s_1 - s_2)(\bar{s}_1 - \bar{s}_2)$ ,

и условиям

$$\lim_{z_k \rightarrow 0} z_k \Phi_k(z_k) = 0, \quad \lim_{z_k \rightarrow \infty} z_k \Phi_k(z_k) = \gamma_k. \quad (6)$$

Аналитические функции  $\Phi_1(z_1)$ ,  $\Phi_2(z_2)$  будем искать в виде [2]

$$\Phi_k(z_k) = \frac{1}{\sqrt{2\pi} z_k} \int_{-\infty}^{\infty} \frac{A_k(t) e^{-it \ln z_k}}{t} dt - \frac{c_k}{z_k}, \quad z_k \in S_k. \quad (7)$$

В точке  $t = 0$  интегралы понимаются в смысле главного значения по Коши.

Из формулы (7), с учетом условий (6), вытекает равенство

$$\gamma_k = -2c_k = -i\sqrt{2\pi} A_k(0). \quad (8)$$

Подставляя выражения (7) в граничные условия (3) и (4) и затем произведя преобразование Фурье, получаем систему относительно неизвестных функций  $A_1(t)$  и  $A_2(t)$ , решение которой дает

$$A_1(t) = \frac{(\bar{s}_1 - s_2) e^{-\delta t} + (\bar{s}_2 - \bar{s}_1) e^{-\gamma t} + (s_2 - \bar{s}_2) e^{-i\mu t}}{2 [|s_1 - s_2|^2 \operatorname{ch} \gamma t - |s_1 - \bar{s}_2|^2 \operatorname{ch} \delta t + 4 \beta_1 \beta_2 \cos \mu t]} t T(t), \quad (9)$$

где

$$\mu = \ln |\cos \Theta - s_1 \sin \Theta| - \ln |\cos \Theta - s_2 \sin \Theta|, \quad \gamma = \Theta_1 + \Theta_2, \quad \delta = \Theta_1 - \Theta_2,$$

$$T(t) = \frac{1}{\sqrt{2\pi}} \int_{-\infty}^{\infty} e^s \tau(s) e^{-its} ds. \quad (10)$$

Функция  $A_2(t)$  получается из (9) путем перестановки  $s_1$  и  $s_2$ ,  $\Theta_1$  и  $\Theta_2$ . Известно, что знаменатель выражения (9) при действительном  $t$  нигде, кроме точки  $t = 0$ , в нуль не обращается. В этой точке он имеет  $\pm$ двойственный корень [2]. Так же ведет себя и числитель указанной дроби.

Переходя к пределу в формуле (10), получаем  $T(0) = Ph/\sqrt{2\pi}$ . Постоянные  $c_1$ ,  $c_2$ ,  $\gamma_1$ ,  $\gamma_2$  можно определить по равенствам (7), (8), (9).

Восемь значение функции  $\Phi_1(z_1)$ , определенное формулами (7), (9), в граничное условие (5), после некоторых преобразований получим

$$\begin{aligned} \frac{1}{\sqrt{2\pi} i} \int_{-\infty}^{\infty} \left[ \frac{\Delta_1(t)}{\Delta(t)} - i(\alpha_1 - \alpha_2) \right] T(t) e^{it \ln x} dt + \left( \frac{k_2}{k_1} - 2\alpha_2 \right) x \tau(x) - \\ - H \int_0^x \tau(s) ds = 2 \operatorname{Re} ac_1, \quad 0 < x > 1, \end{aligned} \quad (11)$$

где  $\Delta(t) = |s_1 - s_2|^2 \operatorname{ch} \gamma t - |s_1 - \bar{s}_2|^2 \operatorname{ch} \delta t + 4 \beta_1 \beta_2 \cos \mu t$ ,

$$\begin{aligned} \Delta_1(t) = -(\beta_1 + \beta_2)|s_1 - s_2|^2 \operatorname{sh} \gamma t + (\beta_1 - \beta_2)|s_1 - \bar{s}_2|^2 \operatorname{sh} \delta t - \\ - 4(\alpha_1 - \alpha_2)\beta_1 \beta_2 \sin \mu t; \quad H = h/k_1, \quad a = (s_1 - s_2)(s_1 - \bar{s}_2). \end{aligned}$$

Применив обратное преобразование Фурье, будем иметь

$$\frac{1}{\sqrt{2\pi}} \int_{-\infty}^{\infty} T(t) e^{it \ln x} dt = x \tau(x), \quad (12)$$

а учитывая соотношение  $k_2/k_1 = \alpha_1 + \alpha_2$ , уравнение (11) запишем так

$$\frac{1}{V2\pi i} \int_{-\infty}^{\infty} \frac{\Delta_1(t)}{\Delta(t)} T(t) e^{it \ln x} dt - H \int_0^x \tau(s) ds = 2 \operatorname{Re} ac_1, \quad 0 < x < 1. \quad (13)$$

Переходя к пределу при  $x \rightarrow 0$ , из уравнения (13) получаем

$$2 \operatorname{Re} ac_1 = -G(0) P/2h, \quad G(t) = \Delta_1(t) \cdot t / \Delta(t).$$

При подстановке  $\ln x = \xi$  уравнение (13) принимает вид

$$\frac{1}{V2\pi i} \int_{-\infty}^{\infty} \frac{G(t) T(t)}{t} e^{it\xi} dt - H \int_{-\infty}^{\xi} \tau(e^s) e^s ds = -\frac{P}{2h} G(0), \quad \xi < 0. \quad (14)$$

Обозначая

$$\Phi(\xi) = \int_{-\infty}^{\xi} \tau(e^s) e^s ds$$

и применяя к последнему равенству преобразование Фурье, получаем

$$T(t) = it \Phi(t) + T(0). \quad (15)$$

Введя обозначение  $G_0(t) = G(t) - G(0)$ , из уравнения (14) будем иметь

$$\frac{1}{V2\pi i} \int_{-\infty}^{\infty} \frac{G_0(t) T(t) e^{it\xi}}{t} dt + (G(0) - H) \int_{-\infty}^{\xi} \tau(e^s) e^s ds = b(\xi),$$

где  $b(\xi) = 0$ , когда  $\xi < 0$ . Применив преобразование Фурье и учитывая формулу (15), после некоторых преобразований получим [3]

$$\Phi^+(t) = \frac{B^+(t)}{G(t) - H} - \frac{[G(t) - G(0)] P}{it V2\pi h (G(t) - H)}. \quad (16)$$

Мы получили задачу линейного сопряжения. В ортотропном случае доказано, что функция  $G(t) - H < 0$  для всех действительных значений  $t$ .

Задаче (16) придадим вид

$$\Phi^+(t) + \frac{P}{it V2\pi h} = G_1(t) \cdot \frac{1}{-(\beta_1 + \beta_2) \sqrt{t^2 + 1}} \left( B^-(t) + \frac{H - G(0)}{it V2\pi h} \cdot P \right), \quad (17)$$

где  $G_1(t) = -(\beta_1 + \beta_2) \sqrt{t^2 + 1} / (G(t) - H)$ ; можно показать, что  $G_1(\infty) = 1$ ,  $G_1(t) \neq 0$  при  $t \in (-\infty, +\infty)$ ,  $G_1(t) \in H$  удовлетворяет условию Гельдера-и, следовательно, [4]

$$G_1(t) = \chi^+(t) / \chi^-(t), \quad \chi(z) = \exp \left[ \frac{1}{2\pi i} \int_{-\infty}^{\infty} \frac{\ln G_1(t)}{t - z} dt \right].$$

С учетом формул (10), (12), (15), после некоторых преобразований, из уравнения (17) получим [5]

$$\tau(x) = C_0 x^{y_0 - 1} + P/\sqrt{\pi h} x^+ \quad (0) \quad \sqrt{1-x} + \varphi_1(x),$$

где  $y_0$  — ближайший к действительной оси корень уравнения  $G(z) - H = 0$ ;  $\varphi_1(x)$  — ограниченная функция;  $C_0$  — некоторая постоянная.

Рассмотрим случаи:

1)  $\Theta = \pi/2$ ; в точке  $x=0$  касательное напряжение  $\tau_{xy}(x)$  ограничено;

2)  $\Theta = \pi$ ; эту задачу мы рассматривали ранее для общей анизотропии [5] и получили, что в точке  $x=0$  касательное напряжение имеет особенность меньше, чем  $1/2$ ;

3)  $\Theta = 3\pi/2$ ; в точке  $x=0$  особенность находится в пределах  $1/3 < 1-y_0 < 2/3$ ;

4)  $\Theta \approx 2\pi$ ; в точке  $x=0$  особенность находится в пределах  $1/2 < 1-y_0 < 3/4$ ;

Какое именно значение будет принимать особенность в точке  $x=0$  из указанных промежутков, зависит от различных параметров и постоянных, характеризующих рассматриваемый материал.

Академия наук Грузинской ССР  
Тбилисский математический институт  
им. А. М. Размадзе

(Поступило 14.4.1988)

დოკადობის თაორია

ლ. გოგოლაური

დროიდი ანიზოტორობიული კუთხი, რომელის სასრულ ნაზილები  
დაპროცესი ცვალებადი განვითარების მარშრუტის მარნე სტრინგერი

რეზიუმე

შესწავლითი დრეკადობის თეორიის ბრტყელი ამოცანა ცვალებადი განვივეთის მქონე დრეკადი. სასრულო სტრინგერიდან უსასრულო ანიზოტორობიულ კუთხეზე მხები ძაბვების გადაცემის შესახებ, როდესაც სტრინგერის განვივეთის ფართობი წრფივი კანონით იცვლება. ფუნქციათა თეორიის მეთოდებისა და ფურიეს გარდაქმნის გამოყენებით ამოცანის ამოხსნა აგებულია ცხადი სახით.

**THEORY OF ELASTICITY**

L. A. GOGOLauri

## ELASTIC ANISOTROPIC WEDGE STRENGTHENED AT THE FINITE PART BY A BAR OF VARYING CROSS-SECTION

**S ummary**

The paper studies the plane problem of the theory of elasticity on tangential stress transfer to an infinite anisotropic wedge through a finite elastic bar (stringer) whose cross-section area varies according to the linear law. By means of the theory of functions and the Fourier transform the solution of the problem is constructed explicitly.

### ლიტერატურა — ЛИТЕРАТУРА — REFERENCES

1. С. Г. Лехинский. Анизотропные пластинки. М.—Л., 1947.
2. Р. Д. Банцур. ДАН СССР, т. 222, № 3, 1978.
3. Б. Нобл. Метод Винера—Хопфа. М., 1962.
4. Н. И. Мусхелишвили. Сингулярные интегральные уравнения. М., 1968.
5. Л. А. Гоголаури. Сообщения АН ГССР, 119, № 3, 1985.



ФИЗИКА

Н. У. ГАМКРЕЛИДЗЕ, М. Г. ҆ЕКУА

ПОВЕДЕНИЕ КИСЛОРОДА В СПЛАВАХ КРЕМНИЙ-ГЕРМАНИЙ

(Представлено членом-корреспондентом Академии Г. Г. Гвелесиани 16.7.1987)

Кислород принадлежит к числу элементов, являющихся неизбежными примесями в кремнии и германии. Он существенно влияет на их электрофизические, структурные и оптические свойства [1—4]. Кислород в кремнии и германии внедряется в междоузлие, образуя квазимолекулу  $\text{Si}_2\text{O}$  [4—8]. Термовая обработка этих кристаллов, содержащих кислород, приводит к образованию кислородно-кремниевых и германиевых комплексов [9, 10].

По вопросу поведения кислорода в сплаве кремний-германий в литературе отсутствуют сведения, за исключением сильно разбавленных сплавов на основе кремния с концентрацией  $\text{Ge} \ll 1$  ат.% [11, 12].

Настоящая работа посвящается исследованию влияния термообработки (ТО) при разной температуре на поведение кислорода в сплавах  $\text{Si}_{1-x}\text{—Ge}_x$  ( $0 \leq x \leq 25$  ат%).

Исследовалась образцы кристаллов дырочного типа проводимости с удельным сопротивлением  $\sim 20$  ом·см. Кристаллы были получены методом Чохральского в среде инертного газа под давлением 0,5 атмосферы.

Для изучения кинетики генерации термодоноров применялась термообработка экспериментальных образцов при температурах 500 и 800°C в течение 48 часов с последующей закалкой. Концентрация термодоноров определялась на основе разницы концентраций носителей тока до и после термообработки.

Коэффициент поглощения определялся обычным методом на плоскопараллельных оптически полированных пластинках кремния и сплавов Si—Ge на Фурье-спектрометре JFS-113 в при температуре 300 K<sup>1</sup>. Спектральное разрешение не хуже 0,1 см<sup>-1</sup>. Концентрация кислорода в исходных образцах составляла  $(4—7) \cdot 10^{17}$  см<sup>-3</sup>.

Известно, что кислород активно взаимодействует с решеткой кремния, образуя связи Si—O—Si, которые вызывают пик поглощения в области 9,1 мкм при комнатной температуре. Интегральное поглощение в этой области спектра однозначно связано с концентрацией кислорода в кремний. Учитывая, что полуширина спектральной линии в диапазоне концентраций кислорода  $1 \cdot 10^{17}—1 \cdot 10^{18}$  см<sup>-3</sup> изменяется неизначительно и что в области 9,1 мкм в кремнии имеется решеточное поглощение с  $\alpha_0 = 0,5$  см<sup>-1</sup>, для определения концентраций кислорода в кристаллах кремния пользовались уравнением

$$N_0 = B(\alpha_{\max} - \alpha_0),$$

где  $B = 3,3 \cdot 10^{-2}$  см<sup>-2</sup> градуировочный коэффициент [13].

Учитывая, что сплавы были взяты со стороны кремния и что изучено поглощение оптически активного кислорода, связанное с атомами кремния ( $\text{Si}_2\text{O}$ ), концентрация оптически активного кислорода в сплавах определялась с применением градуировочного коэффициента

<sup>1</sup> Измерения проведены сотрудником Киевского института физики АН УССР Шинкаренко В. К.

[13]. К сожалению, нами пока не оценено содержание кислорода в сплавах Si—Ge другими методами.

Полученные результаты исследования приведены ниже в виде графиков. На рис. 1 приведены коэффициенты ИК поглощения в зависимости от исходного состава сплава для разных температур ТО. Как видно из рисунка, с введением атомов германия в решетку кремния коэффициент колебания «квазимолекулы»  $\text{Si}_2\text{O}$  уменьшается. Мы предполагаем, что уменьшение коэффициента поглощения в сплаве может быть обусловлено разбавлением содержания атомов кремния германием, т. е. ослаблением оптической силы осциллятора  $\text{Si}-\text{O}-\text{Si}$  при увеличении содержания германия.

Наблюдаемый общий характер изменения коэффициента поглощения, соответствующего колебанию квазимолекулы  $\text{Si}_2\text{O}$ , в зависимости от содержания германия сохраняется для разных температур. Однако степень уменьшения коэффициента поглощения в зависимости от температуры для разных составов разная. Так, если для кремния  $\alpha_{25^\circ\text{C}}/\alpha_{500^\circ\text{C}}$  составляет  $\sim 1,26$ , после термообработки при  $800^\circ\text{C}$  это соотношение возрастает до 1,5. Для сплава с содержанием германия 24 ат.%  $\alpha_{25^\circ\text{C}}/\alpha_{500^\circ\text{C}}=1,07$ , а  $\alpha_{25^\circ\text{C}}/\alpha_{800^\circ\text{C}}$  составляет 1,2. Следовательно, надо предполагать, что уход кислорода на образование термодоноров в кремнии больше, чем в сплавах кремний-германий. Такое заключение подтверждается изменением концентрации носителей тока в экспериментальных образцах концентрация дырок как в кремнии, так и в сплавах кремний-германий, после ТО уменьшается.

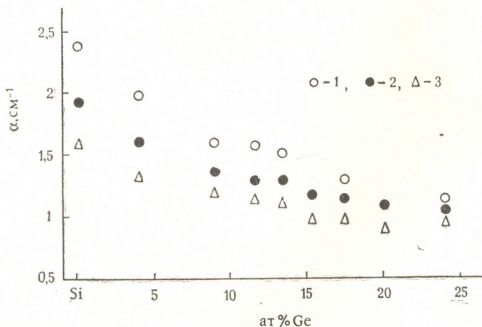


Рис. 1. Изменение коэффициента ИК поглощения в зависимости от исходного состава сплава кремний-германий и температуры: 1. до ТО; 2. ТО  $500^\circ\text{C}$ ; 3. ТО  $800^\circ\text{C}$ .

Учитывая, что термообработка кремния, содержащего кислород, вызывает комплексообразование типа  $\text{Si}_n+\text{O}=\text{Si}_{n+0}$  и что кислородные комплексы с  $n < 4$  имеют донорные свойства [14, 15], в нашем случае

можно предполагать, что в дырочных кристаллах при ТО происходит компенсация носителей тока, в результате уменьшается концентрация акцепторов.

Академия наук Грузинской ССР

Институт metallurgии  
им. 50-летия СССР

(Поступило 4.9.1987)

ფიზიკა

ნ. გამკრელიძე, მ. კეკუა

შენგავადის რცხვა სილიციუმ-გერმანიუმის უნაღებელობის

რეზოუზი

შესწავლითი ტემპერატურის გავლენა უანგბადის მდგომარეობაზე სილიციუმ-გერმანიუმის შენაღნობებში.

დადგენილია, რომ 500 და 800°C ტემპერატურებზე თერმოდამუშავებისას  $P$  ტიპის  $Si$ — $Ge$  შენაღნობებში მცირდება როგორც ჩანერგილი უანგბადის ატომების რაოდენობა, ისე დენის მატარებელთა კონცენტრაცია.

გვიმოქმულია ვარაუდი, რომ  $P$  ტიპის დენის მატარებელთა შემცირება  $Si$ — $Ge$  შენაღნობებში მაღალ ტემპერატურაზე თერმოდამუშავებისას გამოწვეულია ჩანერგილი უანგბადის გადასვლით თერმოდონორულ კომპლექსებში და წარმოქმნილი დონორების მიერ ხვრელური დენის მატარებელთა კომპლიკაციით.

PHYSICS

N. U. GAMKRELIDZE, M. G. KEKUA

## THE BEHAVIOUR OF OXYGEN IN SILICON-GERMANIUM ALLOYS

Summary

The effect of temperature on the condition of oxygen has been studied in Si-Ge alloys. It is found that on thermal treatment at 500°C—800°C the quantity of interstitial oxygen atoms and carrier concentration decreases in p-type Si-Ge alloys.

It is assumed that the decrease of p-type carriers results from the transition of interstitial oxygen atoms into thermodonor complexes and the compensation of carriers by emerging donors in Si-Ge alloys.

### ლიტერატურა — REFERENCES

1. W. Kaizer. Phys. Rev., v. 105, 6, p. 1751—1756, 1957.
2. П. И. Баранский и др. УФЖ, 15, 1192, 1970.
3. R. A. Logan, A. Peters. J. Appl. Phys. v. 28, 1419—1422, 1957.
4. W. Kaizer, P. H. Keck. J. Appl. Phys., v. 28, 882—886, 1957.
5. J. W. Corbett, P. S. Donald, C. D. Watkins. J. Appl. Ph. Chem. Sol. 25, 1964, 873.
6. W. Kaizer, P. H. Keck, C. F. Lange. Phys. Rev., 101, 1264, 1956.
7. H. J. Hrostowski, W. Kaizer. Phys. Rev., 107, 966, 1957.
8. R. C. Newman *et al.* 1983 a. J. Phys. C. Solid State Phys., 16 L6, 67—74.
9. F. Schmidt *et al.* J. Electrochem. Soc., June 1979.
10. Л. А. Гончаров. Научные труды ГИРЕДМЕТ, т. 25, 1969.

11. Л. И. Хируненко, В. И. Шаховцов, В. К. Шинкаренко. Тезисы докладов VI координационного совещания по исследованию и применению сплавов кремний-германий. Тбилиси, 1986.
12. Ю. М. Бабицкий, П. М. Гринштейн, Н. И. Горбачева, М. Г. Мильвидский, Б. М. Туровский, М. А. Ильин. Тезисы докладов VI координационного совещания по исследованию и применению сплавов кремний-германий. Тбилиси, 1986.
13. М. А. Ильин, В. Я. Коварский. Научные труды ГИРЕДМЕТ, т. 86, 1980.
14. В. В. Батавин, З. А. Сальник. Неорганические материалы, т. 18, № 2, 1982.
15. П. М. Гринштейн, Г. В. Лазарева, Е. В. Орлова, З. А. Сальник, В. И. Фистуль. ФТП, т. 12, вып. 1. 1978.

ФИЗИКА

Т. А. МАРСАГИШВИЛИ, М. И. МАЧАВАРИАНИ

К ТЕОРИИ ИК-СПЕКТРОВ ПОЛЯРИЗУЕМЫХ  
ДИПОЛЬНОАКТИВНЫХ ИОНОВ В КОНДЕНСИРОВАННОЙ  
СРЕДЕ

(Представлено членом-корреспондентом Академии Л. Л. Бушвили 26.6.1987)

Исследование ИК-спектров многоатомных дипольноактивных ионов в конденсированной фазе может дать существенную информацию о взаимодействии частиц в конденсированных системах друг с другом.

При погружении частиц в конденсированную среду колебательный спектр частиц претерпевает ряд изменений. Происходит сдвиг собственных частот, уширение пиков поглощения, появляются новые характерные частоты системы.

Влияние среды на формирование колебательного спектра частиц более или менее последовательно можно учесть по двум механизмам взаимодействия: сольватационному и флуктуационному. Ниже мы остановимся именно на рассмотрении этих двух механизмов.

Гамильтониан системы представим в виде [1]

$$H = H_m + H_p + H_{int}^{(1)} + H_{int}^{(2)}, \quad (1)$$

где  $H_m$  — гамильтониан среды;  $H_p$  — гамильтониан иона, который будем представлять в виде набора точечных диполей;  $H_{int}^{(1)}$  — взаимодействие иона со средней поляризацией среды  $\langle P \rangle$ .

$$H_{int}^{(1)} = -\frac{1}{2} \int \langle P(r) \rangle E^0(r, Q) dr, \quad (2)$$

а  $H_{int}^{(2)}$  — взаимодействие иона с флуктуациями поляризации среды  $\delta P$ :

$$H_{int}^{(2)} = - \int \delta P(r) E^0(r, Q) dr. \quad (3)$$

В формулах (2) и (3)  $E^0$  — напряженность электрического поля, создаваемого ионом в вакууме;  $Q$  — нормальные координаты внутримолекулярных колебаний.

Среднюю поляризацию среды в соответствии с флуктуационно-диссириационной теоремой представим в виде

$$\begin{aligned} \langle P_\alpha(r, \omega) \rangle &= - \int dr' G_{P_\alpha P_\beta}(r, r'; \omega) E_\beta^\circ(r', \omega) = \\ &= \frac{1}{4\pi} \int [\epsilon_{\alpha\beta}(r, r'; \omega) - \delta_{\alpha\beta} \delta(r - r')] E_\beta(r', \omega) dr', \end{aligned} \quad (4)$$

где  $G_{P_\alpha P_\beta}$  — функция Грина (ФГ) операторов поляризации среды, которая может быть выражена через комплексную диэлектрическую проницаемость среды  $\epsilon_{\alpha\beta}(r, r'; \omega)$ ;  $E(r)$  — напряженность электрического поля иона в конденсированной среде. Для нее можно использовать следующее выражение:

$$E_a(r) = - \sum_{i=1}^N \mu_i^i(R_i, \omega) G_{E_a E_\beta}(r, R_i; \omega) + G_{E_a \Phi}(r, R; \omega = 0) \cdot z. \quad (5)$$

Здесь  $G_{EE}$  и  $G_{E\Phi}$  — ФГ операторов напряженности электрического поля  $E$  и скалярного потенциала  $\Phi$  конденсированной среды. Их можно выразить через диэлектрические характеристики среды (см. работы [1, 2]);  $\mu_i$  — дипольный момент  $i$ -й связи иона,  $R_i$  — радиус-вектор  $i$ -го диполя иона; и  $R$  — заряд иона и радиус-вектор точки локализации заряда.

Для поляризуемой частицы значения  $\mu_i$  отличаются от соответствующих вакуумных значений  $\mu_i^0$  и могут быть определены из соотношений

$$\mu_i^i = \mu_i^0 + \sum_{j=1}^N \alpha_{ab}^i [-G_{E_\beta E_\gamma} \mu_j^i + G_{E_\beta \Phi} \cdot z], \quad (6)$$

где  $\alpha_{ab}^i$  — тензор поляризуемости  $i$ -й связи иона. Очевидно, что если известны все компоненты тензора поляризуемости и вакуумные значения дипольных моментов связей, то из системы (6) можно найти все  $3N$  значений  $\mu_i^i$ . В качестве ФГ  $G_{EE}$  с  $G_{E\Phi}$  можно использовать соответствующие решения электростатических задач или модельные функции, позволяющие учитывать эффекты пространственной дисперсии среды. Подставляя далее найденные значения  $\mu_i^i$  в соотношение (5), определяем, таким образом, напряженность электрического поля системы  $E(r; Q)$ , а из соотношения (4) — среднюю поляризацию среды  $\langle P(r) \rangle$ .

Подставляя формулу (4) в (2), и разлагая напряженности электрических полей  $E^0$  в ряде по  $Q$  до линейных членов, гамильтониан взаимодействия  $H_{int}^s$  представим в виде.

$$H_{int}^s = F^s + \sum_s a_s Q_s - \sum_{s,s'=1}^N \Delta \omega_{ss'}^2 Q_s Q_{s'}, \quad (7)$$

где

$$F^s = \frac{1}{2} E^\circ G_{PP} E^\circ; \quad a_s = \frac{1}{2} \left( E^\circ G_{PP} \frac{\partial E^\circ}{\partial Q_s} + \frac{\partial E^\circ}{\partial Q_s} G_{PP} E^\circ \right); \\ \Delta \omega_{ss'}^2 = -\frac{1}{2} \frac{\partial E^\circ}{\partial Q_s} G_{PP} \frac{\partial E^\circ}{\partial Q_{s'}}. \quad (8)$$

Взаимодействие  $H_{int}^s$  целесообразно объединить с гамильтонианом  $H_P$  и ввести гамильтониан сольватированного поляризованного иона

$$H_P^s = \sum_s \left( -\frac{\partial^2}{\partial Q_s^2} + \omega_s^2 Q_s^2 \right) + \sum_s a_s Q_s - \sum_s \Delta \omega_{ss'}^2 Q_s Q_{s'} + F^s. \quad (9)$$

Очевидно, что с помощью некоторой матрицы поворота и сдвига координат  $Q$  можно  $H_P^s$  привести к квадратичной форме, которая будет описывать внутримолекулярные колебания сольватированного поляризованногоиона с измененными равновесными длинами  $\tilde{Q}_s$  и частотами  $\tilde{\omega}_s$ .

Как видно из формулы (9), за счет сольватационного взаимодействия частоты внутримолекулярных колебаний могут только уменьшаться, при этом колебания остаются незатухающими. Различные

более простые модели, по учету сольватационного взаимодействия, представлены в работах [1, 3—5].

Флуктуационный механизм изменения колебательного спектра примесных частиц рассматривался в работах [1, 2, 6, 7], в которых было показано, что температурная ФГ [8] операторов нормальных координат внутримолекулярных колебаний может быть определена из системы уравнений

$$G_{Q_s Q_{s'}(\omega_n)} = G_{Q_s Q_{s'}}(\omega_n) + G_{Q_s Q_s}^*(\omega_n) U_{ss'}(\omega_n) G_{Q_{s'} Q_{s'}}(\omega_n); \quad \omega_n = 2\pi n K T \quad (10)$$

$$n = 0, \pm 1, \pm 2$$

где  $G_{Q_s Q_s}^*$  — ФГ осциллятора;  $K$  — постоянная Больцмана;  $T$  — температура, а перенормированное взаимодействие внутримолекулярных колебаний иона с конденсированной средой имеет вид

$$U_{ss'}(\omega_n) = \int \frac{\partial E^\circ(r, Q)}{\partial Q_s} G_{\delta P \delta P}(r, r'; \omega_n) \frac{\partial E^\circ(r', Q)}{\partial Q_{s'}} dr dr' \quad (11)$$

где  $G_{\delta P \delta P}$  — ФГ операторов флуктуаций поляризации среды, которая также может быть выражена через комплексную диэлектрическую проницаемость [2]. Эта ФГ в принципе учитывает как эффекты пространственной дисперсии среды, так и эффекты ее частотной дисперсии.

В работах [1, 7] был изучен колебательный спектр системы в приближении факторизации для ФГ  $G_{\delta P \delta P}$ , когда в качестве частотной зависимости этой ФГ принималась дебаевская [1] и резонансная [7] зависимости. Для реальных систем представляет также интерес модель, в которой частотная зависимость ФГ  $G_{\delta P \delta P}$  может быть аппроксимирована в виде набора некоторого числа дебаевских и резонансных функций. В этом случае для перенормированного взаимодействия  $U_{ss'}(\omega_n)$  удобно использовать полюсную аппроксимацию в виде

$$U_{ss'} = A_{ss'} \sum_{i=1}^m \frac{u_i}{\omega_i - |\omega_n|}, \quad (12)$$

где  $\omega_i$ ,  $u_i$  — экспериментальные параметры, а  $A_{ss'}$  — некоторые модельные функции, описывающие эффекты пространственной дисперсии среды. После определения ФГ  $G_{QQ}$  решением системы уравнения (10), можно исследовать колебательный спектр системы. Уравнение для нахождения колебательных частот системы будет степенным и может численно решаться на ЭВМ для любого конечного числа полюсов  $m$ . В частности, для частицы с одной дипольноактивной степенью свободы с частотой  $\omega_0$  это уравнение имеет вид

$$1 - \sum_{i=1}^m u_i \omega_0 \frac{1}{|(\omega^2 + \omega_s^2)(\omega_i + i\omega)|} = 0. \quad (13)$$

Как показывает анализ этого уравнения, собственные частоты частицы могут изменяться как в сторону увеличения, так и в сторону уменьшения. Кроме того, существенным отличием флуктуационного взаимодействия от сольватационного является и то, что оно приводит к затуханию колебаний иона, если только среди полюсов функции есть хоть один затухающий. Таким образом, если пики погло-

щения конденсированной среды имеют конечную ширину, то за счет флуктуационного взаимодействия пики поглощения иона не только сдвигаются, но также и уширяются.

Академия наук Грузинской ССР  
Институт неорганической  
химии и электрохимии

(Поступило 3.9.1987)

ლიზიძე

თ. გარსაგიშვილი, ა. ვაკავარიანი

კონდენსირებულ გარიმოში მოთავსებული პოლარიზაციული,  
დიკოლურავტიური იონების ინფრაჭითებული სპექტროსკოპის  
თეორიისათვის

### რეზიუმე

განხილულია ორი მექანიზმი: სოლვატაციური და ფლუქტუაციური, რომელიც შეუძლიათ გამოიწვიონ კონდენსირებულ გარემოში. მოთავსებული მრავალატომიანი პოლარიზებული დიპოლურავტიური იონების სიხშირული სპექტრების ცვლილება.

### PHYSICS

T. A. MARSAGISHVILI, M. N. MACHAVARIANI

### TOWARDS THE THEORY OF IR-SPECTROSCOPY OF POLARIZABLE DIPOLEACTIVE IONS IN A CONDENSED MEDIUM

#### Summary

Solvation and fluctuation mechanisms which can change the frequency spectrum of polyatomic polarizable dipoleactive ions in a condensed medium are discussed in the paper.

#### ლიტერატურა — REFERENCES

1. Т. А. Марсагишили, М. Н. Мачавариани. Сообщения АН ГССР, 132, № 1, 1987.
2. R. R. Dogonadze, T. A. Marsagishvili. Surf. Sci. 1980, v. 101.
3. L. Onsager. J. Amer. Chem. Soc. 1936, 58, 1485.
4. A. Buckingham. Proc. R. Soc., 1956 A, 238, 235.
5. Н. Г. Бахшиев. Спектроскопия межмолекулярных взаимодействий, Л., 1972.
6. R. R. Dogonadze, T. A. Marsagishvili. In: The chemical physics of solvation. Part A. Ed.: R. Dogonadze *et. al.* —Elsevier, Amsterdam, 1986.
7. Р. Р. Догонадзе, Т. А. Марсагишили, М. Н. Мачавариани. Сообщения АН ГССР, 127, № 1, 1987.
8. А. А. Абрикосов, Л. П. Горьков, И. Е. Дзялошинский. Методы квантовой теории поля в статистической физике. М., 1962.

Р. С. ҚАБИСОВ, В. И. ҚЕСАЕВ

## КРИТЕРИИ СПРАВЕДЛИВОСТИ КЛАССИЧЕСКОГО ПРИБЛИЖЕНИЯ ДЛЯ КВАНТОВОЙ ОДНОМЕРНОЙ ЧАСТИЦЫ

(Представлено членом-корреспондентом Академии Л. Л. Бушвили 7.12.1987)

Как известно, классическое приближение в квантовой механике имеет ограниченную во времени область применимости, поскольку волновые пакеты (ВП), сопоставляемые в начальный момент времени классическим частицам, в процессе эволюции вследствие нарастания квантовых поправок делокализуются и перестают быть хорошо определенными. Это связано с тем, что уравнения Эренфеста, описывающие эволюцию центров ВП, вообще говоря, не имеют гамильтоновой структуры [1]. В одномерном случае последнее вытекает из

$$\langle \frac{dV(q)}{dq} \rangle \neq \frac{dV(\langle q \rangle)}{d\langle q \rangle}, \quad (1)$$

где  $V(q)$ —функция, описывающая форму потенциальной ямы, в которой движется квантовая частица;  $\langle \dots \rangle$ —установление по волновой функции смешанного состояния  $\Psi = \sum_n c_n \varphi_n \exp(-iE_n t/\hbar)$  ( $\varphi_n$ —собственные функции гамильтонiana). При больших значениях квантовых чисел, на временах справедливости классического приближения, уравнения Эренфеста совпадают с уравнениями Гамильтона для классической частицы с энергией  $E = \langle p^2 \rangle / 2 \mu + V(\langle q \rangle)$ .

Насколько нам известно, в физической литературе отсутствуют аналитические критерии, определяющие для каких  $V(q)$  (кроме тривиальных случаев  $V(q) = \text{const}$ ,  $\propto q$ ,  $q^2$ ) ВП, центры которых движутся по классическим траекториям с энергией  $E$ , расплюются не быстрее  $\sqrt{t}$  при  $t \rightarrow \infty$ , т. е. для каких потенциалов классическое приближение справедливо на асимптотических больших промежутках времени.

Настоящая работа является попыткой восполнить этот пробел. Мы покажем, что эволюция ВП связана со структурой собственных чисел матрицы монодромии однородного уравнения Хилла (УХ)

$$\frac{d^2 \chi}{dt^2} + s(t) \chi = 0, \quad (2)$$

где  $s(t) = s(t + T)$  с точностью до множителя совпадает с второй производной потенциала, взятой на классической траектории с энергией  $E$ , а величина  $\chi$  есть среднеквадратическое  $\langle (q - \langle q \rangle)^2 \rangle = \langle q^2 \rangle - \langle q \rangle^2$ , (т. е. квадрат ширины ВП по координате), период  $T$  с точностью до рационального множителя совпадает с периодом классического движения.

При известных ограничениях на вид  $V(q)$  [1], для  $\chi$  можно получить уравнение [1]

$$\frac{d^2 \chi}{dt^2} = \frac{4}{\mu} \left[ \epsilon - \chi \frac{d^2 V(\langle q \rangle)}{d \langle q \rangle^2} \right], \quad (3)$$

где  $\epsilon = \langle \hat{H} \rangle - E \neq 0$  ( $\hat{H}$  — оператор Гамильтона),  $\langle q \rangle = \langle q \rangle(t)$  есть траектория классической частицы с энергией  $E$ . Особо отметим, что, поскольку  $\langle q \rangle$  есть периодическая функция времени (вследствие одномерности движения), (3) есть неоднородное УХ. Поэтому для исследования свойств  $\chi(t)$  можно воспользоваться хорошо развитой теорией УХ [2].

Введем  $s(t) = \frac{4}{\mu} d^2 V(\langle q \rangle)/d \langle q \rangle^2$  и предположим, что в  $t_0 = 0$  был минимизирующий ВП, т. е.  $\chi_0 \neq 0$ ,  $d\chi_0/dt = 0$ . Тогда можно показать, что формальное решение уравнения (3) имеет вид

$$\chi(t) = \chi_0 f(t) + \epsilon^* \int_0^t [f(t') g(t) - f(t) g(t')] dt', \quad (4)$$

где  $f(t)$ ,  $g(t)$  есть два безразмерных линейно независимых решения уравнения (2), причем  $f(0) = 1$ ,  $df(0)/dt = 0$ ,  $g(0) = 0$ ,  $dg(0)/dt = 1$   $\epsilon^* \equiv 1$  сек. $\cdot 4 \in \mu$ . Структура функций  $f$  и  $g$  определяется теоремой Флеке:  $f(t) = u(t) e^{\alpha t}$ ,  $g(t) = v(t) e^{-\alpha t}$ ,  $u(t+T) = u(t)$ ,  $v(t+T) = v(t)$ . Величина  $\alpha$  либо вещественная, либо чисто мнимая и связана с корнями  $\rho$  (мультипликаторами) уравнения  $\det[\langle \hat{X}(T) - \rho I \rangle] = 0$ , где  $\hat{X}(T)$  — матрица монодромии:

$$\hat{X}(T) = \begin{pmatrix} f(T) & g(T) \\ \frac{df(T)}{dt} & \frac{dg(T)}{dt} \end{pmatrix}, \quad (5)$$

$\rho_{1,2} = \exp(\pm i\sigma T)$ ,  $\hat{I}$  — единичная матрица. Очевидно, если  $\alpha$  вещественная, то расплывание ВП происходит экспоненциально во времени.

Нас, однако, интересует случай  $\alpha = ix$ . Приведем без доказательства (см. [2, с. 638]) критерий мнимости  $\alpha$ , который, по нашему мнению, наиболее удобен для приложений

$$\int_0^T s(t) dt > \left[ \frac{T}{\pi} \sqrt{s_{\max}} \right] \sqrt{s_{\max}}, \quad (6)$$

где  $[\dots]$  есть операция взятия целой части,  $s_{\max} \equiv \max_{t \in [0, T]} s(t) > 0$ . Значения  $x$  аналитическими методами, вообще говоря, определить не удается. Ясно, однако, что если  $x = 2\pi m/T$  ( $m$  — целое), то, как следует из (4), ВП расплываются  $\propto \sqrt{t}$  при  $t \rightarrow \infty$ , в противном случае ширина  $\sqrt{\chi}$  ВП осциллирует во времени, оставаясь при этом величиной  $O(V\chi_0 V \epsilon^* T)$ .

В заключение отметим, что ширина ВП по импульсу  $V\bar{\chi}$  связана с  $V\bar{\chi}$  посредством соотношения  $\omega/2 \mu \simeq \epsilon + 2 \mu s(t) \chi$ .

Северо-Осетинский государственный университет

(Поступило 10.12.1987)

Физика

№ 2280620, 8. № 262080

ГРЭАТИКЛУССОКШРД 81ДА8ЛЛЮЕДИС ҚРДОТЫМЫРДЫКШО 0КИТЫГАНДЫРДЫЛУАДЫАБДИ  
ГРЭАТИКЛУС 61ДОЛЛАДЫСАТЫДЫС

Р. САБИСОВ, В. И. КЕСАЕВ

Бағыттыңда әндижанда, қондуктудың арнда оғыуалғылардың 3-ордуң үрісінде  
імбисаттывын, әндік үйрек амбасын өрнекшілдегі ғарыштың қызығынан  
мәндиштегі әнд үйрек 3-амбидірнүүрдің 3-ордуң үйрекшілдегі әнд міндетті  
3-амбидірнүүрдің 3-ордуң үйрекшілдегі әнд міндетті.

PHYSICS.

R. S. KABISOV, V. I. KESAYEV

CRITERIA OF VALIDITY OF THE CLASSICAL APPROXIMATION  
FOR ONE-DIMENSIONAL QUANTUM PARTICLE

#### Summary

The time evolution of wave packets corresponding to particle high-excited bound states for the case of a rather arbitrary one-dimensional anharmonic potential is investigated on the basis of Ehrenfest's equations. It is shown that the localization of wave packets is closely connected with the characteristic exponent of the general solution of Hill's equation. Conditions are found under which wave packets delocalize no faster than  $Vt$ .

#### ЛІТЕРАТУРА — REFERENCES

1. А. Мессиа. Квантовая механика, т. I. М., 1978.
2. Б. А. Якубович, В. М. Старжинский. Линейные дифференциальные уравнения с периодическими коэффициентами и их приложения. М., 1972.

## ГЕОФИЗИКА

В. Н. СТРАХОВ, Т. А. ГВАНЦЕЛАДЗЕ

### О РЕШЕНИИ ЛИНЕЙНЫХ ОБРАТНЫХ ЗАДАЧ ГРАВИМЕТРИИ

(Представлено академиком Б. К. Балавадзе 23.6.1987)

В работе [1] показана важная роль линейных обратных задач при интерпретации региональных гравитационных аномалий. В связи с этим большое значение приобретают эффективные методы решения обратных линейных задач гравиметрии. В настоящей работе на примере одной принципиально важной обратной задачи демонстрируется возможность эффективного использования теории рядов Фурье. Для простоты рассматривается случай плоской (двухмерной) задачи, соответствующие трехмерные обобщения очевидны.

В начале приведем некоторые математические факты. Пусть требуется решить бесконечную систему линейных алгебраических уравнений (все  $f_k$ ,  $x_r$ ,  $a_r$ —чисто вещественные):

$$f_k = \sum_{r=-\infty}^{\infty} x_r a_{k-r}, \quad k=0, \pm 1, \pm 2, \dots \quad (1)$$

$$a_{-k} = a_k,$$

причем

$$\sum_{-\infty}^{\infty} |f_k| < +\infty, \quad \sum_{-\infty}^{\infty} f_k^2 < +\infty,$$

$$\sum_{-\infty}^{\infty} |a_k| < +\infty, \quad \sum_{-\infty}^{\infty} a_k^2 < +\infty, \quad (2)$$

и априорно известно, что

$$\sum_{-\infty}^{\infty} x_r^2 < +\infty. \quad (3)$$

Тогда решение задачи может быть найдено по формулам

$$x_r = \frac{1}{2\pi} \int_{-\pi}^{\pi} \frac{F(t)}{A(t)} e^{-irt} dt, \quad r=0, \pm 1, \pm 2, \dots \quad (4)$$

или

$$x_r = \sum_{k=-\infty}^{\infty} f_k \gamma_{|k-r|}, \quad r=0, \pm 1, \pm 2, \dots \quad (5)$$

$$\gamma_r = \frac{1}{\pi} \int_0^\pi \frac{\cos rt}{A(t)} dt.$$

где

$$F(t) = \sum_{k=-\infty}^{\infty} f_k e^{ikt},$$

$$A(t) = \sum_{k=-\infty}^{\infty} a_k e^{ikt} = a_0 + 2 \sum_{k=1}^{\infty} a_k \cos kt. \quad (6)$$

Решение системы (1) устойчиво в классе входных данных (2), если

$$\int_0^\pi \frac{dt}{A^2(t)} < +\infty; \quad (7)$$

тогда

$$|\Delta x_r| \leq \epsilon \left( \frac{1}{\pi} \int_0^\pi \frac{dt}{A^2(t)} \right)^{1/2}, \quad (8)$$

где

$$\epsilon = \left( \sum_{-\infty}^{\infty} \epsilon_k^2 \right)^{1/2}, \quad (9)$$

а  $\epsilon_k$  — суть погрешность в задании значений  $f_k$ .

Пусть в точках  $x_k = k\Delta x$ ,  $-\infty \leq k \leq +\infty$  заданы значения вертикальной компоненты поля  $g_z$ , порожденного следующим распределением масс: бесконечный горизонтальный слой  $\Pi$ ,

$$\Pi = \{(\xi, \zeta), h \leq \zeta \leq H, -\infty \leq \xi \leq \infty\}, \quad (10)$$

представляется в виде совокупности призм  $\Pi_r$ ,

$$\Pi_r = \{(\xi, \zeta), h \leq \zeta \leq H, -\left(r + \frac{1}{2}\right)\Delta x \leq \xi \leq \left(r - \frac{1}{2}\right)\Delta x\}, \quad (11)$$

где  $\Delta x > 0$  — заданная постоянная, причем плотность масс в  $\Pi_r$  однородная и равна  $\sigma_r = \text{const}$ .

В этом случае решение задачи (определение плотностей  $\sigma_r$  по значениям  $g_z(k\Delta x)$ ) сводится к решению бесконечной системы линейных алгебраических уравнений

$$g_z(k\Delta x) = \sum_{r=-\infty}^{\infty} \sigma_r \Delta g_{z,0}^{(1)}((k-r)\Delta x), \quad k=0, \pm 1, \pm 2, \dots \quad (12)$$

Здесь  $g_{z,0}^{(1)}(x)$  — поле центральной призмы  $\Pi_0$  с однородной единичной плотностью.

Легко видеть, что система (12) есть система типа (1), при этом, если априорно известно, что

$$\sum_{-\infty}^{\infty} \sigma_r^2 < +\infty, \quad (13)$$

то необходимые условия (2) выполняются.  
Положим в данном случае

$$F(t) = \sum_{k=-\infty}^{\infty} g_z(k\Delta x) e^{ikt},$$

$$A(t) = Ag_z(t) = \sum_{k=-\infty}^{\infty} g_{z,0}^{(1)}(k\Delta x) e^{ikt} = 1 + 2 \sum_{k=1}^{\infty} g_{z,0}^{(1)}(k\Delta x) \cos kt, \quad (14)$$

$-\pi \leq t \leq \pi.$

имеет место следующее интегральное представление:

$$Ag_z(t) = \frac{f}{2\pi} (Bg(\alpha) + Bg(1-\alpha)), \quad (15)$$

где

$$Bg(\alpha) = \int_{\frac{2\pi h}{\Delta x}}^{\frac{2\pi H}{\Delta x}} \int_{-\pi}^{\pi} \frac{\cos(1-\alpha) u \cdot \sin \alpha v}{\cos v - \cos u} du dv, \quad (16)$$

$$\alpha = \frac{t}{2\pi}.$$

Из (15) — (16) нетрудно найти, что

$$\left( \frac{1}{\pi} \int_0^\pi dt A_g^2(t) \right)^{1/2} \leq \frac{1}{\pi f th \frac{\pi h}{\Delta x}} \left[ \frac{1}{\pi} \int_0^\pi \left( \frac{t \exp \left\{ \frac{th}{\Delta x} \right\}}{1 - \exp \left\{ -t \left( \frac{H-h}{\Delta x} \right) \right\}} \right)^2 dt \right]^{1/2} > 0. \quad (17)$$

Следовательно, при любых входных данных, удовлетворяющих условиям (2), и любых  $h, H$  и  $\Delta x$  система (12) однозначно и устойчиво разрешима однако при  $\frac{h}{\Delta x} \rightarrow 0$  коэффициент влияния случайных ошибок во входных данных резко возрастает — по закону  $0 \left( \exp \left\{ \frac{\pi h}{\Delta x} \right\} \right)$ .

Допустим теперь, что модель масс, создающих гравитационное поле, та же самая, но вместо значений  $g_z(k\Delta x)$  заданы значения  $\frac{\partial g_z(k\Delta x)}{\partial z}$ ,  $k=0, \pm 1, \pm 2, \dots$ . В этом случае вместо системы (12) будем иметь систему

$$\frac{\partial g_z(k\Delta x)}{\partial z} = \sum_{r=-\infty}^{\infty} \sigma_r \frac{\partial g_{z,0}^{(1)}((k-r)\Delta x)}{\partial z}. \quad (18)$$

$k=0, \pm 1, \pm 2, \dots,$

которая также является системой типа (1), причем при выполнении (13) необходимые условия (2) имеют место. Положим

$$F(t) = \sum_{k=-\infty}^{\infty} g_z(k\Delta x) e^{-ikt},$$

$$A(t) = A \frac{\partial g_z}{\partial z}(t) = \sum_{k=-\infty}^{\infty} \frac{\partial g_{z,0}^{(1)}(k\Delta x)}{\partial z} e^{ikt} = 1 + 2 \sum_{k=1}^{\infty} \frac{\partial g_{z,0}^{(1)}(k\Delta x)}{\partial z} \cos kt, \quad (19)$$

$-\pi \leq t \leq \pi.$

имеет место следующее интегральное представление:

$$A_{\frac{\partial g_z}{\partial z}}(t) = 4 \pi f \sin t/2 \int_{-\frac{h}{\Delta x}}^{\frac{H}{\Delta H}} \frac{\operatorname{ch}(\pi - t) \omega}{\operatorname{ch} \pi \omega} d\omega, \quad (20)$$

из которого следует

$$A_{\frac{\partial g_z}{\partial z}}(0) = 0, \quad A_{\frac{\partial g_z}{\partial z}}(t) > 0, \quad 0 < t \leq \pi. \quad (21)$$

Отсюда видно, что система однозначно и устойчиво разрешима лишь при дополнительном условии

$$\sum_{-\infty}^{\infty} \frac{\partial g_z^{(1)}(k\Delta x)}{\partial z} = 0. \quad (22)$$

Первые вычислительные эксперименты, проведенные в Институте геофизики АН Груз. ССР, продемонстрировали эффективность предлагаемого подхода к решению линейных обратных задач гравиметрии.

Академия наук Грузинской ССР  
Институт геофизики

(Поступило 25.6.1987)

გეოფიზიკა

3. სტრახოვი, თ. გვანცელაძე

გრავიმეტრის ჯრივი შეგრუნებული ამოცანების ამონენის შესახებ  
რეზიუმე

გადმოცემულია ფურიეს მცკრივთა თეორიის გამოყენება გრავიმეტრის წრფივი შეგრუნებული ამოცანების ამონენის შესწელად.

გამოთვლითმა ექსპერიმენტებმა დაადასტურეს გამოყენებული მეთოდის აუცემულობა.

## GEOPHYSICS

V. N. STRAKHOV, T. A. GVANTSELADZE

### SOLUTION OF LINEAR INVERSE GRAVIMETRIC PROBLEMS

#### Summary

The paper demonstrates the possibility of using Fourier series theory for solving linear inverse gravimetric problems.

Computation experiments have confirmed the effectiveness of the method.

#### ლიტერატურა — ЛИТЕРАТУРА — REFERENCES

1. М. А. Алексидзе, Т. А. Гванцеладзе, Н. В. Деканозишвили. ДАН СССР, т. 257, № 4, 1981.



ГЕОФИЗИКА

И. А. ХАБУРЗАНИЯ, Г. П. БОРИСОВА

КОМПЛЕКСНАЯ ОЦЕНКА ПАЛЕОНАПРЯЖЕННОСТИ  
ГЕОМАГНИТНОГО ПОЛЯ

(Представлено академиком Б. К. Балавадзе 26.6.1987)

В настоящее время значительная роль в изучении строения Земли и ее эволюции отводится палеомагнитным исследованиям, в частности изучению палеонапряженности геомагнитного поля  $H_{dp}$  и ее изменений в течение геологической истории. Вследствие методологических трудностей отмечается противоречивость данных об изменении  $H_{dp}$  при их обобщении разными авторами. Поэтому целесообразно комплексирование различных методов оценки  $H_{dp}$ . Дело в том, что все методы, основанные на изучении естественной остаточной намагниченности  $I_n$  магматических пород, прямо или косвенно ориентированы на сопоставление этой намагниченности с получаемой в лабораторных условиях термоостаточной намагниченностью  $I_{rt}$ , на определение подобия  $I_n$  и  $I_{rt}$ . Но физический смысл этого подобия состоит в подобии коэрцитивных спектров этих намагниченостей и их термомагнитных спектров. Коэффициент подобия, т. е. коэффициент линейного преобразования спектра  $I_n$  в спектр  $I_{rt}$ , может быть использован при известном поле образования  $I_{rt}$  для оценки  $H_{dp}$  как поля образования  $I_n$ . Из применяемых методов этой оценки методы Телье и Вилсона основаны на изучении термомагнитных, а методы Ван-Зипла, Шоу, Коно — коэрцитивных спектров. (Обзор этих методов можно найти в работах [1, 2] и др.). Поэтому необходимо стремиться к одновременному использованию, по крайней мере, по одному из двух указанных групп методов. Кроме того, недавно был обоснован и опробован статистический метод оценки  $H_{dp}$ , в котором сопоставление намагниченности  $I_n$  с  $I_{rt}$  производится косвенно, путем использования установленной для магнетитсодержащих пород среднестатистической величины  $R$  — отношения  $I_{rt}$  к идеальной намагниченности  $I_{rt}$ , получаемых в одинаковом постоянном поле [3]. Зная эту величину, при массовом опробовании нескольких разновидностей одновозрастных магматических пород можно оценить среднее значение  $H_{dp}$  по соотношению

$$H_{dp} = \frac{I_n}{I_{rt}} \cdot \frac{H_0}{R}, \quad (1)$$

где  $H_0$  — постоянное поле образования  $I_{rt}$ .

Преимущество этого метода в том, что он не требует нагревов образцов пород (для получения намагниченности  $I_{rt}$ ), при которых велика опасность химических и структурных изменений магнитных минералов. Эти изменения приводят к несопоставимости  $I_n$  и  $I_{rt}$ , и

обычно для их учета в методах Вилсона, Ван-Зиила и других вводится поправочный коэффициент, вычисляемый из соотношения  $I_{ri}$  и  $I'_{ri}$  — идеальных намагнченостей, получаемых до и после нагрева образца [2].

С целью апробации статистического метода и иллюстрации целесообразности использования комплекса методов оценки  $H_{dp}$  нами проведены исследования на более чем 60 различных объектах вулканогенных пород Казбекского района. Четвертичный возраст пород позволяет сопоставить как результаты определений разными методами, так и полученное среднее значение  $H_{dp}$  с известными мировыми данными, согласно которым в четвертичное время магнитный момент Земли в среднем незначительно отличался от современного [1].

Определение  $H_{dp}$  методами Ван-Зиила и Вилсона проводилось соответственно по соотношениям, учитывающим поправку за температурные изменения  $I_{ri}$ :

$$H_{dp} = \frac{(dI_n/dI_{ri})}{(dI_{ri}/dI'_{ri})} \cdot H_t, \quad (2)$$

$$H_{dp} = \frac{\delta I_n / \delta I_{ri}}{I_{ri} / I'_{ri}} \cdot H_t, \quad (3)$$

где  $dI$  означает изменение намагнченности в определенном интервале изменения амплитуды размагничивающего переменного поля,  $\delta I$  — в определенном интервале изменения температуры;  $H_t$  — поле образования  $I_{ri}$ ; намагнченности  $I_{ri}$  и  $I'_{ri}$  образованы в одинаковом постоянном поле порядка  $H_t$ . При этом лишь для пород 30 объ-

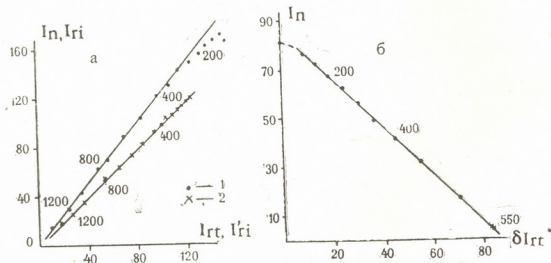


Рис. 1. Примеры подобия намагнченностей: а — подобие коэрцитивных спектров  $I_n$  и  $I_{ri}$  (1),  $I_{ri}$  и  $I'_{ri}$  (2). Цифры у точек графика означают амплитуду размагничивающего поля ( $\mathcal{E}$ ). Намагнченность — в условных единицах.  $H_{dp}=0,65$  Э по формуле (2);  $H_t=0,5$  Э. б — термомагнитное подобие  $I_n$  и  $I_{ri}$ . Цифры у точек — температура ( $^{\circ}\text{C}$ ).  $H_{dp}=0,57$  Э по формуле (3).

ектов выполнялись критерии применимости указанных методов. Основной из этих критериев состоит в подобии коэрцитивных спектров и соответственно термомагнитном подобии намагнченностей, которое

на диаграммах сопоставления намагниченностей при одних и тех же значениях переменного поля или температуры отражается прямолинейным участком линии, соединяющей диаграммные точки (рис. 1). Значения  $H_{dp}$ , определенные по одному и тому же образцу методами Ван-Знила (рис. 1, а) и Вилсона (рис. 1, б), довольно сильно расходятся. Однако различие данных, полученных разными методами, не несет систематического характера, и это позволяет рассматривать все полученные нагревыми методами оценки  $H_{dp}$  как единую совокупность данных. На рис. 2, а дано распределение этих оценок, из которого определяется среднее значение  $H_{dp} = (0,47 \pm 0,02)$  Э.

Главными условиями возможности использования безнагревового метода являются подобие коэрцитивных спектров  $I_n$  и  $I_{ri}$ , наличие в породах магнетита как основного носителя  $I_n$ , соответствие направления  $I_n$  возрасту пород, хорошая сохранность первичной намагниченности. Для изученных пород выполнение двух последних условий устанавливалось в ряде палеомагнитных исследований. Подобие же спектров  $I_n$  и  $I_{ri}$ , а также преобладание в магнитных минералах магнетита устанавливались для образцов каждого из изученных объектов; не удовлетворяющие этим условиям объекты и отдельные об-

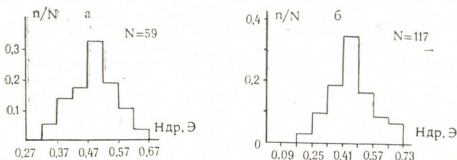


Рис. 2. Гистограммы значений  $H_{dp}$ : а — полученных нагревыми методами, б — рассчитанных по (1)

разы отбраковывались. На рис. 2, б приведена гистограмма значений  $H_{dp}$ , рассчитанных по (1) при  $R=2,8 \pm 0,1$ . Среднее значение  $H_{dp} = (0,46 \pm 0,01)$  Э хорошо согласуется с данными определений традиционными методами.

Таким образом, опробованный нами комплекс методов оценки  $H_{dp}$  можно рекомендовать к использованию в целях изучения геологической истории геомагнитного поля. Благодаря своей простоте, безнагревый метод может и должен, по-видимому, использоваться при проведении любых палеомагнитных исследований, дополняя получаемые сведения о палеомагнитных полюсах и геомагнитной полярности в геологическом прошлом ценной информацией о палеонапряженности магнитного поля Земли.

Кавказский институт  
минерального сырья  
им. А. А. Твалчелидзе

Всесоюзный научно-  
исследовательский геологический  
институт  
г. Ленинград

ი. ხაბურზანია, გ. ბორისოვა

გეოგანგიტური ვალის პალეოდაკაგულობის კომპლექსის შეფასება  
 რეზიუმე

გეომაგნიტური ვალის პალეოდაკაგულობის შეფასების საიმედოობა იზრ-  
 დება შესაბამის მეთოდთა კომპლექსის გამოყენებით. საკმარისი სტატისტიკუ-  
 რი მონაცემების მისაღებად აღნიშნული კომპლექსი უნდა ახლდეს ნებისმიერ  
 პალეომაგნიტურ კვლევას.

---

#### GEOPHYSICS

---

I. A. KHABURZANIA, G. P. BORISOVA

### A COMPREHENSIVE ASSESSMENT OF THE GEOMAGNETIC FIELD PALEOINTENSITY

#### Summary

Application of a set of methods to the assessment of the geomagnetic field paleointensity ensures an increased reliability of the estimated values. These methods should be involved in all kinds of paleomagnetic studies in order to obtain sufficient statistical data.

#### ლიტერატურა — REFERENCES

1. А. С. Большаков. Современное состояние исследований в области геомагнетизма. М., 1983, 239.
2. Г. П. Борисова, Л. Е. Шолпо. Изв. АН СССР, Физика Земли, № 8, 1986, 72.
3. Г. П. Борисова, Л. Е. Шолпо. Геомагнетизм и аэрономия, т. 26, № 5, 1986, 816.



## ГЕОФИЗИКА

Дж. З. СОЛОГАШВИЛИ, Г. М. МАЙСУРАДЗЕ, Е. Ш. ПАВЛЕНИШВИЛИ

### К ВОПРОСУ О ГЕОМАГНИТНОМ ЭПИЗОДЕ ХРАМИ

(Представлено академиком Б. К. Балавадзе 22.6.1987)

Известно, что геомагнитное поле прошлых геологических эпох фиксируется естественной остаточной намагниченностью  $I_n$  горных пород благодаря свойству «магнитной памяти», обусловленной содержанием в них ферромагнитных минералов. Расшифровка этой информации о древнем геомагнитном поле и его изменениях проводится палеомагнитными методами [1, 2].

В работе рассмотрены результаты палеомагнитного изучения молодых вулканитов Южной Грузии, распространенных в бассейнах рр. Храми и Мтквари (Кура). Естественные обнажения горных пород, откуда были отобраны образцы, приурочены к разрезам, названным нами по близлежащим селениям — Сарпистеле, Зуртакети, Орозмани и Аха, а также Аспиндза, Саро, Хертвиси и «Куринский поток». Во всех случаях эти разрезы представлены долеритовыми и базальтовыми лавовыми потоками, которые иногда чередуются с межлавовыми озерными отложениями, содержащими фауну макромаммалий (разрезы Зуртакети, Орозмани, Аха).

Исследование стабильной части  $I_n$  в образцах показало, что она чаще всего термоостаточного происхождения и в этих случаях, следовательно, является первичной остаточной намагниченностью  $I_n^0$  [1].

По полярности и угловым компонентам вектора  $I_n^0$  из вышеуказанных разрезов были выделены обособленные палеомагнитные горизонты, магнитостратиграфия которых дается в таблице.

При стратиграфическом расчленении лавовых комплексов в разрезах, наряду с палеомагнитными, были использованы также геологогеоморфологические, палеонтологические и радиологические данные, что позволило составить магнитостратиграфическую корреляционную схему для временного интервала средний-нижний плейстоцен (рис. 1).

Особое внимание было обращено на обратно намагниченные лавовые потоки в разрезах и их стратиграфическое положение, поскольку по относительному возрасту они попадают в палеомагнитную эпоху Брюнес прямой полярности. Оказалось возможным выделить две группы пород. Обратно намагниченные лавовые потоки бассейна р. Храми характеризуются пониженным по отношению к современному геомагнитному полю значением наклонения ( $i_{cp} = -36^\circ$ ) вектора  $I_n^0$  и образуют обособленную палеомагнитную зону  $r'_1$  обратной полярности. Во вторую группу обратно намагниченных лав были объединены лавы бассейна р. Мтквари ( $i_{cp} = -59^\circ$ ), которые представляют собой зону обратной полярности  $r_1$ . Возрастное соотношение зон  $r'_1$  и  $r_1$  было установлено путем палеомагнитной корреляции указанных разрезов с лавовыми потоками в районах Гомарети, Дисвели, Каклиани, возраст которых определен К—Аг-методом [3]. Кроме того, геологический возраст лав «Куринского потока» с эruptивным центром у с. Хертвиси оценивается как низы среднего плей-

№ п/п	Возраст породы	Название разреза	Порода	Мощность разре- за, м	Количество штук- ов	Количество образ- цов	Величина и направление $I_{\text{B}}$					$\times 10^4$ СГС ед.	Q	Средняя величина меридиано- стии $S$	Средняя величина пальцевапроксимаци- онности $E$ , кр.
							$I_{\text{B}}^{\circ} \cdot 10^4$ СГС ед.	D <sup>°</sup>	I <sup>°</sup>	K	$\alpha_{35}$				
1 2	Q <sub>2</sub>	Орозмани Зуртакети	Долериты —	25 7	40 4	40 26	7026 8267	358 2	59 62	32 42	4 4	703 2067	20 8	0,65 0,65	0,55±0,05
3 4 5	Q <sub>2</sub>	Зуртакети Сарынгеле Орозмани	Андерзито-базальты — —	6 120 29	3 4 4	17 24 22	11120 11459 4557	170 178 196	-41 -35 -31	267 13 22	2 8 7	2471 2292 1302	9 10 7	0,77 0,77 0,77	0,23±0,02
6 7 8 9	Q <sub>2</sub>	Хертвиси Саро Аспиндза Куринский поток	Долериты — — —	100 50 70 100	3 4 4 23	20 18 18 23	2099 4052 9864 3869	206 213 222 233	-56 -62 -56 -63	190 850 113 —	2 2 3 —	382 670 789 585	11 12 25 13	0,95 0,95 0,89 —	0,47±0,02
10 11 12	Q <sub>1</sub>	Зуртакети Сарынгеле Орозмани	Оз. отлож. Долериты —	2 150 20	— 11 19	5 — —	376 4665 8312	1 12 42	58 63 65	400 15 29	1 12 6	84 2333 1039	9 4 16	0,99 0,72 0,72	0,50±0,05
13	Q <sub>1</sub>	Зуртакети	Оз. отлож.	2	1	8	3847	207	56	25	11	1539	5	0,69	—
14 15	N <sub>2</sub> <sup>a</sup> — —Q <sub>1</sub>	Зуртакети Аха	Долериты —	10 30	3 8	14 63	23233 24216	155 155	-51 -61	650 282	2 —	1452 1378	32 35	0,75 0,75	0,47±0,04

стоцена [4]. В магнитохронологической шкале этому возрасту соответствует обратно намагниченная зона Бива III с возрастом 300—350 тыс. лет. Следовательно, лавы бассейна р. Храми (зона  $r'_1$ ) как более молодые должны соответствовать обратно намагниченной зоне Бива II с возрастом 270—290 тыс. лет.

Исследованиями палеонапряженности геомагнитного поля по намагниченности обратно намагниченных пород было установлено,

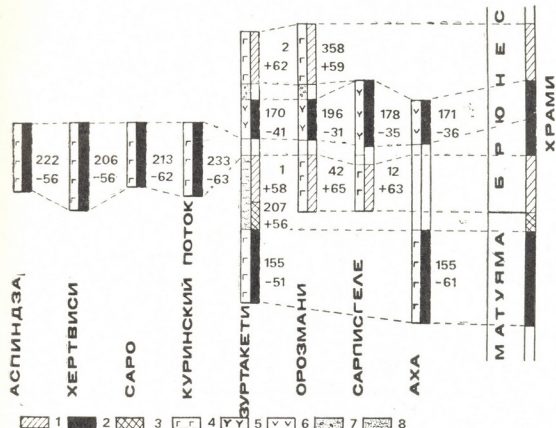


Рис. 1. Палеомагнитная и хроностратиграфическая корреляция вулканитов бассейнов рр. Храми и Мтавари (Южная Грузия). Геомагнитная полярность: 1 — прямая; 2 — обратная; 3 — аномальная; 4 — долериты; 5 — андезито-базальты; 6 — андезиты; 7 — аллювий; 8 — озерные отложения; числа у разрезов справа — средние по палеомагнитному горизонту значения склонения D (верхнее) и наклонения i (нижнее)

что лавы зоны  $r'_1$  характеризуются значением  $H_{dp}$ , которое почти в 2 раза меньше среднего значения для эпохи Брюнес [5] и равняется  $(0,23 \pm 0,02)$  Э. Для породы зоны  $r_1$   $H_{dp} = (0,47 \pm 0,02)$  Э, т. е. близко к современному.

Подытоживая вышесказанное, мы приходим к заключению, что изученные нами обратно намагниченные горизонты по геологическим и палеомагнитным данным могут быть отнесены к единому геомагнитному эпизоду. В пользу такого мнения свидетельствуют также результаты изучения палеонапряженности геомагнитного поля, согласно которым за последние 3 млн. лет для геомагнитных эпизодов характерны преимущественно пониженные значения  $H_{dp}$  [6]. По топониму объекта изучения выделенный геомагнитный эпизод был назван эпизодом Храми.

На возможность выделения эпизода Храми в сводной магнитохронологической шкале Грузии впервые было указано нами в 1982 г. [7]. Дальнейшие комплексные палеомагнитные исследования показали реальность существования этого эпизода обратной полярности в эпоху

Брюнес во временном интервале 270—350 тыс. лет. Морфостратиграфически и магнитохронологически он хорошо коррелируется с Лихвинским межледником (миндель-рисс).

Тбилисский государственный  
университет

Академия наук Грузинской ССР  
Геологический институт  
им. А. И. Джанелидзе

(Поступило 18.9.1987)

გეოფიზიკა

ქ. სოლოლაზოლი, გ. აიშრაძი, გ. ვავლენიშვილი

ხრამის გეომაგნიტური მკიცოდის საკითხებისათვის

რეზოუმე

სამხრეთ საქართველოს მეოთხეული ვულკანიტების კომპლექსური პალეომაგნიტური გამოკვლევის საფუძველზე დადგინდა, რომ ბრიუნესის გეო-მაგნიტურ ეპოქაში 350—270 ათასი წლის დროის ინტერვალში არსებობდა ჟებრუნებული პოლარობის ეპიზოდი, რომელსაც ხრამი ეწოდა.

#### GEOPHYSICS

### J. Z. SOLOGASHVILI, G. M. MAISURADZE, E. Sh. PAVLENISHVILI ON THE PROBLEM OF THE KHRAMI GEOMAGNETIC EPISODE

#### Summary

Based on comprehensive paleomagnetic investigations of the Quaternary volcanites of southern Georgia, it has been established that reverse polarity episode existed in the Brunhes geomagnetic epoch over the time interval of 350—270 thousand years. It is termed as the Khrami episode.

#### ლიტერატურა — REFERENCES

1. Дж. З. Сологашвили. Автограферат канд. дисс. Тбилиси, 1986.
2. Палеомагнитология. Под ред. А. Н. Храмова. Л., 1982.
3. М. М. Рубинштейн, Ш. А. Адамия, Д. И. Девнозашвили, В. И. Добрыдин, Л. И. Розентур. Международный коллоквиум по проблеме: «Граница между неогеном и четвертичной системой». М., 1972, 162—167.
4. Г. М. Майсурадзе. Бюлл. Комиссии по изучению четвертичного периода, № 51, 1981, 74—84.
5. А. С. Большаков. Сб. «Современное состояние исследований в области геомагнетизма». М., 1982, 62—69.
6. Дж. З. Сологашвили, Е. Ш. Павленишвили. III Всесоюз. съезд по геомагнетизму. Тез. докл. Киев, 1986, 128.
7. Л. В. Велуа, Г. М. Майсурадзе, В. К. Какулия, Е. Ш. Павленишвили, Дж. З. Сологашвили. Сб. «Четвертичная система Грузии». Тбилиси, 1982, 3—25.

ГЕОФИЗИКА

В. Г. АБАШИДЗЕ, М. А. АЛЕКСИДЗЕ (академик АН ГССР)  
Д. К. КИРИЯ, А. И. САВИЧ, Т. А. ЦАГУРИЯ

ИССЛЕДОВАНИЕ ПЕРЕМЕЩЕНИЯ И НАПРЯЖЕНИЯ  
В ПРИПОВЕРХНОСТНОЙ ЧАСТИ ЗЕМНОЙ ҚОРЫ В РАЙОНЕ  
ВОДОХРАНИЛИЩА ИНГУРСКОЙ ГЭС

Известно, что строительство крупных гидростатических сооружений с большими и глубоководными водохранилищами существенно влияет на геодинамические условия в районах расположения этих объектов [1, 2]. Созданием высотной арочной плотины Ингурской ГЭС образовано глубоководное водохранилище объемом 1,1 км<sup>3</sup>. Поэтому изучение напряженно-деформированного состояния этого района представляет большой научно-практический интерес.

Район расположения головного узла Ингурской ГЭС в геологогеофизическом отношении изучен достаточно хорошо [3—5]. Это дало возможность создать объемную модель района водохранилища с площадью  $10 \times 20 \text{ км}^2$  и глубиной 3 км и заложить в нее детальное геологическое строение, максимально приближенное к реальной картине. На основе имеющегося геологического строения дифференцированно были найдены соответствующие скорости сейсмических волн в этих породах, а затем и упругие параметры: модуль Юнга и коэффициент Пуассона [6]. В данной модели разломы представлены как зоны дробления, характеризующиеся уменьшенными значениями упругих констант по сравнению с основными, вмещающими эти разломы породами. Для подсчета топографии дневной поверхности исследуемая область была разбита на квадратную сетку с шагом 500 м.

Математическое решение поставленной задачи аналогично работе [7] сводится к следующему: вследствие действия гидростатического давления в прямоугольном параллелепипеде возникает вектор смещения  $U$ , компоненты которого обозначены через  $U_x, U_y, U_z$ . Для расчета искомых смещений применительно к поставленной задаче рассматриваются дифференциальные уравнения теории упругости [8]:

$$\mu \left( \frac{\partial^2 U_x}{\partial x^2} + \frac{\partial^2 U_x}{\partial y^2} + \frac{\partial^2 U_x}{\partial z^2} \right) + (\lambda + \mu) \left( \frac{\partial^2 U_x}{\partial x \partial y} + \frac{\partial^2 U_y}{\partial x \partial z} + \frac{\partial^2 U_z}{\partial x \partial z} \right) = 0,$$

$$\mu \left( \frac{\partial^2 U_y}{\partial x^2} + \frac{\partial^2 U_y}{\partial y^2} + \frac{\partial^2 U_y}{\partial z^2} \right) + (\lambda + \mu) \left( \frac{\partial^2 U_x}{\partial x \partial y} + \frac{\partial^2 U_y}{\partial y \partial z} + \frac{\partial^2 U_z}{\partial y \partial z} \right) = 0, \quad (1)$$

$$\mu \left( \frac{\partial^2 U_z}{\partial x^2} + \frac{\partial^2 U_z}{\partial y^2} + \frac{\partial^2 U_z}{\partial z^2} \right) + (\lambda + \mu) \left( \frac{\partial^2 U_x}{\partial x \partial z} + \frac{\partial^2 U_y}{\partial y \partial z} + \frac{\partial^2 U_z}{\partial z^2} \right) = 0,$$

$$\mu \left( \frac{\partial U_x}{\partial z} + \frac{\partial U_z}{\partial x} \right) = 0, \quad \mu \left( \frac{\partial U_y}{\partial z} + \frac{\partial U_z}{\partial y} \right) = 0, \quad \lambda \left( \frac{\partial U_x}{\partial x} + \frac{\partial U_z}{\partial y} + \frac{\partial U_z}{\partial z} \right) + \\ + 2 \mu \frac{\partial U_z}{\partial z} = F, \quad (2)$$

где (1) и (2) соответственно выражают уравнения равновесия и граничные условия,  $\lambda$  и  $\mu$  — коэффициент Ламе, а  $F$  — гидростатическая

сила, действующая сверху на модуль. На остальных гранях моделя выполняется условие  $U_x = U_y = U_z = 0$ .

Для численного решения исходных дифференциальных уравнений с помощью метода конечных разностей приводим их к системе алгебраических уравнений [9].

Расчеты были сделаны на ЭВМ ЕС-1022 Института геофизики АН ГССР. Рассчитывались вертикальные и горизонтальные перемещения, а также нормальные и касательные напряжения слоев при максимальной, проектной высоте уровня воды в водохранилище на разных глубинах: на дне водохранилища, на уровне моря, а вглубь — через каждые 500 м. Для наглядности на рис. 1 представлены карты

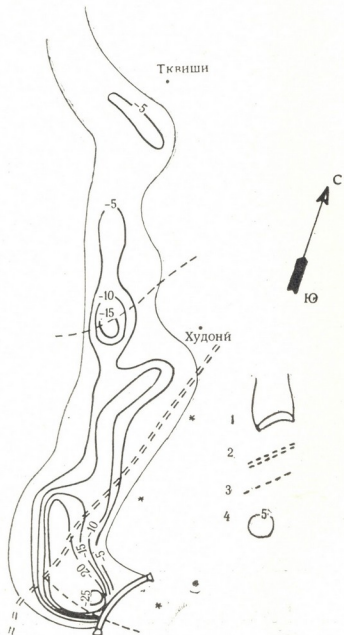


Рис. 1. Карта вертикальных перемещений поверхности дна водохранилища Ингурской ГЭС: 1 — арочная плотина и контур водохранилища; 2 — ингирийский взбросо-сдвиг; 3 — линия тектонических разрывов; 4 — изолинии вертикальных перемещений поверхности дна водохранилища

вертикальных перемещений поверхности, находящиеся на дне водохранилища. Заметим, что знаки перемещений и напряжений совпадают с направлениями осей координат, которые приняты для  $X$  — попечек ущелья, с запада на восток, для  $Y$  — вдоль ущелья, против течения реки, а для  $Z$  — по нормали, вверх.

Анализируя карту, можно заключить, что вертикальные движения с повышенными значениями, как и следовало ожидать, выявляются в центральной части водохранилища и в зоне Ингирийского разлома. Максимальная величина вертикального перемещения здесь

равна  $U_z = -25$  см. Примерно на расстоянии 1,5–2 км от плотины в СЗ направлении это значение доходит до  $-10,5$  см, а затем значительно уменьшается. Особо следует отметить, что разломы с зоной дробления в чаше водохранилища всегда отличаются более повышенными значениями прогиба, чем коренные породы. Вне ущелья р. Ингуриса, за пределами водохранилища вертикальные движения быстро уменьшаются. Нижний бьеф плотины тоже не характеризуется большими значениями перемещения. Максимальная величина вертикального смещения  $-2,2$  см выявлена на левом берегу реки, примерно на расстоянии 200 м от плотины.

Коротко приведем данные горизонтальных составляющих движения вдоль и поперек ущелья  $U_y$  и  $U_x$ , а также нормальных и касательных напряжений  $\sigma_z$ ,  $\tau_{zx}$ ,  $\tau_{zy}$ . Самое большое значение  $U_x = -14,3$  см выявлено в головной части водохранилища в СЗ направлении на расстоянии 800 м от плотины. В нижнем бьефе на расстоянии 200 м от плотины в ЮВ направлении максимальная величина  $U_x = 15$  см. Следует отметить, что нижний бьеф характеризуется также большими значениями  $U_y$ . Так в ЮЗ направлении в 200 м от плотины  $U_y = -17$  см, а западнее от этой точки на 500 м  $U_y = -14,4$  см. На территории же водохранилища максимальное значение  $U_y = 12,6$  см выявлено в СЗ направлении на расстоянии 300 м от плотины.

Интересно сопоставить теоретически вычисленные значения вертикальных перемещений дневной поверхности с результатами повторного геодезического нивелирования. Как известно, эти работы в районе Ингурской ГЭС в настоящее время проводят «Тбилигидропроект» [10] и Главное управление геодезии, картографии и аэрофотосъемки [11]. На рис. 1 сопоставляемые участки отмечены звездочкой.

По данным [10], при заполнении водохранилища до уровня 496 м в нижнем бьефе репер, находящийся на левобережной дороге в 200 м от плотины, опустился на  $-0,7$  см. По нашим расчетам, в данном участке смещение равно  $-2,2$  см. По данным [11], на восточном побережье водохранилища, в районе плотины при подъеме уровня воды до отметки 480 м репера сместились на  $-3,8$ ,  $-4,5$  и  $-6,2$  см. По теоретическим расчетам, на указанных участках смещение соответственно равно  $-2,0$ ,  $-4,7$  и  $-3,6$  см.

Ложе водохранилища характеризуется повышенными значениями нормальных напряжений. Среднее значение на дне водохранилища достигает  $0,8$ – $1,2$  МПа, а максимальное значение  $\sigma_z = -1,6$  МПа выявляется в СЗ направлении на расстоянии 2 км от плотины. Что касается касательных напряжений  $\tau_{zx}$  и  $\tau_{zy}$ , то они меняются в небольших пределах:  $0,2$ – $0,6$  МПа. К тому же максимальные значения  $\tau_{zx} = -0,4$  МПа выявляются в СЗ направлении на расстояниях 1,1, и 1,8 км от плотины, а  $\tau_{zy} = -0,5$  МПа, в том же направлении на расстоянии 1,6 км от плотины.

Как отмечалось выше, перемещения и напряжения слоев рассчитывались на разных глубинах. Укажем, что вертикальные составляющие движения  $U_z$ , так же как нормальные и касательные напряжения, с глубиной уменьшаются и на поверхности, проходящей на отметке 1500 м от уровня моря, равняются нулю. Что касается  $U_x$  и  $U_y$  они, постепенно уменьшаясь, на глубине 1000 м полностью отсутствуют.

В заключение отметим, что в настоящей работе представлена краткая характеристика результатов машинного счета полей движений и напряжений. Геомеханическая интерпретация данных — задача ближайшего будущего.

ვ. აბაშიძე, მ. ალექსიძე (საქ. სსრ მეცნ. კადეტის აკადემიკოსი), დ. კირია,  
 ა. სავიჩი, თ. ცაგურია

ენგურის ზეპირსაცავის რაიონში დადამიწის მირჩის ზედაპირულ  
 დაფილი გადაადგილების და დაკაბულობის გამოყვავლენის

### რეზიუმე

ენგურის ზეპირსაცავის რაიონის დეტალური გეოლოგიური და 3 კმ სიღრმის  
 ზე შეიქმნა წყალსაცავის რაიონის  $10 \times 20$   $\text{km}^2$  ფართობისა და 3 კმ სიღრმის  
 მოცულობითი მოდელი და თითოეული ფენისათვის განისაზღვრა დრეკადი  
 პარამეტრები. სხვადასხვა სიღრმეებზე გამოთვლილია გადაადგილები და  
 დაძაბულობები, რომლებიც განვითარდნენ 270 მ წყლის დონის დროს.

გადაადგილებებისა და ნორმალურ დაძაბულობათა მაქსიმალური მნიშ-  
 ვნელობები მიღებულია წყალსაცავის ფსკერზე მის ცენტრალურ ნაწილში და  
 შესაბამისად 25 სმ და 1,6 მპა უდრის.

### GEOPHYSICS

V. G. ABASHIDZE, M. A. ALEKSIDZE, D. K. KIRIA, A. I. SAVICH,  
 T. A. TSAGURIA

### INVESTIGATION OF DISPLACEMENT AND STRESS IN THE NEAR-SURFACE PART OF THE EARTH'S CRUST IN THE INGURI HYDRO RESERVOIR AREA

#### Summary

Based on detailed geological structure, a body model of the Inguri Hydro water reservoir territory was constructed with the area of  $10 \times 20 \text{ km}^2$  and the depth of 3 km. For each layer elasticity parameters were determined. At different depths displacements and stresses were calculated. They developed when water level amounted to 270 m.

Maximum values of displacements and normal stresses were obtained at the surface of the reservoir bottom in its central part, and were equal to 25 cm and 1,6 MPa, respectively.

#### ლიტერატურა — REFERENCES

- И. И. Николаев. Сб. научных трудов Гидропроекта, вып. 65. М., 1978.
- Х. Гупта, Б. Растоги. Плотины и землетрясения. М., 1979.
- Г. М. Джигури, А. К. Мастицкий, С. Б. Кереселидзе, Л. И. Неймад, В. И. Окуджава. Геология и плотины. М., 1980.
- А. И. Савич, И. Е. Ломов. Сб. научных трудов Гидропроекта, вып. 96. М., 1983.
- М. С. Иоселиани, А. М. Епинатьева, В. Д. Саджая, Ш. Н. Какабадзе, С. Б. Кереселидзе, Б. В. Папавадзе. Сб. «Геолого-геофизические исследования в районе Ингурской ГЭС». Тбилиси, 1981.
- Рекомендации по применению инженерной геофизики для изучения деформационных свойств скальных горных массивов. М.—Белград, 1985.
- М. А. Алексидзе, Г. И. Буачидзе, Г. Е. Гугунава, Д. К. Кирия, Т. Л. Челидзе, Г. Ш. Шенгелая. Сообщения АН ГССР, 117, № 1, 1985.
- Н. И. Мусхелишвили. Некоторые основные задачи математической теории упругости. М., 1935.
- В. Вазов, Дж. Форсайт. Разностные методы решения дифференциальных уравнений в частных производных и теория аппроксимации в численном анализе. М., 1974.
- Г. И. Кузнецов. О перемещениях и деформациях Ингурской арочной плотины, ее основания и берегов по результатам геодезических измерений в 1986 г. Фонды Тбилигидропроекта. Тбилиси, 1987.
- Е. П. Антонов. Сообщения АН ГССР, 110, № 2, 1983.



## АНАЛИТИЧЕСКАЯ ХИМИЯ

Н. О. БУРКИАШВИЛИ, К. И. САКОДЫНСКИЙ,  
Т. Г. АНДРОНИКАШВИЛИ (член-корреспондент АН ГССР)

### РАЗДЕЛЕНИЕ ФЕНОЛКАРБОНОВЫХ КИСЛОТ МЕТОДОМ ВЫСОКОЭФФЕКТИВНОЙ ЖИДКОСТНОЙ ХРОМАТОГРАФИИ

Метод высокоеффективной жидкостной хроматографии находит все более широкое применение для решения сложных аналитических задач, в частности виноматериалов [1].

Фенолкарбоновые кислоты являются важной составляющей частью виноматериалов, содержание которых невелико, но накладывает определенный отпечаток на вкусовые качества вин и коньяков.

Метод высокоеффективной жидкостной хроматографии позволяет осуществить разделение и определение большого числа фенолкарбоновых кислот в виноматериалах [2—5].

Однако анализ вышеприведенных работ свидетельствует о том, что при прямом вводе пробы чувствительность детектирующего устройства недостаточна и при максимально чувствительной шкале получались маленькие пики на хроматограммах, количественная обработка которых была затруднена.

Для устранения этого недостатка в нашей работе была использована специальная установка, позволяющая повысить концентрацию тяжелой фракции виноматериалов в 5—20 раз [5]. Установка изготовлена из кварцевого стекла, колбы имеют объем 10—15 см<sup>3</sup> и заполняются образцами примерно наполовину (рис. 1).

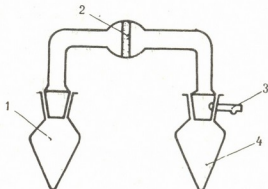


Рис. 1. Схема концентрирующего устройства: 1 — колба исходного продукта и концентрата, 2 — кварцевый фильтр № 4, 3 — трубка для подсоединения к вакуумному насосу, 4 — приемная колба

Важными особенностями такой концентрирующей установки являются:

— перегонка в условиях вакуума идет медленно без бурного кипения и без интенсивного теплового воздействия на исследуемый образец;

— степень обогащения определяется легко и точно путем взвешивания исходного и конечного образцов.

Подготовку образца производили следующим образом: в колбу 1 загружали исследуемый образец виноматериала, в данном случае ординарного коньячного спирта, для приготовления 3-звездочного коньяка. Образец взвешивали, колбу присоединяли к установке и образец замораживали. После этого установку присоединяли к вакуумному насосу (по линии 3) и производили откачуку в течение 10—15 мин. Затем поворотом приемной колбы отсоединяли от вакуумной системы.

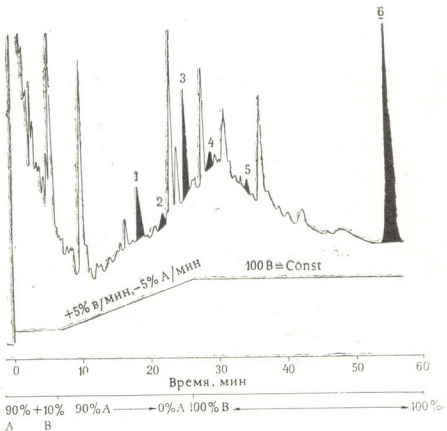
мы, образец размешивали и начинали охлаждать смесью сухого льда и ацетоном приемную колбу 4. Образец медленно перемораживался. Иногда колбу 1 подогревали водяной баней до температуры 35—45°C. После окончания этой процедуры колбу 1 взвешивали и по отношению веса исходного и оставшегося образца определяли степень обогащения, которая легко регулировалась и в нашем случае составляла ~5. Под конец к образцу добавляли каплю метанольного раствора коричной кислоты в качестве стандарта.

Разделение тяжелой фракции коньячного спирта осуществляли на хроматографе фирмы Бекман «Алтекс», модель 544 с двумя насосными системами для создания градиентного режима работы и с УФ-детектором с переменной длиной волны — «Спектро 8800». Детектирование осуществляли при шкале чувствительности 0,01 и при 280 нм.

Объем вводимой пробы 20 мкл.

Разделение проводили на колонке размером 250×4,6 мм, заполненной сферогелями марки S5=ODS зернением частиц диаметром 5 мкм.

В качестве подвижной фазы использовали две смеси растворителей: смесь А: H<sub>2</sub>O — AcOH (980:20) + 0,02 М NaOAc, смесь В: H<sub>2</sub>O — AcOH — iPrOH — MeOH (815:25:20:140) + 0,02 М NaOAc (в скобках приведены соотношения используемых соединений).



#### ГРАДИЕНТНО-ИЗОКРАТИЧЕСКИЙ РЕЖИМ

Рис. 2. Хроматограмма фенолкарбоновых кислот концентрата грузинского коньяка: степень обогащения — 5, 1 — ванилиновая кислота, 2 — кофеиновая кислота, 3 — ванилин, 4 — н-кумаровая кислота, 5 — феруловая кислота, 6 — коричная кислота

Режим работы следующий: сначала в течение 6 мин подавали изократическую смесь 90% А + 10% В, затем 19 мин продолжали градиентное элюирование до 100% В и, наконец, изократическое разделение. Расход подвижной фазы составляет 1,5 см<sup>3</sup>/мин. Результаты разделения приведены в виде хроматограммы (рис. 2).

Из большого числа компонентов идентифицирована только небольшая часть по методу меток.

Ниже приведены значения времен вымывания ряда 4 компонентов. Рассчитанные по ним эффективности показывают, что указанный режим работы позволяет реализовать очень высокую эффективность (таблица).

Значения времен вымывания и эффективность некоторых фенолкарбоновых кислот

Компонент	Время удерживания, мин	Число теоретических тарелок
Ванилиновая кислота	19,7	5150
Кофеиновая кислота	23,8	10400
Ванилин	26,7	25700
н-Кумаровая кислота	29,9	14200
Феруловая кислота	35,7	19550
Коричная кислота	57,9	23850

Приведенная эффективность составила в среднем 20—60 тыс. теоретических тарелок на метр, а по ванилину и коричной кислоте — порядка 100 тыс. теоретических тарелок на метр. По неидентифицированному компоненту с временем выхода 28,3 мин эффективность близка к предельной достижимой и составляет 110 тыс. теоретических тарелок на метр.

Академия наук Грузинской ССР  
 Институт физической и  
 органической химии  
 им. П. Г. Меликишвили

НИИ химических реактивов  
 и особо чистых химических  
 веществ  
 Москва

(Поступило 6.11.1987)

ანალიზული ქიმია

ნ. გურგელიაშვილი, გ. საკოდინცი, თ. აღმროვნილაშვილი (საქ. სსრ მეცნ.  
 იაფემის წევრ-კორესპონდენტი)

ფინანსურირებულის დაყოვა გადაღებით ურთის თხევადი  
 ქრომატოგრაფიის გეთოდი

რეზიუმე

მაღალუფექტური თხევადი ქრომატოგრაფიის მეთოდის საშუალებით  
 დენტიფიცირებული ფენოლურბომეავები საკონიაკე სპირტის მძიმე ფრაქ-  
 ციაში სინგის წინასწარი კონცენტრაციის საშუალებით.

სორბენტი: S5-ODS, ნაწილაკების დიამეტრით 5 მკმ, მოძრავი ფაზა:  
 გამხსნელების რთული ნარევი, ნარევი  $\text{AsH}_2\text{O} - \text{AcOH}$  (980:20) + 0,02MNaOAc,  
 ნარევი: B:  $\text{H}_2\text{O} - \text{AcOH} - i\text{PrOH} - \text{MeOH}$  (815:25:20:140) + 0,02MNaOAc  
 მოძრაობის რეჟიმი: გრადიენტულ-იზოკრატული.

მაქსიმალური ეფექტურობა ვანილინის და დარინინის მეტად —  
 100000 თეორიული თეფუში მეტრზე.



N. O. BURKIA SHVILI, K. I. SAKODYNSKY, T. G. ANDRONIKASHVILI

## FRACTIONATION OF PHENOLCARBOXYLIC ACIDS BY THE METHOD OF HIGH-PERFORMANCE LIQUID CHROMATOGRAPHY

## Summary

Using high-performance liquid chromatography, phenolcarboxylic acids have been identified in the heavy fraction of cognac alcohol.

Adsorbent: S 5—ODS, particle diameter— $5\mu$

Mobile phase: a complex mixture of solvents.

Mixture A:  $H_2O$ —AcOH (980:20)+0,02 M NaOAc.

Mixture B:  $H_2O$ —AcOH—IPrOH—MeOH(815:25:20:140)+0,02 M NaOAc.

Operation: gradient-isocratic.

The highest possible efficiency equals to 100000 theoretical plates per meter of a column for vanillic and cinnamonic acids.

## ЛІТЕРАТУРА — REFERENCES

- И. Ш. Шатиришвили. Хроматография в эннологии. Тбилиси, 1986.
- P. Symonds. Ann. natr. et alim. 32, 1978, 987.
- Л. П. Тихомирова. Автореферат канд. дисс. М., 1986.
- И. Ш. Шатиришвили. Сообщения АН ГССР, 122, № 2, 1986.
- И. Ш. Шатиришвили. Доклады на VII Закавк. конф по адсорбции и хроматографии. Тбилиси, 1986.

АНАЛИТИЧЕСКАЯ ХИМИЯ

И. Ш. ШАТИРИШВИЛИ, Г. Н. ЗАКАЛАШВИЛИ

ОПРЕДЕЛЕНИЕ ОРГАНИЧЕСКИХ КИСЛОТ И САХАРОВ  
В ГРУЗИНСКИХ ВИНАХ МЕТОДОМ ЖИДКОСТНОЙ  
ХРОМАТОГРАФИИ

(Представлено членом-корреспондентом Академии Г. В. Цинцадзе 30.9.1987)

Хроматографические методы получили широкое применение для анализа компонентного состава виноматериалов [1, 2]. Относительно немного работ посвящено определению в виноматериалах органических кислот и сахаров. Для последних использовались и методы хроматографии в тонком слое, а для кислот — ситовой вариант жидкостной хроматографии [3]. В последнее время появились новые сорбенты, позволяющие более эффективно решать задачу анализа кислот и сахаров из одной пробы. Первоначально был использован сорбент сферосорб 5S-ODS в колонке  $4,6 \times 100$  мм с подвижной фазой буфер-10% MeOH, подаваемой с расходом 1,5 см<sup>3</sup>/мин. Хотя время разделения было около 5 мин, но проявилось только четыре пика, два из которых были разделены неполностью.

Далее была использована колонка  $4,6 \times 150$  мм, заполненная сорбентом HPX 87H типа сложного ионообменника на силикагелевой основе, имеющей высокую эффективность разделения. После оптимизации расхода и соотношений компонентов подвижной фазы были получены вполне удовлетворительные результаты разделения сложной смеси кислот и сахаров, находящихся в вине «Ахмета», с предварительным концентрированием пробы в 10 раз методом отгонки в вакууме при комнатной температуре [4]. Расход подвижной фазы 1 см<sup>3</sup>/мин. Подвижная фаза представляла собой смесь 0,0075 NH<sub>2</sub>SO<sub>4</sub> с 7% ацетонитрила. Детектирование при 210 нм. Для анализа вводилось 50 мкл пробы через петлевой дозатор в хроматограф «Альтекс». Полученная хроматограмма приведена на рис. 1, А. Качественный анализ проводился методом прямого ввода ряда соединений-мсток, представленных на сопоставительной штрих-хроматограмме (рис. 1, Б). Количественный анализ осуществлялся методом внутреннего стандарта, в качестве которого использовалась молочная кислота. В ходе экспериментов была впервые применена новая техника сканирующей записи спектров выходящих пиков в режиме быстрой развертки спектра в пределах от 190 до 390 нм, что, в частности,

подтвердило целесообразность детектирования в области 210 нм (см. рис. 1,В).

Результаты анализа содержания ряда органических кислот и сахаров в виде «Ахмета» приведены в таблице.

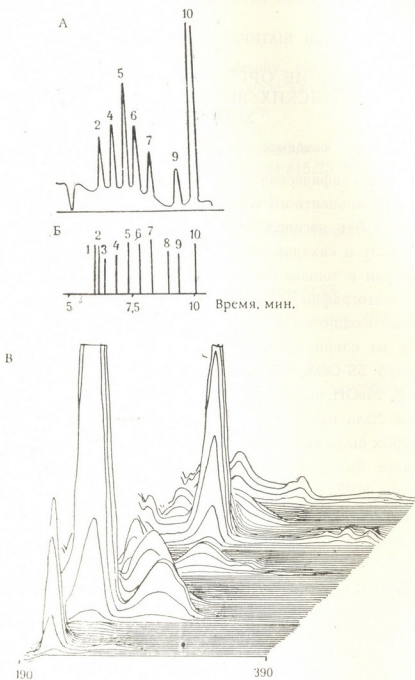


Рис. 1. Хроматограмма разделения органических кислот и сахаров в вине «Ахмета», полученная на колонке с сорбентом HPX 87H: А — хроматограмма разделения, Б — штрих-хроматограмма удерживания стандартных соединений, В — развертка спектров в области от 190 до 390 нм. 1 — малеиновая кислота, 2 — лимонная кислота, 3 —  $\alpha$ -кетоглутаровая кислота, 4 — винная кислота, 5 — глутаминовая кислота + яблочная кислота, 6 — фруктоза, 7 — арабиноза, 8 — фумаровая кислота, 9 — молочная кислота, 10 — глюкоза.

Как видно из приведенных данных, при достаточно низких коэффициентах разделения достигнуто вполне удовлетворительное разде-

ление всех основных компонентов. Оценка числа теоретических тарелок по последнему пику (глюкоза) дала значение 14750, что достаточно хорошо для колонки с этими параметрами.

Основные данные хроматографического разделения и анализа

Вещества	Время выхода, сек	Коэффициент разделения	Концентрация, мг/л
Лимонная кислота	368	1,115	23±2
Винная кислота	398	1,101	27±3
Глутаминовая кислота	425	1,076	47±3
Яблочная кислота	433	1,065	35±3
Фруктоза	462	1,160	25±2
Арабиноза	492	1,160	15±2
Молочная кислота	571	1,077	15±2
Глюкоза	615		162±8

Грузинский сельскохозяйственный институт

(Поступило 4.12.1987)

ანალიზული ქიმია

ი. შატირიშვილი, გ. ზაკალაშვილი

“ШАТРИШВИЛИ” და ორგანული მჟავების განსაზღვრა ჩართულ დანომებულ თხევადი ძროშატოგრაფიის მეთოდით

რეზიუმე

მოცემულია ქართულ ღვინოში („ახმეტა“) ორგანული მჟავებისა და შატრების შემცველობის ანალიზის შედეგები. დაცილების საქმაოდ მცირე კონკრიტულ მიღწეული უკელა ძირითადი კომპონენტის დაცილება.

#### ANALYTICAL CHEMISTRY

I. Sh. SHATIRISHVILI, G. N. ZAKALASHVILI

#### DETERMINATION OF ORGANIC ACIDS AND SUGARS IN GEORGIAN WINES BY THE METHOD OF LIQUID CHROMATOGRAPHY

##### Summary

Results of the content analysis of some organic acids and sugars in the wine “Akhmeti” are presented. Separation coefficients being rather low, quite satisfactory fractionation of all principal components has been achieved.

##### ლიტერატურა — ЛИТЕРАТУРА — REFERENCES

1. И. Шатиришвили. Хроматография в экологии. Тбилиси, 1986.
2. L. Nykanen, H. Suomalainen. Aroma of Beer, Wine and Distilled Beverage, Academic verlag. Berlin, 1983.
3. И. Шатиришвили. Сб. «Научные основы интенсивного садоводства и виноградарства горных районов Грузии». Тбилиси, 1987, 97.
4. I. Sh. Shatirishvili. J. of Chromat. 1986, 364, 183—188.



ОРГАНИЧЕСКАЯ ХИМИЯ

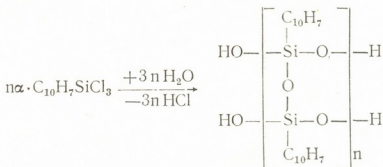
М. Г. ҚАРЧХАДЗЕ, Р. Ш. ТКЕШЕЛАШВИЛИ,

Л. М. ХАНАНАШВИЛИ (член-корреспондент АН ГССР)  
ОЛИГО- $\alpha$ -НАФТИЛСИЛСЕСКВИОКСАНЫ И ПОЛИМЕРЫ  
НА ИХ ОСНОВЕ

Известно, что органосилесквиоксановые олигомеры и полимеры, особенно с алкильными, алкенильными, арильными (фенильными и хлорфенильными) группами у атома кремния, находят все возрастающее применение в качестве пленкообразующих композиций [1, 2], композиций для электроизоляции многослойных электронных схем [3], композиционных термостойких материалов [4] и т. д. Однако в литературе нет сведений о синтезе силесквиоксановых олигомеров и полимеров с нафтильными радикалами у атома кремния, хотя можно ожидать, что наличие нафтильных групп у атома кремния будет способствовать повышению термической устойчивости соответствующих олигомеров и полимеров.

В настоящей работе описан двухстадийный синтез поли- $\alpha$ -нафтилсилесквиоксанов. На первой стадии гидролитической конденсацией  $\alpha$ -нафтилтрихлорсилана синтезированы олиготетролы с  $\alpha$ -нафтильными группами у атома кремния, а на второй стадии полимеризацией  $\alpha$ -нафтилолиготетролов получены поли- $\alpha$ -нафтилсилесквиоксаны.

Реакцию гидролиза нафтилтрихлорсилана проводили в различных условиях: в водно-ацетоновом и водно-эфирном (в кислой и щелочной средах) растворах, а также в бензоло-ацетоновом растворе в присутствии бикарбоната натрия. Исследования показали, что при проведении реакции в водно-ацетоновом и водно-эфирном растворах и в кислой среде при 5—10°С процесс в основном протекает с образованием  $\alpha$ -нафтилтригидроксисилана, тогда как при проведении реакции в водно-эфирном растворе в присутствии 5% NaOH в основном образуются полициклические олиготетролы по реакции



где  $n = (3(I), 4(II), 5(III), 6(IV), 10(V))$ .

Следовательно, в водно-эфирном щелочном растворе конденсация продукта гидролиза идет более глубоко и выделить соответствующий тетрол не удается.

Синтезированные олиго- $\alpha$ -нафтилтетролы представляют собой порошкообразные вещества желтоватого цвета, хорошо растворимые как в полярных, так и в неполярных растворителях.

Элементный и функциональный анализы, определение величин молекулярных масс (см. таблицу) и данные ИК-спектров подтверждают состав и строение синтезированных соединений (I—IV).

Результаты анализа и константы синтезированных соединений

№	Вещество	Выход, %	Т. разм, °C	$\tau_{\text{узд}}$	M*		Найдено, %				Формула	Вычислено, %			
					Найт.	Выч.	Si	C	H	OH		Si	C	H	OH
I	( $\alpha$ -C <sub>10</sub> H <sub>7</sub> SiO <sub>1,3</sub> ) <sub>4</sub> O <sub>2</sub> H <sub>4</sub>	60	75–80	—	1140	1110	15,48	64,88	4,44	6,42	Si <sub>4</sub> C <sub>80</sub> H <sub>40</sub> O <sub>11</sub>	15,13	64,86	4,14	6,1
II	( $\alpha$ -C <sub>10</sub> H <sub>7</sub> SiO <sub>1,3</sub> ) <sub>8</sub> O <sub>2</sub> H <sub>4</sub>	78	80–85	—	1483	1468	15,40	65,64	4,35	4,85	Si <sub>8</sub> C <sub>80</sub> H <sub>40</sub> O <sub>11</sub>	15,26	65,39	4,08	4,63
III	( $\alpha$ -C <sub>10</sub> H <sub>7</sub> SiO <sub>1,3</sub> ) <sub>10</sub> O <sub>2</sub> H <sub>4</sub>	74	86–92	—	1742	1790	16,01	66,87	4,08	3,88	Si <sub>10</sub> C <sub>100</sub> H <sub>74</sub> O <sub>17</sub>	15,64	67,03	3,91	3,79
IV	( $\alpha$ -C <sub>10</sub> H <sub>7</sub> SiO <sub>1,3</sub> ) <sub>12</sub> O <sub>2</sub> H <sub>4</sub>	80	90–96	—	2204	2184	15,82	68,85	4,22	3,21	Si <sub>12</sub> C <sub>120</sub> H <sub>88</sub> O <sub>20</sub>	16,12	69,09	4,02	3,1
V	( $\alpha$ -C <sub>10</sub> H <sub>7</sub> SiO <sub>1,3</sub> ) <sub>20</sub> O <sub>2</sub> H <sub>4</sub>	89	110–115	—	3584	3616	14,98	66,11	3,23	1,76	Si <sub>20</sub> C <sub>200</sub> H <sub>144</sub> O <sub>32</sub>	15,48	66,37	3,98	1,88
VI	( $\alpha$ -C <sub>10</sub> H <sub>7</sub> SiO <sub>1,3</sub> )n	60	135–140	0,19			15,84	67,74	4,20			15,64	67,03	3,91	
VII	( $\alpha$ -C <sub>10</sub> H <sub>7</sub> SiO <sub>1,3</sub> )n	80	150–155	0,23			15,35	67,12	4,16			15,64	67,03	3,91	
VIII	( $\alpha$ -C <sub>10</sub> H <sub>7</sub> SiO <sub>1,3</sub> )n	57	146–152	0,22			15,41	67,80	3,84			15,64	67,03	3,91	
IX	( $\alpha$ -C <sub>10</sub> H <sub>7</sub> SiO <sub>1,3</sub> )n	86	170–175	0,25			16,07	67,54	3,77			15,64	67,03	3,91	

В ИК-спектрах соединений I—IV наблюдается дублет поглощения в области 1130—1045 см<sup>-1</sup>, с максимумами одинаковой интенсивности, характеризующими валентные колебания Si—O—Si-связи в соединениях лестничного строения. Имеются также характерные полосы поглощения для нафтильной группы, в частности C=C-связи в области 3040 см<sup>-1</sup> и C—H-группы в области 3000—2900 см<sup>-1</sup>.

Подробное изучение реакции полимеризации олиго- $\alpha$ -нафтилтетролов показало, что решающим фактором в ходе этого процесса является температура реакции. Так, проведение реакции в присутствии катализатора (0,2% KOH или KF) в растворе дитолилметана и в атмосфере азота при температуре 200°C получить высокомолекулярные продукты не удалось. Во всех случаях образуются олигомеры со среднечисловой молекулярной массой 2400—2500, элементный состав

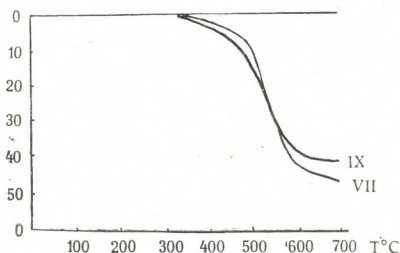


Рис. 1. Термогравиметрические кривые для полимеров VII и IX

которых отвечает формуле  $[\alpha\text{-C}_{10}\text{H}_7\text{SiO}_{3/2}]_n$  (n=14). Однако повышение температуры до 270—280°C в аналогичных условиях приводит к образованию высокомолекулярных поли- $\alpha$ -нафтилсиликсеквиоксанов.

Следует отметить, что в случае KF образуются преимущественно растворимые полимеры, в то время, как в присутствии KOH, наряду с растворимыми, в значительных количествах образуются и нерастворимые полимеры (25—30%).

Поли- $\alpha$ -нафтилсиликсеквиоксаны представляют собой стеклоподобные растворимые в органических растворителях полимеры желтого цвета с  $\eta_{sp}/\eta \approx 0,19$ —0,25. Элементный состав полимеров, переосажденных метанолом из бензольного раствора, находится в соответствии с силексеквиоксановой структурой полимера  $[\alpha\text{-C}_{10}\text{H}_7\text{SiO}_{3/2}]_n$  (таблица).

Для всех полученных лестничных полимеров характерно наличие в ИК-спектрах полос поглощения валентных колебаний Si—O—Si-связей в области 1045—1130 см<sup>-1</sup> с двумя разрешенными максимумами разной интенсивности при 1045—1055 и 1115—1130 см<sup>-1</sup>.

Термогравиметрические исследования поли- $\alpha$ -нафтилсиликсеквиоксанов показали, что они обладают высокой термоокислительной стабильностью. Начальные потери масс для поли- $\alpha$ -нафтилсиликсеквиоксанов лежат в области 400—450°C. При температуре 500°C они составляют 5—10%, а при 650°—40%.

Гидролиз  $\alpha$ -нафтилтрихлорсилана в щелочной среде. В колбу помещали 400 мл 5% водного раствора NaOH и 400 мл серного эфира. По каплям добавляли 39,22 г  $\alpha$ -нафтилтрихлорсилана, разбавленного в 60 мл эфира. Смесь промывали водой до нейтральной реакции и сушили над Na<sub>2</sub>SO<sub>4</sub>. Продукт вакуумирова-

ли. Полученное вещество по составу соответствует  $\alpha$ -нафтилолиготетролу ( $n=4$ ).

В аналогичных условиях проводили гидролиз  $\alpha$ -нафтилтрихлорсилана, и в зависимости от продолжительности реакции были получены  $\alpha$ -нафтилолиготетролы с  $n=3, 5, 6, 10$ .

Анионная полимеризация  $\alpha$ -нафтилолиготетролов. Смесь 5 г олигомера II, 10 г дитолилметана, 0,012 г KOH в атмосфере азота нагревали до 100° в течение часа, затем температуру постепенно повышали до 270—280°C и колбу подсоединяли к вакууму. Полученный полимер переосаждали метанолом. Выделили 3 г полимера VI.

В аналогичных условиях проводили полимеризацию олиготетролов в присутствии катализатора KOH. По данным анализа, полученный продукт соответствовал полимеру VIII. В вышеуказанных условиях из олиготетролов II и IV в присутствии фтористого калия получили полимеры VII и IX.

Тбилисский государственный университет

(Поступило 19.11.1987)

ორგანული ქიმია

ა. ჯარხაძე, რ. ტყეშელაშვილი, ლ. ხანაშვილი (საქ. სსრ მეცნ.  
ეკოლოგიის წევრ-კორესპონდენტი)

ოლიგო- $\alpha$ -ნაფთილსილsesquioxans and their polymers გათ  
საცუდვლებელი

რეზიუმე

ნაფტილტრიქლორსილანის ჰიდროლიზური კონდენსაციით სხვადასხვა პი-  
რობებში გამოყოფილი და დახასიათებულია პოლიციკლური ჰიდროქსილშემ-  
ცველი ნაერთები — ილიგო- $\alpha$ -ნაფტილტროლები. მათი ანონური პოლი-  
მერიზაციით მიღებულია პოლი- $\alpha$ -ნაფტილსილsesquioxans.

#### ORGANIC CHEMISTRY

M. G. KARCHKHADZE, R. Sh. TKESHELASHVILI, L. M. KHANANASHVILI  
OLYGO- $\alpha$ -NAPHTHYLSILSESQUIOXANS AND POLYMERS BASED ON  
THEM

#### Summary

Polycyclic hydroxyl-containing compounds — olygo- $\alpha$ -naphthyltetros — have been obtained by means of hydrolytic condensation under different conditions and then characterized.

Poly- $\alpha$ -naphthylsilsesquioxans have been obtained by the anionic polymerization of these compounds.

#### ლიტერატურა — ЛИТЕРАТУРА — REFERENCES

1. И. М. Зиммер, О. Н. Галицкая, В. Г. Аристова, А. А. Петрова, Р. В. Волкова, Н. Н. Скороходов, Н. А. Иванова, Н. П. Романова, М. В. Соболевский. Пласт. массы, № 5, 1974, 65—67.
2. Яп. заявка 10643 (1982); РЖХИМ, 1983, 11 Т 166 П.
3. Яп. заявка 93766 (1981); РЖХИМ, 1982, 17 Т 639 П.
4. Яп. заявка 18729 (1982); РЖХИМ, 1983 1 С 414 П.

ОРГАНИЧЕСКАЯ ХИМИЯ

М. Н. ТЕВДОРАШВИЛИ, Э. Г. ЛЕКВЕИШВИЛИ,  
 Л. Д. МЕЛИКАДЗЕ (академик АН ГССР), А. А. ПОЛЯКОВА

ВЫЯВЛЕНИЕ ОПТИМАЛЬНЫХ УСЛОВИЙ ФОТОХИМИЧЕСКОГО  
 ВЗАИМОДЕЙСТВИЯ МАЛЕИНОВОГО АНГИДРИДА С  
 ФЕНАНТРЕНОВЫМИ УГЛЕВОДОРОДАМИ НЕФТИ

Изучение реакции фотоконденсации с малениновым ангидридом индивидуальных фенантреновых углеводородов [1, 2] привело к созданию метода их выделения из высококипящих ароматических концентратов и широких масляных фракций, полученных при прямой перегонке нефти [2—5].

С целью установления оптимальных условий выделения из нефти алкилфенантренов, их бензолов и нафтенолов было исследовано влияние продолжительности облучения на процесс аддуктообразования с малениновым ангидридом, а также влияние типа растворителя на полноту элюирования и экстракции ароматических углеводородов из хроматографической колонки.

В качестве объекта исследования была взята фракция мирзаанской нефти, выкипающая в интервале температур 460—475°C. Обработка указанной фракции предусматривала следующие операции:

1. Фотоконденсацию нефтяной фракции с малениновым ангидридом в присутствии сенсибилизатора бензофенона в кварцевом реак-

Групповой состав ароматических концентратов, выделенных при различной продолжительности облучения из мирзанской нефти

№ п/п	Типы соединений	Z*	Продолжительность облучения, ч		
			2	6	28
1	Алкилбензолы	6	11,4	9,8	10,6
2	Инданы	8	1,7	2,5	6,1
3	Динафтенобензолы	10	3,8	7,9	9,7
4	Нафталины	12	18,7	6,7	10,5
5	Аценафтины	14	20,7	3,1	8,6
6	Флуорены	16	11,7	4,4	10,3
7	Фенантрены	18	18,7	51,1	25,5
8	Нафенофенантрены	20	11,9	10,9	11,1
9	Пирены	22	1,4	2,7	5,6
10	Хризены	24	—	0,9	2,0
Сумма бензольных углеводородов			28,6	24,6	36,7
Сумма нафталиновых углеводородов			39,4	9,8	19,1
Сумма фенантреновых углеводородов			30,6	62,0	36,6
Сумма фенантренов, пиренов и хризенов			32,0	62,7	44,2

Z—водородная ненасыщенность в формуле  $C_nH_{2n-z}$ .

торе в н-гексане в атмосфере водорода при температуре 10—15°C при облучении ртутно-кварцевой лампой ПРК-2 в течение 2, 6 и 28 часов.

2. Фоторазложение аддуктов на исходные углеводороды в кварцевом реакторе в н-гексане в атмосфере водорода при температуре 10—15°C при облучении ртутно-кварцевой лампой ПРК-2 в течение 15 ч (без сенсибилизатора).

3. Хроматографическое разделение углеводородных смесей на оксиде алюминия (I степени активности), вводимых в хроматографическую колонку в виде раствора в н-гексане; элюирование н-гексаном и бензолом; экстракция горячим бензолом и диоксаном при комнатной температуре адсорбированных углеводородов верхней и нижней зон адсорбента, различающихся по цвету люминесценции.

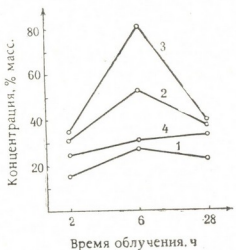


Рис. 1. Влияние продолжительности облучения, природы и температуры растворителя на эффективность извлечения фенантреновых углеводородов из фракции 460—475°C мирзаанской нефти

Полученные образцы исследовались масс-спектрометрическим методом; спектры были сняты на масс-спектрометре «Finnigan 4021» при ионизирующем напряжении 70 э. в. Групповой углеводородный состав рассчитывался с использованием молекулярных и осколочных ионов [6]. В таблице приведен групповой углеводородный состав смесей ароматических углеводородов (до хроматографического разделения), рассчитанный по методу осколочных ионов. Из рассмотрения данных таблицы следует, что при двухчасовом облучении среди различных ароматических углеводородов преобладают нафтиловые, а при двадцативосьмичасовом облучении содержание фенантреновых и бензольных углеводородов одинаково и существенно превышает концентрацию нафтиловых. При шестичасовом облучении в ароматическом концентрате содержание фенантреновых углеводородов почти в 1,7—2 раза превосходит содержание их в концентратах, полученных при двух- и двадцативосьмичасовом облучении.

На рис. 1 приведены кривые, иллюстрирующие влияние продолжительности облучения, природы и температуры растворителя на эффективность извлечения фенантреновых углеводородов из фракции 460—475°C мирзаанской нефти.

Для всех растворителей максимум на временной зависимости отвечает шестичасовому облучению, а наиболее полное извлечение фенантреновых углеводородов обеспечивается элюированием и экстрагированием бензолом.

Академия наук Грузинской ССР

Институт физической и  
органической химии  
им. П. Г. Меликишивили

Всесоюзный научно-  
исследовательский институт  
по переработке нефти

(Поступило 18.12.1987)

მ. თევდორაშვილი, ე. ლექვეიშვილი, ლ. მალიკაძე (საქ. სსრ მეცნ.  
აკადემიის აკადემიკოს), ა. პოლიაკოვა

ნავთობის ფენანტრენზელი ნახტორფალგადების გალენის  
ანტიდრიდთან ფოთონდიმური ურთიერთთანდების ოპტიმალური  
პირობების გამოვლენა

### რეზიუმე

დადგენილია ნავთობის მაღალმდულარე ფრაქციებიდან ფენანტრენების,  
მათი ბენზოლგების და ნაფტენოლგების გამოყოფის ოპტიმალური პირო-  
ბები გალენის ანტიდრიდთან ფოთოფონდენსაციის რეაქციის საფუძველზე.  
ნაჩენებია, რომ ნავთობის ფრაქციებიდან აღნიშნული ნახშირწყალბადების  
გამოყოფის ყველაზე ხელსაყრელი პირობებია ექვსსაათიანი გაშუქება და  
ქრომატოგრაფიული სვეტიდან ბენზოლით ელუირება და ექსტრაქცია.

### ORGANIC CHEMISTRY

M. N. TEVDORASHVILI, E. G. LEKVEISHVILI, L. D. MELIKADZE,  
A. A. POLYAKOVA

### DETERMINATION OF OPTIMUM CONDITIONS OF PHOTOCHEMICAL INTERACTION OF MALEIC ANHYDRIDE WITH PHENANTHRENE HYDROCARBONS OF OIL

#### Summary

The optimum conditions of isolation of phenanthrenes and their benzologues and naphthenologues from high-boiling fractions of oils have been determined by photocondensation with maleic anhydride. The most consummate-isolation of hydrocarbons under the study from the oil fractions was achieved after their six-hour irradiation followed by benzol elution and extraction from chromatographic columns.

#### ლიტერატურა — ЛИТЕРАТУРА — REFERENCES

1. Л. Д. Меликадзе, Э. Г. Леквейшвили. Фотохимическая конденсация малеинового ангидрида с углеводородами фенантренового ряда. Тбилиси, 1977.
2. Э. Г. Леквейшвили, Л. Д. Меликадзе, М. Н. Тевдорашвили, Э. В. Картвелишвили. Нефтехимия, 19, № 5, 1979, 689.
3. Л. Д. Меликадзе, Э. Г. Леквейшвили, М. Н. Тевдорашвили, Ш. Ш. Барабадзе. Изв. АН ГССР, сер. хим., 4, № 2, 1978, 121.
4. Э. Г. Леквейшвили, Ш. Ш. Барабадзе, М. Н. Тевдорашвили, Э. В. Картвелишвили, Н. И. Табашидзе. Тез. докл. Всесоюз. конф. «Химический состав нефти и нефтепродуктов». Тбилиси, 1984, 4.
5. Л. Д. Меликадзе, Э. Г. Леквейшвили, М. Н. Тевдорашвили, К. Д. Джапаридзе. Сообщения АН ГССР, 119, № 2, 1985, 309.
6. А. А. Полякова. Молекулярный масс-спектральный анализ нефти. М., 1973.

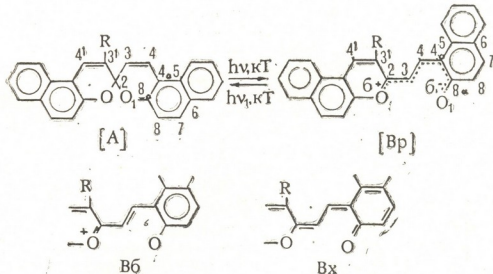
## ФИЗИЧЕСКАЯ ХИМИЯ

М. Т. ГУГАВА, Л. В. ДЕВАДЗЕ, К. Г. ДЖАПАРИДЗЕ,  
 И. А. МЖАВАНАДЗЕ, Н. О. СЕПАШВИЛИ

### ЭЛЕКТРОННОЕ СТРОЕНИЕ «СИММЕТРИЧНЫХ» СПИРОХРОМЕНОВ

(Представлено академиком Г. В. Цицишвили 5.10.1987)

Спирохромены, обладающие высокими скоростями темнового обесцвечивания фотоиндуцированной формы при комнатной температуре, в последнее время находят применение в качестве цветообразующих компонентов высокочувствительных фотоматериалов для необратимой записи информации [1, 2]. К таким соединениям относятся нижеперечисленные «симметричные» спирохромены [3]:



$R = H$  СПХ-1;  $R = CH_3$  СПХ-2;  $R = Br$  СПХ-3;

$R = Cl$  СПХ-4;  $R = CH_2 - CH_2Cl$  СПХ-5.

Цель работы — исследование влияния заместителей на электронную структуру и спектрально-кинетические характеристики исходной (А) и мероцианиновой (В) форм молекулы спирохроменов. Для качественной квантовохимической интерпретации экспериментальных исследований был проведен расчет методом MINDO/3 и CNDO/S [4]. Геометрия закрытых — спирохроменовых (А) и открытых — мероцианиновых форм (В) задавалась как в работе [5]. Из сравнения характеристик СПХ-1 и СПХ-2 (табл. 1) следует, что наличие метильной группы значительно влияет на электронную структуру молекулы. Поэтому влияние заместителей в квантовохимических расчетах было рассмотрено на примере соединений СПХ-1 и СПХ-2. Спектральный анализ исходной формы выявил незначительный гипсохромный сдвиг ( $600 \text{ cm}^{-1}$ , табл. 1) максимума длинноволновой полосы поглощения СПХ-2 по отношению к СПХ-1. Такой же сдвиг подтверждается и квантовохимическим расчетом. Энергия верхней занятой молекулярной орбитали (ВЗМО) для обеих молекул одинакова и равна  $-7,49$  эв. Наличие метильной группы повышает энергию нижней сво-



бодной молекулярной орбитали (НСМО) от  $-2,05$  эв (СПХ-1) до  $-1,97$  эв (СПХ-2), что составляет  $640\text{ см}^{-1}$ .

ИК-спектральные исследования растворов СПХ-1 и СПХ-2 показали, что полоса поглощения, принадлежащая валентным колебаниям связи  $\text{C}=\text{C}$  пиранового кольца, введением метильной группы расщепляется; появляется плечо при  $1642\text{ см}^{-1}$  (СПХ-2), т. е. наблюдается понижение порядка связи  $\text{C}=\text{C}$ . Из сравнения индексов Виберга исходных форм молекул СПХ-1 и СПХ-2 видно, что порядок связи  $\text{C}_3'=\text{C}_4'$  для второго соединения меньше, чем для первого. Порядок  $\text{C}_3'=\text{C}_4'$  связи в метилзамещенной левой части меньше и по сравнению с  $\text{C}_3=\text{C}_4$  связью правой части молекулы.

На основании полученных данных можно сделать вывод, что метильная группа вступает в сверхсопряжение с двойной связью пиранового кольца.

Были рассчитаны две структуры окрашенной формы СПХ-2. В первом случае раскрывалась замещенная часть молекулы, во втором — незамещенная. Оказалось, что энергетически более выгодно раскрытие незамещенной бензохроменовой части. Наличие метильной группы в раскрываемой части молекулы из-за стерического отталкивания между атомами водорода метильной группы и кислорода

( $R=1,225\text{ \AA}$ ) увеличивает теплоту образования ( $77\text{ ккал/моль}$ ) данной структуры и делает ее менее выгодной. Расчеты в хорошем согласии с экспериментальными данными [6].

Из спектрального анализа следует, что наличие заместителей гипсохромно смещает длинноволновую полосу поглощения мероцианиновых форм СПХ-12, СПХ-3, СПХ-4, СПХ-5 по сравнению с СПХ-1, что по-видимому, является результатом стерических затруднений, вызванных наличием заместителей, которые препятствуют полной coplanarity двух частей молекулы. В кинетических измерениях это проявляется в повышении константы скорости темнового обесцвечивания (табл. 1). Рассчитаны теплоты образования спирохроменовых и мероцианиновых форм для хиноидной ( $B_x$ ), биполярной ( $B_\delta$ ) и равносвязной ( $B_p$ ) структур. Расчет по копланарной структуре СПХ-2 дает аномально высокое значение  $\Delta H=39,6\text{ ккал/моль}$  в пользу спирохроменовой структуры. Такое высокое значение энергетической разности между двумя формами спирохромена противоречит экспериментально известному факту — термохромизму СПХ-2 ( $K_{\text{равн.}} \sim 10^{-4}$ ).

По-видимому, копланарная структура из-за взаимодействия атомов водорода метильной группы и мероцианиновой цепочки ( $R=1,314\text{ \AA}$ ) реально не осуществляется.

Из спектрального анализа растворов СПХ-1 и СПХ-2 следует, что по мере возрастания полярности растворителя длинноволновая полоса мероцианиновой формы претерпевает батохромный сдвиг. Эти данные свидетельствуют об определяющем вкладе хиноидной структуры в строение окрашенной формы. Индексы Виберга для мероцианиновых форм СПХ-1 и СПХ-2 также говорят в пользу хиноидной структуры (табл. 2).

Для выяснения вопроса о возможных изомерах были рассмотрены переходы транс-цикса в транс-транс изомеры. Поворот фенолятной части относительно мероцианиновой цепочки на  $180^\circ$  энергетически не выгоден из-за сильного отталкивания атомов водорода мероцианиновой цепочки и нафталинового кольца. Таким образом, окрашенная форма является транс-цикса изомером.

Спектрально-кинетический анализ СПХ проводился на спектрофотометрах Specord UV-Vis и спектроскане-180. ИК-спектры снимались на спектрофотометре UR-10.



**Синтез** З-хлорэтил-2,2-спиробибензо-(i)-2Н-хромена.  
В круглодонную трехгорловую колбу помещается 2 г (0,01 моля)  
2-гидрокси-1-нафтальдегида, 30 мл абсолютного спирта, 0,7 г  
(0,006 моля) 2-оксо-5-хлорпентила ( $\text{CH}_3\text{COCH}_2\text{CH}_2\text{CH}_2\text{Cl}$ ) и при ком-

Таблица 1

Спектрально-кинетические и термодинамические характеристики спирохроменов

Соединения	$\lambda_{\max}$ НМ		$K_{BA}$ сек <sup>-1</sup> (298 К)		$\Delta H$ ккал/моль	$\Delta \Delta H$ ккал/моль
	толуол	этанол	толуол	этанол		
СПХ-1	A B <sub>p</sub> B <sub>c</sub> B <sub>d</sub>	350,5	347		151,3 155,9	
	B <sub>p</sub>	570	600	90	154,2	
	B <sub>c</sub>				156,7	2,5
	B <sub>d</sub>					
СПХ-2	A B <sub>p</sub> B <sub>c</sub> B <sub>d</sub>	348,5	347		156,1 200,0	
	B <sub>p</sub>	540	580	135	200,9	
	B <sub>c</sub>				195,7	39,6
	B <sub>d</sub>					
СПХ-3	A B	347,8 540	347 555	100	150	
СПХ-4	A B	347,8 540	347 570	200	200	

Таблица 2

Порядок связи по Вибергу для неокрашенной (A) и окрашенной (B<sub>p</sub>) формы СПХ

Типы связи	A		B	
	СПХ-1	СПХ-2	СПХ-1	СПХ-2
C <sub>2</sub> C <sub>3</sub>	0,4878	0,4878	0,7205	0,7274
C <sub>3</sub> C <sub>4</sub>	0,8729	0,8750	0,6168	0,6140
C <sub>4</sub> C <sub>4a</sub>	0,5431	0,5424	0,7170	0,7159
C <sub>2</sub> C <sub>1</sub>	0,4128	0,4142	—	—
C <sub>2</sub> C <sub>3'</sub>	0,4880	0,4878	0,5602	0,5529
C <sub>3</sub> 'C <sub>4'</sub>	0,8730	0,8587	0,8254	0,8089
C <sub>8a</sub> O <sub>1</sub>	0,4752	0,4747	0,7457	0,7463

натной температуре пропускается сухой хлористый водород в течение 45—50 мин. Реакция начинается окрашиванием в сине-зеленый цвет и выделяются кристаллы с золотистым блеском. Реакционная смесь оставляется на ночь, фильтруется, суспенсируется в спирте и обрабатывается водным раствором аммиака (рН~8). Полученный зелено-ватый осадок кристаллизуется из ксилола. После очистки с применением активированного угля получаются бледно-желтые кристаллы с т. пл. 204—205°C. Выход 2 г (83%). Вещество с кислотами приобретает свойственную для спирохроменов окраску, обладает термо- и фотохромией. Остальные соединения синтезировались аналогично на базе соответствующих кетонов.

Академия наук Грузинской ССР

Институт кибернетики

(Поступило 8.10.1987)

გ. გუგავა, ლ. დევაძე, კ. ჯაპარიძე, ი. მჟავანაძე, ნ. სეპაშვილი

**„სიმეტრიული“ სპიროქრომენის ელექტრონული აღნაგოგა**

რეზიუმე

შესწავლილია და კვანტურქიმიურად ინტერპრეტირებულია ჩამნაცვლებლის გავლენა სპიროქრომენების ფოტოქრომიაზე. შთანთქმის გრძელტალოვანი ზოლის პიფსოქრომული წანცვლება ახსნილია მეთილის ჯგუფის შეულებით პირანული ბირთვის ორმაგ ბმასთან. თეორიულად დასაბუთებულია მეთილჩანაცვლებული სპიროქრომენის ლია ფორმის მცირე სტაბილურობა.

**PHYSICAL CHEMISTRY**

M. T. GUGAVA, L. V. DEVADZE, K. G. JAPARIDZE, I. A. MZHAVANADZE,  
N. O. SEPASHVILI

**THE ELECTRON STRUCTURE OF SYMMETRIC SPIROCHROMENS**

**Summary**

The effect of some substituents on photochromic characteristics of spirochromens has been studied and interpreted from the quantum-chemical point of view. The hypsochromic shift of the long-wave absorption band is due to a superconjugation of the methyl group with the double bond of the pyren ring. The minor stability of the open form of methyl-substituted spirochromen is theoretically proved.

**ლიტერატურა — ЛИТЕРАТУРА — REFERENCES**

1. G. A. Delzenne. Advant. Photochemistry, v. 11, 1979, p. 1.
2. А. С. Холманский. Журнал физической химии, т. VIII, вып. 3, 1983, с. 689.
3. К. Г. Джапаридзе. Спирохромены. Тбилиси, 1979.
4. Г. А. Шембелев, Ю. А. Устинюк, В. Н. Мамаев и др. Квантовые методы расчета молекулы. М., 1980.
5. В. Н. Лисютенко, В. А. Барачевский. Теоретическая и экспериментальная химия, т. 17, № 4, 1981.
6. R. Dikenson, J. Heilborn. J. Chem. Soc., v. 14, 1927, p. 1696.



## ФИЗИЧЕСКАЯ ХИМИЯ

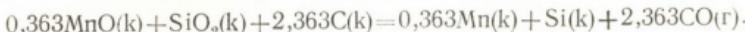
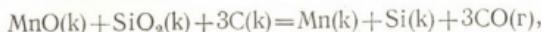
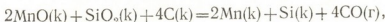
Д. И. БАГДАВАДЗЕ, Г. Г. ГВЕЛЕСИАНИ (член-корреспондент  
АН ГССР), Р. А. ЦХАДАЯ, Л. А. МАРШУК

### ТЕРМОДИНАМИЧЕСКОЕ МОДЕЛИРОВАНИЕ ВОССТАНОВЛЕНИЯ ОКСИДОВ МАРГАНЦА И КРЕМНИЯ УГЛЕРОДОМ

В 1970—1980-е гг. в СССР разработаны методы и алгоритмы [1—3] для расчета химических и фазовых равновесий с использованием ЭВМ (полный термодинамический анализ — ПТА). На их основе развиваются методы термодинамического моделирования в неорганических системах при повышенных температурах [2, 3]. Представляет интерес применить этот подход к изучению системы Mn-Si-O-C с целью прогнозирования условий получения силикомарганцевого сплава.

Несмотря на значительные масштабы выплавки силикомарганца, физико-химические основы высокотемпературных процессов совместного восстановления оксидов марганца и кремния углеродом разработаны недостаточно. В [4] сделана попытка на основе частного термодинамического анализа (ЧТА) выполнить термодинамический анализ системы, используя системный подход. Сведений о ПТА четверной системы нами не обнаружено.

В настоящей работе в качестве объекта исследования использована система MnO + SiO<sub>2</sub> + C + Ar. Составы шихт выбраны на основании реакций



Термодинамическое моделирование проводили с применением метода и программы расчетов, описанных в [3], на ЭВМ ЕС-1055 при общем атмосферном давлении в интервале температур 1000—4000 К с шагом 50°.

В числе возможных конденсированных компонентов учитывали: Si, Mn, C, Mn<sub>3</sub>Si, MnSi, Mn<sub>5</sub>Si<sub>3</sub>, MnSi<sub>2</sub>, Mn<sub>23</sub>C<sub>6</sub>, Mn<sub>7</sub>C<sub>3</sub>, Mn<sub>3</sub>C, SiC, Mn<sub>3</sub>O<sub>4</sub>, MnO<sub>2</sub>, MnO, SiO<sub>2</sub>, Mn<sub>2</sub>SiO<sub>4</sub>, MnSiO<sub>3</sub>, газообразных: Ar, O, O<sub>2</sub>, O<sub>3</sub>, C, C<sub>2</sub>, C<sub>3</sub>, C<sub>4</sub>, C<sub>5</sub>, CO, CO<sub>2</sub>, C<sub>2</sub>O, C<sub>3</sub>O<sub>2</sub>, Si, Si<sub>2</sub>, Si<sub>3</sub>, SiO, SiO<sub>2</sub>, SiC, SiC<sub>2</sub>, Si<sub>2</sub>C, Si<sub>2</sub>C<sub>2</sub>, Si<sub>3</sub>C, Mn, MnO.

Считали, что жидкий металлический раствор образуется при взаимном смешении и растворении металлов, силицидов и карбидов марганца, шлаковый — подобным же образом из оксидов марганца, кремния и силикатов марганца.

В работе рассмотрены температурные области, в которых растворы находятся в расплавленном состоянии. Составы шлаковых растворов представлены в ионной форме. Металлические растворы описаны элементным составом.

На рис. 1 показано соотношение конденсированных фаз (расплав шлака, металлического раствора и конденсированного углерода) в температурном интервале 1550—2000 К, согласно которому с повыше-

нием температуры наблюдаются увеличение количества металлического расплава и уменьшение количества шлака и углерода. Рассчитано также изменение ионного состава шлакового раствора в интервале температур 1550—2000 К.

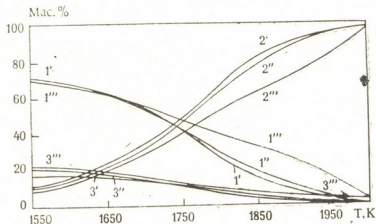


Рис. 1. Соотношение конденсированных фаз 1—3 (расплав шлака, металлический раствор, конденсированный углерод);  
 1', 2', 3'—I шихта; 1'', 2'', 3''—II шихта; 1''', 2''', 3'''—III шихта

Согласно рис. 2, для всех исследуемых шихт содержание марганца в сплаве с ростом температуры снижается. Эффект особенно заметен до 1750—1800 К. В интервале 1800—2100 К состав сплава по марганцу изменяется незначительно. Последующее повышение температуры приводит к дальнейшему снижению его количества в сплаве.

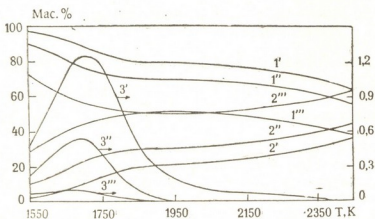


Рис. 2. Состав металлического раствора: 1—3—[Mn], [Si], [C];  
 1', 2', 3'—I шихта; 1'', 2'', 3''—II шихта; 1''', 2''', 3'''—III шихта

В отличие от марганца, повышение температуры приводит к увеличению количества кремния в сплаве; это действие наиболее ощутимо до  $\sim 1850$  К. Дальнейший рост температуры до  $\sim 2150$  К слабо сказывается на изменении состава сплава по кремнию. Выше 2150 К наблюдается более ощутимый рост Si в сплаве. Что касается углерода, то максимальное его содержание в сплаве соответствует температуре  $\sim 1700$  К; с увеличением температуры до 2000 К наблюдается резкое снижение С.

Расчеты газовой фазы над системами показали, что основными компонентами являются CO, Mn и SiO. Для I шихты наблюдается резкое возрастание давления пара марганца ( $10^{-2}$  МПа) до темпера-

туры 2150 К. Эта величина остается практически постоянной и при более высоких температурах. В отличие от сказанного, для II и III шихт с ростом температуры  $P^m$  в газовой фазе увеличивается непрерывно и эффект влияния температуры меньше. Для всех составов шихт с ростом температуры до 2000 К давление пара SiO заметно увеличивается. Согласно полученным результатам, парциальное давление CO в газовой фазе в интервале температур 1550—2400 К находится в пределах  $1,8 \cdot 10^{-2}$ — $7,5 \cdot 10^{-2}$  МПа. Максимальная его величина для исследуемых шихт отмечается при 1900 К.

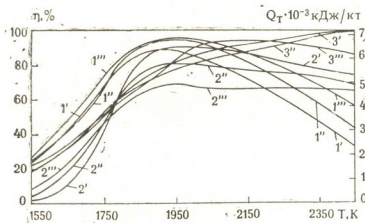


Рис. 3. Извлечение Mn (1) и Si (2) в металлический раствор и энергозатраты (3): 1', 2', 3'—I шихта; 1'', 1'', 3''—II шихта;  
 1''', 2''', 3'''—III шихта

На рис. 3 показаны извлеченные Mn и Si в металлический расплав и энергозатраты процесса. Максимальное извлечение марганца для I шихты наблюдается при 1900 К (~90 мас.%), а для II и III шихт — при 1950 К (95 мас.%). Для кремния эти значения для всех шихт достигаются при 1950 К (I—91, II—81 и III—70 мас.%). Энергозатраты  $Q_T$ , резко увеличиваются до 1900—1950 К и достигают ~5500—6500 кДж/кг, а затем монотонно возрастают с повышением температуры до 2450 К.

Результаты настоящей работы хорошо согласуются с данными [5].

Академия наук Грузинской ССР

Институт металлургии  
 им. 50-летия СССР

(Поступило 15.10.1987)

უბისიანი გიმა

ქ. გალავანი, გ. გვილასთავი (საქ. სსრ მეცნ. ეკოლოგიის წევრ-  
 კორპუსის ნორი), რ. ცხადაა, ლ. გარშევი

განვითარებისა და ცილიბიუმის ორგანიზაციის ნაზღირგადით აღდგენის  
 თემატიკისამიზნი მოდელირება

რეზოუმე

ელექტრონულ-გამომთვლელი მანქანის გამოყენებით შესრულებულია Mn-Si-O-C სისტემის სრული თერმოდინამიკური ანალიზი 1000—4000 К ტემპერატურულ ინტერვალში. განსაზღვრულია ლითონური და წილური ხსნა-

რების და ირადი ფაზის შედგენილობა, მანგანუმისა და სილიციუმის გამოსავალი, პროცესის ენერგეტიკული დანახარჯები.

## PHYSICAL CHEMISTRY

J. I. BAGDAVADZE, G. G. GVELESIANI, R. A. TSKHADAYA, L. A. MARSHUK

### THERMODYNAMIC MODELLING OF THE REDUCTION OF MANGANESE AND SILICON OXIDES BY CARBON

#### Summary

A complete thermodynamic analysis within the temperature range of 1000—4000 K has been carried out using a computer. The compositions of metallic and slag solutions, gas phase, manganese and silicon extraction and energy expenditures for the processes have been determined.

#### ლიტერატურა — REFERENCES

1. В. Е. Алемасов, А. Ф. Драгалин, А. П. Тишин, В. А. Худяков. Термодинамические и теплофизические свойства продуктов сгорания, т. 1. М., 1971.
2. Г. Б. Синярев, Н. А. Ватолин, Б. Г. Трусов, Г. К. Моисеев. Применение ЭВМ для термодинамических расчетов металлургических процессов. М., 1982.
3. Г. Ф. Воронин. Физическая химия. Современные проблемы. М., 1984.
4. А. К. Ашин. Структуры фаз и процессы восстановления элементов в твердых и жидкых системах. М., 1978.
5. Г. Г. Гвелесиани, Д. И. Багдадзе, Р. А. Цхадая. Совершенствование технологии производства марганцевых сплавов. Тбилиси, 1983.



ЭЛЕКТРОХИМИЯ

В. В. ШАВГУЛИДЗЕ, Л. В. ГЕГЕШИДЗЕ, Дж. И. ДЖАПАРИДЗЕ

ПОТЕНЦИОМЕТРИЧЕСКОЕ ИССЛЕДОВАНИЕ ГАЛОГЕНИДНЫХ  
И ТИОЦИАНАТНЫХ КОМПЛЕКСОВ КАДМИЯ В  
1,2-ПРОПИЛЕНГЛИКОЛЕ

(Представлено членом-корреспондентом Академии Л. Н. Джапаридзе 3.12.1987)

В этиленгликоле (ЭГ) ряд устойчивости галогенидных и тиоцианатных комплексов кадмия изменяется в последовательности  $\text{NCS}^- < \text{Cl}^- < \text{Br}^- < \text{I}^-$  [1]. Можно предположить, что и в 1,2-пропиленгликоле (1,2-ПГ), являющемся гомологом ЭГ, указанная последовательность также должна соблюдаться.

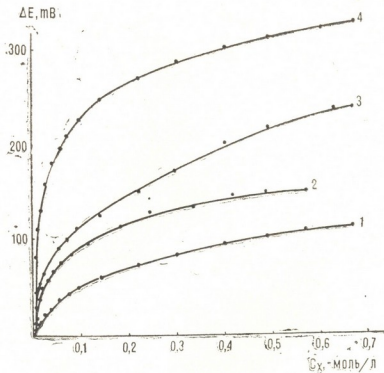


Рис. 1. Зависимость  $\Delta E$  от общей концентрации лигандов в системах: 1 —  $\text{Cd}^{2+} - \text{SCN}^- - 1,2\text{-ПГ}$ ; 2 —  $\text{Cd}^{2+} - \text{Cl}^- - 1,2\text{-ПГ}$ ; 3 —  $\text{Cd}^{2+} - \text{Br}^- - 1,2\text{-ПГ}$ ; 4 —  $\text{Cd}^{2+} - \text{I}^- - 1,2\text{-ПГ}$  ( $C_{\text{Cd}^{2+}} = 0,001$  моль/л,  $\mu = 2$ ,  $25^\circ\text{C}$ )

Цель настоящего исследования — изучить условия образования и определить устойчивость галогенидных и тиоцианатных комплексов кадмия в 1,2-ПГ.

Методика измерений описана в [2]. Индикаторным электродом служила амальгама кадмия, а электродом сравнения — каломельный электрод состава 1,9 моль/л  $\text{NaClO}_4 + 0,1$  моль/л  $\text{LiCl}$  на 1,2-ПГ. Все соли, использованные в работе, были дважды перекристаллизованы и обезвожены. 1,2-ПГ после длительного встряхивания с гидроксидом лития перегонялся дважды под вакуумом и хранился в инертной (водород) атмосфере. Во всех случаях был использован свежеприготов-

ленный растворитель. Исходная концентрация соли кадмия постоянна для всех систем и равна 0,001 моль/л, а содержание хлорид-, бромид-, иодид- и тиоцианат-ионов изменялось от 0,005 до 0,7 моль/л. Потенциометрические измерения проводились на потенциометре Р-363

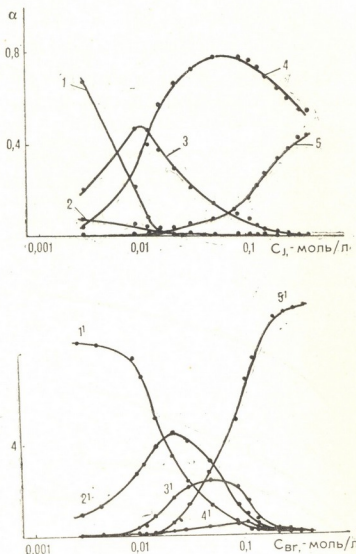


Рис. 2. Диаграмма распределения комплексов в системе  $Cd^{2+}-L-1,2\text{-ПГ}$  в зависимости от  $C_I$ —(а) и  $C_{Br^-}$ —(б):  $CdI^+(1)$ ,  $CdI_2(2)$ ,  $CdI_3^-(3)$ ,  $CdI_4^{2-}(4)$ ,  $CdI_5^{3-}(5)$ ;  $CdBr^+(1')$ ,  $CdBr_2(2')$ ,  $CdBr_3^-(3')$ ,  $CdBr_4^{2-}(4')$ ,  $CdBr_5^{3-}(5')$

при постоянной ионной силе ( $\mu=2$ ) и температуре ( $25 \pm 0,1^\circ\text{C}$ ), на фоне перхлората натрия.

Состав и устойчивость комплексов определялись методом Ледена [3] и наименьших квадратов (МНК) [4]. Значения констант устойчивости, полученные МНК, приведены с доверительным интервалом для надежности 0,95. В остальных случаях ошибка в определении  $\beta_n$  оценивалась из возможных способов экстраполяции функции на нулевую концентрацию лиганда.

Как видно из табл. 1, амальгамный электрод кадмия в 1,2-ПГ подчиняется уравнению Нернста в широком интервале концентраций нитрата кадмия ( $0,0001-0,005$  моль/л), что свидетельствует об обратимости кадмиевого амальгамного электрода в 1,2-ПГ.

Кривые потенциометрического титрования растворов нитрата кадмия растворами некоторых лигандов приведены на рис. 1. Расположение кривых рис. 1 однозначно показывает, что закомплексованность кадмия возрастает в ряду лигандов  $SCN^- < Cl^- < Br^- < I^-$ .

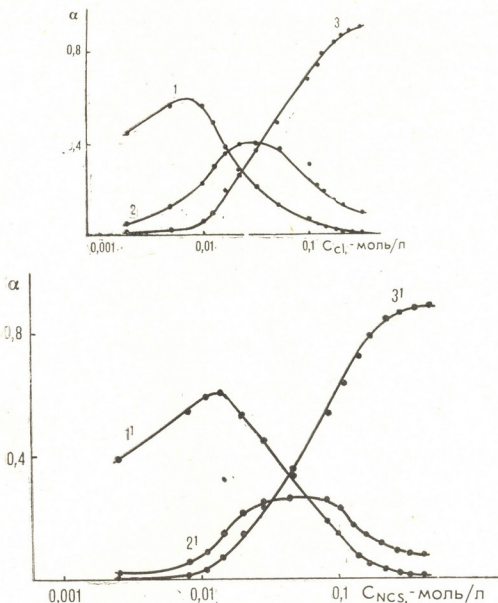


Рис. 3. Диаграмма распределения комплексов в системе  $\text{Cd}^{2+}-\text{L}-1,2\text{-ПГ}$  в зависимости от  $C_{\text{Cl}}$ —(а) и  $C_{\text{SCN}}$ —(б):  $\text{CdCl}^{\text{I}}$ (1),  $\text{CdCl}_2^{\text{II}}$ (2),  $\text{CdCl}_3^{\text{III}}$ (3);  $\text{CdSCN}^{\text{I}}$ (1'),  $\text{Cd}(\text{SCN})_2^{\text{II'}}$ ,  $\text{Cd}(\text{SCN})_3^{\text{III'}}$

Таблица 1  
Значения потенциалов кадмий-амальгамного электрода в 1, 2-ПГ при различной концентрации ионов кадмия ( $\mu=2$ ;  $25^\circ\text{C}$ )

$C_{\text{Cd}^{2+}}$ моль/л	$-E, \text{В}$	$-E^\circ, \text{В}$	$C_{\text{Cd}^{2+}}$ моль/л	$-E, \text{В}$	$-E^\circ, \text{В}$
0,0001	0,640	0,522	0,002	0,609	0,529
0,0005	0,625	0,527	0,005	0,598	0,530
0,001	0,616	0,528			

В табл. 2 приведены общие ( $\beta_n$ ) константы устойчивости галогенидных и тиоцианатных комплексов кадмия в 1,2-ПГ при  $\mu=2$ . Анализ табл. 2 показывает, что стабильность комплексов кадмия в 1,2-ПГ узеличивается в ряду лигандов  $\text{SCN}^- < \text{Cl}^- < \text{Br}^- < \text{I}^-$ . Этот ряд сохраняется как для катионных, так и электронейтральных и анионных комплексов.

Таблица 2

Общие константы устойчивости ( $\beta_n$ ) галогенидных и тиоцианатных комплексов кадмия в 1, 2-ПГ при  $\mu=2$  и температуре 25°C

$\beta_n$	Л и г а н д ы			
	I <sup>-</sup>	Br <sup>-</sup>	Cl <sup>-</sup>	NCS <sup>-</sup>
$\beta_1$	$(2,0 \pm 1,4) \cdot 10^5$	$(5,0 \pm 0,2) \cdot 10^3$	$(2,8 \pm 0,9) \cdot 10^2$	$(1,43 \pm 0,4) \cdot 10^2$
$\beta_2$	$(8,3 \pm 4,0) \cdot 10^6$	$(1,9 \pm 0,3) \cdot 10^5$	$(9,6 \pm 2,7) \cdot 10^3$	$(1,5 \pm 0,5) \cdot 10^3$
$\beta_3$	$(8,8 \pm 0,6) \cdot 10^9$	$(2,0 \pm 1,2) \cdot 10^6$	$(1,33 \pm 0,4) \cdot 10^5$	$(2,8 \pm 0,2) \cdot 10^4$
$\beta_4$	$(6,64 \pm 2,4) \cdot 10^{11}$	$(4,85 \pm 1,8) \cdot 10^6$		
$\beta_5$	$(8,7 \pm 1,4) \cdot 10^{11}$	$(5,2 \pm 2,2) \cdot 10^8$		

С использованием найденных значений констант устойчивости проведен расчет распределения комплексных форм, находящихся в равновесии, в зависимости от аналитической концентрации лигандов для иодидных, бромидных, хлоридных и тиоцианатных комплексов кадмия (рис. 2 и 3).

Академия наук Грузинской ССР  
Институт неорганической химии  
и электрохимии

(Поступило 17.12.1987)

000000000000

ვ. შავგულიძე, ლ. გეგეშიძე, ჯ. ჯაპარიძე

კადმიუმის ჰალოგენ- და თიოციანატკომპლექსების  
კომპლექსომეტრული გესტაცია 1,2-პროპილენგლიკოლზე

რეზიუმე

დადგენილია კადმიუმის ჰალოგენ- და თიოციანატკომპლექსების შედგენილობა და მდგრადიბის მუდმივები 1,2-პროპილენგლიკოლზე.

## ELECTROCHEMISTRY

V. V. SHAVGULIDZE, L. V. GEGESHIDZE, J. I. JAPARIDZE

### POTENTIOMETRIC INVESTIGATION OF HALOGENIDE AND TIOCYANATE COMPLEXES OF CADMIUM IN 1,2-PROPYLENEGLYCOL

#### Summary

The composition and stability constants of halogen and tiocyanate complexes of cadmium in 1,2-propyleneglycol have been established.

#### ЛITERATURA — REFERENCES

1. В. В. Шавгулидзе, Дж. И. Джапаридзе. Коорд. химия, 12, № 12, 1986, 1627.
2. В. В. Шавгулидзе, П. Г. Гоголадзе, Т. Дж. Джапаридзе. Сообщения АН ГССР, 125, № 1, 1987, 69.
3. Ф. Хартли, К. Бергес, Р. Олкок. Равновесия в растворах. М., 1983, 63.
4. Р. Доеэрфель. Статистика в аналитической химии. М., 1969, 58.



## ХИМИЧЕСКАЯ ТЕХНОЛОГИЯ

Т. С. ШАКАРАШВИЛИ, М. К. АНДГУЛАДЗЕ, И. В. КАКАБАДЗЕ,  
М. Н. БЕКАУРИ, Н. Г. ЧУБИНИДЗЕ, М. И. МЕРЛANI,  
М. И. КУБАНЕИШВИЛИ, Г. О. ПОЦХВЕРАШВИЛИ

### КОРМОВЫЕ ДРОЖЖИ НА ОСНОВЕ н-ПАРАФИНОВ ИЗ ГРУЗИНСКОЙ НЕФТИ

(Представлено членом-корреспондентом Академии Р. М. Лагидзе 24.12.1987)

Биомассы — белковые концентраты используются в качестве полноценного дополнителя к комбинированным кормам [1]. Получение биомассы осуществляется методом микробиологической трансформации жидких нормальных парафинов [2, 3].

Известно, что основным сырьем указанных парафинов является нефть [4]. С этой целью из грузинской нефти месторождения Самгори нами были выделены и очищены смесь н-парафинов с числом углеродных атомов  $C_{13}$ — $C_{16}$  (235,5—287,5°C), пары н-парафинов  $C_{13}$ — $C_{14}$  (235,5—253,0°C) и  $C_{15}$ — $C_{16}$  (270,5—287,5°C) и индивидуальные н-парафины  $C_{13}$ ,  $C_{14}$ ,  $C_{15}$  и  $C_{16}$  (т. кип. соответственно 235,5; 253,0; 270,5 и 287,5°C).

После установления физико-химических параметров они были подвергнуты микробиологической трансформации [5].

Аналогичному процессу подвергли смесь н-парафинов  $C_{13}$ — $C_{16}$ , выделенную из сырья н-парафинов, применяемого на Ахметском биохимическом заводе.

В лабораторных условиях нами была изучена динамика роста биомассы на основе перечисленных выше смесей, пар и индивидуальных углеводородов в течение 24, 48 и 72 часов. В качестве микробиорганизма был использован промышленный штамм *Candida Guilliermondii*-569.

При проведении опытов основное внимание было обращено на выявление наиболее подверженных микробиологической трансформации смеси, пары и индивидуального н-парафинов; желательно было также выявить влияние четного и нечетного количества углерода в индивидуальных углеводородах в процессах превращения.

На первой стадии микробиологической трансформации подготовили среду из неохмеленного пивного сусла и агар-агара для выращивания культур при постоянной температуре (32—35°C).

На следующей стадии подготовили среду из питательных минеральных солей для роста биомассы на н-парафинах. Среда минеральных солей из расчета на 10 мл парафина имеет состав (г/л):  $(NH_4)_2SO_4$  — 3,5;  $NH_4H_2PO_4$  — 0,8;  $KCl$  — 0,5;  $MgSO_4$  — 0,025;  $FeSO_4 \times 7H_2O$  — 0,015;  $ZnSO_4 \times 7H_2O$  — 0,015;  $MgSO_4 \times 5H_2O$  — 0,015;  $NaCl$  — 0,013; pH среды 2,0—5,5.

К предварительно стерилизованной минеральной среде (10 мл) и н-парафину (1 мл) прибавили 1 мл культуры и смесь перемешивали в течение 3 суток при температуре 30—35°C в токе кислорода с объемной скоростью 2,46 л/час. Помутнение реакционной смеси свидетельствует о начале процесса трансформации.

## Результаты микробиологического окисления после 72 часов

Исследуемые пробы н-парафинов	Выход биомассы сух., %	Содержание белка в биомассе, %	Содержание общего азота, %	Содержание протеина, %	Содержание остаточных углеводородов, %
$C_{13}$	31,3	31,8	6,9	43,1	2,5
$C_{14}$	34,01	39,0	7,25	45,3	2,0
$C_{15}$	35,0	39,3	7,85	48,1	2,1
$C_{16}$	46,2	49,07	8,9	55,6	1,9
$C_{13}-C_{14}$	32,7	32,5	7,1	45,1	2,9
$C_{15}-C_{16}$	39,6	44,3	8,35	52,3	2,3
$C_{13}-C_{16}$ из самгорской нефти	43,4	54,9	7,75	49,7	2,45
$C_{13}-C_{16}$ из заводского сырья	40,07	51,0	7,1	47,0	2,52

тельствует об образовании биомассы. Через каждые сутки на приборе фотоэлектрического колориметра ФЭК-56М определяли по показателям плотности динамику роста биомассы в реакционных смесях.

Центрифугированием реакционной смеси выделяли биомассы, в которых по методу Лоури определяли количество белка [7]. Остаточные углеводороды определяли на приборе ИКС [6], расход молекулярного кислорода — на газоанализаторе, количество общего азота — методом Кельдаля [6].

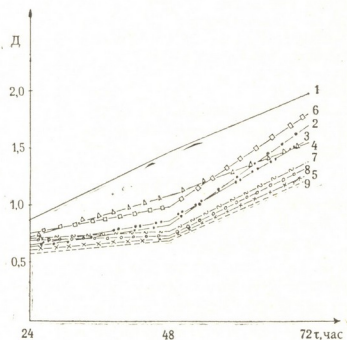


Рис. 1. Динамика роста биомассы на основе смесей, пар и индивидуальных н-парафинов в течение 24, 48 и 72 часов: 1 — контрольная, 2 —  $C_{13}-C_{16}$  из самгорской нефти, 3 —  $C_{13}-C_{16}$  из заводского сырья, 4 —  $C_{15}-C_{16}$ , 5 —  $C_{13}-C_{14}$ , 6 —  $C_{16}$ , 7 —  $C_{15}$ , 8 —  $C_{14}$ , 9 —  $C_{13}$ .

Сопоставление результатов анализа смесей, пар и индивидуальных н-парафинов показало, что лучшие результаты получены при превращении смеси  $C_{13}-C_{16}$  из самгорской нефти. Это выражается сравнительно высоким выходом биомассы, величиной пика потребления кислорода объемом единичной культуры и процентным содержанием выделенного  $CO_2$ . Поглощение меньшего количества кислорода при превращении смеси из заводского сырья свидетельствует о прошедшей в меньшей степени трансформации. Расхождение результатов при одинаковых оптимальных условиях и одинаковом составе

смесей объясняется тем, что н-алканы из самгорской нефти имеют высокую степень очистки и более стабильный состав, чем н-алканы из заводского сырья.

При сравнении результатов, полученных превращением пар  $C_{13}-C_{14}$  и  $C_{15}-C_{16}$  н-парафинов, чуть более высокими показателями характеризуется пара  $C_{15}-C_{16}$ . Этого и следовало ожидать, так как известно, что применяемый нами штамм наиболее активно усваивает  $C_{14}-C_{18}$  н-алканы и  $C_8-C_{24}$  алканов (таблица).

Что касается сравнения данных о влиянии четного и нечетного числа углерода индивидуальных н-алканов на превращение, то можно сказать, что н-алканы с четным количеством углерода более подвержены микробиологической трансформации, причем  $C_{16}$  более активен, чем  $C_{14}$  (рис. 1).

Грузинский политехнический институт  
им. В. И. Ленина

(Поступило 25.12.1987)

მიმღები ტექნოლოგია

თ. შაკარაშვილი, მ. ანდგულაძე, ნ. კაკაბაძე, მ. ბერეზი, ნ. ჩუბინიძე,  
მ. ბეკაური, მ. კუბანეიშვილი, გ. პოტსხვერაშვილი

## საკვები საფურიში საკართველოს ნაცოლების ნ-პარაფინების საცვებო

რეზიუმე

საქართველოს, კერძოდ, სამგორის ნაცობიდან გამოყოფილ იქნა  $C_{13}-C_{16}$  ნ-პარაფინების ნარევი,  $C_{13}-C_{14}$  და  $C_{15}-C_{16}$  ნ-პარაფინების წყვილი და ინდივიდუალური  $C_{13}$ ,  $C_{14}$ ,  $C_{15}$ ,  $C_{16}$  ნ-პარაფინები, რომლებმაც შემდგომში განიცადა მიკრობიოლოგიური ტრანსფორმაცია სამრეწველო შტაბ *Candida Gyilliermondi* 569-ის თანაბისას ლაბორატორიულ პირობებში. ანალოგიური ტრანსფორმაცია ჩატარდა ახმეტის ბიოქიმიური ქარხნის ნედლეულიდან გამოყოფილი ნ-პარაფინების  $C_{13}-C_{16}$  ნარევისათვის.

ცდების მონაცემების შედეგებისას მიკრობიოლოგიური ტრანსფორმაციისადმი უფრო მიღრეკილია ნარევებიდან — სამგორის ნაცობიდან გამოყოფილი ნარევი  $C_{13}-C_{16}$ , წყვილებიდან —  $C_{15}-C_{16}$  და ინდივიდუალური ნახშირწყალბადებიდან  $C_{16}$  ნ-პარაფინები.

CHEMICAL TECHNOLOGY

T. S. SHAKARASHVILI, M. K. ANDGULADZE, N. V. ҚАКАБАДЗЕ,  
M. N. BEKAVURI, N. G. CHUBINIDZE, M. I. MERLANI, M. I. KUBANEISHVILI,  
G. O. POTSKHVERASHVILI

## FODDER YEAST BASED ON n-PARAFFINS OF GEORGIAN OIL

Summary

A  $C_{13}-C_{16}$  n-paraffins mixture, individual  $C_{13}$ ,  $C_{14}$ ,  $C_{15}$ ,  $C_{16}$ , and  $C_{13}-C_{14}$  and  $C_{15}-C_{16}$  pairs have been educed from Georgian (Samgori) oil. The mixtures underwent microbiological transformation in the presence of *Can-*

*dida Gyilliermondi* (industrial enzyme) under laboratory conditions. The C<sub>13</sub>—C<sub>16</sub> n-paraffins mixture from raw material of the Akhmeta biochemical plant underwent the same transformation.

Analysis of experimental results warrants the conclusion that the C<sub>13</sub>—C<sub>16</sub> mixture educed from the Samgori oil, the C<sub>15</sub>—C<sub>16</sub> pair and C<sub>16</sub> individual n-paraffins are more susceptible to microbiological transformation than other n-paraffins.

#### ლიტერატურა — REFERENCES

1. А. П. Ветров, Л. Д. Попова. Изв. вузов, Пищ. технол., 1, 1985, 6—12.
2. Р. А. Галимов, Р. Ш. Латыпов, И. М. Кузнецова, Н. М. Лебедева. Нефтехимия, т. XXII, 5, 1982, 616—619.
3. Biotechnology. Vol. 5; Food and feed production with microorganisms. Ed. Reed G; Weinlein e. a.: Verl. Chem. XII, 1983, 631.
4. Оптимальный перспективный план развития и размещения отдельных производств нефтеперерабатывающей и нефтехимической промышленности на период до 1990 г. М., 1973.
5. Т. С. Шакарашвили, Н. Г. Бекаури, А. В. Дицидзе, Н. Г. Чубинидзе. Сообщения АН ГССР, 106, № 1, 1982, 73—76.
6. Д. Н. Спицына, Р. А. Мельник, Н. Б. Градова. Сб. «Биосинтез кормовых продуктов из нефтяного сырья, органических кислот и спиртов». М., 1984, 32.
7. Р. М. Федорович, В. А. Рябчук, В. А. Ломоносова. Микробиол. пром., 8, 1977, 3—7.

## ГЕОЛОГИЯ

И. К. ДЖАНДЖАВА

### ФИЗИКО-ХИМИЧЕСКАЯ ПРИРОДА ПРОЧНОСТИ И ДЕФОРМИРУЕМОСТИ ОПОЛЗНЕВЫХ ГРУНТОВ ЧЕРНОМОРСКОГО ПОБЕРЕЖЬЯ АБХАЗИИ

(Представлено членом-корреспондентом Академии И. М. Буачидзе 10.11.1987)

В данной работе исследуется влияние физико-химических процессов на формирование прочностных и деформационных характеристик майкопских ( $P_3-N_1^1$ ) и понтских ( $N_2^1$ ) глин, в которых развиты многие оползни Черноморского побережья Абхазии.

Проследим эволюцию структурных связей и индивидуальных контактов между структурными элементами грунта (частицами, микротекстурами, агрегатами, агрегатами и др.).

1. На стадии седиментогенеза в глинистых илах преобладают слабые структурные связи и дальние коагуляционные контакты — результат коагуляции и агрегации разбавленных тонкодисперсных минеральных суспензий. Их образование предопределено балансом дальнодействующих сил притяжения (молекулярных, электростатических) и отталкивания диффузивных гидратных слоев [1]. При взаимодействии частиц на больших расстояниях 70~100 нм, прочность контакта равна  $10^{-12}$ — $10^{-11}$  Н. Начальная пористость составляет 50—80% [2]. Микростроение — ячеистое.

2. По мере уплотнения и дегидратации глинистых илов и превращения их в более плотные глины (слабой и средней степени литификации) начинают преобладать близкие коагуляционные контакты — результат сближения частиц и микроагрегатов до расстояния 2—3 нм из-за утоньшения между ними гидратных пленок воды. Глинистый ил переходит в глину при пористости 30—40% [2]. Микростроение — матричное (рис. № 1а).

3. В высоколитифицированных глинистых породах пористость понижается до 22—32%, происходит качественная трансформация коагуляционных контактов в переходные [3]. При этом неизбежно утоньшение и прорывы гидратных слоев, с установлением непосредственного контакта сближающихся структурных элементов на расстояние максимального проявления ионно-электростатических сил порядка 0,2—0,3 нм. Микростроение матрично-турбулентное (рис. 1б).

Переходные контакты могли образоваться только в отложениях майкопа (субаргиллиты), но не понта, т. к. последние не достигли столь высокой степени литификации ни по причине глубинного расположения, ни в силу продолжительности времени прошедшего после отложения осадков.

Большую роль в прочности глинистых грунтов играет не только характер, но и число контактов между частицами. Причем, чем тоньше пористость и плотнее упаковка, тем больше контактов на единицу сечения. Результаты количественного описания микроструктур с применением математической морфологии приведены в табл. 1, из которой следует, что в майкопских и понтских оползневых грунтах крупные межагрегатные поры резко преобладают над мелкими межмикроагрегатными по процентному содержанию, площади, периметру и диаметру. Кроме того, у выветрелых пород, вследствие гипергенетиче-

ской переработки, межагрегатная пористость выше чем у коренных. Крупные поры, в свою очередь, не только уменьшают число контактов, но и являются концентратами напряжений и способствуют значительному понижению прочности.



Рис. 1 а, и б

Коэффициент анизотропии  $A$ , полученный по данным автоматического анализа микроструктур по РЭМ-изображениям, указывает на более высокую степень ориентации структурных элементов майкопских глин и у продуктов их элювиально-делювиальной переработки

Таблица 1

Возраст пород	Глубина отбора, м	Общая площадь пор, $\text{мкм}^2$	Пористость, %		Средний диаметр пор, км		Средний параметр пор, $\mu\text{м}$		Средняя площадь пор, $\text{мкм}^2$	
			внутриагрегатная	межагрегатная	внутриагр.	межагр.	внутриагр.	межагр.	внутриагр.	межагр.
dQ <sub>IV</sub>	2,0	2593,46	1,6	33,2	1,31	5,0	5,60	57,8	1,40	30,89
elQ <sub>IV</sub>	4,5	2556,59	1,7	32,7	1,29	5,3	5,81	64,3	1,37	37,95
/—/	5,5	2544,78	3,5	30,5	1,43	5,6	6,58	59,1	1,72	35,36
P <sub>S</sub> —N <sub>1</sub> '	8,5	2434,14	3,6	29,0	1,43	5,3	6,71	61,0	1,70	33,27
dQ <sub>IV</sub>	2,0	3172,0	3,0	41,0	1,48	8,3	6,73	199,3	1,93	117,93
elQ <sub>IV</sub>	4,0	3141,0	3,1	40,8	1,49	7,4	7,11	145,3	1,95	88,49
/—/	5,0	3079,82	3,2	41,4	1,37	7,8	6,18	135,7	1,61	78,26
N <sub>2</sub> '	7,5	2976,17	3,4	40,5	1,38	7,6	6,24	135,1	1,72	77,84

( $A=7,5-11,9\%$ ), чем у аналогичных pontских ( $A=4,5-8,5\%$ ). Следовательно, анизотропия прочностных свойств первых выше чем у вторых. Объяснение этому заключается в большей длительности катагенетического периода у олигоценовых пород, чем у плиоценовых.

В табл. 2 приведены данные изменчивости минерального состава гидрослюдисто-монтморилонитовых глин по разрезу, полученные из дифрактограмм воздушно-сухого, насыщенного глицерином и прогретого при  $t=550^\circ\text{C}$  образцов.

По мере возрастания сверху вниз менее гидрофильных пластичных и набухающих гидрослюдистых минералов и убывания монтмо-

рилонит-смешаннослоистых, обладающих более высокими значениями вышеперечисленных свойств закономерно уменьшение показателей сжимаемости и увеличение сцепления грунтов по глубине.

Таблица 2

Возраст отложений	Глубина отбора, м	Гидрослюда, %	Группа монтморилонита и смешанно-слоистых, %	Каолинит, %	Хлорит, %
dQ <sub>IV</sub>	2,0	45	40—45	5—7	6—8
elQ <sub>IV</sub>	4,5	45—50	40—43	5—7	4—5
/—/	6,5	50—55	35—40	5	4—5
/—/	9,5	55—60	30—35	5—8	7—10
P <sub>3</sub> —N <sub>1</sub> '	14,5	60—65	20—25	5—10	7—10
dQ <sub>IV</sub>	2,0	32—35	50—55	5—6	6—8
elQ <sub>IV</sub>	4,0	35—40	45—50	5—8	7—10
/—/	5,5	35—40	40—45	5—8	7—10
N <sub>2</sub> '	9,0	40—45	35—40	5—10	5—10

Расчет прочностей индивидуальных контактов и анализ физико-механических свойств грунтов позволяет подразделить оползневые (ed Q<sub>IV</sub>) и подстилающие — коренные породы по типу структурных связей на два вида:

I. Грунты с близкими коагуляционными контактами с прочностью  $P_1 = 10^{-10} - 10^{-8}$  н.

— элювиально-делювиальные глины майкопа. Плотность скелета структуры  $\gamma_{ck}$  изменяется от 1,37 до 1,70 г/см<sup>3</sup>; пористость  $n=34—50\%$ ; влажность не превышает влажности на пределе текучести ( $w < w_L$ ) и колеблется от 21 до 42%; величина набухания  $\delta=2,3—15,5\%$ ; модуль общей деформации  $E=1,3—7$  МПа; вязкость  $\eta=2,28 \cdot 10^{11}—0,175 \cdot 10^{12}$  Па·с; сцепление  $c=0,022—0,05$  МПа; угол внутреннего трения  $\varphi=5—15^\circ$ ; — элювиально-делювиальные глины понга.  $\gamma_{ck}=1,22—1,42$  г/см<sup>3</sup>;  $n=45—55\%$ ; влажность ( $w < w_L$ ) и составляет 30—45%;  $\delta=2—30\%$ ;  $\eta=10^{11}—10^{12}$  Па·с;  $E=2—8$  МПа;  $c=0,02—0,006$  МПа;  $\varphi=5—12^\circ$ ; — коренные понгские глины.  $\gamma_{ck}=1,40—1,56$  г/см<sup>3</sup>;  $n=38—50\%$ , влажность ( $w < w_L$ ) в среднем 32—40%;  $\delta=8—15\%$ ,  $\eta=10^{11}—10^{12}$  Па·с;  $E=4—10$  МПа;  $c=0,04—0,09$  МПа;  $\varphi=8—22^\circ$ .

II. Грунты с переходными ( $P_1 = 10^{-8}—10^{-7}$ ) контактами.

— уплотненные майкопские глины (субаргиллиты).  $\gamma_{ck}=1,65—1,90$  г/см<sup>3</sup>;  $n=25—40\%$ ; естественная влажность  $w=12—32\%$ ;  $\delta=13—20\%$ ;  $\eta=10^{13}—10^{14}$  Па·с;  $E=14—22$  МПа; сцепление как и угол внутреннего трения изменяются в широких пределах в зависимости от влажности, например при  $w=17\%$ ,  $\varphi=36^\circ$ ,  $C=0,15$  МПа, а при  $w=32\%$ ,  $\varphi=13^\circ$ ,  $C=0,08$  МПа.

Грунты первой группы — представители пластичных тел с достаточно высокими показателями вязкости, снижающимися по мере увеличения влажности, что, в свою очередь увеличивает интенсивность процесса деформации ползучести во времени. Сжимаемость их высокая и средняя, показатели прочности при испытании на сдвиг невысокие, по величине набухания они относятся к категории слабо- и средненабухающих.

Глины второй группы выделяются упруговязким характером деформации с хрупким разрушением [3], слабой сжимаемостью, боль-



шими значениями прочностных показателей, сильным набуханием. Объясняется последнее тем, что при их гидратации вода, проникая в зону контакта, создает дополнительное расклинивающее давление, превышающее силы притяжения частиц. Происходит увеличение гидратной пленки связанный воды на контакте, раздвигание ею частиц и обратное преобразование системы в коагуляционную. Как результат, грунт увеличивает объем (набухает) и резко уменьшает свою прочность.

Академия наук Грузинской ССР  
Сектор гидрогеологии  
и инженерной геологии

(Поступило 13.11.1987)

გეოლოგია

### II. ჯანჯავა

აცხაზეთის შავი ზღვის სანაპირო ზოლის მეზურული გრუნტების  
სიმტკიცისა და დაფორმირების ფიზიკურ-ქიმიური გუნდები

### რეზიუმე

შესწავლითი ფიზიკურ-ქიმიური პროცესების გავლენა განსხვავებული  
გეოლოგიური ასაკის თიხოვანი ქანების სიმტკიცის და დეფორმაციული თვი-  
სებების ფორმირებაზე.

ნაჩენებია გრუნტში ფიზიკურ-ქიმიური მდგომარეობის ცვალებადობა  
ლითოგენეზის სხვადასხვა სტადიაზე. მაკების ( $P_3-N_1$ ) და პონტის ( $N_2^1$ )  
ძირითადი და ელუვიურ-დელუვიური თიხები სტრუქტურული კავშირებისა და  
ინდივიდუალური კონტაქტების მიხედვით დაყოფილია ორ ჯგუფად, რომელ-  
თაგანაც თითოეულს შეესაბამება ფიზიკურ-მექანიკური თვისებების გარკვეული  
მაჩვენებლები.

GEOLOGY

I. K. JANJGAVA

## PHYSICAL AND CHEMICAL NATURE OF STRENGTH AND DEFORMATION OF THE BLACK-SEA COASTAL LANDSLIDE GROUNDS

Summary

The effect of the physical and chemical processes on the formation of strength and deformation properties of clay rocks of different age has been studied.

Changes in the physico-chemical situation of soils at different stages of the lithogenesis are shown.

In accordance with their structural bonds and individual contacts Mai-kopian ( $P_3-N_1^1$ ) and Pontian ( $N_2^1$ ) bedrocks and eluvial clays have been subdivided into two groups, each of them being characterized with definite indices of physical and mechanical properties.

### ლიტერატურა — ЛИТЕРАТУРА — REFERENCES

1. Сб. «Теоретические основы инженерной геологии. Физико-химические основы». М., 1985.
2. Г. Ларсон, Дж. В. Чилингар. Диагенез и катагенез осадочных образований. М., 1971.
3. В. И. Осипов. Природа прочности и деформационных свойств глинистых пород. М., 1979.

ПЕТРОЛОГИЯ

Д. М. ШЕНГЕЛИА, И. Г. ПОПОРАДЗЕ, Т. И. ЦУЦУНАВА

НОВЫЕ ДАННЫЕ О МЕТАМОРФИТАХ ДЖЕНТИНСКОГО ТЕКТОНИЧЕСКОГО ПОКРОВА НА СЕВЕРНОМ КАВКАЗЕ

(Представлено членом-корреспондентом Академии Г. М. Заридзе 25.12.1987)

Джентинский тектонический покров, обнажающийся в пределах зоны Передового хребта Большого Кавказа, большинством исследователей рассматривается как составляющая часть Азгаринского тектонического покрова [1, 2 и др.], однако, по нашим наблюдениям, эти покровы по литологическому составу выявляют существенные различия. В Джентинском покрове в основании аллохтонных масс располагается чешуя амфиболитов и роговообманковых гнейсов. Небольшая тектоническая пластина метаморфитов обнажается также к югу от Джентинского покрова.

Существенную часть покрова составляют метапсаммиты (67,0 %, парагенезисы— $Kv+Xl+Pl+Bi+Cer(My)+\text{Эп}\pm Gr\pm Grf$ ,  $Kv+Xl+Pl+\pm Bi+\text{Эп}\pm Gr\pm Grf$  и  $Kv+Xl+Pl+Cer(My)+\text{Эп}\pm Gr\pm Grf$ ), затем метапелиты (17,6 %, парагенезисы— $Kv+Pl(Ab)+Xl+Cer(My)\pm Bi\pm Gr\pm Grf$ ,  $Kv+Ab(Pl)+Xl\pm Bi\pm Gr\pm Grf$ ,  $Kv+Pl(Ab)+Xl\pm Kpsh\pm Bi\pm Cer(My)\pm Grf\pm Ctp$ ), амфиболовые сланцы и амфиболиты (10,2 %, минеральные парагенезисы представлены на рис. 1), метамагматиты кремнистых лав (4,0 %, парагенезис— $Cer(My)+Xl+\text{Эп}+Ab\pm Kpsh\pm Ka$ ) и графитовые кварциты (1,2 %).

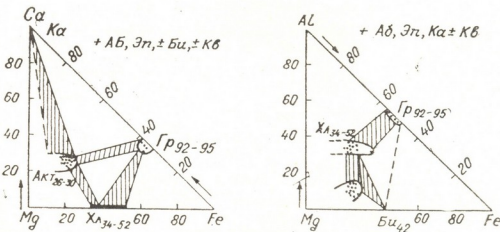


Рис. 1. Состав минералов и парагенезисы амфиболитов и амфиболовых сланцев Джентинского тектонического покрова

Ниже приводится характеристика пордообразующих минералов Джентинского покрова (проведено около 100 локальных измерений на электрозонде «Самевах-мікровер»). Гранат — широко распространенный минерал во всех разновидностях метапсаммитов и метапелитов, в богатых CaO породах встречается реже (рис. 2, таблица). Установлено, что гранаты метапелитов и метапсаммитов практически не отличаются друг от друга. Они представлены альмандином, обогащенным гроссуляровым миналом, и выявляют прогрессивный характер зональности: от центра порфироблата граната к его краю посто-



Железистость минералов и минальный состав гранатов и белых калиевых слюд из метаморфитов Джентинского тектонического покрова по данным электророндовых исследований

№ обр	Минерал, точка в минерале		Железистость, минальный состав
75-Т	Би	1	50
		6	93, Альм 64, Пи 5, Сп 6, Грос 25
		7	95, Альм 59, Пи 3, Сп 14, Грос 24
		8	95, Альм 54, Пи 3, Сп 17, Грос 26
	Хл	3	5!
		4	51
284—85	Гр	1	93, Альм 53, Пи 4, Сп 17, Грос 26
		2	96, Альм 50, Пи 2, Сп 17, Грос 31
		3	95, Альм 50, Пи 3, Сп 16, Грос 31
		4	95, Альм 52, Пи 3, Сп 5, Грос 30
	Би	5	50
		6	50
		7	50
239—85	Гр	1	96, Альм 57, Пи 3, Сп 10, Грос 30
		2	95, Альм 56, Пи 3, Сп 13, Грос 28
		3	95, Альм 57, Пи 3, Сп 12, Грос 28
		6	56
	Би	1	92, Альм 60, Пи 5, Сп 9, Грос 26
		2	93, Альм 62, Пи 4, Сп 9, Грос 25
		3	93, Альм 59, Пи 4, Сп 11, Грос 25
		4	94, Альм 57, Пи 4, Сп 12, Грос 27
66-Т	Гр	5	94, Альм 58, Пи 4, Сп 12, Грос 26
		7	5!
		8	54
		10	53
	Хл	11	50
		12	Пирофанит — 6,0
	Би	1	94, Альм 53, Пи 4, Сп 15, Грос 28
		2	94, Альм 53, Пи 3, Сп 16, Грос 28
		4	53
305—85	Гр	1	95, Альм 48, Пи 2, Сп 22, Грос 28
		2	95, Альм 50, Пи 3, Сп 19, Грос 28
		3	94, Альм 52, Пи 3, Сп 18, Грос 27
		5	92, Альм 63, Пи 5, Сп 22, Грос 10
	Хл	6	53
		1	47
		2	47
		4	53
79-Т	Хл	7	48
		1	Пирофанит — 8,1
		2	Пирофанит — 8,5
	Хл	1	52
		2	49
	Би		
		2	53
		3	55
200—85	Хл	4	5!
		5	52
		7	Ффен 67, Му 27, Пар 6
		8	Ффен 77, Му 18, Пар 4
	Сер	4	39
		7	38
		8	39
186—85	Хл		36
98-Т	Хл		35
			36
71-А	Хл		35
77-А	Хл		34

Минеральные ассоциации: 75-Т—Гр+Би+Хл+Му+Пл+Кв; 284—85, 239—85—Гр+Би+Хл+Пл+Кв; 66-Т—Гр+Би+Хл+Эп+Пл+Кв; 113-Т—Гр+Би+Пл+Хл+Эп+Ка+Грф+Кв; 305—85—Гр+Хл+Аб+Эп+Кв; 79-Т—Хл+Аб+Эп+Кв+Би+Гр±Му; 273—85—Хл+Аб+Кв+Би+Гр+Грф; 200—85—Хл+Му+Би+Аб+Кв+Грф; 258—85—Аб+Эп+Хл+Акт+(Por)+Би±Кв; 186—85—Аб+Эп+Хл+Акт+Por±Кв; 98-Т—Аб+Эп+Хл+Акт+(+Гер); 71-А—Аб+Эп+Хл+(Por)+Кб; 77-А—Аб+Эп+Хл+Акт+(Por)

В скобках неравновесные амфиболы.

Янно снижается содержание MnO (от 7 до 2%) и спессартинового компонента и возрастает содержание MgO (от 0,5 до 1,3%), FeO (от 21 до 29%), альмандинового и пиропового миналов. Значение железистости в большинстве случаев понижается от центра зерна граната к его краям, а содержание CaO и гроссулярового минала меняется разным образом, хотя более обычным является снижение его от центра кристалла к его периферии. Биотит широко представлен в метаморфитах Джентинского тектонического покрова. Железистость биотита в пределах 50—56%, глиоземистость — 0,38—0,43%, а содержание истонит-сицидерофиллитовой молекулы — 70—94%. Хлорит развит во всех разновидностях метаморфитов. Железистость хлорита в метапсаммитах и метапелитах — 46—53%, в метабазитах — 34—52%. По номенклатуре М. Хея [3], хлорит представлен ришидолитом и пикноХлоритом. Белая калиевая слюда — серицит либо мусковит, в большинстве случаев играет роль второстепенного минерала. Сери-

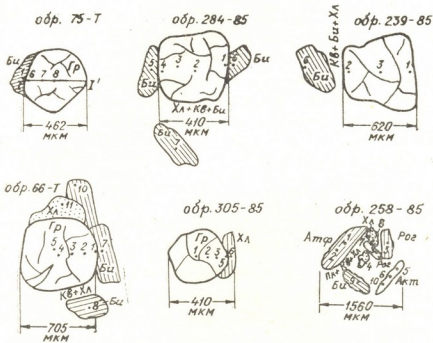


Рис. 2. Зарисовки участка шлифов метаморфитов Джентинского тектонического покрова

цит распространен значительно шире, чем мусковит. Выяснилось, что мусковит на контакте с хлоритом и биотитом высокофеингитовый (см. таблицу). Амфиболы, по классификации Б. Е. Лика [4], представлены магнезиальной, железистой и актинолитовой роговой обманкой (железистость — 37—51%, содержание  $Al_2O_3 > 7\%$ ), реликтами метамагматитов основного состава и актинолитом (железистость — 36—38%,  $Al_2O_3 < 4,8\%$ ) — продуктами регионального метаморфизма. Ильменит — характерный акцессорный минерал покрова. Обогащен



марганцем — содержит 2,75—3,64% MnO и 6,0—8,5% пирофанитового минала.

По гранат-биотитовому геотермометру [5] в зональных гранатах Джентинского покрова температура равновесия биотита в крае порфириоблата граната оценивается в интервале 445—507°C; в центре граната развит наиболее магнезиальный биотит основной ткани — 437—475°C. Судя по графитовому геотермометру [6], температура прогрессивного регионального метаморфизма в пределах 380—446°C. На основании данных геотермометров, минеральных парагенезисов, а также характера породообразующих минералов нам представляется, что подавляющая часть метаморфитов покрова представлена породами гранатовой субфации и лишь незначительная — породами высокой ступени биотитовой субфации. Прямых данных для установления типа метаморфизма по давлению не имеется. В породах не обнаружены минералы силиката глинозема. Однако широкое развитие высококальциевого граната в метапалласитах и метапелитах, нередкое его нахождение в метабазитах и высокая фенитность белых калиевых слюд, скорее всего, указывают на характер давления кианитового типа.

Грузинский политехнический институт,  
им. В. И. Ленина

Академия наук Грузинской ССР  
Геологический институт  
им. А. И. Джанелидзе

(Поступило 31.12.1987)

3000000000

ა. ვეგიანი, ბ. ფოჭორაძე, თ. ტუჭუნავა  
ახალი მონაცემები ჯენტუს ტექტონიკური ზერდის მიზანის შესაბამის  
შესახებ ჩრდილო კავკასიაში

რეზიუმე

ჯენტუს ტექტონიკური ზერდის მნიშვნელოვანი ნაწილი წარმოდგენილია პროგრესული რეგიონალური მეტამორფიზმის გრანატიანი ზონის შესაბამისი ჟანგბით. მეტამორფიზმის წნევის პირობები კიანიტური ტიპითაა შეფასებული.

PETROLOGY

D. M. SHENGELIA, N. G. POPORADZE, T. N. TSUTSUNAVA

## NEW DATA ABOUT METAMORPHITES OF THE JENTU TECTONIC NAPPE IN THE NORTHERN CAUCASUS

### Summary

A major part of the Jentu tectonic nappe is represented with progressive regional metamorphism garnet zone rocks. Pressure conditions of metamorphism are evaluated as an intermediate type of pressure.

### ЛITERATURA — REFERENCES

1. Г. И. Барапов, С. М. Кропачев. В кн.: «Геология Большого Кавказа». М., 1976.
2. Е. В. Ханин. Труды ГИН АН СССР, вып. 382. М., 1984.
3. М. Н. Mineral. Mag., 30, 1954.
4. В. Е. Leake. Mineral. Mag., 42, 1978.
5. Л. Л. Перчук, Н. В. Лаврентьев. В кн.: «Би-Кор равновесия и эволюция метаморфизма». М., 1983.
6. Д. М. Шенгелиа, Р. А. Ахвледiani, Д. Н. ქეცხოველი. ДАН СССР, 235, № 6, 1977.



ПЕТРОЛОГИЯ

А. В. ОКРОСЦВАРИДЗЕ

НОВЫЕ ДАННЫЕ ОБ АЦГАРСКОМ ТЕКТОНИЧЕСКОМ КЛИНЕ

(Представлено членом-корреспондентом Академии Г. М. Заридзе 23.3.1988)

В ущелье р. Ацгара (правый приток р. Кодори) в лейасовых отложениях, от востока перевала Аданге на расстоянии около 9 км, в виде узкой (250—300 м) полосы, простирающейся субпараллельно Главному надвигу, обнажаются кристаллические породы, которые в основном состоят из двуслюдяных гранитоидов, редко отмечаются мигматиты и кристаллические сланцы амфиболитовой фации.

Ранее эти гранитоиды упоминались как интрузив юрского возраста, однако в работе О. З. Дудаури, Д. Н. Кецховели, М. Г. Тогонидзе и Д. М. Шенгелиа [1] детально изучен этот выход кристаллических пород и на основе геологических фактов и абсолютной геохронологии убедительно доказан их палеозойский возраст. Эти исследователи считают, что названный выход представляет собой антиклинальное поднятие доюрского фундамента Большого Кавказа, осложненное взбросовыми нарушениями, и именуют его ацгарским тектоническим клином (АТК).

Работами последних лет установлено, что на Большом Кавказе с отдельными метаморфическими сериями связаны определенные гранитные ряды. В частности, с макерской серией связаны: двуслюдянные плагиограниты → двуслюдяные граниты — порфиробластовые граниты — аляскиты и пегматиты, а с буульгенской серией — диориты → кварцевые диориты — гранодиориты [2].

Мы изучали петрографические, минералогические, петрохимические и геохимические особенности гранитоидов Ацгарского тектонического клина. Выяснилось, что они резко отличаются от гранитоидов буульгенской серии и идентичны гранитоидам макерской серии. Породы ацгарского тектонического клина, в отличие от буульгенской серии, в основном сложены характерными для макерской серии двуслюдяными гранитоидами, изредка отмечаются мигматиты и кристаллические сланцы амфиболитовой фации. Весь комплекс пород повсеместно испытывает мощный катаклизм и милонитизацию. Среди гранитоидов выделяются связанные друг с другом постепенными переходами двуслюдяные плагиограниты, двуслюдяные граниты и микроклиновые порфиробластовые граниты общим составом: Пл, Мик, Кв, Му, Хл, Би, Эм, Сф, Цир, Р. М. Характерной особенностью этих гранитоидов является сильная хлоритизация биотита, которая фиксируется лишь мелкими остатками, что характерно и для гранитоидов макерской серии. В этих гранитоидах нигде не отмечается роговая обманка, являющаяся главным цветным минералом гранитоидов буульгенской серии.

Нами были изучены также микроклины рассматриваемых гранитоидов. Оказалось, что микроклины гранитоидов АТК и макерской серии однородные, а микроклины гранитоидов буульгенской серии отличаются от них. В первых содержание моноклинальной фазы в среднем 35%, во вторых — 20%, а содержание изоморфного натрия в среднем 22 и 5% соответственно.

Таким образом, по набору пород и минералогическим критериям гранитоиды АТК идентичны гранитоидам макерской серии и отличаются от гранитоидов буульгенской серии.

Аналогичный результат дают и петрохимические исследования (таблица). На диаграмме AFM (рис. 1) наглядно видно, что фигура-

Средний химический состав (вес. %) и AFM параметры гранитоидов АТК, буульгенской и макерской серий

№	n	SiO <sub>2</sub>	TiO <sub>2</sub>	Al <sub>2</sub> O <sub>3</sub>	Fe <sub>2</sub> O <sub>3</sub>	FeO	MgO	CaO	K <sub>2</sub> O	NaO	A	F	M
1	6	72,17	0,10	14,23	0,62	1,58	0,42	1,71	4,17	3,38	74,7	21,1	4,2
2	7	72,25	0,08	14,07	0,56	1,36	0,31	1,53	5,20	2,94	78,9	18,1	3,0
3	21	63,30	0,53	16,20	1,86	3,97	1,94	4,93	2,32	2,80	40,3	44,4	15,3
4	6	62,80	0,47	16,50	1,20	4,40	2,40	5,20	2,25	3,25	41,1	40,9	18,0
5	27	71,95	0,19	14,03	0,69	1,82	0,87	1,85	3,74	3,46	68,6	23,2	8,2
6	24	72,89	0,17	13,44	0,61	1,52	0,71	1,38	5,16	3,05	74,8	18,4	6,8

1,2—соответственно двуслюдяные и микроклиновые порфиробластовые граниты АТК, 3—кварцевые диориты и гранодиориты буульгенской серии из ущ. р. Агеса, 4—кварцевые диориты и гранодиориты буульгенской серии из Марухского перевала, 5,6—соответственно двуслюдяные и микроклиновые порфиробластовые граниты макерской серии.

тивные точки средних составов двуслюдяных и порфиробластовых гранитов Ацгарского тектонического клина и макерской серии попадают в одно поле, а фигуративные точки средних составов кварцевых диорито-гранодиоритов буульгенской серии создают другое поле. Следовательно, первые представляют собой типичные известково-щелочные образования, а вторые обогащены фемических элементами.

Отмеченное сходство и различия этих гранитоидов наблюдаются

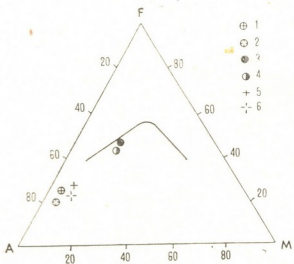


Рис. 1. Диаграмма AFM для палеозойских гранитоидов Ацгарского тектонического клина буульгенской и макерской серий ( $A=Na_2O+K_2O$ ;  $F=FeO+0,9Fe_2O_3$ ;  $M=MgO$ ; вес. %). Линии разделены толентовая (наверху) и известково-щелочная (внизу) серии [3]. 1,2—соответственно, двуслюдяные и порфиробластовые граниты ацгарского тектонического клина, 3—кварцевые диориты и гранодиориты буульгенской серии из ущ. р. Агеса, 4—кварцевые диориты и гранодиориты буульгенской серии из Марухского перевала, 5, 6—соответственно двуслюдяные и микроклиновые порфиробластовые граниты макерской серии

и по содержанию редких элементов. В гранитоидах буульгенской серии содержание ванадия составляет 250 г/т, а гранитоидов АТК и макерской серии — соответственно 31 и 39 г/т. Такие резкие отличия отмечаются и по содержанию кобальта, цинка и свинца.

Таким образом, доказывается, что гранитоиды АТК идентичны гранитоидам макерской серии и, вероятно, они образовались в ее пределах. Следует обратить внимание на сильное динамическое изменение гранитоидов АТК. Они сильно катализированы и милонитизированы

ны, местами рыхлые или превращены в пудру, что вызвано их текtonизацией.

Полученные факты указывают, что АТК является аналогом пород макерской серии, которая, как известно, выходит севернее буульгенской серии. Исходя из этого, с учетом аллохтонного расположения макерской серии на Главном хребте [4 и др.] представляется, что породы АТК являлись частью макерской серии, шарнированные с севера в эпоху герцинского шарнирования, а в лейасовых отложениях представлены тектоническим клином.

Следует отметить, что сторонники автохтонности макерской серии ссылаются на длительное (ранний карбон-поздний палеозой) и унаследованное развитие генетически связанныго с данной серией гранитоидного магматизма. В породах АТК имеется аналогичный макерской серии ряд гранитоидов. Если судить о предложенном нами шарнированном характере АТК, то получится, что после позднего наимора — башкирского века, т. е. после эпохи герцинского шарнирования [5], в макерской серии гранитный расплав не генерировался. Таким образом, единый цикл гранитообразования в макерской серии не является доказательством автохтонности макерской серии.

Академия наук Грузинской ССР

Геологический институт

им. А. И. Джанелидзе

(Поступило 25.3.1988)

ვათროლობა

ა. ოკროსვარიძე

ათალი მონაცემები აპგარის ტექტონიკური სოლის შისახებ

რეზიუმე

ათგარის ტექტონიკური სოლის გრანიტების დეტალურმა შესწავლამ გვიჩვენა, რომ ისინი განსხვავდებან ბულგენის სერიის გრანიტებისგან და ანალოგიური არიან მაჯერის სერიის. მიღებული ფაქტების საფუძველზე და მაკერის სერიის ალობტონურ ბუნებაზე დაყრდნობით ნავარაუდევია, რომ აცგარის ტექტონიკური სოლის ქანები ნაწილია მაჯერის სერიისა, რომელიც ჰერცინური შარირების ეპოქის დროს გადმოადგილდა სამხრეთით, ხოლო ლიასურ ნალექებში წარმოდგენილია ტექტონიკური სოლის სახით.

## PETROLOGY

A. V. OKROSTSVARIDZE

## NEW DATA ON THE ATSGARA TECTONIC WEDGE

### Summary

A detailed study of the Atsgara tectonic wedge granites has shown that they are different from granitoids of the Buulgen series and are analogous to those of the Makera series. On the basis of these as well as of other data it is assumed that rocks of the Atsgara tectonic wedge represent

a part of the Makera series; in the period of Hercynian mass overthrust they shifted southwards, whereas in Lias deposits they are represented by the tectonic wedge.

ლიტერატურა — REFERENCES

1. О. З. Дудаури, Д. Н. Кецховели, М. Г. Тогонидзе, Д. М. Шенгелиа. Сообщения АН ГССР, 71, № 1, 1973.
2. А. В. Окросциваридзе. Автореферат канд. дисс. Тбилиси, 1987.
3. T. N. Irvine, W. R. Wagstaff. Canad. J. Earth Sci., vol. 8, № 5, 1971.
4. Г. И. Баранов, И. И. Греков. Сб. «Проблемы геодинамики Кавказа». М., 1982.
5. М. Л. Сомин. Там же.

Б. Д. ТУТБЕРИДЗЕ

## СТРУКТУРНАЯ УПОРЯДОЧЕННОСТЬ Ca-Na ПОЛЕВЫХ ШПАТОВ В НЕКОТОРЫХ МОЛОДЫХ ВУЛКАНОГЕННЫХ ОБРАЗОВАНИЯХ ГРУЗИИ

(Представлено членом-корреспондентом Академии Н. И. Скиртладзе 23.5.1988)

Морфологический облик и структурное состояние плагиоклазов и других породообразующих минералов в последнее время часто используются в качестве индикаторов изменения физико-химических условий среды и места формирования вмещающих пород.

В настоящее время такие сведения о структурном состоянии Ca-Na полевых шпатов в молодых (неоген-четвертичных) вулканогенных образованиях Грузии отсутствуют. В связи с этим нами поставлена цель изучить структурную упорядоченность плагиоклазов в разных в петрографическом отношении вулканитов. Исходным материалом для решения этой задачи послужили плагиоклазы, отобранные из неоген-четвертичных вулканитов (андезиты, дациты, риолитодактилы) Южно-Грузинской вулканической области (ЮГВО), а также из вулканитов Большого Кавказа, в частности Кельского и Казбегского

Структурно-фазовый анализ плагиоклазов

№ п/п	№ образ- цов	Место взятия образцов	Тип породы	Содержа- ние An, %	$2\theta_{131-131}$	ИУ по Слем- монсу	$\Delta A1 =$ $= t_{10} - t_m$	$t_{10}$
1	422	ЮГВО	Дацит	23,2	1,69	62	0,39	0,60
2	566	" "	" "	33,0	1,92	18	0,18	0,48
3	858	" "	Анdezит	46,4	1,95	10	0,28	0,51
4	861	" "	" "	52,7	1,97	8	0,19	0,59
5	866	" "	" "	42,6	1,94	12	0,19	0,50
6	1066	" "	" "	24,8	1,84	32	0,23	0,49
7	1138	" "	Дацит	35,0	1,81	50	0,30	0,56
8	1124	" "	" "	24,0	1,96	5	0,17	0,44
9	1127	" "	" "	34,0	1,77	55	0,34	0,59
10	1184	" "	" "	39,0	1,79	58	0,34	0,60
11	1188	" "	" "	39,0	1,94	10	0,18	0,48
12	1218	" "	" "	44,5	1,88	30	0,26	0,56
13	1437	" "	Анdezит	47,6	1,93	15	0,22	0,53
14	1303	Кабардзина	Дацит	40,7	1,96	0	0,12	0,47
15	1319	" "	" "	48,0	1,92	20	0,22	0,53
16	1354	" "	" "	51,1	2,21	0	0,13	0,48
17	1358	Казбек	Анdezит	37,1	1,96	0	0,15	0,44
18	1379	" "	" "	32,0	1,83	40	0,27	0,53
19	1398	" "	" "	34,6	1,53	100	0,58	0,68
20	1403	" "	" "	34,4	1,91	23	0,19	0,48
21	1408	" "	Дацит	33,6	1,89	27	0,21	0,49
22	1413	" "	Анdezит	36,6	1,98	5	0,16	0,47
23	1636	Кельское плато	Дацит	41,8	1,89	22	0,22	0,53
24	1646	" "	Анdezит	52,0	1,94	20	0,21	0,53
25	1649	" "	Дацит	48,3	2,05	0	0,21	0,51
26	1652	" "	" "	40,3	1,93	20	0,21	0,48
27	1723	" "	Риоддацит	30,1	1,82	18	0,21	0,48

го районов. Однако геологический возраст плагиоклазсодержащих пород не учитывается.

С целью изучения степени структурной упорядоченности изучаемых плагиоклазов проведены рентгеноструктурные анализы (см. таблицу).

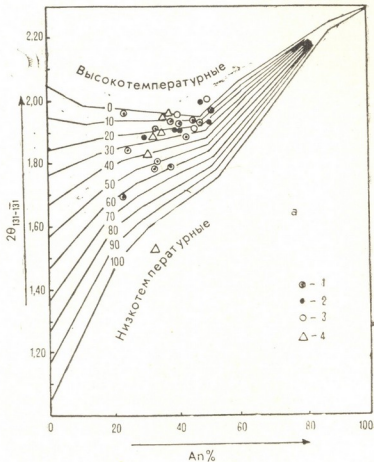
Для определения структурного состояния анализируемых плагиоклазов использовались диаграммы  $2\theta_{131-131}$  — состав (An) по Г. Бамбауеру и Д. Слеммонсу [1].

На диаграмме Д. Слеммонса (рис. 1, а) видно, что фигуративные точки плагиоклазов по отражениям  $2\theta_{131-131}$  занимают довольно широкое поле от низких до промежуточных по структурному состоянию плагиоклазов.

На диаграмме Слеммонса основная часть фигуративных точек изучаемых плагиоклазов группируется в области низкой степени упорядоченности ( $IU=0—35$ ); меньшая часть точек размещается в поле более высокой степени упорядоченности ( $IU=40—62$ ), хотя одна точка попадает под низкотемпературную кривую. Аналогичная картина вырисовывается и на диаграмме Бамбауера (рис. 1, б).

Общеизвестно, что одним из важнейших факторов, обуславливающих степень структурной упорядоченности минералов, является термальный режим. В качестве термометра был использован плагиоклазовый термометр по Маккензи [2]. По его диаграмме, изучаемые нами плагиоклазы с низкой степенью упорядоченности располагаются в области высоких температур — от 920 до 720°, плагиоклазы же с промежуточными структурной упорядоченностью — от 710 до 590°. Лишь один образец (г. Казбек) соответствует 540°.

Анализ полученных данных позволяет предположить, что плагиоклазы с низкой степенью упорядоченности ( $IU=0—35$ ) формируются на дневной поверхности при низком Р и быстром охлаждении. Плагиоклазы же с промежуточными, более упорядоченными структурами ( $IU=40—62$ ), видимо, образуются при сравнительно высоком Р и бо-



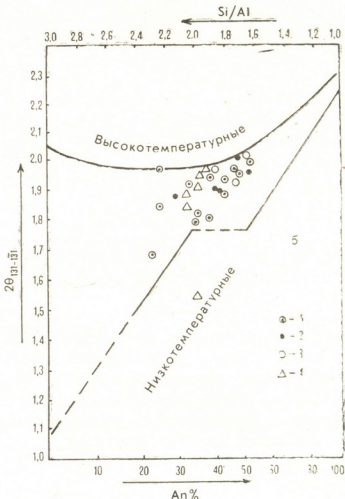


Рис. 1. Диаграмма для оценки структурной упорядоченности плагиоклазов по отражениям  $2\theta_{131\bar{1}-1\bar{3}}$  по Слеммонсу (а) и Бамбаусу (б).  
Плагиоклазы из: 1 — ЮГВО, 2 — Кельского плато, 3 — Кабардиины,  
4 — Казбекской группы вулканов

лее медленном охлаждении. Однако не исключено интрателлурическое происхождение таких плагиоклазов [3].

С учетом приведенных данных можно резюмировать, что по степени структурной упорядоченности и величине коэффициентов  $\Delta Al$  и  $t_0$  [4] изучаемые плагиоклазы из разных петрографических типов пород некоторых молодых вулканитов Грузии существенно не отличаются друг от друга.

Тбилисский государственный университет

(Поступило 27.5.1988)

МЕДИАЦИОННАЯ

### Б. ТУТШИРИДИ

საქართველოს ზოგიერთ ახალგაზრდა ცულკანურ ჯარმონაქმნებში  
Ca—Na მინდვრის შპატების სტრუქტურული მოწვევის განვითარების  
შესახებ

რეზიუმე

სტრუქტურული მოწვევის განვითარების ხარისხის განსაზღვრის მიზნით სა-  
ქართველოს ნეოგენ-მეოთხეული ასაკის ზოგიერთი საშუალო და მეავე შედ-  
გენილობის ვულკანიტების პლაგიოკლაზები გავააღინიშეთ სტრუქტურულ-

ფაზური თვალსაზრისით. მიღებული მონაცემების საფუძველზე გამოყოფილია პლაგიოკლაზების დაბალი და შუალედური სტრუქტურული მოწესრიგებულობის ხარისხის მქონე სახესხვაობები. ტემპერატურული რეემის მიახლოებითმა კანსაზღვრომ ვვიჩენა, რომ პირველი მათგან მაღალტემპერატურულია, ხოლო მეორე შედარებით დაბალტემპერატურული.

გამოთქმულია მოსაზრება შუალედური მოწესრიგებულობის ხარისხის მქონე პლაგიოკლაზების ინტრატელურული წარმოშობის შესახებ.

## MINERALOGY

B. D. TUTBERIDZE

### ON STRUCTURAL REGULARITY OF Ca-Na-BEARING FELDSPARS IN SOME OF THE YOUNG VOLCANIC FORMATIONS OF GEORGIA

#### Summary

Structural-phasial analysis on some of the plagioclases of Neogenic-Quaternary volcanites of Georgia has been carried out in order to determine the degree of structural regularity. Varieties with low and medium degree of structural regularity have been distinguished on the basis of the data obtained. Approximate determination of the temperature regime showed that the former is characterized by higher temperature, whereas the latter—by relatively lower one. It is suggested that plagioclases with medium degree of regularity may have the intratelluric origin.

#### ლიტერატურა — ЛИТЕРАТУРА — REFERENCES

1. D. B. Slemonson. Norsk. Geol. Tidsskr. 1962. vol. 54, N 1—2, p. 85—94.
2. W. S. Mackenzie. Amer. Journ. of Sci. vol. 255, Summer 1957, p. 481—516.
3. О. Н. Волынец. Плагиоклазы с промежуточной оптикой в кислых четвертичных лавах Камчатки и их генезис. В кн.: «Вулканизм и глубины Земли». М., 1971, 138—141.
4. И. В. Каменцев, Э. И. Блюмштейн. Рентгеновское определение состава упорядоченности плагиоклазов. В кн.: «Кристаллохимия и структура минералов». Л., 1974, 94—101.

СТРОИТЕЛЬНАЯ МЕХАНИКА

З. Б. БОЧОРИШВИЛИ, С. О. ХАЧАТРЯН

ВЛИЯНИЕ ПОВОРОТА ФУНДАМЕНТА НА ИНТЕНСИВНОСТЬ  
СЕЙСМИЧЕСКОГО ВОЗДЕЙСТВИЯ

(Представлено академиком Э. А. Сехниашвили 4.3.1988)

Рассмотрим влияние поворота фундамента на интенсивность проникающего из основания в конструкцию сейсмического воздействия в случае, когда учитывается конечная скорость передачи последнего от одного уровня здания к другому. Исходим из следующих упрощающих допущений:

а) суммарные напряжения от веса здания и от деформации поворота фундамента не вызывают растягивающих напряжений в основании;

б) волна, возникающая от поворота фундамента, и проникающая поперечная сейсмическая волна распространяются в конструкции с одинаковыми скоростями;

в) фундамент представляется как абсолютно жесткое тело с размерами подошвы  $a_\Phi + b_\Phi$ .

Определим дополнительные перемещения конструкции и грунта, вызванные поворотом фундамента. При перемещении фундамента на величину  $U_0(t)$  в месте соединения конструкции с фундаментом, когда последний не поворачивается, возникает момент  $M(t) = -6EIU_0(t)/z^2$ , где  $EI$  — жесткость элемента, находящегося между фундаментом и перекрытием первого этажа, а  $z$  — координата поперечного сечения элемента. Под фундаментом после его поворота возникает момент [1]

$$M_\theta = K_\theta \Theta = I_\Phi C_\theta \Theta,$$

где  $C_\theta = \frac{2E_{rp}}{b_\Phi}$  — коэффициент упругого неравномерного сжатия грунта;

$I_\Phi = \frac{a_\Phi b_\Phi^3}{12}$  — момент инерции подошвы фундамента;  $E_{rp}$  — модуль упругости грунта;  $\Theta$  — угол поворота фундамента, а  $K_\theta$  — момент, вызывающий поворот фундамента  $\Theta = 1$ .

Эти моменты отличаются на величину:

$$\Delta M(t) = -\frac{6EI}{z^2} U_0(t) + K_\theta \Theta(t). \quad (1)$$

С другой стороны, дополнительный изгибающий момент, вызванный поворотом фундамента, будет равен

$$\Delta M(t) = -\frac{4EI}{z} \Theta(t). \quad (2)$$

Из выражений (1) и (2) получаем

$$\Theta(t) = \frac{6EIU_0(t)}{z^2(4EI/z + K_\theta)} = \frac{3U_0(t)}{2z + \frac{z^2}{b} n}, \quad \text{где } n = \frac{E_{rp}I_\Phi}{EI}.$$

Аналогично, для дополнительной перерезывающей силы имеем  
23. „გოვითარების“, ტ. 133, № 2, 1989

$$\Delta Q(t) = \frac{6EI}{Z^2} \Theta(t). \quad (3)$$

Дополнительное перемещение конструкции на уровне  $z$  будет

$$\Delta U^k(z, t) = \Theta(t)z - \frac{\Delta M(t)z^2}{2EI} - \frac{\Delta Q(t)z^3}{6EI}. \quad (4)$$

Подставляя (2) и (3) в (4), получаем следующее выражение:

$$\Delta U^k(z, t) = 2\Theta(t)z - \frac{6U_0(t)}{2 + \frac{z}{b} n}. \quad (5)$$

Дополнительное перемещение грунта основания будет

$$\Delta U^{rp}(z, t) = \Theta(t)z(1 + 1/n) = \frac{3(1 + 1/n)U_0(t)}{2 + \frac{z}{b} n}. \quad (6)$$

Дополнительные касательные напряжения в конструкции и в грунте при  $y=0$  ( $y$  — горизонтальная ось координат) равны:

$$\Delta \tau^k(t) = \frac{\Delta Q(t)S}{Ib_k} = \frac{18ESU_0(t)}{z^2 \cdot \left(2z + \frac{z^2}{b} n\right) b_k},$$

$$\Delta \tau^{rp}(t) = \frac{\Delta Q(t)S_\Phi}{I_\Phi b} = \frac{18EIS_u U_0(t)}{z^2 I_\Phi b \left(2z + \frac{z^2}{b} n\right)},$$

$$\text{и} \quad \Delta \tau^k(t) = \frac{SI_\Phi b}{S_\Phi Ib_k} \Delta \tau^{rp}(t),$$

где  $b_k$  — ширина элемента, находящегося между фундаментом и первымкрытием первого этажа.

При прямоугольных сечениях вертикальных элементов с размерами  $a_k \times b_k$

$$\Delta \tau^k(t) = \frac{b^2}{b_k^2} \Delta \tau^{rp}(t). \quad (7)$$

Вышеприведенный процесс представим с точки зрения волновой механики. Рассмотрим процесс отражения и преломления волн смещения на границе раздела двух сред (с различными приведенными физико-механическими параметрами материалов).

Предположим, что поперечная волна падает на подошву фундамента снизу и составляет с осью  $Z$  угол  $\alpha_1$ , углы отражения и преломления волн соответственно равны  $\alpha_3 = \alpha_1$ ,  $\alpha_2 = 0$ , так как вертикальная конструкция является волноводом, а грунтовая среда — однородная. Пусть  $A_1$  — амплитуда прямой волны,  $A_2$  и  $A_4$  — соответственно, отраженной и преломленной волн сдвигса,  $A_3$  и  $A_5$  — дополнительных волн, возникающих, соответственно, в грунте и в конструкции. Касательные напряжения по сечениям вертикального элемента и на подошве фундамента, возникающие от поворота фундамента, представим как приведенную постоянную величину. Тогда с учетом (7), так как  $\tau = Ge$ , можно записать

$$G_k e_k = \frac{b_\Phi^2}{b_k^2} G_{rp} e_{rp}, \quad (8)$$

где  $G_k$ ,  $G_{rp}$  — модули сдвига материала конструкции и грунта. Перемещения  $U^n$  и  $V^n$ , соответствующие прямой волне, вдоль осей  $OZ$  и  $OY$  таковы:

$$U^n = A_1 e^{i(\omega t - f_1 z - g_1 y)} \cos \alpha_1; \quad V^n = A_1 e^{i(\omega t - f_1 z - g_1 y)} \sin \alpha_1,$$

где  $f_1 = c_1 \cos \alpha_1$ ;  $g_1 = G_1 \sin \alpha_1$ ;  $c_1 = \frac{\omega}{a_1}$ .

Через  $a_1, a_2$  обозначим соответственно скорость волн в грунте и в конструкции.

Для отраженных волн:

$$U^{opt} = e^{i(\omega t + f_1 z + g_1 y)} \cos \alpha_1 (A_2 + A_3); \quad V^{opt} = e^{i(\omega t + f_1 z + g_1 y)} \sin \alpha_1 (A_2 + A_3).$$

Для преломленных волн:

$$U^{np} = e^{i(\omega t + f_2 z)} (A_4 + A_5); \quad V^{np} = 0.$$

Этим перемещениям соответствуют деформации

$$e_{rp} = \frac{\partial (U^n + U^{opt})}{\partial z} + \frac{\partial (V^n + V^{opt})}{\partial y} = -ic_1 A_1 + i c_1 (A_2 + A_3), \quad (9)$$

$$e_k = \frac{\partial U^{np}}{\partial z} + \frac{\partial V^{np}}{\partial y} = -if_2 (A_4 + A_5).$$

Из (9), подставляя значения  $e_{rp}, e_k$  в (8), получаем

$$G_k f_2 (A_4 + A_5) = \frac{b_{\Phi}^2}{b_k^2} c_1 G_{rp} (A_1 - A_2 - A_3). \quad (10)$$

Условия неразрывности перемещений на границе вдоль сред представляются следующим образом:  $A_1 + A_2 + A_3 = A_4 + A_5$ . Обозначая  $R = \frac{A_2}{A_1}$ ;  $T = \frac{A_4}{A_1}$  и имея в виду, что  $A_3 = \Delta U_{rp}$  и  $A_5 = \Delta U_k$ , из последних выражений для  $T$  и  $R$  получаем

$$R = \frac{1 - \eta^{k, rp}}{1 + \eta^{k, rp}} - \frac{3(1 + 1/n)}{2 + \frac{l}{b} n}, \quad T = \frac{2}{1 + \eta^{k, rp}} - \frac{6}{2 + \frac{l}{b} n}, \quad (11)$$

где  $\eta^{k, rp} = \frac{G_k \frac{\omega}{a_2} b_k^2}{G_{rp} \frac{\omega}{a_1} b^2} = \frac{\rho_k a_2 b_k^2}{\rho_{rp} a_1 b^2}$ ;  $\rho_k$  и  $\rho_{rp}$  — приведенные плотности конструкции первого этажа и грунта основания;  $l$  — высота от уровня фундамента до перекрытия первого этажа. В таблице приведены результаты расчетов (в соответствии с [2]) отдельного квадратного фундамента под колонну для 16-этажного 64-квартирного дома по системе ИМС для различных грунтовых условий.

Значения нагрузок на ф-т:  $N_{\phi} = 2800$  кн,  $M_{\phi} = 35$  кн. м.

$\rho_k = 25$  кн/м<sup>3</sup>;  $\rho_1 = 18$  кн/м<sup>3</sup>;  $\rho_2 = 30$  кн/м<sup>3</sup>;  $\rho_3 = 31$  кн/м<sup>3</sup>.

Грунтовые условия	Размеры фундамента, м	Скорость поперечной сейсмической волны, м/с		Значения жесткостей, кн. м <sup>2</sup>		Коэффициент проникновения, T	Коэффициент отражения, R
		в конструкции	в грунте	EI	E <sub>rp</sub> I <sub>φ</sub>		
1. Супесь с $I_L = 0$ , коэф. $e = 0,45$	$3,3 \times 3,3$	1000	400	$64 \cdot 10^3$	$369,86 \cdot 10^3$	0,96	0,38
2. Скальное основание с $R_0 = 500$ кПа	$2,5 \times 2,5$	1000	2200	$64 \cdot 10^3$	$200,29 \cdot 10^3$	0,21	-0,22
3. Скальное основание с $R_0 = 600$ кПа	$2,3 \times 2,3$	1000	2250	$64 \cdot 10^3$	$146,64 \cdot 10^3$	0,02	-0,73

Следовательно, можно достичь минимума коэффициента проникновения выбором размеров фундамента, выбором геологических условий и т. д.

Академия наук Грузинской ССР  
 Институт строительной механики  
 и сейсмостойкости им. К. С. Завриева

(Поступило 11.3.1988)

საქართველოს მეცნიერებების  
 სამინისტროს მიერადის

ჭ. გომორივილი, ს. ხაჩატრიანი

საქართველოს მოგრუების გავლენა სისამარი ზომების გადახდის  
 ინტენსიურობაზე

რეზიუმე

საძირკვლის მობრუნება გავლენას ახდენს კონსტრუქციაში ფუძის გრუნტიდან შეღწეული სეისმური ზემოქმედების ინტენსივობაზე.

შეღწევადობის კოეფიციენტი შეიძლება დაყვანილ იქნეს მინიმუმიმდე გეოლოგიური პირობების, საძირკვლის გეომეტრიული ზომების და სხვ. შერჩევით.

## STRUCTURAL MECHANICS

Z. B. BOCHORISHVILI, S. O. KHACHATRYAN

### THE EFFECT OF THE FOUNDATION TURN ON THE INTENSITY OF SEISMIC ACTION

#### Summary

A turning of the foundation affects the intensity of seismic action penetrating into the construction from the bedding soil. Hence it is possible to minimize the coefficient of penetration by choosing appropriate geological conditions, dimensions of the foundation etc.

#### ლიტერატურა — REFERENCES

1. Сб. «Волновые процессы в конструкциях зданий при сейсмических воздействиях». М., 1987.
2. СНиП. 2.02.01-83 «Основания зданий и сооружений». М., 1985.

МЕТАЛЛУРГИЯ

З. А. МУШКУДИАНИ, М. В. МУМЛАДЗЕ, Д. Л. МАГЛАКЕЛИДЗЕ,  
Б. Г. МАРГИЕВ, А. Г. ГАБИСИАНИ, Т. А. ЧУБИНИДЗЕ

РАЗЛИВКА СТАЛИ В ИЗЛОЖНИЦЫ ПОД ЛЕГКОПЛАВКИМ  
ШЛАКОМ ПРОИЗВОДСТВА СИЛИКОМАРГАНЦА

(Представлено академиком Ф. Н. Тавадзе 9.7.1987)

Известно, что качество поверхности слитка можно улучшить при разливке металла под слоем шлакообразующих материалов [1, 2].

В настоящей работе даны результаты использования легкоплавкого шлака производства силикомарганца в условиях Руставского металлургического завода. Одновременно со шлаком были применены теплоизолирующие смеси различного состава: перлит с графитом (по 50% масс.), перлит с молотым штыбом (по 50% масс.) и молотые угли Ахалцихского месторождения. Цель исследования — изыскание возможности замены графита менее дефицитным материалом и улучшение качества поверхности слитка.

Оптимальный расход теплоизолирующей перлito-графитовой и штыбовой смеси для сифонной разливки спокойной марки трубной стали в слитки массой 8 т был установлен 1,5 кг на 1 т стали. Оптимальный расход молотого Ахалцихского угля был принят 2 кг/т стали, исходя из того что при использовании для утепления прибыльной части происходит интенсивное его горение. Для определения оптимального количества легкоплавкого шлака производства силикомарганца использовались расчетные формулы из работ [1, 3]. Было показано, что для слитка со шлаковым гарнисажем толщиной 1,0 мм оптимальное количество легкоплавкого шлака составляет 1,3 кг/т стали. Однако, учитывая то положение, что поверхностными дефектами характеризуется в основном донная часть слитка, количество шлака было принято 1,0 кг/т стали.

Для установления влияния разливки стали под легкоплавким шлаком производства силикомарганца на качество поверхности слитка и проката были проведены промышленные плавки с четырьмя вариантами разливки:

1. В шести изложницах I, III и V поддонов (по две изложницы с каждого поддона) перед началом разливки на дно укладывали бумажные мешки с гранулированным, заранее высушенным шлаком в количестве 8 кг, а затем при наполнении изложниц до 1/4 части присаживали теплоизолирующую смесь, состоящую из 50% масс. перлита и 50% масс. графита. Смесь в количестве 12 кг подавали в бумажных мешках.

2. В оставшихся шести изложницах I, III и V поддонов перед началом разливки на дно укладывали также шлак, а затем вместо перлito-графитовой смеси давали смесь перлита и штыба (по 50% масс.) также в количестве 12 кг.

3. В шести изложницах II, IV и VI поддонов на дно укладывали, так же как и в двух предыдущих случаях, шлак производства силикомарганца, а затем молотые угли Ахалцихского месторождения в количестве 16 кг.

4. В оставшихся шести изложницах шлак не присаживали и разливали сталь под перлito-графитовой смесью.

Выбранная методика исследования позволила на одном различном составе разлить три серии опытных слитков и сравнить их контрольными слитками.

При визуальном наблюдении за разливкой стали было замечено, что в вариантах с легкоплавким шлаком с момента появления в изложнице металла наблюдалось выделение чуть-чуть заметного белого дыма от расплавления шлака, который быстро расплывался и тонким слоем покрывал зеркало металла.

При присадке на зеркало металла перлито-графитовой и перлито-штыбовой смеси (варианты 1, 2, и 4) заметного визуального эффекта не было обнаружено. Однако при варианте 3, когда на поверхность присаживали смесь из молотого Ахалцихского угля, наблюдалось выделение пламени с густым черным дымом, что было обусловлено горением угля. Продолжительность этого процесса составила 3—4 мин с убыванием интенсивности и густоты дыма.

При выдержке металла в изложницах формирование прибыльной части слитка проходило по-разному в зависимости от варианта разливки.

Металл, отлитый под легкоплавким шлаком и перлито-графитовой смесью, находился в жидким состоянии в прибыльной части слитка 2,5 часа (вариант 1). Металл вариантов 2 и 4 сохранил жидкое состояние в прибыли, 2,3 часа. Металл, отлитый под смесью молотого ахалцихского угля, в прибыльной части находился в жидком состоянии всего 1,5 часа. Поверхность слитков, отлитых под шлаком силикомарганца, была гладкая, без видимых дефектов. Шлаковая ру-башка полностью оставалась на стенках изложницы и легко удалялась в процессе чистки изложницы.

При прокатке слитков на стане «1000» наибольшей головной обрезью (16% от массы слитка) характеризовались блюмы из слитков, отлитых под смесью молотого ахалцихского угля, а слитки остальных вариантов — примерно одинаковой головной обрезью (до 13%).

Качество блюмсов при их осмотре на адюстаже прокатного цеха в холодном состоянии приведены в таблице.

Качество блюмсов

Вариант разливки	Количество слитков, шт.	Количество осмотренных блюмсов, граней	Количество чистых граней шт./%	Количество гравийных, пораженных дефектами, шт./%	Перекат, шт.	Брак, шт./%
1	122	120/480	418/87,1	62/12,9	2	0
2	120	120/480	412/85,8	68/14,2	0	0
3	123	112/448	206/46,0	240/53,5	11	2/0,5
4	121	120/480	382/79,2	98/20,4	1	2/0,4

Из таблицы видно, что наименьшими поверхностными дефектами характеризуются блюмы от слитков, отлитых под шлаком и перлито-графитовой смесью. Слитки, отлитые под шлаком и смесью из молотого ахалцихского угля, характеризуются наихудшей поверхностью. 53,5% блюмсов от этих слитков поражены дефектами, требующими зачистки.

Исследованием макроструктуры поперечных темплетов установлено следующее. В головных темплетах вариантов 1, 2 и 4 разливки основными дефектами являются центральная пористость и точечная неоднородность, а головной темплет от блюмса варианта 3 характеризуется остатком усадочной раковины. В темплетах средней части раската во всех случаях наблюдается ликвационный квадрат, причем

в раскате слитка варианта 3 он выявлен более конкретно. Донная часть раската слитков характеризуется центральной пористостью и точечной неоднородностью 1—2 балла. Кроме этого, в донной части слитка варианта 3 отмечается светлая корочка.

Изучение микроструктуры металла раскатов слитков всех четырех вариантов показало, что структурными составляющими являются феррит и перлит, соотношение которых в головной, средней и донной частях раскатов блюмсов приблизительно одинаковое. Металл характеризуется наличием мелкого действительного зерна (8—9 баллов). По загрязненности сульфидами (по максимальному баллу) также нет разницы. Сульфиды наблюдаются в пределах 4—5 баллов. Наименьшим баллом по оксидным включениям характеризуются темплеты слитков вариантов 1 и 2, наибольшим — головная часть слитка варианта 4.

Результаты механических испытаний образцов металлов из темплетов на трех горизонтах блюмсов в поперечном направлении деформации говорят о вполне удовлетворительной сходимости с нормами ГОСТа 1050—60.

Исследование качества труб показало, что при разливке металла под легкоплавким шлаком и перлито-графитовой или перлито-штыбовой смесью выход труб I сорта на стане «400» увеличился на 0,16%, а на стане «140» — на 2,43% по сравнению с металлом, разлитым под перлито-графитовой смесью. Наблюдается заметное уменьшение наружных и внутренних плен на трубах, что уменьшает брак и II сорт.

Таким образом, разливка трубной стали марки Ст. 20 под легкоплавким шлаком производства силикомарганца обеспечивает получение слитков без поверхностных дефектов и с высоким выходом труб I сорта. При наличии легкоплавкого шлака перлито-графитовую смесь можно заменить перлито-штыбовой смесью, которая обеспечивает надежную теплоизоляцию зеркала металла в прибыльной части слитка.

Академия наук Грузинской ССР

Институт metallurgии  
им. 50-летия СССР

(Поступило 16.9.1987)

80 Грузинской

ქ. მუნიციპალიტეტი, გ. მუნიციპალიტეტი, ბ. მარგარიტა,  
ა. გაგისიანი, თ. ჩუბინიძე

უმცირეს ჩამოსხავ გოჯვებში ადგილდნადი სილიკონანგანუმის  
წარმომაზე ზიდუს გვევა

რეზოუმე

რუსთავის მეტალურგიული ქარხნის მარტენის სამქროში ფოლადის ად-  
ვილდნადი სილიკონანგანუმის წარმოების წილისა და პერლიტო-გრაფიტის ან  
პერლიტო-ტრიბის თბოსაიზოლაციის ნარევის ქვეშ ბოყვებში ჩამოსხმა უზ-  
რუნველყოფს ფოლადის სხმულების მიღებას ზედაპირული დეფაქტების გა-  
რეშე და 1 ხარისხის მიღების მაღალ გამოსავალს.

Z. A. MUSHKUDIANI, M. V. MUMLADZE, D. L. MAGLAKELIDZE,  
B. G. MARGIEV, A. G. GABISIANI, T. A. CHUBINIDZE

## STEEL POURING INTO A MOULD UNDER EASILY FUSIBLE SLAG OF SILICO-MANGANESE PRODUCTION

### Summary

Tube steel pouring under the easily fusible slag of silico-manganese production with a heat-insulating mixture of perlite-graphite makes it possible to get ingots without surface defects and a high yield of the top quality tubes at the Rustavi Metallurgical Works.

### ლიტერატურა — REFERENCES

1. С. П. Бакуменко, К. К. Прохоренко. Разливка стали под шлаком. М., 1969.
2. В. Ф. Богатенков, А. Г. Шуб, Н. Н. Кузьнина и др. Сталь, № 11, 1982. 27—28.
3. А. М. Лирман, Д. К. Бутаков, Г. М. Плогников и др. Сб. «Проблемы стального слитка», т. 5. М., 1974, 447—451.



МАШИНОВЕДЕНИЕ

Б. Л. АСАТИЛНИ

О ВЛИЯНИИ ХАРАКТЕРИСТИК АСИНХРОННОГО ПРИВОДА  
 ПРИ ОЦЕНКЕ КОЛЕБАТЕЛЬНЫХ НАПРЯЖЕНИЙ УПРУГОЙ  
 СИСТЕМЫ

(Представлено членом-корреспондентом Академии М. В. Хвингия 22.12.1987)

В современных вибрационных машинах (ВМ) широко используются асинхронные электродвигатели, в которых электродинамический процесс описывается нелинейным уравнением [1] — динамической характеристикой.

$$(1 + S_a^2/S_K^2) M_s + 2T_\Theta \dot{M}_s + T_\Theta^2 \ddot{M}_s - T_\Theta (1/S_a) \dot{S}_a M_s + T_\Theta^2 (1/S_a) \dot{S}_a \dot{M}_s = 2M_K S_a / S_K, \quad (1)$$

где  $T_\Theta = 1/(\omega_c S_K)$  — электромагнитная постоянная времени;  $S_K$  — критическое скольжение;  $S_a = (\omega_0 - \omega)/\omega_0$  — абсолютное скольжение;  $M_K$  — критический момент двигателя;  $M_s$  — момент, развиваемый двигателем;  $\omega_c$  — круговая частота сети;  $\omega_0$  — скорость идеального холостого хода;  $\omega = \omega(t)$  угловая скорость двигателя.

На практике обычно пользуются различными упрощенными характеристиками асинхронных двигателей [2], в том числе статической характеристикой, полученной из (1) при  $\dot{M}_s = 0$ ,  $\ddot{M}_s = 0$ :

$$M_s = 2M_K (S_a/S_K + S_K/S_a). \quad (2)$$

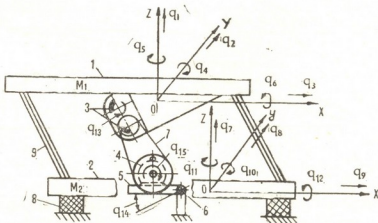


Рис. 1

Применение численных методов, при исследовании взаимодействия колеблющейся системы с двигателем, позволяет рассмотреть уравнение (1) без упрощений.

На рис. 1 представлена схема двухмассной дебалансной ВМ, совершающей пространственные колебания, которые описываются си-

стемой 15 Лагранжевых дифференциальных уравнений второго рода: в матричной записи имеем:

$$\begin{aligned} & \begin{bmatrix} M_{11} & M_{12} & \cdots & M_{115} \\ M_{21} & M_{22} & \cdots & M_{215} \\ \vdots & \vdots & \ddots & \vdots \\ M_{151} & M_{152} & \cdots & M_{1515} \end{bmatrix} \begin{bmatrix} \ddot{q}_1 \\ \ddot{q}_2 \\ \vdots \\ \ddot{q}_{15} \end{bmatrix} + \begin{bmatrix} C_{11} & C_{12} & \cdots & C_{115} \\ C_{21} & C_{22} & \cdots & C_{215} \\ \vdots & \vdots & \ddots & \vdots \\ C_{151} & C_{152} & \cdots & C_{1515} \end{bmatrix} \begin{bmatrix} \dot{q}_1 \\ \dot{q}_2 \\ \vdots \\ \dot{q}_{15} \end{bmatrix} + \\ & + \begin{bmatrix} K_{11} & K_{12} & \cdots & K_{115} \\ K_{21} & K_{22} & \cdots & K_{215} \\ \vdots & \vdots & \ddots & \vdots \\ K_{151} & K_{152} & \cdots & K_{1515} \end{bmatrix} \begin{bmatrix} q_1 \\ q_2 \\ \vdots \\ q_{15} \end{bmatrix} = \begin{bmatrix} P_1(t) \\ P_2(t) \\ \vdots \\ P_{15}(t) \end{bmatrix}. \quad (3) \end{aligned}$$

В этих уравнениях обобщенные координаты  $q_1, \dots, q_{15}$  соответствуют линейно-поворотным смещениям активной 1 и реакционной 2 масс (рис. 1);  $q_{13}, q_{15}$  — угловым поворотам осей дебалансов 3 и двигателя 4;  $q_{14}$  — движению двигательной подвески 5 вокруг оси 6 для самонатяжения ветвей гибкой связи 7;  $M_{ij}$  — массы и моменты инерции движущихся твердых тел;  $K_{ij}$  — жесткости упругих элементов (8 амортизаторов и 9 рессор);  $C_{ij}$  — коэффициенты сопротивления;  $P_i$  — вынуждающие силы, при этом  $P_{15}=M_0$ ;  $i, j=1, 2, \dots, 15$ .

Для учета изменения момента двигателя система (3) была решена совместно с уравнением (1). В данном случае, в процессе численного интегрирования уравнений, дополнительно определяется  $M_0$ ,  $\dot{M}_0$ ,  $\ddot{M}_0$ ; при этом решение отражает взаимное влияние изменения координат колебательной системы и величины момента двигателя.

Расчеты были проведены для следующих входных параметров ВМ: активная и реактивная массы —  $M_1=600$  кг,  $M_2=150$  кг; момен-

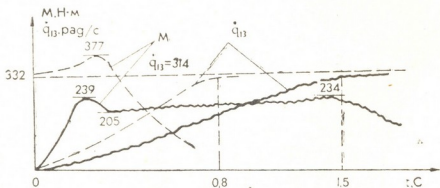


Рис. 2

ты инерции масс —  $J_x=32,5$  кг·м,  $J_y=107,1$  кг·м,  $J_z=116,7$  кг·м,  $J_x=-20,1$  кг·м,  $J_y=71,1$  кг·м,  $J_z=89,2$  кг·м; масса и радиус инерции дебалансов  $m=3$  кг,  $r=0,04$  м; передаточное отношение от оси двигателя к ротору вибратора — 1/2. Характеристики рессор: материал — 60С2 (сталь кремнистая); площадь сечения —  $0,1 \times 0,013$  м·м; длина — 0,6 м; количество 8 шт. Источник энергии — асинхронный электродвигатель АОС2-61-4 [3].

Для сравнения система (3) была решена также с использованием выражения (2); при этом неизвестными, подлежащими определению, являются только обобщенные координаты и их производные.

На рис. 2 представлены вычисленные зависимости момента двигателя и угловой скорости ротора вибратора от времени; на рис. 3 — перемещение активной массы в горизонтальном направлении. Результаты получены численным интегрированием на ЭЦВМ ЕС 10—45, сплошные линии соответствуют динамической характеристике (1), пунктирные — статической (2).

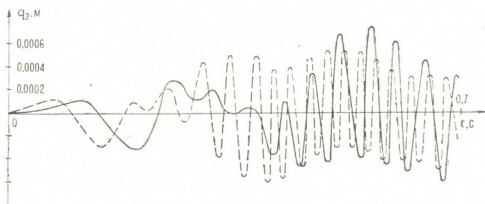


Рис. 3

Как видно из рис. 2, в результате обратного воздействия колебательной системы на источник энергии, динамическая характеристика дает иную форму изменения  $M_a$ , увеличивая при этом время разгона, что в большей мере соответствует реальным переходным процессам [1].

ВМ работает в зарезонансном режиме и медленный проход резонансных зон повышает пиковые значения амплитуд колебаний (рис. 3). Изменение динамических величин отражается на прочностных характеристиках ВМ. Рассчитанные по известным формулам [4] пиковые значения переменных напряжений в рессорах, при использовании динамической характеристики (1), несколько больше, чем при расчетах со статической (2) характеристикой (см. таблицу).

Вид характеристики	Нормальное напряжение, $\text{н/м}^2$	Касательное напряжение, $\text{н/м}^2$
Статическая, уравнение (2)	$1,6 \cdot 10^7$	$2,1 \cdot 10^6$
Динамическая, уравнение (1)	$2,1 \cdot 10^7$	$2,4 \cdot 10^6$

На основе полученных данных можно заключить, что использование различных характеристик асинхронного привода при моделировании колебательных процессов ВМ, приводит к различным результатам; предпочтительно применение динамической характеристики (1), учет которой дает возможность правильно оценить переходной режим в вибромашине и использовать более совершенную математическую модель при имитации на ЭВМ.

Академия наук Грузинской ССР  
Институт механики машин

(Поступило 7.1.1988)

## გ. ასათიანი

ასინქრონული აგძრავის მახასიათებალთა გავლენის შინახებ  
დროიდან სისტემის რჩვითი ძაბვების შეფასებისას

## რეზიუმე

ეგმ-ზე ციფრული ექსპერიმენტის საშუალებით ნაჩვენებია ასინქრონული ელექტრომძრავის დინამიკური და სტატიკური მახასიათებლების გავლენა და-ბალანსური ვიბრაციული მანქანის დინამიკური პარამეტრების შეფასებაზე.

MACHINE BUILDING SCIENCE

B. L. ASATIANI

**ON THE INFLUENCE OF ASYNCHRONOUS DRIVE  
CHARACTERISTICS DURING THE ESTIMATION OF  
OSCILLATION STRESS OF THE ELASTIC SYSTEM**

## Summary

The influence\* of static and dynamic characteristics of asynchronous electric drive on the estimation of the dynamic parameters of debalance vibration machines is shown with the aid of digital experiment on the computer.

## ლიტერატურა — REFERENCES

1. М. Г. Чиликин, В. И. Ключев, А. С. Сандлер. Теория автоматизированного электропривода. М., 1979.
2. В. Л. Вейц, М. З. Коловский, А. Е. Коцуря. Динамика управляемых машинных агрегатов. М., 1984.
3. Сб. «Обмоточные данные асинхронных двигателей». М., 1971.
4. В. И. Федосьев. Сопротивление материалов. М., 1979.

ГИДРОТЕХНИКА

Л. Д. ГОГЕЛИАНИ

О МАССОПЕРЕНОСЕ ТРЕХМЕРНЫМИ ВОЛНАМИ,  
РАСПРОСТРАНЯЮЩИМИСЯ ПО ПОВЕРХНОСТИ РАЗДЕЛА,  
ДВУХ РАЗНОПЛОТНОСТНЫХ ПОТОКОВ

(Представлено членом-корреспондентом Академии Г. Г. Сванидзе 1.2.1988)

В публикации автора [1] были получены расчетные соотношения для расхода стокового течения, индуцированного плоскими волнами, распространяющимися по поверхности раздела двух разноплотностных потоков.

В настоящей статье дается обобщение полученных в [1] расчетных соотношений для случая трехмерных волн, которые встречаются в различных прикладных задачах наиболее часто.

Для вывода соотношений массообмена используется тот же подход что и в [1].

Рассматривая распространение трехмерных волн на поверхности двух разноплотностных потоков, имеющих плотности  $\rho^*$  и  $\rho$  и соответственно скорости стационарного невозмущенного движения  $U^*$  и  $U$  (звездочкой помечены характеристики верхнего потока), имеем для продольных  $x$ -овых компонент скоростей волнового движения следующее выражение [2]:

$$U^* = -\frac{k_x}{k} \frac{\alpha(\sigma - k_x U^*)}{\sinh kh^*} \operatorname{ch} kh(h^* - z) \cos(\sigma t - k_x x) \cosh k_y y + U^*, \quad (1)$$

$$U = \frac{\bar{k}_x}{k} \frac{\alpha(\sigma - k_x U)}{\sinh kh} \operatorname{ch} kh(h + z) \cos(\sigma t - k_x x) \cosh k_y y + U, \quad (2)$$

в которой  $k^2 = k_x^2 + k_y^2$  модуль волнового вектора  $\left( k_x = \frac{2\pi}{\lambda_x}, \quad k_y = \frac{2\pi}{\lambda_y} \right)$ , причем  $\lambda_x$  — длина волн, а  $\lambda_y$  — длина гребня волн, т. е. длина волны в направлении оси  $y$  нормальной оси  $x$  и расположенной в горизонтально плоскости  $xy$ , совпадающей с невозмущенной поверхностью раздела потоков). Положительное направление оси  $z$  вертикально вверх.

Далее,  $h^*$  и  $h$  — соответственно толщины верхнего и нижнего потоков и  $\sigma$  — частота волн, распространяющихся вдоль оси  $x$  с фазовой скоростью  $c$ , так что  $\sigma = ck_x$ .

Полная ширина потоков равна  $B$ . Ось  $x$  совпадает с осью симметрии ширины потока так, что справа от оси поток ограничен вертикальной стенкой, которая расположена от оси  $x$  на расстоянии  $y_+ = b_+ = B_+/2$ , а слева на расстоянии  $y_- = -b = -B_-/2$ .

Таким образом, потоки имеют ограниченную конечную ширину  $B$  и стационарный режим распространения волн имеет место лишь для таких волн, длины гребней которых удовлетворяют условию (2).

$$\lambda_y = B/m,$$

где  $m$  — целое положительное число ( $m=1, 2, 3\dots$ )

Толщина нижнего потока ограничена величиной —  $h$ , верхнего — величиной  $+h^*$  и, таким образом, движение двух разноплотностных потоков происходит в волноводе шириной  $B$  и высотой  $h^*+h$ .

Для получения расхода массопереноса необходимо проинтегрировать выражения (1) и (2) вначале по высоте, а затем по ширине и наконец усреднить по периоду волнового движения.

Эта процедура, например, для нижнего слоя приводит к следующему выражению для величины потока массы:

$$Q_p = \frac{\rho}{\tau} \int_0^{\tau} \int_{-B/2}^{+B/2} \int_{-h}^G \left[ U + a \frac{k_x}{k} (\sigma - k_x U) \frac{\operatorname{ch} k(h+z)}{\operatorname{sh} kh} \times \right. \\ \left. \times \cos(\sigma t - k_x x) \cos k_y y \right] dz dy dt, \quad (3)$$

причем ордината волнового движения на поверхности раздела дается выражением

$$G = a \cos(\sigma t - k_x x) \cos k_y y. \quad (4)$$

Выполнение процедуры интегрирования по  $\tau$  дает

$$Q_p = \frac{\rho}{\tau} \int_0^{\tau} \int_{-B/2}^{+B/2} \left[ U(h+G) + a \frac{k_x}{k^2} (\sigma - k_x U) \times \right. \\ \left. \times \frac{\operatorname{sh} k(h+z)}{\operatorname{sh} kh} \left| \cos \beta \cos k_y y \right. \right] dy dt, \quad (5)$$

где  $\beta = \sigma t - k_x x$ .

Учитывая, что  $\operatorname{sh} k(h+z)=0$ , а также, что  $ak \ll 1$ , имеем

$$\operatorname{sh} k(h+z) \Big|_{-h}^G = \operatorname{sh} k(h-G) = \operatorname{sh} kh + kG \operatorname{ch} kh, \quad (6)$$

в котором учтены лишь первые два слагаемых в разложении  $\operatorname{sh} kh$  и  $\operatorname{ch} kh$  в степенные ряды.

Подстановка (6) в (5) и изъятие оставшихся интегралов приводит к следующему выражению для величины массового расхода:

$$Q_p = \rho U h B + \frac{a^2}{4} \frac{k_x^2}{k} \beta B (c-U) \operatorname{cth} kh, \quad (7)$$

где  $c$  определяется соотношением

$$c = \frac{\rho^a U + \rho^* \alpha^* U^*}{\rho^a + \rho^* \alpha^*} \pm \sqrt{\frac{(\rho - \rho^*) g k}{(\rho^a + \rho^* \alpha^*) k_x^2} - \rho \rho^* \alpha \alpha^* \left( \frac{U - U^*}{\rho_a + \rho^* \alpha^*} \right)^2}. \quad (8)$$

Аналогичным образом для верхнего слоя получается выражение для массопереноса

$$Q_p^k = \rho^* U^* h^* B + \frac{a^2}{4} \frac{k_x^2}{k} \rho^* B (c - U^*) \operatorname{ctgh} kh^*. \quad (9)$$

Соотношения (7) и (9) позволяют выполнить количественные расчеты конвективного массопереноса стоковым переносным движением при наличии на поверхности раздела трехмерных — пространственных волновых возмущений.

При  $k_y \rightarrow 0$ , что соответствует плоским двумерным волнам,  $k_x \rightarrow k$  и соотношения (7) и (9) переходят в выражение, правомерное для плоских волн.

Для пространственных волн, имеющих ячеистую структуру при  $\lambda_x \approx \lambda_y$  (шахматное расположение волн), которые наиболее часто имеют место вдали от преград, волновая составляющая массопереноса выражается соотношением

$$\tilde{Q} = \rho \frac{a^2}{4\sqrt{2}} \frac{B}{\lambda_x} (c - U) \operatorname{ctgh} \left( \frac{2\pi}{\lambda_x} \sqrt{2} h \right) \quad (10)$$

и, таким образом, массоперенос при пространственных волнах оказывается примерно на 40% меньше, чем в случае плоских волн.

Полученные соотношения могут найти практическое применение в гидрологических задачах, а также в метеорологии, для расчета массопереноса пассивной примеси, например, растворенной соли в области галоклина устьев рек, или температурной в области термоклина и для расчета массопереноса аэрозолей воздушными потоками.

В задачах, связанных с прогнозированием изменения массы переносимой примеси в локальных объемах водных объектов при гидротехническом строительстве, например, водозаборных сооружений питьевого назначения, соотношениями (7) и (9) определяются величины поступающих расходов  $Q_p^*$  и  $Q_p$  в локальные объемы  $W^*$  верхнего и  $W$  нижнего слоев, так как процесс изменения массы в локальном объеме спределяется уравнением

$$\frac{d(\bar{\rho} W)}{dt} = Q_p - Q'_p - Q''_p, \quad (11)$$

где  $Q'_p$  — расход водозабора;  $\bar{\rho}$  — усредненная по объему  $W$  плотность,  $Q''_p$  — расход вытекающий за границы локального объема.

Грузинский политехнический институт  
им. В. И. Ленина

(Поступило 4.2.1988)

ЗДРАВОЧЕСТВО

ლ. ღოღლიანი

ორი სხვადასხვა სიმპოზიუმის მონეტ ნაკადის გამუოფ ზედაპირზე ბრტყელი  
სამართლომისამართის ტალღების მიერ მასის გადატანის შინახება

რეზოულებე

ორი სხვადასხვა სიმპოზიუმის მფონე ნაკადის გამუოფ ზედაპირზე ბრტყელი  
ტალღებით ინდუცირებული სტოქსის დინების ხარჯის საანგარიშო ფორმულის



საფუძველზე შესწავლილია გამყოფ ზედაპირზე სამგანზომილებიანი გადატანის მოცუანა.

მიღებულია საანგარიშო დამოკიდებულებები, რომლებიც საშუალებას იძლევან შესრულდეს სტრესის დინების მიერ მასის კონვექციური გადატანის რაოდენობრივი ანგარიში გამყოფ ზედაპირზე სამგანზომილებიანი-სივრცული ტალღების არსებობის შემთხვევაში.

მიღებული საანგარიშო ფორმულებით შეიძლება ამოხსნილ იქნეს პრაქტიკული ოკლასზრისით ფრიად საინტერესო საინჟინრო ამოცანები.

## HYDRAULIC ENGINEERING

L. D. GOGELIANI

### ON MASS TRANSFER BY THREE-DIMENSIONAL WAVES SPREADING AT THE INTERFACE OF TWO FLOWS OF DIFFERENT DENSITY

#### Summary

The problem of mass transfer by three-dimensional waves at the interface of two flows of different density has been studied based on the design formula for the discharge of stokes flow induced by plane waves flowing on the interface of two different currents.

Dependences have been obtained which allow for quantitative assessment of convective mass transfer by stokes flow at the interface in case of three-dimensional space waves. The derived formulae enable to solve a number of engineering problems of practical importance.

#### ლიტერატურა — ЛИТЕРАТУРА — REFERENCES

1. Л. Д. Гогелиани. Сообщения АН ГССР, 129, № 3, 1988.
2. Т. Г. Войнич-Сяноженцкий, Э. Б. Хатиашвили. Труды координационных совещаний по гидротехнике, вып. 92, Л., 1974.



ТЕПЛОТЕХНИКА

В. А. ДЖАМАРДЖАШВИЛИ

**УСОВЕРШЕНСТВОВАННЫЙ МЕТОД ИНТЕНСИФИКАЦИИ  
ТЕПЛООТДАЧИ И ЕГО ЭКСПЕРИМЕНТАЛЬНОЕ ОБОСНОВАНИЕ**

(Представлено академиком В. И. Гомелаури 11.5.1988)

Среди методов воздействия на турбулентный поток, с целью интенсификации теплоотдачи, особое место по своей эффективности занимает метод, предусматривающий создание на поверхности теплообмена искусственной шероховатости в виде двухразмерных равновысотных выступов [1, 2]. Степень повышения интенсивности теплоотдачи методом искусственной шероховатости при оптимальном относительном шаге выступов составляет примерно  $Nu_{ш}/Nu_{пл} = 2,5 - 3$  [2, 3].

Методу искусственной шероховатости посвящено большое количество работ [1—5]. Результаты исследований [2, 3] дали основание их авторам считать, что на определенном расстоянии от каждого выступа, на поверхности нагрева вновь образуется ламинарный подслой, что приводит к снижению локальной, поэтому и средней теплоотдачи в целом.

Можно предположить, что дополнительное возмущение вновь образующегося ламинарного подслоя, или же создание условий, предотвращающих его возникновение, могут явиться факторами, обеспечивающими дальнейшее повышение степени интенсификации теплоотдачи.

Разрушения ламинарного подслоя, вновь образующегося за каждым равновысотным выступом, можно добиться разными путями. Например, дополнительными микровыступами, или же дополнительными двухразмерными углублениями, с помощью лунок... Однако каждый из этих способов требует экспериментального обоснования.

В данной работе экспериментально была исследована теплоотдача поверхности, на которой между каждой парой равновысотных, ос-

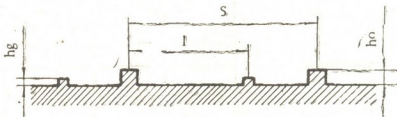


Рис. 1. Поверхность с искусственными двухразмерными неравновысотными выступами

новых выступов был расположен один дополнительный микровыступ. Высота микровыступа  $h_g$  была меньше высоты основных выступов  $h_0$ . Эти микровыступы располагались в зоне начала снижения интенсивности воздействия срывающихся с основного элемента шероховатости вихрей на ламинарный подслой. Согласно опытным данным, приведенным в работе [3], указанная зона удалена от основного элемента шероховатости на расстоянии  $(5 - 6) \cdot h_0$  в направлении движения потока.

Исследование проводилось на установке, описанной в работе [6]. Методика проведения опытов и обработки опытных данных была аналогична методике, примененной в указанной работе.

Рабочий участок представлял собой кольцевой канал с внутренней теплоотдающей трубкой. Шероховатость создавалась путем на-

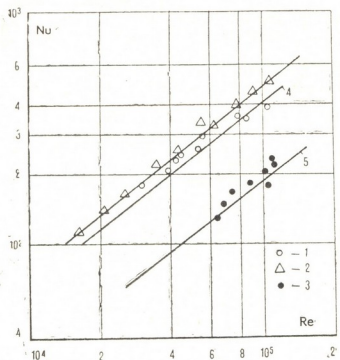
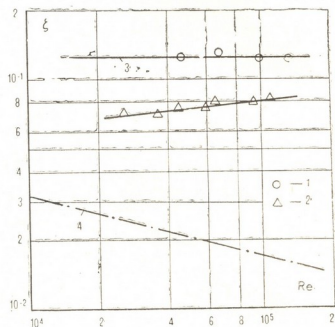


Рис. 2. Результаты опытов по теплоотдаче: 1 — поверхность с равновысотными двухразмерными выступами, 2 — поверхность с дополнительными двухразмерными микровыступами, 3 — гладкая поверхность, 4 — по формуле [3], 5 — по формуле [7]

мотки на трубку медной или стальной проволоки. Высота основных элементов шероховатости  $h_0$  была равна 0,5 мм при оптимальном, согласно [2], относительном шаге  $(s/h_0)_{\text{опт}} = 12$ , где  $s$  — расстояние между основными элементами шероховатости. Высота дополнительных микровыступов  $h_g = 0,075$  мм. Относительное расстояние

Рис. 3. Результаты опытов по гидравлическому сопротивлению: 1 — поверхность с равновысотными выступами, 2 — поверхность с дополнительными микровыступами, 3 — по формуле [3], 4 — по формуле Блазиуса

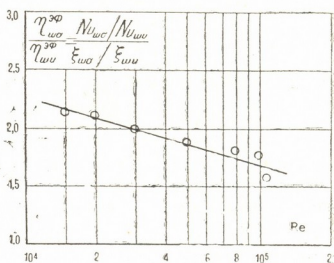


между каждым микровыступом и предыдущим основным элементом шероховатости составлял  $l/h_g = 40$  при  $l/h_0 = 6$  (см. рис. 1). В качестве экспериментальных поверхностей использовались тонкостенные трубы из нержавеющей стали.

Результаты опытов по теплоотдаче (воздух в качестве теплоносителя) представлены на рис. 2 в форме зависимостей  $Nu=f(Re)$ . Согласно указанным опытным данным поверхность с дополнительными микровыступами характеризуется более высокой степенью интенсивности теплоотдачи, чем поверхность с равновысотными выступами, правда, это превышение для реализованных в экспериментах значений  $s/h_0$ ,  $l/h_0$  и  $h_g/h_0$  не велико и составляет  $\sim 12\%$ . Здесь же приведены данные контрольных опытов по теплоотдаче гладкой поверхности.

Очевидно, что введение дополнительного микровыступа, способствуя разрушению вновь образующегося вязкого подслоя, обеспечивает соответствующее дополнительное повышение коэффициента теплоотдачи.

Рис. 4. Сопоставление опытных данных по величине коэффициента эффективности теплообменной поверхности



На рис. 3 представлены данные определения коэффициента гидравлического сопротивления. Оказалось, что поверхность с промежуточными микровыступами характеризуется существенно меньшими величинами  $\xi$  по сравнению с поверхностью без промежуточных микровыступов. Снижение  $\xi$  можно объяснить тем, что промежуточные элементы шероховатости способствуют уменьшению выхода в ядро потока вихрей, срывающихся с основных элементов шероховатости.

На рис. 4 представлены результаты сравнения поверхностей по величине коэффициента эффективности теплообменной поверхности  $\eta^{\phi}$  [8]. Согласно рис. 4 в исследованном диапазоне чисел  $Re$ ,  $\eta^{\phi}$  для шероховатой поверхности с промежуточными микровыступами ( $\eta_{ws}^{\phi}$ ) 1,7–2,2 раза превышает  $\eta^{\phi}$  для шероховатой поверхности без промежуточных микровыступов ( $\eta_{ww}^{\phi}$ ).

В заключение следует отметить, что в дальнейшем необходимо определить оптимальные значения  $l/h_0$  и выявить характер функциональной зависимости этого параметра как от гидродинамических характеристик потока теплоносителя, так и от параметров  $h_g/h_0$ ,  $s/h_0$ .

## 3. ჯავარჯაშვილი

თბოგაციმის ინტენსივიკაციის გაუმჯობესებული მეთოდი და  
მის მასშტაბური დასაგთხება

## რეზიუმე

ოპტიმალური გეომეტრიის მქონე ორგანზომილებიანი ხელოვნური ხაო-  
ინობის [2,3] ყოველი წყვილის ტოლსიმაღლიანი ხაოიანობის ელემენტებს  
შორის ნაკლები სიმატებითი მიკროხაოიანობის ელემენტის განლა-  
გება განაპირობებს თბოგამცემი ზედაპირს ეფექტურობის კოეფიციენტის მნი-  
შვნელობის არსებით ზრდას 1,7—2,2-ჯერ.

## HEAT ENGINEERING

V. A. JAMARJASHVILI

CONNECTIVE HEAT EXCHANGE INTENSIFICATION METHOD  
AND ITS EXPERIMENTAL BASIS

## Summary

A significant (1,7—2,2 times) growth of heat-exchange surface efficiency is due to the accommodation of an additional two-dimensional microlug between each pair of two-dimensional lugs of the same altitude.

## ლიტერატურა — REFERENCES

- W. Nunner. Wärmeübergang und Druckabfall in Außen Rohren. VDI—Forschungsheft 455, 1956.
- В. И. Гомелаури. Труды Ин-та физики АН ГССР, № 9, 1963, 110—145.
- В. И. Гомелаури, Р. Д. Канделаки, М. Е. Кипшидзе. Вопросы кон-  
вективного теплообмена и чистоты водяного пара. Тбилиси, 1970.
- В. М. Бузник. Теплопередача в судовых энергетических установках. Л., 1967.
- Э. К. Калинин, Т. А. Дрейцер, С. Я. Ярхо. Интенсификация теплообмена в каналах. М., 1972.
- В. И. Гомелаури, А. И. Микашавидзе, В. А. Джамарджашвили,  
Т. Ш. Маграквелидзе, Т. А. Чучулашвили. Сообщения АН ГССР,  
79, № 1, 1975.
- М. А. Михеев, И. М. Михеева. Основы теплопередачи. М., 1973.
- Д. Д. Калафати, В. В. Попалов. Теплоэнергетика, № 5, 1977, 70—73.

## ПОЧВОВЕДЕНИЕ

В. В. ЛЕЖАВА, Т. В. ТУРСИНА, Е. Б. СКВОРЦОВА,  
Л. Г. МАЧАВАРИАНИ

### МИКРОМОРФОМЕТРИЧЕСКИЕ ОСОБЕННОСТИ ОРТШТЕЙНОВЫХ ПОЧВ ЗАПАДНОЙ ГРУЗИИ

(Представлено членом-корреспондентом Академии М. К. Дараселия 20.1.1988)

Морфометрический анализ проводился на оптико-электронном анализаторе изображения «Квантимет-720» [1, 2]. Определялись площадь, количество и периметр порового пространства и Fe-образований.

Среди Fe-образований встречаются два вида. Первый представлен сплошными плотными железисто-гумусовыми стяжениями темно-бурого или черного цвета неясно-угловатой формы. Преобладающий размер этих образований — 0,5—3 мм. Они преимущественно приурочены к верхней, легкой по механическому составу части профиля (табл. 1). В ортштейновых горизонтах, помимо сплошных конкреций, имеется множество специфических округло-ovalных образований, в которых железистая пропитка не сплошная, скролуповатая, в центре которой сохранилась неожелезненная масса. Внешние размеры таких конкреций неполного заполнения — 5—10 мм. Толщина ожелезненной каймы — 1—3 мм. Морфометрический анализ ортштейнов позволяет диагностировать ортштейновый горизонт, который выделяется по всем исследованным параметрам. Величина фактора формы (ФФ) для ортштейнов крупнее 3 мм в этом горизонте ниже, чем в остальных слоях, хотя форма «бубликов» очень близка к окружности и практически не отличается от формы сплошных конкреций. Низкие значения ФФ обусловлены тем, что площадь ожелезненных зон относена к суммарному периметру внешних и внутренних контуров ожелезнения. Благодаря наличию неожелезненных зон в конкрециях несплошного заполнения отношение площади к  $(Pe)^2$  резко снижается. Таким образом, приуроченность ортштейнов разного вида к различным генетическим горизонтам диагностируется сочетанием морфометрических признаков: распределением ортштейнов по размеру, площадью ожелезнения, фактором формы ожелезненных зон. Для «бубликовых» конкреций характерны высокая площадь ожелезнения и низкие значения ФФ, для конкреций сплошного заполнения — высокие значения ФФ при относительно малых площадях ожелезнения.

По строению порового пространства профиль почвы делится на несколько частей (табл. 2). Верхние 10 см имеют хорошо развитую пористость с преобладанием пор упаковки агрегатов и разветвленных пор типа вагов с низкими значениями ФФ. Реже встречаются биогенные поры — каналы и камеры. Рыхлое сложение горизонта и присутствие крупных пор проявляются в высоких значениях общей макропористости.

С глубиной пористость пылеватой части профиля несколько сокращается. На глубине 20—30 см в слабо агрегированной массе встречаются редкие разветвленные поры и тонкие трещинки. Общая площадь пор  $>0,1$  мм не превышает 7%, крупных пор мало.

Таблица 1

## Свойства Fe-образований

Глубина, см	Диаметр Fe-образований, мм							
	0,2—0,5	0,5—1,0	1—2	2—3	3—5	5—7	7—10	>10
Суммарные площадь (S) и периметр (Pe)*								
0—10	0,2 0,1	0,2 0,2	1,8 0,3	1,4 0,2	1,9 0,2	0	0	0 5,5 0,9
20—30	0,2 0,1	0,9 0,4	1,5 0,3	1,7 0,2	0	3,7 0,2	0	0 8,0 1,2
35—45	0 0,1	1,1 0,1	0,5 0,3	0,6 0,2	10,0 0,1	7,7 0,6	4,0 0,4	7,5 31,1 3,3
45—55	0,4 0,1	0,2 0,2	2,4 0,4	2,0 0,3	9,9 1,1	2,3 0	0	0 17,2 2,0
70—80	0,1 0	0,3 0,2	0,8 0,2	0,8 0,1	0,3 0,1	0	0	0 2,3 0,6
90—100	0,2 0	0	0	0	0	0	0	0 0,2 0

\* В числителе—площадь, в знаменателе—периметр

Количество (в числителе—ортштейны сплошного заполнения, в знаменателе—«бульковые»)

0—10	2/0	4,0	5/0	2/0	1/0	0	0	0	14/0
20—30	5/0	9/0	6/0	2/0	0	1/0	0	0	23/0
35—45	0	1/1	4/0	0/1	1/2	1/3	0	0/1	7/8
45—55	0/1	2/4	3,5	3/0	1/6	0	0	0	6/16
70—80	2/0	5/0	3/0	1/0	1/0	0	0	0	12/0
90—100	1/0	0	0	0	0	0	0	0	1/0

$$\text{Суммарный ФФ} \left( \frac{S}{(Pe)^2} \cdot 10^4 \right)$$

	>0,2 мм	>3 мм	
0—10	41,1		456,0
20—30	36,4		601,6
35—45	17,1		22,0
45—55	25,8		62,0
70—80	34,5		328,1
90—100	—		—

Пористость ортштейнового горизонта представлена преимущественно порами упаковки крупных ожелезненных агрегатов и тонкими трещинами по граням структурных отдельностей. Встречаются крупные не сообщающиеся поры, которые имеют слабо изрезанную неразветвленную форму и отличаются малым периметром и высокими значениями ФФ.

Лежащие ниже водоупорные обогащенные илом и глиной горизонты в сухом состоянии имеют типичную структуру растрескивания с преобладанием пор-трещин, которые увеличивают общую макропористость. В межтрещинном пространстве распространены обильные мелкие поры канало-пузырькового типа. Поры  $> 2$  мм отличаются низкими значениями ФФ и сильной изрезанностью.

Таблица 2

## Свойства порового пространства

Глубина, см	Размеры пор, мм							
	0,1— —0,2	0,2— —0,3	0,3— —0,4	0,4— —0,5	0,5— —1,0	1,0— —2,0	>2	>0,1
Суммарные площадь и периметр пор (в числителе — площадь, в знаменателе — периметр)								
0—10	0,4 0,5	0,5 0,4	0,5 0,3	0,5 0,3	2,0 0,9	2,0 0,6	2,3 0,7	8,3 3,9
20—30	0,4 0,6	0,5 0,5	0,6 0,4	0,4 0,2	2,0 1,0	1,7 0,6	0,9 0,2	6,7 3,6
35—45	0,4 0,5	0,7 0,6	0,5 0,4	0,5 0,3	1,4 0,6	3,4 1,0	1,0 0,3	8,1 3,9
45—55	0,2 0,2	0,3 0,2	0,3 0,2	0,4 0,2	1,9 1,0	1,0 0,5	0,4 0,1	4,5 2,5
70—80	0,3 0,4	0,4 0,4	0,3 0,2	0,3 0,1	1,8 0,9	3,5 1,1	3,9 0,8	10,5 4,2
90—100	0,3 0,4	0,4 0,3	0,3 0,2	0,4 0,2	1,3 0,6	0,8 0,3	10,5 2,2	14,1 4,5
Количество пор (площадь поля зрения 3 см <sup>2</sup> )								
0—10	43	24	18	14	18	4	0,7	122
20—30	58	35	21	12	16	3	0,3	145
35—45	39	23	12	14	20	6	1,5	146
45—55	19	10	5	6	6	4	4	68
70—80	64	31	18	10	19	7	3	211
90—100	63	28	11	7	13	4	1	171
Суммарный ФФ $\left( \frac{S}{(Pe)^2} \cdot 10^4 \right)$								
0—10	10,9	15,2	27,9	32,7	16,1	62,1	14,5	3,4
20—30	9,3	18,6	22,0	44,4	13,9	48,9	14,0	3,4
35—45	10,7	13,9	30,5	36,5	21,8	23,1	120,0	3,2
45—55	21,3	37,5	29,8	74,1	12,1	28,8	78,5	4,3
70—80	11,6	15,1	36,1	47,0	14,1	17,4	41,2	3,7
90—100	12,0	25,7	24,8	61,4	23,8	56,1	12,4	4,1

В целом морфометрические особенности порового пространства отражают литолого-генетические и почвенные свойства профиля. Особое диагностическое значение имеют величины площади и периметра пор, а также ФФ пор  $> 2$  мм. ФФ пор меньшего размера отличается варьированием и в меньшей степени отражает специфику пористости горизонта.

Тбилисский государственный  
университет

Почвенный институт  
им. В. В. Докучаева  
Москва

(Поступило 22.1.1988)

3. ლიშავა, ტ. ტურსინა, ე. სკვორცოვა, ლ. მაჭავარიანი

დასავლეთ საქართველოს ორთულინიანი ნიაზაგვის  
 მიკრომორფოლოგიური თავისებურებანი

### რეზიუმე

ოპტიკურ-ელექტრონულ ანალიზატორზე შეფასებულია რკინის წარმონაქმნების და ფორმოვნი სივრცის რაოდენობა, ფართობი, პერიმეტრი. გამოვლენილია ორთშრეინების და ფორმების ფაქტორების მნიშვნელობები ლი-თოლოგიურ-გენეტურ და ნიაზაგვურ თვისებებში.

### SOIL SCIENCE

V. V. LEZHAVA, T. V. TURSINA, E. B. SKVORTSOVA, L. G. MACHAVARIANI

### MICROMORPHOMETRIC PECULIARITIES OF ORSTEIN SOILS OF WESTERN GEORGIA

#### Summary

The amount, area and perimeter of ferruginous formations and porous space have been determined by means of optical-electronic analysers.

The significance of orstein and pore factors in lithologic-genetic and soil characteristics has been revealed.

#### ლიტერატურა — ЛИТЕРАТУРА — REFERENCES

1. Е. Б. Скворцова, Л. Г. Мачаварини. Материалы конф. «Микроморфологические методы изучения почв». Тбилиси, 1987, 7, 8.
2. Т. В. Турсина, Е. Б. Скворцова, Е. В. Кулинская, М. В. Грачева. Почвоведение, № 4, 1985, 94.



БОТАНИКА

Н. И. ЛАЧАШВИЛИ, М. Н. ХАЧИДЗЕ

О НЕКОТОРЫХ НОВЫХ ТАКСОНАХ ДЛЯ ФЛОРЫ ГРУЗИИ

(Представлено членом-корреспондентом Академии Г. Ш. Науцишвили 14.1.1988)

При исследовании (1987 г.) флоры и растительности Кизики (Восточная Грузия) нами были найдены растения, которые не приводятся во «Флоре Грузии» [1]. Из них два рода — *Ferula* L. и *Hippocratea* L. являются новыми для флоры Грузии.

Ниже указаны места произрастания этих видов на территории Грузии и дается краткая характеристика их участия в растительном покрове изучаемого района.

1. *Ferula szowitsiana* DC. Восточная Грузия, Кизики, Кумрос-хеви, на гребнях «алесилеби» (бэдлэнды), возвышающихся над Эльдарской низменностью, 12.4.1987 г., И. Лачашвили, М. Сохадзе, М. Хачидзе, Н. Лачашвили (TBI); Восточная Грузия, Кизики, Шираки, Лекис-цкали, сухие, слабосолонцеватые глинистые склоны, 14.5.1987 г., они же (TBI), там же, 20.5.1987 г., они же (TBI).

Описан из окрестностей Нахичевани. В пределах СССР в основном известен из южного Закавказья, в частности из Нахичевани и окрестностей Еревана [2, 3]. За пределами Кавказа распространен в Анатолии, Турции и Афганистане [4]. Относится к атропатанскому географическому типу [2].

Произрастает на глинистых, слабосолонцеватых склонах северных, северо-восточных и восточных экспозиций, в фриганоидных группировках, состоящих в основном из *Atraphaxis spinosa* L., *Stachys fruticulosa* Bieb., *Salsola nodulosa* (Moq.) Iljin, *Reaumuria alternifolia* (Labill.) Britten, *Thymus tiflensis* Klok. et Mey. и других видов.

2. *Hippocratea biflora* Spreng. Восточная Грузия, Кизики, Шираки. Чайбулакис-хеви, у слияния с р. Алазани, на щебнистых склонах, 15.5.1987 г., И. Лачашвили, М. Сохадзе, М. Хачидзе, Н. Лачашвили (TBI).

В пределах СССР распространен на Кавказе и в Средней Азии. На Кавказе в основном встречается в восточной и южной частях Закавказья. За пределами СССР распространен в Средиземье, Малой Азии и Иране. Относится к восточносредиземноморскому географическому типу [5].

Произрастает в аридных редколесьях, состоящих из *Pistacia lentiscus* Fisch. et Mey. и *Paliurus spina-christi* Mill., на щебнистых склонах.

3. *Suaeda microphylla* Pall. Восточная Грузия, Кизики, Шираки, Лекис-цкали, на солонцеватых местах, 19.9.1987 г., И. Лачашвили, М. Сохадзе, М. Хачидзе, Н. Лачашвили (TBI); Восточная Грузия, Кизики, Эльдарская низменность, вблизи границы Грузии с Азербайджаном, севернее от с. Бурунквахи, зимние пастбища, на солонцах, 22.9.1987 г., они же (TBI).

Описан из побережья Каспия между рр. Кумой и Тerekом. В пределах СССР встречается на Кавказе и в Средней Азии. В пределах Кавказа в основном распространен в Дагестане в восточном и южном Закавказье. За пределами СССР встречается в Иране. Относится к ирано-туранскому географическому типу [6].

Следует отметить, что этот вид для Грузии упоминается в работе М. Ф. Сахокиа [7], но из-за отсутствия гербарного материала не занесен во «Флору Грузии».

На Эльдарской низменности встречается как компонент пустынной растительности (*Salsoleta*, *Salsola dendroides* Pall. *Anabasis* *aphylla* L.).

4. *Arabidopsis pumila* (Steph.) N. Busch. Восточная Грузия, Кизики, Кумрос-хеви, на гребнях «алесилеби» (бэдлэнды), возвышающихся над Эльдарской низменностью, 12.4.1987 г., И. Лачашвили, М. Сохадзе, М. Хачидзе, Н. Лачашвили (ТВI); Восточная Грузия, Кизики, Эльдарская низменность, на солонцах, 14.4.1987 г., они же (TBI).

Описан из Кавказа (Кизляр). В пределах СССР встречается на юго-востоке европейской части СССР, на Кавказе и в Средней Азии. На Кавказе в основном известен из Дагестана, восточного и южного Закавказья. За пределами СССР распространен в Восточном Средиземье и Иране. Относится к средиземноморскому географическому типу [8].

Произрастает в полупустынных и фриганоидных ценозах.

Следует отметить, что этот вид для Грузии упоминается в работе М. Э. Сохадзе [9], но из-за отсутствия гербарного материала не занесен во «Флору Грузии».

5. *Astragalus corrugatus* Bertol. Восточная Грузия. Кизики, Сигнахский район, Чатма, на глинистых солонцеватых местах, 16.5.1987 г., И. Лачашвили, М. Сохадзе, М. Хачидзе, Н. Лачашвили (TBI).

На Кавказе встречается в южном и восточном Закавказье, в пределах СССР распространен и в Средней Азии. За пределами СССР встречается в Иране, Афганистане, Месопотамии и Египте. Относится к южноирано-туранскому географическому типу [5].

Является компонентом в основном растительности засоленных почв, в частности группировок, состоящих из *Petrosimonia brachiata* (Pall. Bunge).

Академия наук Грузинской ССР

Институт ботаники  
им. Н. Н. Кецховели

(Поступило 14.1.1988)

გოთანია

ნ. ლაჭაშვილი, ა. ხაჩიძე

საქართველოს ფლორისათვის ზოგიერთი ახალი ტაქსონის გამსახვება

რეზიუმე

ქიზიუის (აღმოსავლეთი საქართველო) ფლორისტული რაიონის შესწავლისას (1987 წ.) მოპოვებულია „საქართველოს ფლორისათვის“ 5 ახალი სა-

ხემა: *Ferula szowitsiana* DC., *Hippocrepis biflora* Spreng., *Suaeda microphylla* Pall., *Arabidopsis pumila* (Steph.) N. Busch, *Astragalus corrugatus* Bertol..

გვარები *Ferula* L. და *Hippocrepis* L. პირველადაა მოყვანილი საქართველოსათვეს.

სახეობების განხილვისას მითითებულია გეოგრაფიული გავრცელების ძალი პუნქტები, მათი მონაცილეობა აღნიშნული რაონის მცენარეულ საფარმი და მოკლე ეკოტოპური დახასიათება.

## BOTANY

N. I. LACHASHVILI, M. N. KHACHIDZE

## NEW DATA FOR THE FLORA OF GEORGIA

## Summary

The study of flora and vegetation of the Kiziki floristic area (eastern Georgia) revealed 5 new species which are not mentioned in the literature of the subject(1): *Ferula szowitsiana* DC., *Hippocrepis biflora* Spreng., *Suaeda microphylla* pall., *Arabidopsis pumila* (Steph.) N. Bush, *Astragalus corrugatus* Bertol..

It is notable that 2 genera—*Ferula* L. and *Hippocrepis* L. are new for the flora of Georgia.

New points of geographic distribution of the above mentioned species as well as their participation in the local vegetation cover are discussed. Short ecotypical characteristics are adduced.

## ЛІТЕРАТУРА — REFERENCES

1. საქართველოს ფლორა, 2, 1—11. თბილისი. 1971—1987.
2. А. А. Гросгейм. Флора Кавказа, 2, 7. Л., 1967.
3. И. П. Манденова. Род *Ferula* L. В кн.: «Флора Армении», 6. Ереван, 1973.
4. D. F. Chamberlain et K. H. Reching er. In Flora Iranica 162/July, 1987.
5. А. А. Гросгейм. Флора Кавказа, 2, 5. М.—Л., 1952.
6. А. А. Гросгейм. Флора Кавказа, 2, 3. Баку, 1945.
7. М. Ф. Сахокиа. В кн.: «Ботанические экскурсии по Грузии». Тбилиси, 1958. 7—30.
8. А. А. Гросгейм. Флора Кавказа, 2, 4. Баку, 1950.
9. З. სოხაძე. აღმოსავლეთ საქართველოს ნახევრადუდაბნოს მცენარეთა წლიური განვითარების რატომი. ბოტანიკა (საქართველოს მეცნიერებათა ეკადემია ბოტანიკის ინსტიტუტის შრომები. 28). თბილისი. 1976.

## ФИЗИОЛОГИЯ РАСТЕНИЙ

С. М. ШАМЦЯН, Т. А. ЦЕРЦВАДЗЕ, Л. П. РАПАВА

### ВЛИЯНИЕ РЕТАРДАНТОВ РОСТА НА МОРОЗОУСТОЙЧИВОСТЬ ВИНОГРАДНОЙ ЛОЗЫ

(Представлено академиком Г. А. Саназде 5.11.1987)

Неблагоприятные условия внешней среды, в частности резкие понижения температуры зимой, могут явиться причиной повреждения виноградников в некоторых районах Восточной Грузии.

Для развития высокой морозоустойчивости растение должно своевременно завершить цикл развития в результате перестройки физиологического-биохимических процессов. Однако в условиях Восточной Грузии виноградная лоза в силу отсутствия необходимых погодных условий не всегда проходит полностью закалку и при внезапном наступлении сильных морозов в отдельные годы повреждается [1].

Одним из приемов повышения морозоустойчивости лозы является искусственная приостановка роста побегов и степени одревеснения. С этой целью в последнее время применяются различные ретарданты, синтетические ингибиторы роста [2—5], которые задерживают рост побегов и повышают морозоустойчивость [6, 7].

С целью своевременного введения растений в покой и повышения морозоустойчивости мы применяли алар (моно-N,N-диметилгидразид янтарной кислоты), гидрел (бис-кислый-2-хлорэтил-фосфанокислый гидразиний) и CCC (хлорхолинхлорид).

Плодоносящие лозы сорта Горули мцване (сильнорослый) и Чинури (слаборослый) опрыскивали водными растворами алара 0,15 и 0,2%, гидрела 0,02 и 0,03% и CCC 0,15%. Обработку растений проводили до и после цветения, а также во время физиологической зрелости ягод и в конце сентября — в период подготовки лозы к зимовке. В течение вегетации растений проводили фенонаблюдения над опрынутыми и контрольными растениями.

Морозоустойчивость обработанных ретардантами лоз, а также контрольных растений определяли замораживанием срезанных побегов в холодильных камерах. Замораживанию подвергали одногодичные побеги в декабре и январе в течение 1981—1984 гг. при температурах —18, —20, —21 и —22°C.

Установлено, что в результате опрыскивания лоз ретардантами роста аларом, гидрелом и CCC наблюдалась более ускоренный переход растений в покой и значительное сокращение роста побегов в длину по сравнению с контролем. Особенно активно воздействовал на подавление ростовых процессов 0,2% алар, сократив рост побегов сорта лозы Горули мцване на 30%, а Чинури на 28% по сравнению с контролем. Несколько слабее воздействовал на подавление роста побегов 0,02% раствор гидрела и 0,15% раствор CCC.

Средние данные морозоустойчивости почек на 3 года приводятся в таблице. Как видно из таблицы, растения в декабре были более чувствительны к низким отрицательным температурам, чем в январе, когда соответствующие отрицательные температуры в определенной степени способствовали прохождению фаз закаливания.

Лозы сорта Горули мцване, замороженные в декабре при температуре —18°C, пострадали незначительно, хотя все же наблюдалась

существенная разница между контролем и опрыскнутыми растениями в сторону уменьшения повреждения почек у обработанных растений. Ощущимые повреждения отмечались у лоз, замороженных в декабре при  $-20^{\circ}\text{C}$ . Обработанные ретардантами роста лозы пострадали несколько меньше по сравнению с контролем. Сравнительно малый процент повреждений наблюдался у лоз сорта Горули мцване, обработанных 0,2% аларом и 0,02% гидрелом. Значительно возрос процент повреждений при температуре замораживания  $-21^{\circ}\text{C}$ , однако соотношение между контрольными и опрыскнутыми растениями в пользу последних оставалось неизменным. Например, если контрольные лозы повредились на 93%, то опрыскнутые 0,2% аларом — всего лишь на 75%, а 0,02%, гидрелом — на 78%. Температура замораживания  $-22^{\circ}\text{C}$  для всех вариантов опыта в декабре для сорта Горули мцване оказалась губительной.

Результаты замораживания побегов виноградной лозы (повреждения в %)

Температура замораживания	Варианты	Декабрь		Январь	
		Горули мцване	Чинури	Горули мцване	Чинури
$-18^{\circ}\text{C}$	Контроль	39	28	25	18
	Алар 0,15 %	15	5	12	4
	Алар 0,2 %	13	9	9	7
	Гидрел 0,02 %	14	10	11	8
	Гидрел 0,03 %	24	11	10	12
	ССС 0,15 %	25	10	11	9
$-20^{\circ}\text{C}$	Контроль	80	82	52	50
	Алар 0,15 %	75	71	46	21
	Алар 0,2 %	65	76	40	26
	Гидрел 0,02 %	67	70	45	31
	Гидрел 0,03 %	70	74	50	48
	ССС 0,15 %	76	79	51	50
$-21^{\circ}\text{C}$	Контроль	93	89	83	79
	Алар 0,15 %	79	71	70	60
	Алар 0,2 %	75	77	67	63
	Гидрел 0,02 %	78	80	68	70
	Гидрел 0,03 %	88	84	80	70
	ССС 0,15 %	88	83	80	73
$-22^{\circ}\text{C}$	Контроль	100	100	95	93
	Алар 0,15 %	100	100	94	82
	Алар 0,2 %	100	100	90	85
	Гидрел 0,02 %	100	95	91	84
	Гидрел 0,03 %	100	94	93	88
	ССС 0,15 %	100	100	94	91

Относительно стойким по сравнению с сильнорослым сортом Горули мцване оказался сорт Чинури, побеги которого замороженные в декабре при  $-18^{\circ}\text{C}$ , получили незначительные повреждения, особенно лозы, обработанные 0,15% раствором алара. Значительно сильнее повредились растения, замороженные при  $-21^{\circ}\text{C}$ . В декабре температура  $-22^{\circ}\text{C}$  оказалась критической для сорта Чинури, сохранились лишь отдельные почки, опрыскнутые гидрелом.

Лозы, замороженные в январе при  $-18^{\circ}\text{C}$ , повредились незначительно, особенно побеги сорта Чинури, обработанные 0,15% аларом.

Значительно возросло повреждение почек, замороженных при  $-20^{\circ}\text{C}$ . У контрольных лоз процент повреждения почек сорта Горули

мцване возрос до 52%, тогда как у опрыснутых 0,2% аларом он составил всего 40%, а у сорта Чинури был значительно ниже.

Температура —21°C резко повысила процент поврежденных почек как у сорта Горули мцване, так и у Чинури, однако и в данном случае воздействие алара и гидрела сравнительно снизило процент повреждения почек, особенно у сорта Чинури.

Побеги, замороженные в январе при температуре —22°C, получили глубокие повреждения, однако и в этом случае следует выделить лозы, опрыснутые ретардантами роста, у которых отмечен относительно низкий процент повреждения почек по сравнению с контролем. При данной температуре замораживания самый низкий процент повреждений отмечался при обработке 0,2% аларом и 0,02% гидрелом для сорта Горули мцване, а для сорта Чинури — 0,15% аларом и 0,02% гидрелом.

В наших опытах CCC по эффективности действия уступает алару и гидрелу.

На основании полученных данных для сорта Горули мцване более приемлемыми ретардантами, повышающими морозоустойчивость, следует считать 0,2% алар и 0,02% гидрел, а для сорта Чинури — 0,15% алар, несколько слабее действуют 0,2% алар и 0,02% гидрел. Следовательно, замедляя интенсивность роста, можно достичь повышения морозоустойчивости лозы.

Таким образом, при подборе ретардантов роста с целью повышения морозоустойчивости растений следует для каждого сорта индивидуально подбирать как соответствующий ретардант, так и дозу опрыскивания.

Академия наук Грузинской ССР

Институт ботаники

им. Н. Н. Кецховели

(Поступило 26.11.1987)

ავთარეთა ფიზიოლოგია

ს. შავიანი, თ. ცირცელი, ლ. რაჭავა

რეტარდანტების გავლენა ვაზის ლერწვის ჰინგაგამლეობაზე

რეზიუმე

შესწავლით ზრდის რეტარდანტების (ალარი 0,15%, 0,2%, გიდრელი 0,2%, 0,03% და CCC 0,15%) გავლენა ვაზის საწარმოო ჯიშების — გორული მწვანესა და ჩინურის — ზრდასა და ყინვაგამძლეობაზე.

გამოირკვა, რომ რეტარდანტების შესხურების შედეგად ვაზის ლერწების შედარებითი ზრდის შენელება და ყინვაგამძლეობის გაზრდა გამოიწვა გორულ მწვანეში — 0,2% ალარმა, ჩინურში — 0,15% ალარმა, 0,02% გიდრელმა კი ორივე ჯიშში. CCC-ს მოქმედების შედეგი ზემოაღნიშნულ რეტარდანტებთან შედარებით ნაკლებია.

ამრიგად, ყინვაგამძლეობის გადიდების მიზნით ვაზის ყოველი ჯიშისათვის უნდა შეიჩრეს სათანადო რეტარდანტი და დადგენილ ქქნეს მისი კონცენტრაცია.

S. M. SHAMTSYAN, T. A. TSERTSVADZE, L. P. RAPAVA

**THE EFFECT OF GROWTH RETARDANTS ON FROST-RESISTANCE  
OF THE GRAPEVINE**
**Summary**

The effect of growth retardants alar, hydrel and CCC on frost-resistance of shoots of the principal industrial grapevine varieties *Goruji Mtsvané* and *Chinuri* has been studied.

Following the treatment of the shoots with exogenous growth regulators a certain retardation of the growth longwise with an increase of frost-resistance was observed. By inhibiting the growth of shoots with retardants it is possible to increase the grapevine frost-resistance but the retardant and the dose of spraying should be chosen for each variety individually.

**ЛІТЕРАТУРА — REFERENCES**

1. С. М. Шамцян, Л. П. Рапава, Т. А. Церцвадзе, Г. В. Жгенти. Интродукция растений и зеленое строительство. Тбилиси, 1984.
2. Сб. «Регуляторы роста растений». Под ред. Г. С. Муромцева. М., 1979.
3. Л. Дж. Никелл. Регуляторы роста растений. М., 1984.
4. Л. Г. Груздев. Изв. ТСХА, № 1, 1982.
5. Ю. А. Баскаков. ЖВХО им. Менделеева, т. XXII, № 2, 1979.
6. К. С. Погосян. Физиологические особенности морозоустойчивости виноградного растения. Ереван, 1975.
7. М. А. Бочарова, Т. К. Трунова, А. А. Шаповалов, Ю. А. Баскаков. Физиол. раст., т. 30, вып. 2, 1983.

გენეტიკა და ცელები

8. გიგოლაშვილი, დ. ჯოხაძი (საქართველოს სსრ მეცნ. აკად. წევრ-კორესპონდენტი)

**საფუძვლის (SACCHAROMYCES CEREVISIAE) ინტაქტური  
 ძროშოსომული ღნმ-ს ელექტროფორეზი პულკირებულ  
 ელექტრულ ველუ**

პიოლოგიური მაქრომოლეკულების — ცილებისა და ნუკლეინის მეავების — ფიზიკურ-ქიმიური ბუნების საკვლევად სადღეისოდ ყველაზე მარტივი, საიმედო და ინფორმაციული მეთოდია ელექტროფორეზი პოლიაქრილამიდის, აგაროზის ან სხვა სახის გელებში. კერძოდ, ამ მეთოდით ხერხდება ნუკლეინის მეავების მოლეკულური მასის მიხედვით საკმაოდ განსხვავებული ფრაგმენტების (200-დან 60000 წყვილ ნუკლეოტიდიდან) გაცალკევება. უფრო დიდი ზომის ფრაგმენტების დაყოფა ჩვეულებრივი ელექტროფორეზით ვერ ხორციელდება. ამასთანავე, ჩვეულებრივი ელექტროფორეზისათვის საჭიროა ხელ გვერდეს ამა თუ იმ სახის ნუკლეინის მეავეს იზოლირებული პრეპარატი, რომელიც მის ინტაქტურ მდგომარეობას არ შეესაბამება, რადგან დაყოფის პროცესში მოლეკულა ყოველთვის ერთ ადგილს მაინც გაწყდება და ამიტომ ნატივურ მდგომარეობას ვერ ასახავს. 1982 წ. შვარცმა და კანტორმა [1,2] შეიმუშავეს ელექტროფორეზის ახალი მეთოდი, რომლის დროსაც პროცესი მიმდინარეობს ე. წ. პულსირებულ ელექტრულ ველში. მეთოდის პრინციპი მდგომარეობს იმაში, რომ ჩვეულებრივი ელექტროფორეზისაგან განსხვავებით, აქ გამოიყენება ელექტროდების ორი წყვილი, რომლებიც განლაგებულია გვლის მიმართ გრაქველი კუთხით. ელექტროდების წყვილები ძაბვაში ირთებიან მორიგეობით, დროის სხვადასხვა ინტერვალით (პულსით) და გელის დაგონალურად სხვადასხვა კუთხით. როგორც ირკვევა, დაყოფის ეფექტურობა დამოკიდებულია პულსის ხანგრძლივობისა და ელექტრული ველების გადაკვეთის კუთხისაგან, რაც სხვადასხვა კონკრეტული მასალისათვის განსხვავებულია. ეს ე. წ. ელექტროფორეზი პულსირებულ ელექტრულ ველში საშუალებას იძლევა დავყოთ ინტაქტური მაღალმოლეკულური ღნმ-ები ქრომოსომიდან გამოყოფის გარეშე და ამით მივიღოთ პრინციპულად ახალი, შედარებით სრული ინფორმაცია ეუკარიოტული გენომის თრგანიზაციის შესახებ, შეიქმნას ე. წ. „ელექტროფორეზული კარიოტიპი“.

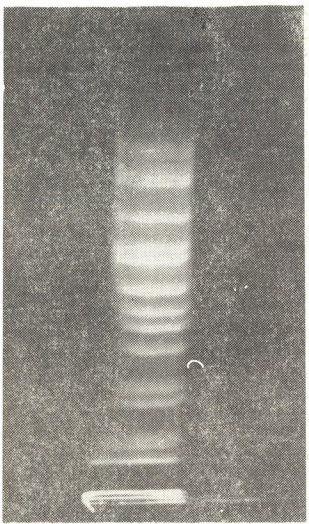
პირველი ექსპერიმენტები პულსირებულ ელექტრულ ველში ელექტროფორეზით ინტაქტური ღნმ-ების დასახასიათებლად ჩატარებული იყო გენეტიკურად კარგად შესწავლით და შედარებით მარტივი გენომის ეუკარიოტიზე — საფურებებზე [1—5]. კარლ მა და ოლსონმა [6] შეძლეს საფურების ინტაქტური ღნმ-ს დაყოფა ფრაგმენტებამდე, რომლებიც  $5 \cdot 10^4$ -დან  $10^6$ -მდე წყვილ ნუკლეოტიდს შეიცავდნენ. შეცაის ფირმა LKB-ს ერთ-ერთი პროცესების მიხედვით, მის მიერ გამოშვებულ ხელსაწყოს შეუძლია დაყოს  $5 \cdot 10^6$  წყვილი ნუკლეოტიდის შემცველი ღნმ.

წინამდებარე ნაშრომში ჩვენ ვცადეთ ჩაგვეტარებინა საფურების (*Saccharomyces cerevisiae*) ინტაქტური უჯრედების ქრომოსომების ღნმ-ს ელექტრო-

ფორეზი ჩვენს მიერ სხვადასხვა სათანადო ბლოკების (კომპიუტერულის) ურ-თიერთმორგებით აწყობილ პარატზე ისე, რომ დაგვეღგინა ოპტიმალური პი-რობები შექმნილ გვევრებით დაყოფისათვის.

საფუცერის ინტენსიური უჯრედები, სპეციალურად ჩაყალიბებული 0,5%—0,7%-იანი აგაროზის გელში, გადმოვვცა დ. ბერიტაშვილმა (სსრ კავშირის მეცნ. იყალების მოლეკულური ბიოლოგიის ინსტიტუტი). პულს-ელექტრო-ფორეზს ვატარებდით 0,8%-იანი აგაროზის გელში, ზომით  $12 \times 8$  მმ. დნმ-ს პრეპარატიანი გელის ნაცრებს ზომით  $10 \times 1$ ,  $5 \times 1,5$  მმ ვათავსებდით აგაროზის გელის ჭიბებში. პულს-ელექტროფორეზის პირობები შემდეგი იყო: ძაბვა 85V, დენის ძალა 170mA, ელექტრული ველების გადაკვეთის კუთხე 120°, პულსის დრო 100 წამი, ტემპერატურა  $10\text{--}12^{\circ}\text{C}$ , ელექტროფორეზის ხანგრძლივობა  $16\text{--}28$  საათი.

პულს-ელექტროფორეზის დამთავრების შემდეგ გელს ვლებავდით ეთი-დიუმის ბრომიდის ხსნარში (1 გვგ/მლ), 1 სთ განმავლობაში. ელექტროფორე-ოგრამას ვაკეირდებოდით ულტრაისტურ შუქწე ხელსაწყოთი Chroma-43 (Heling, გვრ).



სურ. 1. საფუცერის უჯრედის (*Saccharomyces cerevisiae*) გამური ქრომისო-მულ დნმ-ს პულს-ელექტროფორე-ოგრამა. უჯრედები ჩაყალიბებულია 0,5—0,7% აგაროზი, რომელიც მომზადებულია 0,5 ტექ-ბულებში, pH 8,0. ასეთი გელი დამზადებულია ჭერ ზომილაშით (50 გვგ/მლ და 0,5% β-მერკაპტოათონ-ლი, საბოლოო კონცენტრაციით)  $37^{\circ}\text{C}$ , მთელი დამე, ხოლო შემდეგ პროტეი-ნაზი K-თი (50 გვგ/მლ და 0,5% SDS, საბოლოო კონცენტრაცია)  $53^{\circ}\text{C}$ -ზე მთე-ლი ღამის განმავლობაში. SDS მოცალე-ბულია 2—3-ჭერ 0,5 M ეტრი-თი გამო-რეცხვით

სურ. 1. საფუცერის უჯრედის (*Saccha-romyces cerevisiae*) გამური ქრომისო-მულ დნმ-ს პულს-ელექტროფორე-ოგრამა. უჯრედები ჩაყალიბებულია 0,5—0,7% აგაროზი, რომელიც მომზადე-ბულია 0,5 ტექ-ბულებში, pH 8,0. ასეთი გელი დამზადებულია ჭერ ზომილაშით (50 გვგ/მლ და 0,5% β-მერკაპტოათონ-ლი, საბოლოო კონცენტრაციით)  $37^{\circ}\text{C}$ , მთელი დამე, ხოლო შემდეგ პროტეი-ნაზი K-თი (50 გვგ/მლ და 0,5% SDS, საბოლოო კონცენტრაცია)  $53^{\circ}\text{C}$ -ზე მთე-ლი ღამის განმავლობაში. SDS მოცალე-ბულია 2—3-ჭერ 0,5 M ეტრი-თი გამო-

ზოლებს, რომლებიც შეიცვენ შესაბამისად VIII, V, XIII, XVI და VII, XV ქრომოსომებს.

ჩვენს შედეგებში განსაკუთრებით კარგად არის გამოყოფილი ერთმანეთისაგან XII და XVI ქრომოსომების შესაბამისი ზომები (№ 11, 12), რაც იმას ნიშანებს, რომ ჩვენი ექსპერიმენტის პირობებში დიდი ზომის დნმ-ები შედარებით ეფექტურად იყოფა. როგორც ჩანს, ჩვენს ექსპერიმენტში გამოვლენილი უკეთესი დაყოფა მიღებულია ელექტრული ველების გადართვის სიხშირის შემცირების, ველებს შორის კუთხის შეცვლისა და ძაბვის დაკლების ხარჯზე.

როგორც იჩვევა, პულს-ელექტროფორეზით შესაძლოა მნიშვნელოვანი ცნობების მიღება ეუკარიოტული გენომისათვის დამახასიათებელი მობილური დისპერგირებული ელექტრული გამოდინარების შესახებაც. აქედან გამომდინარე, სხვადასხვა ეუკარიოტული ინტაქტური ქრომოსომების შესწავლა ელექტროფორეზით ჰულ-სირებულ ელექტრულ ველში ჩვენი შემდგომი კვლევის საგანს შეადგენს.

საქართველოს სსრ მეცნიერებათა აკადემია  
მცენარეთა ბიოქიმიის ინსტიტუტი

(შემოვიდა 11.12.1987)

## ГЕНЕТИКА И СЕЛЕКЦИЯ

Г. Г. ГИГОЛАШВИЛИ, Д. И. ДЖОХАДЗЕ (член-корреспондент АН ГССР)

### ЭЛЕКТРОФОРЕЗ В ПУЛЬСИРУЮЩЕМ ЭЛЕКТРИЧЕСКОМ ПОЛЕ ИНТАКТНОЙ ХРОМОСОМНОЙ ДНК ДРОЖЖЕЙ (*SACCHAROMYCES CEREVISIAE*)

Р е з у м е

Проведен пульс-электрофорез интактной хромосомной ДНК дрожжей. Получены 15 полос, что на 3 полосы больше, чем это наблюдалось у других авторов. Установлено, что эффективность разделения достигается уменьшением частоты изменения направления электрического поля в геле, изменением угла пересечения электрических полей и уменьшением напряжения.

## GENETICS AND SELECTION

G. G. GIGOLASHVILI, D. I. JOKHADZE

### SEPARATION OF INTACT CHROMOSOMAL DNA MOLECULES FROM YEAST (*SACCHAROMYCES CEREVISIAE*) BY PULSE-ELECTROPHORESIS

S u m m a r y

Pulse-electrophoresis of intact chromosomal DNA molecules from yeast has been carried out. 15 bands, an increase by 3 bands as it was investigated by other authors, have been obtained. It has been established that the efficiency of division is achieved by decreasing the frequency of changing the direction of electric field in gel, by changing the crossing angle of electric fields and by decreasing the field voltage.



## ԱՌԵՆԱՆԱՑՄԱՆ — ԼԻՏԵՐԱՏՈՒՐԱ — REFERENCES

1. S. C. Schwartz *et al.* Cold Spring Harbor Symp. Quant Biol., 47, 1982, 189—195.
2. D. C. Schwartz, C. R. Cantor. Cell, 37, 1984, 65—75.
3. J. H. T. Van der Ploeg *et al.* Cell, 37, 1984, 77—84.
4. G. F. Carle, M. V. Olson. Nucleic Acid Research, 12, 1984, 5647—5664.
5. J. H. T. Van der Ploeg *et al.* Cell, 39, 1984, 213—221.
6. G. F. Carle, M. V. Olson. Proc. Natl. Acad. Sci. USA, 82, 1985, 3756—3760.



## ФИЗИОЛОГИЯ ЧЕЛОВЕКА И ЖИВОТНЫХ

Л. Д. ПХАКАДЗЕ, Д. Г. ЦИНЦАДЗЕ

### ЛОКОМОТОРНАЯ САМОСТИМУЛЯЦИЯ МОЗГА В УСЛОВИЯХ АКТИВНОГО ВЫБОРА МЕЖДУ ЭЛЕКТРИЧЕСКИМ РАЗДРАЖЕНИЕМ МИНДАЛИНЫ И ПЕРЕГОРОДКИ

(Представлено академиком Т. Н. Ониани 3.12.1987)

Один из путей изучения структурно-функциональной организации положительно-эмоционального состояния заключается в выявлении структур мозга, предпочтаемых животными для искусственного раздражения. В этом плане методика электрической самостимуляции мозга [1—3] дает широкие возможности: в зависимости от локализации электродов определяются структуры, принимающие различное участие в генезе положительных эмоций.

Предыдущими исследованиями [4, 5] было показано, что из трех эмоционально-положительных структур (прозрачной перегородки, дорсального гиппокампа и латерального гипоталамуса) животное предпочтение отдает раздражению перегородки.

В настоящей работе мы задались целью изучить предпочтаемый выбор между самостимуляцией миндалины и перегородки.

Опыты проводились на 8 кошках с хронически вживленными в латеральную часть прозрачной перегородки (септум) и базальное ядро миндалевидного комплекса (амигдала) электродами. Была использована методика самостимуляции мозга в модификации, получившей название локомоторной самостимуляции [6]. Эксперименты ставились в клетке, площадью 1,5 м<sup>2</sup>, с разделенным на 9 квадратов (30×30 см) полом, в условиях свободного перемещения животного по квадратам. Каждый квадрат через электростимулирующую систему мог быть подключен к одному из вживленных в мозг электродов. Благодаря такой биотехнической системе автоматически начиналась самостимуляция одного из образований мозга, как только животное становилось на соответствующий квадрат. В зависимости от задачи исследования к системе стимуляции мог быть подключен каждый квадрат или некоторые из них (обозначим их «активными», а другие квадраты пола — «нейтральными»).

В первой серии опытов изучали скорость выработки пространственного условного рефлекса на основе самостимуляции миндалины. С этой целью один из ранее нейтральных квадратов пола экспериментальной клетки подключали к электродам, раздражающим миндалину. Животные в 1-й же опытный день, передвигаясь по манежу, случайно оказавшись на квадрате, запускающем раздражение миндалины, задерживались на нем сначала 15—30 сек, затем 3—5 мин и в конце опыта оставались там подолгу (30—40 мин), самостимулируя данную структуру. На 2-й день с самого начала опыта животные направлялись к раздражающему миндалину квадрату и располагались на нем до конца эксперимента (50—60 мин, рис. 1). Если отсаживали животных с раздражающего квадрата на нейтральный, то они сразу возвращались на раздражающий миндалину квадрат. С этого момента пространственный условный рефлекс на самостимуляцию миндалины считали упроченным.

Во второй серии экспериментов, после упрочнения описанной реакции электрической самостимуляции миндалины, к системе самостимуляции подключали другой, ранее нейтральный квадрат, запускающий теперь стимуляцию септума, т. е. при пребывании животного на данном квадрате начиналась электрическая стимуляция перегородки. Таким образом, животное имело возможность выбора самостимуляции между миндалиной и перегородкой. С самого начала животные прибегали к самостимуляции миндалины. После 30-минутной самостимуляции амигдалы животных насиливо отсаживали с раздражающего миндалины квадрата и подводили к квадрату, запускающему раздражение перегородки. Животные оставались на «центральном квадрате» до конца опыта и больше не возвращались на квадрат пола, запускающий раздражение миндалины, т. е. в первом же опыте кошки предпочитали самостимуляцию перегородки перед миндалиной. В последующих опытах животные вовсе отказывались от самостимуляции миндалины и полностью переключались на самостимуляцию перегородки (рис. 1, 3—4-й опытные дни).

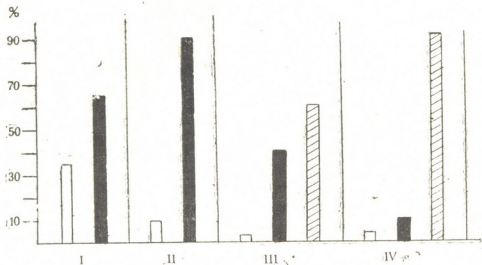


Рис. 1. Предпочитаемый выбор между амигдалой и септумом: по горизонтали — опытные дни; по вертикали — время, проведенное на квадратах, выраженное в %; белые столбики — пребывание животного на нейтральных квадратах; черные столбики — на квадрате, раздражающем амигдалу; заштрихованные столбики — на квадрате, раздражающем септум.

Сопоставляя полученные в данной работе факты с предыдущими нашими исследованиями [4, 5, 7], можно заключить, что из исследованных положительно-подкрепляемых структур мозга (латеральный гипоталамус, септум, дорсальный гиппокамп и амигдала) животное отдает предпочтение самостимуляции септума, несмотря на то, что для получения стабильной самостимуляции, в случае септума, животному требуется 2—3 опытного дня, в течение которых животное не менее 20 раз посещает раздражающий квадрат, самостимулируясь в общей сложности 30—40 мин, тогда как на основе самостимуляции латерального гипоталамуса и амигдалы пространственный условный рефлекс вырабатывается в первый же день, после 4—5 сочетаний, а общее время стимуляции при этом не превышает 10—15 мин.

В настоящее время большинство исследователей считает, что причиной стремления животного к повторению раздражения мозга является получаемое при центральной стимуляции ощущение «удовольствия». Мы считаем, что электрическое раздражение изученных нами структур связано с развитием положительного эмоционального со-

стояния, однако степень интенсивности этой эмоции различна, что и проявляется в дифференцированном отношении к стимуляции этих структур. Полученные факты можно объяснить особенностями структурно-функциональной организации изучаемых областей мозга. Очевидно, немаловажное значение имеет то обстоятельство, что нервные структуры, участвующие в регуляции положительных и отрицательных эмоций, как в мицдалине, так и в гипоталамусе и гиппокампе, перекрывают друг друга [3, 8, 9]. Поэтому, имея разный порог возбудимости, из одной и той же точки мозговой структуры под влиянием продолжительного электрического раздражения могут активироваться как положительно подкрепляемые, так и участки, генерирующие отрицательные ответы. Такое перекрытие эмоциональных пунктов с противоположным знаком должно отсутствовать в прозрачной перегородке: она чрезвычайно богата эмоциогенными структурами, дающими лишь положительные ответы. Возможно, этим и объясняется предпочтение септальной самостимуляции перед остальными эмоциогенными структурами.

Кроме того, не исключена также возможность тормозящего влияния со стороны перегородки как на гиппокампальную и гипоталамическую самостимуляцию, так и на самостимуляцию мицдалины. Это предположение подкрепляется имеющимися в литературе данными, по которым разрушение септальной области у животных ведет к облегчению самостимуляции подкорковых структур [10, 11], а введение скополамина (как внутримышечное, так и непосредственное апплицирование в септум), по нашим предыдущим экспериментам [12, 13], подавляет септальную самостимуляцию и соответственно увеличивает время самостимуляции гипоталамических структур.

Таким образом, среди изученных нами лимбических структур мозга (септум, гипоталамус, гиппокамп и амигдала), септальная структура является наиболее предпочтаемой для животных в вызове положительных эмоциональных ответов.

Академия наук Грузинской ССР

Институт физиологии  
им. И. С. Бериташвили

(Поступило 10.12.1987)

ადამიანისა და ცხოველთა ფიზიოლოგია

ლ. ჭავჭავაძე, ლ. ციცაძე

თავის ტვინის ლოკომოტორული თვითგაღიზიანება ნუშისებრ  
სერულსა და გავარირებულ ძგიდვს უორის პროცესი არჩევანის  
პირობებში

რეზიუმე

შესწოვლით კატების პირობითორეფლექსური ქცევა ისეთ პირობებში,  
როცა ცხოველს საშუალება ექლეოდა თვითგაღიზიანებისათვის ერჩია ტვი-  
ნის ორი სტრუქტურიდან რომელიმე: ნუშისებური ბირთვი ან გამჭვირვალე  
ძგიდვა.

გამოიჩვანა, რომ კატა თვითგაღიზიანებისათვის უპირატესობას ანიჭებს  
გამჭვირვალე ძგიდვებს.

L. D. PKHAKADZE, D. G. TSINTSADZE

BRAIN LOCOMOTOR SELF-STIMULATION UNDER CONDITIONS  
OF ACTIVE CHOICE OF AMYGDALA OR SEPTUM  
ELECTRIC STIMULATION

## Summary

The behaviour of cats was studied under conditions of active choice of self-stimulation of the amygdala and septum. The animals prefered the self-stimulation of the septum.

The data obtained are explained by peculiarities of the structural and functional organization of the septal area.

## REFERENCES

1. J. Olds. Physiol. Rev., 42, 1962, 554.
2. J. Olds. Electrical stimulation of the brain. Austin. University of Texas Press, 1961, 350.
3. J. Olds, R. P. Milner. J. Comp. and Physiol. Psychol. 47, 28, 1954, 419.
4. Л. Д. Пхакадзе. Тез. 26-го совещ. по пробл. ВНД. Л., 1981, 264.
5. Л. Д. Пхакадзе, Н. В. Абашидзе, Ц. А. Орджоникидзе. Изв. АН ГССР, сер. биол., 8, 2, 1982, 100—105.
6. М. М. Хананашвили, Е. С. Петров. ЖВНД, 24, 4, 1974, 876.
7. М. М. Хананашвили, Ц. А. Орджоникидзе, Л. Д. Пхакадзе, Н. В. Абашидзе. Сб. «Нейрофизиология мотиваций, памяти и цикла бодрствование-сон», т. IV. Тбилиси, 1985, 248—265.
8. Т. А. Леонтович. Успехи совр. биол., 1, 65, 1968, 34.
9. N. E. Miller. Science. 148, 1965, 328.
10. Т. М. Воробьева. ЖВНД, 19, 4, 1969, 680—687.
11. R. E. Keesey, T. L. Powley. Physiol Behav., 3, 4, 1968, 557.
12. Л. Д. Пхакадзе, В. Ф. Аришина. Материалы IV конф. молодых физиологов Закавказья. Телави, 1983, 75.
13. Л. Д. Пхакадзе, Д. Г. Цинцадзе. Тез. 27-го совещ. по пробл. ВНД. Л., 1984, 305.

БИОФИЗИКА

А. О. ГУДЖАБИДЗЕ, М. И. КОШОРИДЗЕ, Д. В. ШАНИДЗЕ,  
В. Н. РУСИЕШВИЛИ, М. А. ЦАРЦИДЗЕ

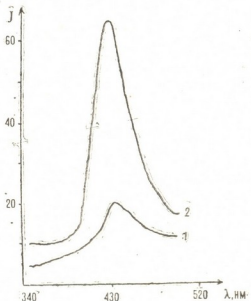
СПЕКТРОФОТОМЕТРИЧЕСКИЕ ИССЛЕДОВАНИЯ  
БИОДЕГРАДАЦИИ ПОЛИИМИДНЫХ ПЛЕНОК ПЛЕСНЕВЫМ  
ГРИБОМ *Trichoderma lignorum*

(Представлено членом-корреспондентом Академии Д. И. Джохадзе 17.3.1988)

При биологическом нарушении полимерных материалов изменяются цвет и текучесть поверхности, а также наблюдается наличие слизи, шлака и других осадков [1, 2]. Существующие методы их регистрации не полноценны и не обеспечивают достаточную точность. Поэтому представлял интерес проведение спектрофотометрических исследований полимерных материалов с целью выявления ряда закономерностей и разработки достаточно чувствительного и точного метода определения их биодеградации плесневыми грибами.

В работе использовали культуру плесневого гриба *Trichoderma lignorum*, которую выращивали в пробирках на жидкой питательной среде [3], содержащей (г/л): сахарозу — 15,0;  $\text{KH}_2\text{PO}_4$  — 0,7;  $\text{K}_2\text{HPO}_4$  — 0,3;  $\text{MgSO}_4$  — 0,5;  $\text{NaNO}_3$  — 2,0;  $\text{KCl}$  — 0,5;  $\text{FeSO}_4$  — 0,01. В инфицированную питательную среду погружали образцы полиимидной пленки, подвергнутые обезжикиванию ацетоном и стерилизации 70%-ным этиловым спиртом и инкубировали при 27°C. Спектрофотометрические исследования проводили спустя 5, 10, 20 и 30 суток после начала опыта. Степень биоповреждения полиимидных пленок оценивали ве-

Рис. 1. Электронный спектр поглощения полиимидной пленки: 1 — полиимидная пленка со складского помещения в условиях влажных субтропиков; 2 — полиимидные пленки с микологической площадки в тех же условиях



совым методом. Электронные спектры поглощения регистрировали на спектрофотометре УФ-5230 фирмы «Бекман», а ИК-спектры — на спектрофотометре модель 457 фирмы «Перкин-Эльмер». Кроме того, исследовали УФ- и ИК-спектры полиимидных пленок, находящихся в условиях влажных субтропиков в течение пяти лет (образцы лежали в складе и на микологической площадке Колхидского климатического центра). Степень их биодеградации оценивали по балльной системе

[3]. Изучали также поверхностный потенциал — полинимидной пленки до и после биоповреждения по методу [4].

На рис. 1 приведены электронные спектры полинимидных пленок, которые в течение пяти лет находились в условиях влажных субтропиков. Разностный спектр поглощения регистрировали следующим образом: со спектра неповрежденной пленки вычитывали спектр поглощения поврежденной пленки. Как видно из рисунка, максимум разностного спектра находится при 430 нм. При этом интенсивность максимума поглощения у пленок с микологической площадки (степень биоповреждения 5 баллов — табл. 4) больше. Исходя из этого, предполагаем, что разностный спектр поглощения полинимидных пленок дает возможность судить о степени их биодеградации.

Для подтверждения указанного выше предположения нами было изучено биоповреждение полинимидных пленок с помощью плесневого гриба *Trichoderma lignorum*. Результаты этих исследований приведены в табл. 1. Как видно из таблицы, с помощью весового мето-

Таблица 1

Изучение степени биоповреждения полинимидных пленок с помощью весового метода и электронных спектров поглощения

Время инкубации пленки с плесневым грибом (сутки)	Потеря веса г/м <sup>2</sup>	Интенсивность максимума поглощения при 430 нм (в относит. единицах)
0	0	0
5	0	4,0±1,0
10	0	9,0±1,5
20	4	18,5±2,5
30	6	25,5±1,0

да биоповреждение полинимидной пленки можно обнаружить только на 20-й день инкубации пленки с плесневым грибом. Однако спектрофотометрические исследования позволяют обнаружить биоповреждение уже на пятый день экспозиции полимера с плесневым грибом.

Биоповреждение вызывает структурные изменения в полинимидной пленке. На это указывают данные по изучению ИК-спектров поглощения поврежденных и неповрежденных полинимидных пленок. Характерные полосы их поглощения в ИК-области спектра приведены в табл. 2.

Таблица 2

Характерные полосы поглощения полинимидных пленок в ИК-области спектра

См <sup>-1</sup>	Функциональная группа	См <sup>-1</sup>	Функциональная группа
2500	-C-H (валент.)	1600	C=C скелетн. колебания в бензолн. кольце
2780		1560	C=C плоскостные
2650		1500	бензольного кольца
2510		1460	C=C плоскости. валентн.
2380		1020	=C-O-C симетр. вален тн.
2280	-N=C=O (асиметр.)	920	асиметрич. валентн. кольца
2025	внеплоскостные	875	C-H деформац.
1950	деформационные	820	асиметрич. валентн. кольца
1880	колебания C-H	775	β кольцевая
1780		720	C-N деформац.

Анализ ИКС полинимидных пленок в динамике биоповреждения указывает на то, что основные изменения наблюдаются в области 1600—700 см<sup>-1</sup>. Оказалось, что по некоторым показателям (отношение максимумов поглощения) можно судить о биоповреждении поли-

нимидных пленок (табл. 3). Как видно из таблицы, с повышением степени биоповреждения величины отношения  $J_{1020}/J_{920}$  и  $J_{920}/J_{875}$  повышаются. Обратная зависимость наблюдается в случае изменения величины отношения  $J_{1450}/J_{1020}$ . В данном случае, с повышением биоповреждения величина отношений максимумов поглощения в области 1450 и 1020  $\text{cm}^{-1}$ , обусловленные валентными колебаниями  $C=C$  (аромат.) и  $=C 20 O-C$ -групп, соответственно, уменьшается.

Такая же картина изменения величины отношения  $J_{1450}/J_{1020}$  наблюдается и для полимида пленок, находившихся в условиях влажных субтропиков в течение пяти лет (табл. 3). При этом величина от-

Таблица 3

Измерение отношения максимумов поглощения в ИК-области спектра полимида пленок при их биоповреждении

Время инкубации пленки с плесневым грибом (сутки)	1450	1020	920
	1020	920	875
0	1,81	1,0	1,56
10	1,51	1,29	1,73
20	1,35	1,40	1,82
30	1,22	1,53	1,92
Биоповреждение в условиях влажных субтропиков:			
Образец со складского помещения	1,52	—	—
Образец с микологической площадки	1,30	—	—

ношений указанных выше максимумов поглощения у образцов со складского помещения выше, чем у микологической площадки (т. е. с увеличением степени биоповреждения отношение максимумов поглощения уменьшается).

Представлял также интерес изучить поверхностный потенциал полимида пленок при биодеградации. Оказалось, что поверхностный потенциал при биодеградации увеличивается (табл. 4). При этом оно находится во взаимосвязи со степенью биодеградации материала.

Таблица 4

Изменение поверхностного потенциала (в вольтах) и степени биоповреждения (по бальной системе) полимида пленок в условиях влажных субтропиков

Условия хранения образца	Поверхностный потенциал	Степень биоповреждения
Контроль	0,32	0
Складское помещение	0,34	2
Микологическая площадка	0,75	5

Таким образом, спектрофотометрические исследования биоповреждения полимида пленок дают возможность судить о ряде закономерностях, касающихся изменениям их структуры при этом процессе, а также о степени биодеградации полимера.

ა. გუჯაბიძე, მ. კოშორიძე, დ. შანიძე, ვ. რუსეშვილი, ა. ცარციძე

თბილის სოკოს *Trichoderma lignorum*-ს გავრ პოლიიმიდის აპარატის  
გამოდეგრადაციის სპეციფიკურობის გამოკვლევა

### რეზოუტე

სპეციტოფოტომეტრული მეთოდით შესწავლილია პოლიიმიდის აპარატის გამოდეგრადაცია სხვაობით. აღმოჩნდა, რომ პოლიიმიდის აპარატის სხვაობითი სპეციტრის (მიღება დაუზიანებული და დაზიანებული ფისების შთანთქმის სპეციტრებს შორის სხვაობით) 430 ნმ-ის ტალღის სიგრძის უბანში შთანთქმის მაქსიმუმის ინტენსიურობის ცვლილების მიხედვით შეიძლება ვიმსწეროთ მისი გამოდაზიანების ხარისხს.

### BIOPHYSICS

A. O. GUJABIDZE, M. I. KOSHORIDZE, D. V. SHANIDZE,  
V. N. RUSIESHVILI, M. A. TSARTSIDZE

### SPECTROPHOTOMETRIC STUDY OF POLYIMIDE FILM BIODEGRADATION BY MOLD FUNGUS *TRICHODERMA LIGNORUM*

#### Summary

Biodegradation of polyimide films by mold fungi has been studied spectrophotometrically. It is shown that the degree of biodegradation can be estimated by the change of absorption intensity in the range of 430 nm of polyimide film difference spectrum [obtained by difference in the absorption spectra of treated and untreated films].

#### ლიტერატურა — REFERENCES

1. Н. Ф. Белоконь, Е. Л. Татевская, И. С. Филатов. Пластические массы, 1972, № 7, 69—71.
2. Н. И. Наплекова, Н. Р. Абрамова. Изв. Сибирск. отд. АН СССР, серия биол., 1976, № 3 (15), 21—27.
3. ЕСЭКС «Материалы и изделия». ГССТ 9.048.75. М., 1978.
4. А. Р. Егиазарова, К. Ш. Надарейшили. Биофизика, 1983, 28, № 4, 625—628.



БИОХИМИЯ

З. В. ТОХАДЗЕ, Н. К. РОГАВА, Р. Э. ГИОРГОБИАНИ,  
 Д. Ш. УГРЕХЕЛИДЗЕ

**ВЛИЯНИЕ БЕНЗИМИДАЗОЛОВ НА ПЕРОКСИДАЗУ,  
 ФЕНОЛОКСИДАЗУ И ХЛОРОФИЛЛАЗУ ЯБЛОК**

(Представлено членом-корреспондентом Академии Д. И. Джохадзе 28.9.1987)

Фунгициды — производные бензимидазола — широко применяются против многочисленных заболеваний яблонь. Проникая через кутикулу в ткань плода и подвергаясь при этом превращениям, бензимидазолы влияют на общий метаболизм клетки. В настоящей работе исследовано влияние этих препаратов на пероксидазу, фенолоксидазу и хлорофиллазу яблок.

Опыты проводились над свежеснятymi предклиматическими плодами яблони *Malus sylvestris* Mill сорта Голден делишес. Опытные плоды обрабатывались  $1,7 \cdot 10^{-4}$  М суспензией исследуемого препарата, контрольные плоды обрабатывались в таком же режиме водой. Исследовали следующие препараты ряда бензимидазола: беномил, тиабендазол, карбендазим, 2-аминобензимидазол, бензимидазол. Активность О-дифенолоксидазы определяли манометрическим методом [1], пероксидазы — методом Грекори [2], хлорофиллазы — по методу Веста и Мак Кинни [3]. Повторность каждого опыта пятикратная. Материал обработан статистически; плюс-минус в таблицах означает среднее квадратическое отклонение.

Таблица 1

Влияние бензимидазолов на активность пероксидазы и О-дифенолоксидазы яблок

Препарат	Фермент	Экспозиция, сутки				
		5	10	15	20	25
Беномил	Пероксидаза	68,6 ± 0,7	14,3 ± 0,6	340 ± 4	250 ± 1,5	264,3 ± 2
	О-дифенолоксидаза	129 ± 7,3	134,5 ± 1,5	166,2 ± 4,9	130,6 ± 3,6	135,4 ± 2,5
Тиабендазол	Пероксидаза	34,3 ± 0,4	26,8 ± 0,6	74,9 ± 0,6	144,2 ± 1,4	189,8 ± 2,2
	О-дифенолоксидаза	158,6 ± 5,6	120,3 ± 2,2	84,1 ± 3,7	79,4 ± 3,7	81,6 ± 2,4
Карбендазим	Пероксидаза	75,0 ± 0,7	13,2 ± 0,2	100 ± 1,8	138,5 ± 1,1	245,9 ± 1,8
	О-дифенолоксидаза	144,2 ± 2,3	147,7 ± 2,5	179,8 ± 5,1	181,6 ± 3,7	184,4 ± 3,1
2-Амино-бензимидазол	Пероксидаза	80,2 ± 0,4	16,0 ± 0,7	135,3 ± 1,4	103,7 ± 0,9	429,6 ± 2,9
	О-дифенолоксидаза	176,7 ± 4,4	108,4 ± 2,2	80,6 ± 3,5	77,4 ± 3,6	79,4 ± 2,2
Бензимидазол	Пероксидаза	67,2 ± 0,6	28,5 ± 4,2	158,5 ± 1,5	185,4 ± 1,0	368,4 ± 6,9
	О-дифенолоксидаза	153,8 ± 1,4	159,3 ± 2,5	171,3 ± 3,3	148,6 ± 3,7	152,7 ± 3,2

Наши эксперименты показали, что в обработанных бензимида-  
зольными препаратами плодах активность пероксидазы сначала па-  
дает, достигая минимальных значений на 10–11-й день, а после воз-  
растает, значительно превышая уровень контроля (табл. 1). Изуче-  
ние влияния соединений — производных бензимидазола — на актив-  
ность О-дифенолоксидазы показало, что беномил, карбендазим и бен-  
зимидазол оказывают на этот фермент стабильное стимулирующее  
воздействие (табл. 1). На начальной стадии опыта О-дифенолокси-  
даза стимулируется также и тиабендазолом, однако, при более дли-  
тельных экспозициях этот фунгицид ингибирует фермент. Интересно  
отметить, что 2-аминобензимидазол, являющийся метаболитом бено-  
мила и карбендазима, сначала стимулирует, а после ингибирует  
О-дифенолоксидазу. Следовательно, в тканях плодов, обработанных  
беномилом и карбендазимом, 2-аминобензимидазол не накапливается  
даже при длительных экспозициях.

Известно, что фунгициды — производные бензимидазола — ока-  
зывают на растительную ткань аналогичное цитокининам воздействие  
[4, 5] и ингибируют разложение хлорофилла [6]. Наши эксперименты  
показали, что в обработанных бензимидазолами тканях, при длитель-  
ных экспозициях (две недели и более) активность хлорофиллазы зна-  
чительно подавляется (табл. 2). Однако ингибированию фермента  
предшествует период его резкой стимуляции. Исключительно актив-  
ным стимулятором хлорофиллазы (при кратковременных экспози-  
циях) является карбендазим, а стимулирующий эффект бензимида-  
зола равен нулю. Такое различие не может быть обусловлено раз-  
ностью в скоростях поступления этих препаратов в ткани, так как все  
бензимидазолы поглощаются тканями в виде недиссоциированных мо-  
лекул [7, 8].

Таблица 2  
Влияние бензимидазов на активность хлорофиллазы яблок

Препарат	Экспозиция, сутки		
	7	15	150
Беномил	195,5±9	66,9±1,6	86,6±3,5
Тиабендазол	227,3±11,2	63,7±1,7	39,7±3,6
Карбендазим	404,5±13,6	13,4±0,5	Не исследован
Бензимидазол	100±4,8	29,3±0,8	—“—

В заключение следует отметить, что при длительных экспози-  
циях, активируя фенолоксидазу и пероксидазу и ингибируя хлорофил-  
лазу, беномил и карбендазим могут способствовать улучшению леж-  
коспособности обработанных ими плодов.

Всесоюзный научно-исследовательский  
и проектно-конструкторский институт  
плодовоощного хозяйства

(Поступило 5.11.1987)

Ч. ТОХАДЗЕ, Н. РОГАВА, Р. ГИОРГОБИАНИ, Ш. УГРЕКХЕЛИДЗЕ

გენერაციული გავლენა ვაშლის პეროქსიდაზას,  
ფენოლოქსიდაზას და ქლოროფილაზას

რეზიუმე

შესწავლით ბენომილის, თიაბენდაზოლის, კარბენდაზიმის, 2-ამინობენზომიდაზოლისა და ბენზიმიდაზოლის გავლენა ვაშლის პეროქსიდაზას, ო-დიფენოლოქსიდაზასა და ქლოროფილაზას აქტიურობაზე. ნაჩვენებია, რომ ბენზიმიდაზოლებით დამუშავებულ ნაყოფებში პეროქსიდაზას აქტიურობა პირველი ათი დღის განმავლობაში ეცემა, ხოლო შემდეგ ძლიერ მატულობს. ბენომილის, კარბენდაზიმისა და ბენზიმიდაზოლის გავლენით ო-დიფენოლოქსიდაზა სტიმულირდება. ბენზიმიდაზოლები ქლოროფილაზას ჯერ ააქტიურდებენ, ხოლო ხანგრძლივი ექსპოზიციის დროს (ორი კვირა და მეტი) აინიბირებენ.

#### BIOCHEMISTRY

Z. V. TOKHADZE, N. K. ROGAVA, R. E. GIORGOBIANI,  
D. Sh. UGREKHELIDZE

#### THE EFFECT OF BENZIMIDAZOLE FUNGICIDES ON PEROXIDASE, PHENOLOXIDASE AND CHLOROPHYLLASE IN APPLES

##### Summary

The effect of benzimidazoles (benomyl, thiabendazole, carbendazim, 2-aminobenzimidazole, benzimidazole) on the activity of peroxidase, O-diphenoloxidase and chlorophyllase in apples was studied. It is shown that benzimidazoles first suppress and then stimulate the activity of peroxidase. Benomil, carbendazim and benzimidazole stimulate O-diphenoloxidase activity. Benzimidazoles first activate and then suppress chlorophyllase.

##### ლიტერატურა — REFERENCES

1. В. В. Умбрейт, Р. Х. Буррис, Дж. Ф. Штагуфер. Манометрические методы изучения тканевого обмена. М., 1951.
2. R. P. F. Gregory. Biochem., J., 101, № 3, 1966, 582.
3. C. A. Weast, G. McKinney. J. Biol. Chem., 133, 1940, 551.
4. K. G. M. Skene. J. Hort. Sci., 47, 1972, 179.
5. T. H. Thomas. Ann. Appl. Biol., 76, 1974, 237.
6. N. Wang, E. R. Waygood. Can. J. Bot., 37, 1959, 743.
7. P. Leroux, M. Gredt. Pestic. Biochem. Physiol., 5, 1975, 507.
8. O. Djula. Systemfungicide. Intern. Sympos. Reinhardtsbrunn, 1974. Berlin, 1975, 321.

БИОХИМИЯ

Н. В. ДЖАМРИШВИЛИ, М. И. БАЛАШВИЛИ,  
Д. И. ДЖОХАДЗЕ (член-корреспондент АН ГССР)

СТИМУЛЯЦИЯ ЭНДОГЕННОЙ БЕЛОКСИНТЕЗИРУЮЩЕЙ  
АКТИВНОСТИ РАСТИТЕЛЬНЫХ ПРОТОПЛАСТОВ  
ГИББЕРЕЛЛОВОЙ КИСЛОТОЙ И КИНЕТИНОМ

Методические достижения последних лет в области препарации, культивирования и всестороннего структурно-функционального изучения протопластов открыли новые возможности как для многостороннего биологического исследования клетки, так и для практического применения полученных сведений [1, 2]. Для всесторонней характеристики природы протопластов и применения полученных сведений в практической, в том числе генетико-инженерной работе, чрезвычайно важно выявить особенности протекающих в них биохимических реакций, а также факторы, влияющие на них. Как выясняется, изолированные протопласти сохраняют все биохимические свойства, в том числе фотосинтетическую активность. Согласно Нетсу и др. [3], некоторые вещества увеличивают количественный выход и ферментативную активность протопластов.

В настоящей работе мы исследовали влияние гибберелловой кислоты (ГК) и кинетина на эндогенную белоксинтезирующую активность протопластов листьев гороха. Растения выращивали в лабораторных условиях. Одна партия растений росла на отстойной водопроводной воде, вторая — на воде, содержащей ГК (3 мг/мл, фирма «Serva»), а третья — содержащей кинетин (2 мг/мл, фирма «Serva»). Листья собирали с 8—10-дневных растений. В этом возрасте растения с ГК примерно в 2—3 раза превосходили в росте контрольные. Протопласти выделяли по прописи [4] с некоторыми изменениями. Листья стерилизовали в 70° этаноле и далее в хлораксе в течение 0,5 и 3—5 мин соответственно, промывали дистиллированной водой и нарезали лезвием на миллиметровые полоски. Для мацерации их помещали в раствор, содержащий опозука R-10 (из *Trichoderma viride* фирмы «Serva»)—0,2 % и макерозуме-10 (из *Rizopus* sp фирмы «Serva»)—0,1 %. Ферментную смесь готовили перед употреблением на 0,4 М растворе манита. Мацерация длилась 16 часов при 25°C в темноте. Полученную суспензию пропускали через нейлоновый фильтр (размер пор 60—100 мкм), промывали на воронке 0,4 М раствором манита. Из фильтра осаждали протопласти центрифугированием при 100 об/мин в течение 3 мин. Осадок трижды промывали суспендированием в 0,4 М маните и центрифугировали при 1000 об/мин в течение 3 мин. Под конец протопласти суспендировали в малом объеме 0,4 М манита и сразу использовали для дальнейших опытов. Чистоту протопластов контролировали микроскопически. Эндогенную белоксинтезирующую активность протопластов определяли их инкубацией в среде, содержащей <sup>14</sup>С-гидролизат белка хлореллы. Инкубацию и обработку проб проводили по прописи Бурдмана и Джорнея [5] с некоторыми изменениями [6].

Из данных, приведенных в табл. 1, видно, что препараты протопластов, полученные нами из листьев гороха, обладают способностью к эндогенному синтезу белка. При этом чем больше количество про-



топластов в белоксинтезирующей системе, тем выше включение радиоактивности в кислотонерастворимом материале. Далее, с целью выяснения вопроса, влияют ли ГК и кинетин на белоксинтезирующую ак-

Таблица 1

Эндогенная белоксинтезирующая активность протопластов листьев гороха по включению аминокислот из  $^{14}\text{C}$ -гидролизата белка хлореллы

Инкубационная смесь	Радиоактивность, имп/мин	%
Протопласти, соответствующие	72083	
35 мкг ДНК	71712	100
— „—70 мкг ДНК	121077	
	122453	169
— „—105 мкг ДНК	225474	
	225703	313
— „—35 мкг ДНК, без инкубации	2022	
	2051	28

тивность протопластов, растения выращивали на средах, содержащих упомянутые соединения, как это описано в методике. Концентрации этих веществ в среде были подобраны согласно работам [7, 8]. Результаты этих опытов приведены в табл. 2. По данным этой таблицы,

Таблица 2

Влияние ГК и кинетика на эндогенную белоксинтезирующую активность изолированных протопластов листьев гороха

Инкубационная смесь	Радиоактивность, имп/мин, на 25 мкг днк	%
Протопласти из контрольных растений	59173	
	59018	100
Протопласти из растений, выращенных на среде с ГК	173143	
	172619	292
Протопласти из растений выращенных на среде с кинетином	124811	
	125377	211

протопласти, выделенные из листьев растений, выращенных как на средах, содержащих ГК, так и на средах, содержащих кинетин, синтезируют белок интенсивнее, чем протопласти, выделенные из листьев контрольных растений. При этом стимулирующий эффект ГК выражен сильнее, чем кинетина.

Интерес представляло выяснение влияния фитогормонов на белоксинтезирующую активность протопластов, с одной стороны, при выращивании растений на средах с ГК и кинетином, а с другой — при добавлении этих веществ в среду выделения (табл. 3). Согласно приведенным в табл. 3 данным, при добавлении как ГК, так и кинетина в среду выделения протопластов во время макерации ткани листьев значительно возрастает белоксинтезирующая активность протопластов. При этом эффект ГК выражен гораздо сильнее, чем эффект кинетина. Способность к включению аминокислот также повышена у протопластов, выделенных из листьев растений, которые выращивались на средах с ГК и кинетином. Однако в первом случае добавление ГК в среду выделения вызывает дополнительное увеличение активности, а во втором случае при добавлении кинетина в среду выделения прирост активности не наблюдается.

Из приведенных результатов можно сделать вывод, что ГК и кинетин стимулируют один из ключевых процессов, протекающих в растительной клетке,— синтез белка; протопласты являются весьма удобной моделью для изучения механизмов влияния фитогормонов на

Таблица 3

Эндогенная белоксинтезирующая активность изолированных протопластов листьев гороха при выращивании растений в средах с ГК, кинетином и при добавлении этих веществ в среду выделения

Инкубационная смесь	Радиоактивность, на 20 мкг ДНК	%
Протопласти из контрольных растений	50454	
—“+ГК в среде выделения	50182	100
—“+кинетин в среде выделения	149207	
—“+кинетин в среде выделения	149140	296
Протопласти из растений, выращенных на среде с ГК	71052	
—“+ГК в среде выделения	72818	142
Протопласти из растений, выращенных на среде с кинетином	82474	
—“+ГК в среде выделения	82818	164
Протопласти из растений, выращенных на среде с кинетином	145689	
—“+кинетин в среде выделения	145441	289
Протопласти из растений, выращенных на среде с кинетином	79312	
—“+кинетин в среде выделения	78062	156
—“+кинетин в среде выделения	78254	
—“+кинетин в среде выделения	78106	155

метаболизм, в частности на синтез белков в растительной клетке. Вместе с тем, стимулированные под влиянием фитогормонов протопласти, возможно, более эффективно могут быть использованы в генетических опытах.

Академия наук Грузинской ССР  
Институт биохимии растений

(Поступило 17.12.1987)

გიორგი გაბაშვილი

ნ. ვამიავალი, გ. გალაშვილი, დ. ჯოხაძე (საქ. სსრ მეცნ. კვალემის  
წევრ-კორესპონდენტი)

მცხენარეული პროტოპლასტების ენდოგენური  
ცილაგასინთეზირებელი პროცესის სტიმულაცია გიგარელინის  
მჟავათი და კინეტინით

რეზიუმე

შესწავლითა ბარდას (*Pisum sativum*) 8—10-დღიანი ნაზარდების ფო-  
თლებიდან გამოყოფილი პროტოპლასტების ენდოგენური ცილაგასინთეზირე-  
ბელი აქტივობა. ნაჩენებია, რომ გიბბერელინის მჟავასა (გბ) და კინეტინის შემ-  
ცველ არეზე გამოზრდილი მცხარეების ფოთლებიდან გამოყოფილ პროტო-  
პლასტებში მნიშვნელოვნად მომატებულია ცილის სინთეზის უნარი.

N. V. JAMRISHVILI, M. I. BALASHVILI, D. I. JOKHADZE

STIMULATION OF ENDOGENOUS PROTEIN-SYNTHEZIZING ACTIVITY OF PLANT PROTOPLASTS BY GIBBERELLIC ACID AND KINETIN

Summary

The endogenous protein-synthesizing activity of isolated protoplasts from leaves of 8—10-day-old pea (*Pisum sativum*) seedlings was studied. It is shown that in protoplasts isolated from plant leaves grown on the medium containing gibberellic acid and kinetin, the ability of protein synthesis was considerably increased.

ЛІТЕРАТУРА — REFERENCES

1. R. G. Butenko. Intern. Review of Cytology, 59, 1979.
2. Ю. Ю. Глеба, К. М. Сытник. Клеточная инженерия растений. Киев, 1984.
3. J. W. Watts, F. Motoyoshi, J. M. King. Ann. Bot., L., 38, 1974.
4. F. Constabell, J. W. Kirkpatrick, O. L. Gamborg. Canad. J. Bot., 51, 1973.
5. J. A. Burdman, L. J. Jorguey. J. Neurochem. 16, № 4, 1969.
6. М. И. Балашвили, Д. И. Джохадзе. Сообщения АН ГССР, 80, № 1, 1975.
7. Д. И. Джохадзе, Р. И. Гоглидзе. Физиол. раст., 24, 4, 1977.
8. О. Н. Кулаева, С. Ю. Селиванкина, Е. Г. Романко, М. К. Николаева, А. А. Ничипорович. Физиол. раст., 26, № 5, 1979.

ЭНТОМОЛОГИЯ

Ш. Г. СИЧИНАВА

РЕЗУЛЬТАТЫ ФЕНОЛОГИЧЕСКИХ НАБЛЮДЕНИЙ  
ЗА КОМАРАМИ ANOPHELES MELANOON — ОСНОВНЫМИ  
ПЕРЕНОСЧИКАМИ МАЛЯРИИ В ЗАПАДНОЙ ГРУЗИИ

(Представлено членом-корреспондентом Академии Б. Э. Курашвили 22.3.1988)

На основании морфологического, гибридологического и хромосомного анализа из комаров комплекса «*maculipennis*» в Западной Грузии установлено распространение двух видов — Ап. *maculipennis* и Ап. *melooon* [1—3]. По разным регионам Грузии результаты фенологических наблюдений первого вида имеются в работах ряда авторов [4—9], но сведения о фенологии второго вида в доступных для нас литературных источниках вообще отсутствуют. Исходя из этого изучение основных моментов жизненного цикла комаров Ап. *melooon* проводилось нами в 1978—1980 гг. в прибрежных населенных пунктах равнинно-низменной и холмистой зоны (0—200 м н. у. м.) Зугдидского (с. Анаклия), Цхакаевского (с. Земо Чаладиди) и Абашского (с. Кетиляри) районов по известной методике [10—12].

Выяснилось, что вылет комаров Ап. *melooon* с зимовок начинается в среднем 8 марта, массовый вылет и массовое кровососание — в конце II декады марта, массовое появление самок с созревшими яичниками — 28 марта (см. таблицу). Личинки I стадии появляются в водоемах в среднем 9 апреля, личинки IV стадии — 1 мая, а начало вылета I генерации Ап. *melooon* приходится на 8 мая. Массовое ожирение этих комаров наблюдается в среднем 20 октября, массовое прекращение кровососания — в начале ноября. Личинки IV стадии обнаруживаются в водоемах до 16 ноября. Однако в отдельные годы, в зависимости от весенних и осенних температур, заметно колеблются средние даты феноявлений Ап. *melooon*. Период активности этих комаров продолжается в среднем 8 месяцев, а в некоторые годы — 9 месяцев (таблица). Из этой же таблицы следует, что развитие I генерации рассматриваемого вида от начала массового кровососания до вылета имаго в условиях среднедекадной температуры воздуха 12,3—13,9° длится в среднем 50 дней. Из них переваривание крови и созревание яичников при температуре 12,3—12,5° — 11 дней, а развитие личинок и куколок при температуре 12,5—13,9° — 29 дней.

Основные моменты фенологии Ап. *maculipennis* в прибрежном ландшафте (Сухуми, Гагра, Гали) отмечаются почти в те же сроки, что и у Ап. *melooon*, и период активной жизни этих комаров длится здесь также в среднем 8 месяцев. В предгорной зоне (200—500 м н. у. м.) вылет из зимовок этих комаров начинается в среднем 24 марта, вылет I генерации — 17 мая, а массовое прекращение кровососания падает на 25 октября. В низкогорной зоне (500—1200 м) отмеченные средние даты фенологии Ап. *maculipennis* приходятся на 12 апреля, 7 июня и 27 сентября [9].

Кривые сезонного хода численности водных фаз и имаго Ап. *melooon* и Ап. *maculipennis* одновершинные с максимумами в I половине августа.

Сроки наступления сезонных явлений в жизни *An. maculipennis* в прибрежной части равнинно-игменской и холмистой зоны Западной Грузии в 1978—1980 гг. и температуры воздуха, им сопутствующие

Сезонные явления	Средняя дата			Пределы колебаний дат			
	Зугдиди	Цхалтубо	Лабиши	ранние		поздние	
				Дата	Среднедекадная температура	Дата	Среднедекадная температура
Начало вылета с замковок	8/III	8/III	7/III	13-II 1978	10,3	22/III 1980	14,3
Начало массового вылета с замковок	19/III	18/III	15/III	1/III 1978	12,3	28/III 1980	13,0
Начало массового появления самок с кровью	20/III	19/III	16/III	2/III 1978	12,3	28/III 1980	13,0
Массовое появление самок с созревшими яичниками	31/III	29/III	24/III	9/III 1978	12,3	8/IV 1980	13,3
Появление личинок I стадии	12/IV	9/IV	5/IV	21/III 1978	12,5	24/IV 1980	13,4
Появление личинок IV стадии	4/V	1/V	27/IV	15/IV 1978	13,9	14/V 1980	16,8
Начало вылета I генерации	10/V	8/V	5/V	24/IV 1978	12,9	19/V 1980	16,8
Начало массового появления яицных самок	19/X	19/X	20/X	12/X 1979	16,2	27/X 1980	15,2
Массовое прекращение кровососания	31/X	1/XI	1/XI	25/X 1979	12,9	13/XI 1980	12,8
Последние личинки IV стадии	11/XI	18/XI	14/XI	1/XI 1978	7,8	27/XI 1979	13,7

Осенью основная биологическая особенность диапаузирующих самок рассматриваемых комаров выражается в нарушении гонотрофической гармонии. С момента ожирения изменяется этология этих комаров, и постепенно они мигрируют из теплых помещений с добычей в холодные зимние убежища без добычи. В прибрежной части равнинно-низменной и холмистой зоны зимними убежищами *An. melanoon* служат силюсные башни, подвалы, заброшенные хлева, подполья, марази (виные погреба), чердаки, чуланы, амбары и т. п. В этих убежищах температура воздуха колеблется в основном от 2 до 6°, а относительная влажность — от 75 до 85%, но в некоторых зимовках (чердаки, чуланы, амбары) температура иногда падает до —5°. Зимовками комаров *An. maculipennis* служат также указанные выше типы убежищ без добычи и дупла деревьев. В условиях влажного субтропического климата и мягкой зимы указанной зоны, особенно при повышении температуры от 8—10° и выше, определенная часть зимующих комаров обоих видов комплекса перемещается в помещения с добычей и насасывается крови. Аналогично ведут себя самки *An. maculipennis* зимой и в предгорной зоне, но в низкогорной, средне- и высокогорной (выше 1200 м) зонах активность их в указанный период года не наблюдается.

Таким образом, благодаря сходству температурного режима, основные сроки наступления сезонных явлений в жизни *An. melanoon* и *An. maculipennis* в разных районах прибрежной части равнинно-низменной и холмистой зоны почти совпадают и период активности этих комаров продолжается здесь в среднем 8 месяцев. Кривые сезонного хода численности водных фаз и имаго одновершинные с максимумами в I половине августа.

Институт медицинской паразитологии  
и тропической медицины  
МЗ ГССР

(Поступило 24.3.1988)

© НИИМПЭ

Ч. № 0006283

მალარიის ძირითადი გადამტანი კოლოების — ANOPHELES MELANOON-ის ფინოლოგიური დაცვილობის ზედებები დასავლეთ საქართველოში

რეზიუმე

Maculipennis-ის კომპლექსიდან დასავლეთ საქართველოში გავრცელებულია *An. melanoon* და *An. maculipennis*. ვაკე-დაბლობი და გორავბორცვიანი ზონის (0—200 მ. დ.) ზღვისპირა ნაწილის სხვადასხვა რაიონის მსგავსი ტემპერატურული რეჟიმის შედეგად ამ კოლოების სეზონური ცენოლოგიის ძირითადი ვადები თითქმის ერთნაირია და მათი აქტიური ცხოვრების პერიოდი აქ საშუალოდ გრძელდება 8 თვეს. წყლის ფაზებისა და იმავეს სეზონური რიცხოვნობის მრუდი ერთმწვერვალიანია და მაქსიმუმი აგვისტოს I ნახევარში აღინიშნება.

Sh. G. SICHINAVA

PHENOLOGICAL OBSERVATION RESULTS OF *ANOPHELES MELANOON* MOSQUITOES, CARRIERS OF MALARIA IN WESTERN GEORGIA

Summary

Out of the *Maculipennis* complex mosquitoes the most widespread species in Western Georgia are *An. melanoon* and *An. maculipennis*. Owing to the similarity of the temperature regime, the principal terms of the onset of seasonal events in the life of these mosquitoes in coastal regions of plain-lowland and hill zones (0—200m above the sea level) almost coincide and the period of their activity lasts, on the average, for 8 months.

Curves of the seasonal course of water phase quantity and imago have a single peak, with maximums in the first half of August.

ლიტერატურა — REFERENCES

1. Ш. Г. Сичинава. Изв. АН ГССР, сер. биол., т. 5, № 2, 1979, 156.
2. Ш. Г. Сичинава, В. Н. Стегний, Н. Г. Сипович. Сообщения АН ГССР, 112, № 2, 1983, 417.
3. В. Н. Стегний, Ш. Г. Сичинава, Н. Г. Сипович. Зоол. ж., т. 63, № 2, 1984, 300.
4. А. А. Устинов. Канд. дисс. Тбилиси, 1944.
5. М. К. Лемер. Мед. паразитол. и паразитар. бол., т. 17, № 2, 1948, 202.
6. Г. И. Каичавели. Автoreферат докт. дисс. Тбилиси, 1955.
7. Т. Я. Авдеева, И. А. Зимин. Сезонные явления в жизни малярийных комаров в Советском Союзе. М., 1957.
8. И. С. Сагателова. Автoreферат канд. дисс. Тбилиси, 1964.
9. Ш. Г. Сичинава. Автoreферат канд. дисс. Тбилиси, 1970.
10. Н. К. Шипицина. Фенологические предпосылки к рационализации сроков противомалярийных мероприятий (методические указания). М., 1951.
11. Г. И. Каичавели. О проведении фенологических наблюдений над комарами. Методические указания по борьбе с паразитарными болезнями. Тбилиси, 1960.
12. Т. С. Детинова, С. П. Расницин, Н. Я. Маркович, Е. С. Куприянова, А. С. Аксенова, В. Н. Ануфриева, А. И. Бандин, О. Н. Виноградская, А. А. Жаров. Мед. паразитол и паразитар. бол., т. 47, № 5, 1978, 84.



ЗООЛОГИЯ

Э. Ш. КВАВАДЗЕ, Р. А. ПАЦИАШВИЛИ Л. Ф. СУЛАДЗЕ

**НОВЫЕ ДАННЫЕ О ДОЖДЕВЫХ ЧЕРВЯХ РОДА  
*DENDROBAENA* (OLIGOCHAETA, LUMBRICIDAE)**

(Представлено членом-корреспондентом Академии Б. Е. Курашвили 18.12.1987)

Почти половина зарегистрированных на Кавказе дождевых червей относится к роду *Dendrobaena* Eisen, 1874 emend. Pop, 1941 [1]. Кроме того, Пижл [2] описал новый вид дождевого червя *Dendrobaena baksanensis* Pižl, 1964, причем материалом послужили черви (7 экземпляров), добытые в июне 1982 года в Джанхотеко (Баксанская ущелье, Кабардино-Балкарская АССР) Обухом (I. Obuch).

Изучение дождевых червей из типичного местонахождения и анализ литературных данных показали, что *D. baksanensis* не является самостоятельным видом и его можно идентифицировать как *D. schmidti colchica* Kvavadze, 1985. Многие признаки у *D. baksanensis* и *D. schmidti colchica* совпадают. Это особенно касается положения пояска и пубергатных валиков. Вместе с тем, наблюдаются ощутимые различия. В частности, по Пижлу, у *D. baksanensis* семеприемники открываются на линии щетинок с, что явно не соответствует истине. У всех дождевых червей из Джанхотеко семеприемники открываются в межсегментные бороздки 9/10, 10/11 ниже линии щетинок d. Расстояние от отверстий до семеприемников до линии щетинок d. 0,09—0,12 мм, а расстояние от отверстий семеприемников до линии щетинок с 1,50—1,60 мм. Такое же положение пор семеприемников характерно для *D. schmidti colchica*.

Для *D. baksanensis* автор указал сосисковидные нефридиальные пузыри. Дождевые черви из Джанхотеко в предпоясовой части имеют сосисковидные нефридиальные пузыри, а в постпоясовой части—бисквитовидные и двуветвистые (рис. 1). Аналогичные формы нефридиальных пузырей характерны для *D. schmidti colchica*.

Исходя из вышеизложенного можно заключить, что *D. baksanensis* Pižl, 1984 является синонимом *D. schmidti colchica* Kvavadze, 1985.

В ущелье р. Сибиста (Чхалтинский хребет, Абхазия) был обнаружен новый вид дождевого червя из рода *Dendrobaena*, описание и дифференциальный диагноз которого приводятся ниже.

*Dendrobaena verihemiandra* Kvavadze sp. nov.

Длина половозрелых червей 48—73 мм, ширина в области пояска 3,5—4 мм. Число сегментов 97—105. Имеется фиолетово-коричневая пигментация в предпоясовой части тела, в постпоясовой части пигментирована только дорсальная сторона. Боковые стороны 9—12 сегментов депигментированы. Спинные поры начинаются с межсегментной бороздки 5/6. Щетинки не сближены попарно, за пояском aa:ab:bc:cd:dd=27:15:22:14:34. Щетинки ab 10, 11, 16, 29—32 сегментов половые, граненные и заостренные (рис. 2) и расположены на па-

пиллах. Двигательные щетинки от 2 до последнего сегмента имеют продольные ямочки (рис. 4). Женские половые отверстия на 14 сегменте выше щетинок b, расстояние от щетинок b до женских половых



Рис. 1. Нефридиальный пузырь *D. baksanens* Pilki 1984 (СЭМ×100)



Рис. 2. Половая щетинка *D. verihemianae* sp. nov. (СЭМ×1000)



Рис. 3. Поясок *D. verihemiandra* sp. nov. (СЭМ×50)

отверстий 0,12—0,15 мм. Мужские половые отверстия на 15 сегменте, железистые поля переходят на соседние сегменты. Расстояние от щетинок b до мужских половых отверстий 0,70—0,85 мм, а расстояние от мужских половых отверстий до линии щетинок c—0,45—0,60 мм. Поясок занимает 26—32 сегмента. Пубертатные валики расположены

на 30—31 сегментах (рис. 3). Две пары семенных пузырьков расположены в 9, 11 сегментах. У четырех экземпляров из 15 имеется только одна пара семенных пузырьков в 11 сегменте. Семеприемники находятся в 9,10 сегментах, их протоки открываются в межсегментных бороздках 9/10, 10/11 выше линии щетинок d. Расстояние от отверстия семеприемников до линии щетинок d 0,75—0,95 мм. На межсег-



Рис. 4. Двигательная щетинка *D. verihemiandra* sp. nov. (СЭМ×2500)

ментной бороздке 9/10 расстояние между отверстиями семеприемников 1,00—1,05 мм, а на межсегментной бороздке 10/11—1,30—2,00 мм. Имеется только по одной паре семеприемников и семенных воронок в 11 сегменте. Сумковидные сперматофоры расположены на 27 сегменте. Нефридиальные пузыри бисквитовидные. Нефридиопоры находятся выше щетинок b, расстояние от линии щетинок b до нефридиопор 0,13—0,15 мм. Известковые железы находятся в 11—12 сегментах. Тифлозол оканчивается в 67—80 сегментах. Зандия занимает от 13 до 19 сегментов. Продольная мускулатура перистого типа.

**Дифференциальный диагноз.** Описанный вид близок к *Dendrobaena matissonica* Kvavadze, 1985 [3], от которого, однако, отличается формой сперматофоров и половых щетинок, положением пор семеприемников и строением половой системы. У нового вида, в отличие от *D. matissonica*, развита только одна пара семеников и семенных воронок и в связи с этим имеются две пары семенных мешков в 9,11 сегментах.

**Место обнаружения.** Голотип — ущелье р. Сибиста (Чхалинский хребет, Гульрипшский район, Абхазия), паратипы — Чхалинский хребет, 1600—1800 м. н. у. м., 14 половозрелых экземпляров. август 1984 г. (сборы Э. Ш. Квавадзе).

Голотип и паратипы описанного вида хранятся в Институте зоологии АН ГССР.

Академия наук Грузинской ССР  
 Институт зоологии

(Поступило 18.12.1987)

0. კვავაძე, რ. ფაციაშვილი, ლ. სულაძე

ახალი მონაცემები DENDROBAENA-ს გვარის პიაცილების  
 (OLIGOCHAETA, LUMBRICIDAE)

რეზოუზი

ნაჩვენებია, რომ *Dendrobaena baksanensis* Pizl, 1964 არ წარმოადგენს და-  
 მოუკიდებელ სახეობას და იგი შეყვნილია *D. schmidti colchica*-ს სინონიმში. ნაშ-  
 რომში აღწერილია აგრეთვე ჭიათულის ახალი სახეობა *Dendrobaena verihemiandra*  
 sp. nov. რომლის სიგრძეა 48—73 მმ, სიგანე 3,5—4 მმ, სეგმენტთა რაოდენობა  
 97—105. ჯაგრების განლაგება სარტყლის შემდეგ ასეთია: aa: ab: bc: cd: dd =  
 27: 15: 22: 14: 34. სარტყელი მოთავსებულია 26—32, ხოლო სასქესო მუთაქები  
 30—31 სეგმენტებზე. სათესლე ბუშტუკები 9 და 11 სეგმენტებშია. თესლმიმღებები  
 იქსნებიან 9/10, 10/11 სეგმენტშირის ღარებზე დ ჯაგრების ხაზის ზევით.

ZOOLOGY

E. Sh. KVAVADZE, R. A. PATSIASHVILI, L. F. SULADZE

NEW DATA ABOUT EARTHWORMS OF THE GENUS *DENDROBAENA*  
 (OLIGOCHAETA, LUMBRICIDAE)

Summary

It is shown that the species *Dendrobaena baksanensis* Pirl, 1984 is the synonym of *D. schmidti colchica* Kvavadze, 1985. Also a new species of earthworm *Dendrobaena verihemiandra* sp. nov. from the genus *Dendrobaena* is described. Its length is 48—73 mm, width is 3,5—4mm. The number of segments amounts to 97—105. Setae are not brought together, aa:ab:bc:cd:dd= 27:15:22:14:34. Clitellum is on segments 26—32. Tuberula pubertatis are in segments 30—31. Two pairs of seminal vesicles are in segments 9 and 11. Spermathecae are in segments 9,10 opening into the intersegmental grooves 9/10 and 10/11 above the setae d line.

ლიტერატურა — ЛИТЕРАТУРА — REFERENCES

1. Э. Ш. Квавадзе. Дождевые черви (Lumbricidae) Кавказа. Тбилиси, 1985, 3—236.
2. V. Pizl. Vest. cs. Spolec. zool. 48, 1984, 115—117.
3. Э. Ш. Квавадзе. Сообщения АН ГССР, 114, № 2, 421—423.

ЦИТОЛОГИЯ

М. Д. КАЛАТОЗИШВИЛИ

ИЗМЕНЕНИЕ КОЛИЧЕСТВА ЦИТОПЛАЗМАТИЧЕСКОЙ РНК  
В НЕЙРОНАХ МОТОРНОЙ КОРЫ И ХВОСТАТЫХ ЯДЕР  
ГОЛОВНОГО МОЗГА КРЫС ПРИ ГИПОКИНЕЗИИ

(Представлено членом-корреспондентом Академии Т. И. Деканосидзе 20.5.1988)

Проблема ранней диагностики и профилактики различных патологических состояний организма является одной из ведущих медицинских проблем. В этом плане особый интерес представляет изучение неблагоприятного влияния длительного ограничения двигательной активности — гипокинезии, поскольку она часто является фоном, на котором развивается ряд функциональных и органических заболеваний [1—3]. В частности, известно, что в первые дни двигательная активность подопытных животных, несмотря на резкие ограничения локомоции, может быть даже повышенна. Они возбуждены и агрессивны. Только постепенно, через 7—10 дней, наступает период уменьшения активности, животное успокаивается и попытки освободиться резко снижаются. В это время и наступает период, необходимый для исследований гипокинезии [4—6].

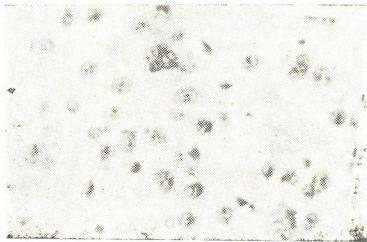


Рис. 1. Нейроны хвостатого ядра головного мозга крысы  
при гипокенезии

Известно, что в этот период патологический процесс охватывает важнейшие функциональные системы организма и сопровождается изменениями физико-химических свойств белков, нуклеиновых кислот и медиаторных веществ. Вместе с тем, показано количественное изменение РНК, в частности ее количественное увеличение при гипокинезии [7—10].

Исходя из этого представляло интерес определение количества цитоплазматических РНК в нейронах моторной коры и хвостатых ядер головного мозга крыс при гипокинезии.

Эксперименты проведены на четырех взрослых крысах. Контролем служили соответствующие зоны больших полушарий головного мозга интактных животных.

Крысы находились 40 дней в условиях ограниченной двигательной активности. Камера, в которую их помещали, была разделена на секторы высотой 8 см, длиной 10 см.



Рис. 2. Нейроны моторной коры головного мозга крысы при гипоксии

Парафиновые срезы толщиной 4—5 мкм, приготовленные из кусочков, фиксированных в жидкости Карниа, подвергались реакции Эйнарсона для выявления РНК. С целью выявления гистологических изменений применены метод Нисселя и обзорные методы исследования.

Результаты гистологических исследований показывают, что по истечении 40 суток после помещения животных в камеру в коре больших полушарий головного мозга, как и в хвостатом ядре, отмечается полнокровие сосудов со стазом крови в них. В клетках II, III слоев моторной коры наблюдаются явления гиперхромолиза тел нейроцитов, нередко со сморщиванием и извилистостью отростков. В клетках названных слоев, а также IV, VI VII слоев, нередко и в больших пирамидных клетках V слоя встречается неравномерное распределение нисслевского вещества при эксцентричном расположении ядер и ядрышек.

В нейроцитах хвостатого тела наблюдаются явления центрально-го и периферического хромотолиза в значительной части нейроцитов со смещением в них ядер к периферии.

Из приведенных данных видно, что гистологические исследования выявляют в нейроцитах моторной коры и хвостатого ядра изменения различной степени тяжести. В моторной коре имеют место изменения, которые развиваются в условиях гипоксии и на 40-е сутки опыта носят обратимый характер. В этот же срок эксперимента в хвостатом ядре степень тяжести изменений нейроцитов выше, чем в нейроцитах моторной коры. При этом в самой коре выявляется ламинарная дифференциация изменений. В нейроцитах II и III слоев степень тяжести изменений выше, чем в нейроцитах нижележащих слоев.

Определение количества РНК производилось на сканирующем цитофотометре SMP-01 фирмы «Оптон». Для сканирования был установлен шаг  $1 \times 1$  мг при площади зонда  $0,785 \text{ mm}^2$ . В каждой группе измерялось по 25 клеток (длина волны 550 мк). В каждой клетке измерялось в среднем от 2000 до 4000 точек. После получения цифровых данных производился обычный пересчет показателей площа-

дей на показатели объема и определялись относительные массы изучаемого вещества в нейронах (табл. 1, 2).

Таблица 1

Изменение количества цитоплазматической РНК в нейронах моторной коры головного мозга крыс при гипокинезии

Крыса	№ 1		№ 2		№ 3		№ 4		№ 5	
	Н.	Гип.								
Мср 1	16,08	6,04	18,32	6,48	17,88	6,04	17,92	6,56	17,72	6,59
Среднеквад. откл.	2,98	1,64	2,51	1,61	3,14	1,58	1,94	1,44	2,15	1,63
№ 1=25										
№ 2=25	48	48	48	48	48	18	48	48	48	48
№=№ 1+№ 2-2=48										
t <sub>теп</sub> =2										
t <sub>таб</sub> =48										
	t=2,94		t=3,96		t=3,26		t=4,67		t=4,13	

Таблица 2

Изменение количества цитоплазматической РНК в нейронах хвостатого ядра крыс при гипокинезии

Крыса	№ 1		№ 2		№ 3		№ 4		№ 5	
	Н.	Гип.	Н.	Гип.	Н.	Гип.	Н.	Гип.	Н.	Гип.
Мср 1	3,24	13,64	9,82	15,56	13,96	18,2	3,24	18,04	2,653	18,04
Среднеквад. откл.	"	"	"	"	2,7	3,91	2,62	12,84	3,539	13,24
№ 1=25										
№ 2=25	48	48	48	48	48	48	48	48	48	48
№=№ 1+№ 2-2=48										
t <sub>теп</sub> =2										
t <sub>таб</sub> =48										
	t=2,93	t=2,93	t=3,26	t=3,26	t=3,26	t=4,05	t=4,05	t=5,5	t=3,6	t=3,2

Результаты цитофотометрии показывают, что при гипоксических повреждениях нейроцитов в моторной коре усилен расход РНК, при более тяжелом повреждении нейроцитов, имеющимся в хвостатом ядре, происходит депозит неизрасходованных РНК.

На основе проведенных исследований можно сделать заключение, что в функционально сопряженных друг с другом отделах нервной системы, находящихся на разных уровнях филогенетического развития, при гипокинезии развиваются изменения различной степени тяжести, отражающие компенсаторную функцию высшего отдела нервной системы.

Академия наук Грузинской ССР

Институт физиологии  
им. И. С. Бериташвили

(Получено 3.6.1988)

## 8. კალათოზიშვილი

ვირთაგვის თავის ტვინის მოტორული ძერძისა და კუდიანი გიროვის ნირონების ციტოპლაზმური რეა-ის რაოდენობითი ცვლილება ჰიპოკინეზის დროს

## რეზიუმე

ჩატარებული გამოკვლევების საფუძველზე შეიძლება გამოვიტანოთ დასკვნა, რომ ჰიპოკინეზის დროს ფუნქციურად ერთმანეთთან შერწყმული ფილოგენეზურად განვითარების სხვადასხვა დონეზე მყოფი ნერვული სისტემის უბნებში ეითარდება სხვადასხვა სიმძმის ცვლილებები, რაც ასახუს ნერვული სისტემის უმაღლესი დონის კომპენსატორული ფუნქციის შესაძლებლებებს.

## CYTOLOGY

M. D. KALATOZISHVILI

## ALTERATION OF CYTOPLASMIC RNA AMOUNT IN THE NEURONS OF THE RAT'S MOTOR CORTEX AND CAUDATE NUCLEI DURING HYPOKINESIA

## Summary

The alteration of the amount of cytoplasmic RNA in the neurons of the rat's motor cortex and caudate nuclei was studied during hypokinesia. To reveal RNA the sections were stained by Einerson. Quantitative determination was made on the scanning cytophotometer "SMP-OI" of the "Opton" firm.

The results of the investigation enable to assume that during hypokinesia, in those areas of the nervous system that are functionally interrelated and are at different levels of phylogenetic development, the alterations reflecting a compensatory function of higher regions of the nervous system were observed to develop with different degrees of heaviness.

## ლიტერატურა — REFERENCES

1. З. И. Барбашова, О. И. Тараканова. Физиол. ж. СССР им. Сеченова, т. 60, № 3, 1974, 434—440.
2. Н. Г. Журавлева, Л. Р. Земкова. Физиология человека, т. 3, № 1, 1977, 144—149.
3. В. В. Васильева, Е. Н. Кораблева. Теория и практика физкультуры, № 10, 1979, 34—36.
4. В. А. Брумберг, Л. З. Певзнер. Цитология, 10, 1966, 1452—1459.
5. З. Б. Георгиу. Сб. «Стресс и адаптация». Кишинев, 1978, 296—299.
6. А. В. Горбунова. В кн.: «Актуальные проблемы космической биологии и медицины». М., 1971, 76—80.
7. А. В. Горбунова. Цитология, 13, № 1, 1971, 83—87.
8. Т. Е. Корнеева, О. С. Меркулова. ДАН ГССР, 258, № 1, 1981, 247—249.
9. Л. М. Мамалига. Косм. биол. и авиакосм. мед., т. 19, № 5, 1976, 49—53.
10. Ю. В. Николаенков. Гипокинезия. Иваново, 1978.



## ЭКСПЕРИМЕНТАЛЬНАЯ МЕДИЦИНА

Н. Я. ПОЛЯНКО

### ФУНКЦИОНАЛЬНЫЕ И СТРУКТУРНЫЕ ИЗМЕНЕНИЯ В СИСТЕМЕ РЕГУЛЯЦИИ АГРЕГАТНОГО СОСТОЯНИЯ КРОВИ (РАСК) В ФОРМЕ ТРОМБОГЕМОРРАГИЧЕСКОГО СИНДРОМА (ТГС) ПРИ ЭКСПЕРИМЕНТАЛЬНОМ АМЕБИАЗЕ

(Представлено академиком О. Н. Гудушаури 10.2.1987)

Здоровым лабораторным животным (120 морских свинок и 20 кроликов) вводили по 2 мл взвеси культуры живых амеб *Entamoeba histolytica* в среде Павлова одномоментно через рот и прямую кишку. Возраст морских свинок — 4 месяца, кроликов — 9 месяцев. Изменений в общем состоянии подопытных животных и в свертывающей активности крови не выявлено. На 20-й день всем морским свинкам были произведены лапаротомия и ревизия органов брюшной полости. Визуально изменений во внутренних органах не обнаружено. На 40-й день животные были забиты. Макроскопическим и гистологическим исследованием внутренних органов патологии не отмечено.

Таким образом, введением взвеси амеб через рот и прямую кишку морским свинкам и кроликам вызвать кишечный амебиаз не удалось. По-видимому, играют роль молодой возраст животных и ихрезистентность к *Entamoeba histolytica*. Эти данные не противоречат сообщениям отдельных авторов [1, 2], вызывавших экспериментальный амебиаз введением культуры живых амеб через рот и прямую кишку у истощенных ослабленных животных на фоне белкового голода и снижения защитных сил организма.

40 кроликам того же возраста (весом 1,8 кг) введено по 2,5 мл той же взвеси культуры живых амеб путем внутрибрюшинной инъекции. На протяжении первых дней в поведении животных появились изменения: в 1-й же день все они стали вялыми, малоподвижными, на 2-й — перестали принимать пищу и воду, а на 3-й — не ели, но воду пили больше, чем обычно. В дальнейшем общее состояние животных нормализовалось. В коагулограмме крови, взятой на 2—4-е сутки после заражения, отмечались повышенное количество фибриногена — до 23—36 мг/мл при норме 15 мг/мл, снижение фибринолитической активности — до 1—12% при норме 13—20%. Спустя 20 дней количество фибриногена упало до нормы — 12—15 мг/мл, активность фибринолиза увеличилась до 28%.

На 40-й день всем кроликам с внутрибрюшинным заражением произведена лапаротомия с ревизией органов брюшной полости. В местах введения культуры амеб с внутренней стороны брюшной стенки обнаружены небольшие осумкованные полости диаметром 0,5—0,8 см, содержащие немного прозрачной густоватой жидкости, при микроскопии которой в одном случае найдены подвижные амебы. Визуально изменений во внутренних органах нет. Операционная рана зашита.

В ответ на внутрибрюшинное введение взвеси амеб кроликам отмечались и функциональные изменения в системе РАСК. Так, в первые 2—4 суток наблюдалась повышенное количество фибриногена в плазме и снижение фибринолитической активности. В последующие дни количество фибриногена падало, а фибринолиз увеличивался.

Это можно было трактовать как переход I гиперкоагуляционной стадии тромбогеморрагического синдрома во II — коагулопатию потребления [3—8].

На 60-е сутки у тех же кроликов отмечались снижение уровня фибриногена до 10 мг/мл и падение фибринолитической активности до 6%. Структурных изменений во внутренних органах обнаружить не удалось, т. е. генерализации прогресса не произошло.

Учитывая полученные результаты функционального лабораторного обследования, с целью предупреждения развития тромбогеморрагического синдрома на органно-тканевом уровне считаем необходимым рекомендовать лечение гепарином неспецифических проявлений в комплексе с этиотропным лечением амебиаза.

Тбилисский окружной  
военный госпиталь  
им. З. П. Соловьева

(Поступило 5.11.1987)

052801000000000 00000000

#### 6. АМЕБИАЗ

ЧУНДЦООБАЛУРД და სტრუქტურული ცვლილებები თრომბომ-ჰემორაგიული სინდრომის სახით მჩსელი მიზანით ამაგისას დროს

#### რეზიუმე

120 ზღვის გოჭვა და 20 კურდლელს პირიდან და სწორი ნაწლავიდან შეუყვანეს 2—2 მლ. ცოცხალი დიზენტერიული ამება პავლოვის გარემოდან და გამოიკვლეის მათი შინაგანი ორგანოები 40 დღის შემდეგ. პათოლოგია არ იღმოჩნდა.

მუცულის შიდა კედელში 2—2 მლ. ცოცხალი ამების შემდეგ 40 კურდლელს პირველი 2—4 დღე-ლიმის განმავლობაში მოემარტა ფიბრინოგენის რაოდენობა სისხლის პლაზმაში და დაუძვევითდა ფიბრინოლიზტური ქეტი-ვობა. ეს შეესაბამება თჲს-ის I — პიპერკორაგულაციის — სტადიას. შემდეგ ფიბრინოგენის რაოდენობა დაუცა, ფიბრინოლიზმა მოიმარტა, რაც ნიშნავს პროცესის II სტადიაში — ხარჯვით კოაგულობათაში — გადასვლას.

ორგანოებისა და ქსოვილების დონეზე თჲს-ის პროფილაქტიკისათვის ნაჩვენებია, ამებიაზის ეთიოტროპულ მკურნალობასთან ერთად, არასპეციფიური გამოვლინებების მკურნალობა პეპარინით.

#### EXPERIMENTAL MEDICINE

N. I. POLYANKO

#### FUNCTIONAL AND STRUCTURAL CHANGES IN THE BLOOD AGGREGATE STATUS REGULATION SYSTEMS IN THE FORM OF THROMBOHAEMORRHAGIC SYNDROME (THS) AT EXPERIMENTAL AMEBIASIS

#### Summary

2 ml suspensions of living dysenteric amebas in the Pavlov medium were administered per os and per anum to 120 guinea pigs and 20 rabbits

with a subsequent investigation of their internal organs at the 40-th day. No pathology has been observed.

Intraperitoneal administration of living amebas to 40 rabbits caused an increase in the amount of fibrinogen at the first 2—4 days and a decline of fibrinolytic activity of plasma, which was estimated as the first stage of the process—hypercoagulation; then the amount of fibrinogen decreased and fibrinolytic activity increased, pointing to the translocation of the process to the second stage—consumption coagulopathy.

For the prophylaxis of the THS at the organ-tissue level it is advisable to treat nonspecific manifestations with heparine in parallel with the etiotropic treatment of amebiasis.

#### ЛІТЕРАТУРА — REFERENCES

1. М. А. Саркисян. Мед. паразитол., № 6, 1967, 715—721.
2. И. Э. Шахназарова. Мед. паразитол., № 4, 1960, 447—449.
3. З. С. Баркаган. Пат. физиол. и эксп. тер., № 2, 1980, 48—54.
4. Д. М. Зубаиров. Тромбогеморрагический синдром при менингококковой инфекции. Казань, 1985.
5. Т. В. Жернакова. Геморрагический синдром при инфекционных заболеваниях. Л., 1984.
6. М. С. Мачабели. Коагулопатические синдромы. М., 1970.
7. М. И. Ращинский. Тер. арх., № 6, 1984, 103—106.
8. В. Г. Бочоришвили. Тез. докл. на II Всесоюзном съезде гематологов и трансфузиологов. Львов, 1985, 461.



ЭКСПЕРИМЕНТАЛЬНАЯ МЕДИЦИНА

А. В. ПИРЦХАЛАВА

ОТСРОЧЕННАЯ РЕАКЦИЯ ОСТРОГО ОТРАВЛЕНИЯ  
ОРГАНИЗМА ХЛОРОФОСОМ

(Представлено академиком Т. К. Иоселиани 16.5.1988)

Действие фосфорорганических соединений (ФОС) на организм является краеугольным камнем в токсикологии.

Несмотря на наличие обширной литературы о воздействии на организм, ряд важных вопросов все еще требует дальнейшего изучения.

В литературе недостаточно освещены отдаленные реакции острых отравлений ФОС, которые могут проявиться через несколько месяцев и даже через год после отравления не только в виде общетоксического воздействия на организм, но и влияния на специфические функции.

Работы, касающиеся влияния ФОС на организм [1—5], в основном непосредственного токсического влияния на его метаболизм, не могут пролить свет на вопросы опасности проявления патологических реакций в более отдаленные периоды после воздействия ФОС, в том числе хлорофоса.

С учетом изложенного нами поставлена задача осветить некоторые вопросы, связанные с вредным воздействием хлорофоса через 1, 2, 3, 4 и более месяцев.

Экспериментальные исследования проведены на белых крысах, подвергшихся воздействию хлорофоса однократно в максимально переносимой дозе — 250 мг/кг.

Критерием для оценки полученных данных служили общее состояние животных, морфологический состав периферической крови (содержание гемоглобина, количество эритроцитов и лейкоцитов и СОЭ), процент сахара в крови, активность аспартат-, аланинтрансфераз и холинэстеразы, уровень общего белка в сыворотке крови и холестерина в крови, продолжительность эстрального цикла.

В настоящей статье приводятся данные исследований животных через 3 месяца после отравления.

Проведенные исследования показали, что у животных через 6 месяцев после отравления внешние признаки поражения организма не наблюдается, на внешние раздражители они реагируют нормально, нишу принимают охотно.

Содержание гемоглобина в крови по сравнению с контрольными животными увеличивается, достигая  $168,5 \pm 7,14$  г/л (контроль  $150,2 \pm 4,2$  г/л) (табл. 1), количество эритроцитов также увеличивается, достигая  $6,28 \pm 0,48$  ( $10^{12}$  г/л) против  $5,6 \pm 0,72$  ( $10^{12}$  г/л) в контроле, число лейкоцитов снижается до  $6,2 \pm 0,75$  ( $10^9$  г/л) против  $7,9 \pm 0,95$  ( $10^9$  г/л) в контроле, СОЭ находится в пределах контроля. Не претерпевает достоверных изменений содержание сахара в крови, хотя оно несколько увеличено — до  $95,4 \pm 2,16\%$  против  $89,07 \pm 5,16\%$  в контроле. Активность аланинтрансферазы резко увеличивается — до  $4,15 \pm 0,72$  мк/моль/ч/мл против  $0,7 \pm 0,05$  мк/моль/ч/мл в контроле, тогда как активность аспартаттрансферазы увеличивается более чем в 2,5 раза, достигая  $0,98 \pm 0,11$  мк/моль/ч/мл против  $0,35 \pm 0,15$  мк/моль/ч/мл в контроле. Активность холинэстеразы не претерпевает до-

Динамика изменений некоторых показателей общего состояния белых крыс при однократном воздействии хлорофоса на организм в дозе 250 мг/кг (МПЛ)

Сроки исследований	Нв в пер. кр., г/л	Эр. в пер. кр., 10 <sup>12</sup> г/л	Лейк. в пер. кр., 10 <sup>9</sup> г/л	СОЭ в пер. кр., мм/ч	Содержание сахара в кр., %	Активность АЛТ в сыв. кр., мкмоль/ч/мл	Активность АСТ в сыв. кр., мкмоль/ч/мл	Активность ХЭ в сыв. кр., мкмоль/ч/мл	Общий белок в сыв. кр., г/л	Холестерин в кр., ммоль/л
3-й месяц	176,4±8,16 P<0,05	6,28±0,48	6,2±0,73	5,4±0,51	95,4±2,16	4,15±0,72 P<0,001	0,98±0,11 P<0,01	65,88±1,4	76,4±3,16	2,5±0,7
Контроль	150,2±4,2	5,6±0,72	7,9±0,96	5,3±0,7	89,0±5,16	0,7±0,05	0,35±0,15	72,16±2,16	77,9±4,16	3,20±0,7

Таблица 2

Показатели эстрального цикла и отдельных стадий белых крыс, отравленных однократно хлорофосом (доза 250 мг/кг), на 3-м месяце после отравления

Доза воздействия	Продолжительность цикла, дни	Продолжительность стадии диэструса, дни	Продолжительность стадии проэструса, дни	Продолжительность стадии эструса, дни	Продолжительность стадии метаэструса, дни
250 мг/кг	6,4±1,45	1,6±0,29 0,05	0,67±0,17	0,97±0,19	3,12±0,27
Контроль n=8	5,3±0,9 0,65	0,9±0,1 2,33	0,4±0,02 1,59	0,8±0,02 0,89	3,2±1,0 1,03

стоверных изменений, составляя  $65,88 \pm 1,4$  мк/моль/ч/мл против  $72,16 \pm 2,16$  мк/моль/ч/мл в контроле. Не меняется также содержание общего белка в сыворотке крови ( $76,4 \pm 3,16$  г/л против  $77,9 \pm 4,16$  г/л в контроле) и холестерина в крови ( $2,50 \pm 0,7$  ммоль/л против  $3,20 \pm 0,7$  ммоль/л в контроле).

Результаты изучения хода эстрального цикла показали, что, хотя продолжительность цикла не претерпевает изменений, тем не менее наблюдается тенденция увеличения продолжительности стадии проэструса до  $0,67 \pm 0,17$  дня против  $0,4 \pm 0,02$  дня в контроле и достоверно увеличивается продолжительность стадии диэструса — до  $1,6 \pm 0,29$  дня против  $0,9 \pm 0,1$  дня в контроле (табл. 2).

Результаты проведенных исследований указывают на достоверное увеличение активации гемопоэза красного ростка костного мозга и постепенное подавление функции белого ростка. На поражение паренхиматозных органов указывают данные активности трансаминаз. Нормальное содержание общего белка и холестерина свидетельствует об относительной устойчивости обменных процессов в организме.

Таким образом, на основании полученных данных можно сделать следующие выводы: на 3-м месяце после отравления хлорофосом чувствительными показателями поражения организма можно считать морфологический состав периферической крови и активность трансфераз; после острого отравления хлорофосом в более отдаленные периоды наблюдается угнетающее воздействие на гонады самок крыс, проявляющееся в удлинении пассивных стадий эстрального цикла.

НИИ гигиены труда

и профзаболеваний

им. Н. И. Махвиладзе

(Поступило 16.5.1988)

მართლიანობის მინისტრი

ა. ფირხალავა

მდოროვოსით ორგანიზმის მფავავი მოწავლის დაყოვნისული

რჩაბისა

რეზიუმე

სტატიაში მოყვანილია მანაცემები იმ გამოკვლევებისა, რომელიც ჩაუტარდათ ცხოველებს ქლოროფოსით მოწამელიდან 3 თვეს შემდეგ.

ქლოროფოსით მოწამელიდან მესამე თვეზე ორგანიზმის დაზიანების მგრძნობიარე მაჩვენებლებად შეიძლება ჩაითვალოს პერიფერიული სისხლის მორფოლოგიური შედგენილობა და ტრანსფერაზის აქტიურობა.

შორეულ პერიოდებში შეიმჩნეოდა დედა კირთხების გონადებზე დამათხუნებელი მოქმედება, რაც გამოიხატებოდა ესტრალური ციკლის პასიური სტადიების გაგრძელებაში.

## EXPERIMENTAL MEDICINE

A. V. PIRTSKHALAVA

### THE DELAYED REACTION OF ACUTE POISONING OF THE ORGANISM WITH CHLOROPHOS

Summary

The paper presents the results of a study performed on animals following three months after poisoning with chlorophos. Morphological composition of the peripheral blood and transferase activity can be considered as sensitive indicators of the organism injury.

## ЛІТЕРАТУРА — REFERENCES

1. Ю. С. Каган. Токсикология фосфорорганических пестицидов. М., 1977, 5—7.
2. Е. Н. Буркацкая, А. В. Кузьменко. Сб. «Гигиена и токсикология пестицидов и клиника отравлений», вып. 4. Киев, 1966, 133—137.
3. Ю. С. Каган. Общая токсикология пестицидов. Киев, 1981, 55—54.
4. А. И. Куриенный, М. А. Пилинская. Исследование пестицидов как мутагенов внешней среды. Киев, 1976.
5. З. Д. Златев. Токсичность и комбинированное действие некоторых смесей фосфорорганических и динитрофенольных акарицидов, вып. II. М., 1976, 118—120.



## ЭКСПЕРИМЕНТАЛЬНАЯ МЕДИЦИНА

И. Ш. НАДИРАДЗЕ, А. Р. ЦАЛУГЕЛАШВИЛИ

### КОРРЕКЦИЯ КОАГУЛЯЦИОННОЛИТИЧЕСКИХ НАРУШЕНИЙ У ОПЕРИРОВАННЫХ ОНКОЛОГИЧЕСКИХ БОЛЬНЫХ С ИСПОЛЬЗОВАНИЕМ УСТРОЙСТВА ДЛЯ МОНИТОРНОЙ ИНФУЗИИ ГЕПАРИНА

(Представлено академиком О. Н. Гудушаури 10.7.1988)

За последнее десятилетие появились работы, подтверждающие существование у онкологических больных расстройств в системе гемостаза в виде диссеминированного внутрисосудистого свертывания (ДВС) крови, в основном хронических компенсированных и субкомпенсированных его форм [1]. Не вызывает сомнений, что первопричиной гемокоагуляционных нарушений при злокачественных новообразованиях является высокая тромбопластическая активность опухолевых клеток, «запускающая» клеточно-тканевые реакции тромбогеморрагического синдрома (ТГС) и приводящая сначала к внесосудистым (субклеточное, клеточное и межклеточное свертывание), а затем и внутрисосудистым расстройствам коагуляционно-лигатической системы организма (КСО) — ДВС (II—III стадии ТГС) [2—4].

Особую роль играют нарушения КСО у оперированных онкологических больных. Хирургическое вмешательство, выполняемое на таком неблагоприятном коагуляционно-лигатическом фоне, какой имеется при злокачественных опухолях, и сопровождающееся высвобождением больших количеств «наводняющего» кровоток тканевого тромбопластина, резко повышает риск возникновения тромбогеморрагий. Создавая фактически патогенез болезни, расстройства КСО, усугубляющиеся в связи с операцией, представляют собой важнейшее звено в развитии послеоперационных сердечно-сосудистых, легочных, печеночных, почечных и других макро- и микроциркуляторных осложнений [5].

Единственное на сегодняшний день патогенетически обоснованное эффективное средство коррекции ТГС — это гепарин, однако ни один из существующих способов его введения не лишен определенных недостатков, основным из которых является невозможность достижения постоянной концентрации антикоагулянта в крови [6]. Подкожное и особенно внутримышечное дробное введение сопряжено с риском развития местных гематом; однократная внутривенная инъекция, хотя и позволяет получить наиболее быстрый (но кратковременный!) и воспроизводимый эффект, в ряде случаев осложняется так называемой «рикошетной» гиперкоагуляцией; при внутривенном капельном вливании не представляется возможным вводить требуемую дозу гепарина круглосуточно в малых объемах растворителя, нарушаются непрерывность и равномерность круглосуточного введения гепарина.

С целью устранения недостатков дробной и внутривенной капельной гепаринизации нами сконструировано устройство для мониторной инфузии гепарина (УДМИГ), позволяющее осуществлять непрерывное круглосуточное равномерное микроструйное внутривенное мониторное введение гепарина в малых объемах растворителя [7].

УДМИГ апробировано при коррекции послеоперационных тромбогеморрагических осложнений у 28 больных (18 мужчин и 10 женщин) раком пищевода (16 чел.) и проксимального отдела желудка

(12 чел.), которым выполнены соответствующие радикальные операции: при раке средней трети пищевода (9 чел.) — экстирпация грудного отдела пищевода с замещением целым желудком в средостении, при раке нижней трети (7 чел.) — резекция нижней трети пищевода и верхней трети желудка левосторонним торако-абдоминальным доступом (проксимальная резекция желудка), при раке проксимального отдела желудка — проксимальная резекция (I группа).

II группу составили 35 больных (22 мужчин и 13 женщин) раком пищевода (21 чел.) и проксимального отдела желудка (14 чел.), у которых коррекция послеоперационных тромбогеморрагических осложнений проводилась дробной подкожной и капельной внутривенной гепаринизацией. Больным были выполнены аналогичные основной группе операции: 13 пациентам — экстирпация грудного отдела пищевода с замещением целым желудков в средостении, 22 — проксимальная резекция желудка.

II группа не отличалась в целом от основной ни по возрастному, ни по весовому составу.

Сопутствующие заболевания (в подавляющем большинстве случаев хроническая ишемическая болезнь сердца — ХИБС, атеросклеротический кардиосклероз, гипертоническая болезнь) имелись у 20 больных: у 9 — в I группе и у 11 — во II.

Больные обеих групп в послеоперационном периоде получали практически одинаковые в количественном и качественном отношении дезинтоксикационные, кровезамещающие, улучшающие реологию крови растворы и дезагреганты.

Гепаринотерапия контролировалась клинически, анализом мочи на неизмененные эритроциты и коагулографией. Последняя включала, помимо традиционных, широко распространенных хронометрических показателей свертывания, тесты-маркеры ДВС, позволяющие выявлять растворимые комплексы мономеров фибринова (РКМФ) и фибрин-деградационные продукты (ФДП), а также определение активности антитромбина III. Контроль эффективности гепаринотерапии осуществлялся бульбарной биомикроскопией, выполняемой при помощи специально приспособленной нами к штативу рентгеноаппарата «Арман-І» оптической части щелевой лампы ЩЛ-56 [8]. Состояние микроциркуляторного кровотока оценивалось по обнаружению стойкого феномена внутрисосудистой агрегации клеточных элементов крови I, II и III степеней.

Результаты проведенных наблюдений выявили существенные преимущества непрерывной круглосуточной равномерной внутривенной микротрубкой мониторной гепаринизации перед дробной подкожной и внутривенной капельной. В I группе отсутствовали какие-либо геморрагические и гиперкоагуляционные осложнения, в то время как у двух больных II группы развились подкожные кровоизлияния в местах инъекций (правда, связанные, как выяснилось, с техническими погрешностями), а у 9 — «рикошетная» гиперкоагуляция с микротромбозами, вынуждавшая повышать суточную дозу гепарина. Шестерых из последних спасти не удалось, причем один больной погиб от тромбоэмболии легочной артерии (ТЭЛА). В I группе умерло двое больных: в одном случае в считанные часы развился острый ТГС с выраженной коагулопатией потребления и характерной клинической картиной (острая почечная недостаточность, печеночная недостаточность, «шоковое» легкое, множественные кожные геморрагии и т. д.), в другом — удовлетворительно текущий в целом послеоперационный период внезапно был значительно осложнен несостоятельностью анастомоза, медиастинитом и эмпиемой плевры.

Очень важным представляется то обстоятельство, что клинико-коагуло-биомикроскопическая картина при непрерывной круглосуточ-

ной гепаринизации нормализовывалась в среднем на 3—5 суток раньше, чем при капельной и дробной. Это соответственно позволяло на несколько дней раньше снимать гепарин. Кроме того, для достижения желаемого клинического эффекта и поддержания стабильного коагулологического статуса суточную дозу гепарина в I группе представлялось возможным снижать в сравнении со II на 10 000—15 000 ЕД.

Онкологический научный центр  
МЗ Г ССР

(Поступило 2.9.1988)

მისამართი გადახილი

ი. ნადირაძე, ა. ცალუელაშვილი

ოკერირებული მნიშვნელობის ავადმყოფების  
კონტრაციურლიზაციის დარღვევების კორექცია ვეპარინის  
მონიტორული ინფუზის ხალსაჭყოს გამოყენებით

რეზიუმე

საყლაბავისა და კუჭის პროცესიმაღლური ნაწილის კიბოთი დაავადებულთა 28 ფადეტიულის ოპერაციის შემდგომი თრომბოკემორაგიული გართულებების კორექციის მიზნით აპრობირებული იყო ჰეპარინის მცირე დოზების შწყვეტი დღემდებური თანაბარი მიკრონაკალური ინტრავენური მონიტორული შეყვანის ხელსაწყო. დადგენილია, რომ აღნიშნულ მეთოდს აქვთ არსებოთი უპირატესობა წილადობრივ კანქეშა და წვეოთვან ინტრავენურ ჰეპარინიზაციისთვის შედარებით, რაც დასტურდება ჰემორაგიული და „რიკოშეტული“ ჰიპერკოაგულაციური გართულებების არ არსებობით, კლინიკურ-კოაგულოლოგიურ-ბიომიკროსკოპული სურათის უფრო სწრაფი ნორმალიზაციითა და ჰეპარინის დღემდებური დოზის შემცირებით.

#### EXPERIMENTAL MEDICINE

I. Sh. NADIRADZE, A. R. TSALUGELASHVILI

CORRECTION OF POSTOPERATIVE COAGULOLYTICAL DISORDERS  
IN CANCER PATIENTS WITH THE USE OF THE ARRANGEMENT  
FOR MONITOR INFUSION OF HEPARIN

#### Summary

The arrangement for intravascular monitor infusion of heparin in small volumes has been examined in 28 patients with cancer of the oesophagus and the proximal part of the stomach for correction of postoperative thrombohaemorrhagical complications. This arrangement provides continuous twenty-four-hour even microcurrent administration.

The absence of any haemorrhagical and "ricochét" hypercoagulationary complications, normalization of clinico-coagulobiomicroscopical picture and the possibility of reducing a daily dose of heparin for attaining the identi-

cal effect allow to recognize an important advantage of continuous even heparinization over fractional subcutaneous and drop-by-drop intravascular administration.

#### ლიტერატურა — REFERENCES

1. И. Ш. Надирадзе. Автореферат канд. дисс. М., 1984.
2. М. С. Мачабели. Успехи физиологических наук, № 2, 1986, 1—82.
3. Методические рекомендации МЗ СССР «Диссеминированное внутрисосудистое свертывание крови». М., 1981.
4. Л. С. Гизбург. Материалы Всесоюз. конф. «Актуальные проблемы гемостаза в клинической практике». М., 1987, 287—288.
5. И. Ш. Надирадзе. Вестник АМН СССР, № 7, 1985, 58—60.
6. Проспект Министерства медицинской промышленности СССР под редакцией А. И. Шер и С. Е. Васюкова «Раствор гепарина для инъекций», М., 1985, 16.
7. И. Ш. Надирадзе и соавт. Рацпредложение № 3/86 от 24/XII 1986 г., принятое к внедрению ОНЦ МЗ ГССР.
8. И. Ш. Надирадзе и соавт. Рацпредложение № 1/85 от 18/VII 1985 г., принятое к внедрению ОНЦ МЗ ГССР.



## ПАЛЕОБИОЛОГИЯ

В. М. ЧХИКВАДЗЕ

### О СИСТЕМАТИЧЕСКОМ ПОЛОЖЕНИИ ТРЕТИЧНЫХ ГИГАНТСКИХ СУХОПУТНЫХ ЧЕРЕПАХ АЗИИ, ЕВРОПЫ И АФРИКИ

(Представлено академиком Л. К. Габуния 21.12.1987)

Одна из трудных проблем систематики сухопутных черепах — это выяснение филогенетических связей олигоценовых и миоценовых видов гигантских тестудинид Старого Света. Для освещения этой проблемы необходимо прежде всего уточнить систематическое положение некоторых ископаемых видов Азии, Европы и Африки. Обычно большинство этих черепах относится либо к роду *Geochelone* [1—4], либо к *Ergilemys* [2,5], что, как явствует из нижеследующих описаний, недостаточно обосновано.

Семейство Testudinidae

Род *Gigantochersina* gen. nov.

Типовой вид — *Testudo ammon* Andrews, 1903; Египет, Файюм, формация Джебель-Эль-Катрани [6]. Начало олигоцена.

Диагноз. Гигантские сухопутные черепахи с сильно выпуклым куполом карапакса. Цервикальный щиток имеется. Невральных пластинок семь. Формула невральных — 4:8:4:6:6:8:4. Пигальный щиток разделен [3]. Интергулярные щитки слитые и незначительно заходят на энтопластрон. Энтиплаstralная губа сильно вытянута вперед. В остальном строение пластрона лишь в деталях отличается от такого современных *Geochelone sensu latc* и мадагаскарских тестудинид ("Geochelone" *upiphora*, *Asterochelys radiata*).

Сравнение. *Gigantochersina* отличается от подавляющего большинства ископаемых и современных Testudinidae слившимися интергулярными щитками и наличием всего семи невральных пластинок. Это сочетание признаков известно у рода *Chersina* (*Ch. angulata*), а слияние интергулярных щитков — только у "Geochelone" *upiphora* и у некоторых вымерших тестудинид Мадагаскарской области (*Cylindraspis*). Семь невральных пластинок характерно и для родов *Testudo* и *Agionemys*. Однако по другим признакам черепахи этих групп [3,5] весьма значительно отличаются от *Gigantochersina*. Разделенный пигальный щиток [2] исключает возможность родовой идентификации *Chersina* и *Gigantochersina*, хотя они, скорее всего, филогенетически тесно связаны между собой.

Можно думать, что *Gigantochersina* происходит от каких-то неизвестных пока нам тестудинид Азии (? возможно, среднеэоценовая черепаха *Ergilemys vialovi* из Ферганы) [7]. Такой проходrez мог осуществиться не ранее конца эоцена или начала олигоцена, когда на территорию Африки вместе с гиенодонтами и антракотериями проникли своеобразные грызуны,

древние антропоиды и эмбритоподы. Род *Gigantochersina* монотипичен. Другие два вида тестудинид из Файюма относятся к различным родам: *Testudo isis* — скорее всего, к группе *Kansuchelys-Stylemys* (шестигранные невральные с короткими передне-боковыми сторонами), *T. beadnelli*, вероятно, близок к *Ergilemys meschethica*.

### Род *Ergilemys* Čkhikvadze, 1972

Ранее к данному роду я относил [8] большинство ископаемых гигантских тестудинид Евразии. Однако в результате новой ревизии систематического положения отдельных видов уточнен состав рода *Ergilemys*: *E. insolitus*, *E. saikanensis*, *E. yunnanensis*, *E. vialovi*, *E. bruneti*, *E. ginsburgi*, *E. meschethica*, ?*E. beadnelli*. Выяснилось также, что ряд неогеновых гигантских тестудинид Западной Европы принадлежит к роду *Centrochelys*.

### Род *Centrochelys* Gray, 1872

Типовой вид — *Testudo sulcata* Miller, 1779; современный, Африка южнее Сахары, от Сенегала до Эфиопии.

**Диагноз.** Цервикальный щиток отсутствует. Невральных пластинок, по-видимому, всегда восемь. Формула невральных обычно 4:8:4:8:4:6:6:6 (*C. sulcata*) или в виде исключения — (bolivari) 4:8:4:8:4:8:6 [9], что маловероятно из-за указанных здесь всего семи невральных (ошибка при реконструкции?). Купол карапакса слабо или, возможно (?), умеренно выпуклый. Задне-верхний угол контура эпипластрального симфиза образует, как правило, довольно глубокий и широкий карман. Контур переднего края эпипластральной губы и положение заднего края интергулярных щитков относительно энтопластрона значительно варьируют. Однако обычно интергулярные щитки не достигают энтопластрона. Нижняя поверхность передней доли пластрона, по-видимому, всегда горизонтальная, не приподнята вверх. На верхней стороне пластрона имеются гребни (место прикрепления связками нижнего конца лопатки), которые с поверхности энтопластрона переходят и на эпипластроны. Имеютсяrudименты каудальных щитков.

**Сравнение.** *Centrochelys* отличается от черепах род *Geochelone* sensu stricto перечисленными в диагнозе признаками. Исключение составляет формула невральных, которая у этих родов идентична и имеет, по-видимому, более или менее одинаковые варианты отклонений. К роду *Centrochelys* я отнесу гигантских черепах миоцен и плиоцен Испании и Франции (группа *bolivari*, *richardi*, *perpiniiana*), раннего миоцен Африки (*T. crassa*) и новый вид *C. natadzei* sp. nov. из мэотиса Восточной Грузии.

### Род *Hesperotestudo* Williams, 1950

Типовой вид — *Testudo osborniana* Hay, 1904. Северная Америка, Колорадо. Верхний миоцен, барстов.

К данному роду следует относить только виды группы *campester* (*campester series*=*Hesperotestudo* sensu stricto). Род *Hesperotestudo*, скорее всего, происходит от каких-то позднеолигоценовых или раннемиоценовых

представителей рода *Ergilemys*. В Азии род *Hesperotestudo* представлен миоценовым *H. paraskivi* (Kusnetzov, 1972) из Северного Приаралья. Здесь уместно отметить, что вымершие тестудиниды Северной Америки, так называемые "turgida series" [2], сближаемые Ауфенбергом [1] с *Protestudo kalganensis* (Монголия), а также тестудиниды "campester series" [2], сближаемые мною с *Hesperotestudo paraskivi*, имеют, несомненно, азиатское происхождение. Первое их появление в Северной Америке практически совпадает с установленным проходезом наземных млекопитающих в миоцене.

Приведенные данные о гигантских черепахах Старого Света служат новым подтверждением мнения о том, что центром возникновения многих доминирующих групп наземных животных является Азия, а также то, что Берингия и Балкано-Кавказская суши сыграли важную роль в проходезах азиатских черепах в Северную Америку, Западную Европу и Африку.

Академия наук Грузинской ССР

Институт палеобиологии  
им. Л. Ш. Давиташвили

(Поступило 31.12.1987)

კალიოპიოლოგია

ვ. ჩხიტვაძე

აზიის, ევროპისა და აფრიკის მისამართ გიგანტურ ხელფეთის  
კუთა სისტემატიკური აღგილის შესახებ

რეზიუმე

მოცემულია ახალი გვარის *Gigantochersina* დახმაითება. ნაჩვენებია, რომ და-  
სავლეთ ევროპის მიო-პლიოცენური გიგანტური ტესტუდინები ეკუთხიან გვარ  
*Centrochelys*-ს და რომ, ჩრდილოეთ მმერქის გიგანტურ ხელფეთის კუთა დიდი  
ნაწილი აზიური ჭარმოშობისაა.

PALAEOBIOLOGY

V. M. CHKHIKVADZE

## ON THE SYSTEMATIC POSITION OF TERTIARY GIANT LAND TORTOISES FROM ASIA, EUROPE AND AFRICA

Summary

A taxonomic characteristics of *Gigantochersina gen. nov.* is presented. The Miocene and Pliocene giant *Testudinidae* from Western Europe of the *Testudo bolivari-perpiniana* type have been related to the genus *Centrochelys*. North-American species of the "turgida" type originated from *Protestudo alba-kalganensis*, whereas the species of the "campester" type took their origin from *Hesperotestudo paraskivi*.

ლიტერატურა — ЛИТЕРАТУРА — REFERENCES

1. W. Auffenberg. Bull. Florida State Mus., biol. ser., vol. 18, № 3, 1974, 121—251.
2. F. de Broin. Mem. du Mus. nat. d'Hist. natur., ser. C., t. 38, 1977, 1—366.
3. Ch. R. Crumly. The evolution of land tortoises (family Testudinidae). Newark, 1984, 1—205.
4. P. A. Meylan, W. Auffenberg. The Pliocene Site of Laetoli, Northern Tanzania. Oxford, 1987, 62—78.
5. В. М. Чхиквадзе. Исследование черепах Кавказа и Северного Причерноморья. Тбилиси, 1983, 1—149.
6. Ch. W. Andrews. A descriptive catalogue of the tertiary vertebrata of the Fayum; Order Chelonia. London, 1906, 275—306.
7. В. М. Чхиквадзе. Палеонтол. сб. (Львов), № 21, 1984, 74—78.
8. В. В. Кузнецов. Изв. АН КазССР, сер. биол., № 1, 1972, 44—50.
9. J. Royo Gomes. Bol. R. Soc. Espanola Hist. Natur., t. 35, 1935, 463—486.

ЭКОНОМИКА

Г. Г. ЧАРАЕВ

ВЫДЕЛЕНИЕ ПРЕДШЕСТВЕННИКОВ И ПРЕЕМНИКОВ  
 СЕЛЬХОЗКУЛЬТУР МЕТОДАМИ ЛИНЕЙНОГО  
 ПРОГРАММИРОВАНИЯ

(Представлено академиком В. В. Чавчанидзе 28.7.1988)

Рассмотрим задачу, исходя из явного задания структуры севооборота. Пусть хозяйство содержит  $m$  участков земли, площадью  $S_i$ ,  $i=1, \dots, m$ , отличающихся природными условиями, составом возделываемых культур, и, следовательно, структурой севооборота.

Для каждого  $i$ -го участка,  $i=1, \dots, m$ , известна структура севооборота, заданная циклическим графом  $G_i$ . Все графы такого вида образуют взвешенный многосвязный циклический граф  $G = \bigcup_{i=1}^m G_i$ , соответствующий структуре данного хозяйства.

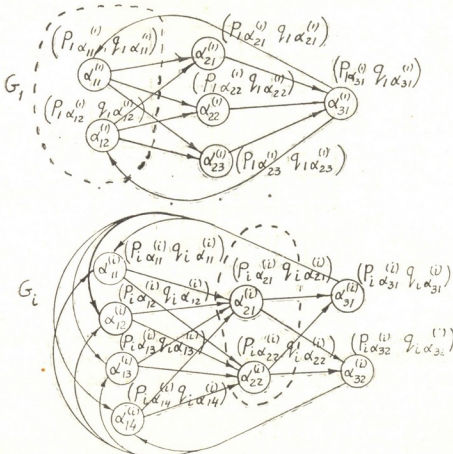


Рис. 1. Граф культур-предшественников и преемников

Здесь каждой вершине  $\alpha_{\mu\nu}^{(i)}$  соответствует культура, где  $\mu$  -- ее вид (ярус вершины в графе  $G_i$  указывает на последовательность 28. „მთავრობა“, გ. 133, № 2, 1989

в севообороте). Вид это, например, зернобобовая, пропашная, пар и др. Индекс  $v$  соответствует конкретному наименованию культуры  $\mu$ -го вида. Таким образом, распределение вершин по ярусам в каждом подграфе  $G_i$  соответствует последовательности видов культур в структуре севооборота на  $i$ -м участке, а вершины внутри одного яруса соответствуют конкретным культурам определенного вида, культивируемым на данном участке.

Для каждой культуры  $\alpha_{\mu v}^{(i)}$  предполагаются известными (на основе опыта возделывания) значения  $P_i$ ,  $\alpha_{\mu v}^{(i)}$  средней прибыли с 1 га  $i$ -го участка и  $q_i$ ,  $\alpha_{\mu v}^{(i)}$  урожайности с 1 га  $i$ -го участка. Эти значения указаны как веса вершин в графе  $G$ .

Считаем, что для предстоящего цикла расчета известны предшественники культуры, выращенные последними на каждом участке.

Зная культуры-предшественники для каждого участка, можно по подграфам  $G_i$ ,  $i=1, \dots, m$  найти множество культур, являющихся потенциальными кандидатами на последующее возделывание (на рис. 1 обведены пунктиром).

Если графу  $G_i$ ,  $i=1, \dots, m$  поставить в соответствие треугольную бинарную матрицу следования  $G_i$  (отражающую один цикл севооборота, например рис. 2), то, вычерчивая строки и столбцы, соответствующие предшественникам и выше, находим это множество культур, соответствующих множеству нулевых строк — входов III.

$\alpha_r$							
$\alpha_{i2}$							
$\alpha_{i3}$							
$\alpha_{i4}$							
$\alpha_{21}^{(i)}$	1	1	1	1			
$\alpha_{22}^{(i)}$	1	1	1	1			
$\alpha_{31}^{(i)}$					1	1	
$\alpha_{32}^{(i)}$					1	1	

Рис. 2. Бинарная матрица следования

Объединим по всем графикам  $G_i$  выделенные культуры и с учетом одноименных образуем объединенное множество  $B = \{\beta_j\}$ ,  $j = 1, \dots, n$  культур, которое и будем рассматривать как потенциальных представителей для возделывания на комплексе участков данного хозяйства в соответствии со структурой севооборота.

Тогда для каждой культуры  $\beta_j$  в соответствии с вышесказанным известны значения  $P_{ij}$  и  $q_{ij}$ . Если культура  $\beta_j$  в соответствии со структурой севооборота не подлежит рассмотрению при использовании участка  $i$ , то  $P_{ij} = q_{ij} = 0$ .

Пусть заданы множества возможных ограничений, определяющих различные варианты решения задачи об оптимальном севооборо-

те. Такими ограничениями могут быть: 1) на минимальную прибыль  $P_j$  от возделывания  $j$ -й культуры; 2) на минимальный урожай  $Q_j$   $j$ -й культуры; 3) на максимальную суммарную площадь  $S_j$ , отводимую для каждой или части культур.

Пусть  $0 \leq X_{ij} \leq 1$  часть площади  $S_i$ ,  $i = 1, \dots, m$ , занятой  $j$ -й культурой,  $j = 1, \dots, n$ . Тогда основная задача оптимального севооборота формулируется: выделить подмножество множества  $A = \{a_j\}$ ,  $j = 1, \dots, n$  культур в соответствии со структурой севооборота каждого  $i$ -го участка,  $i = 1, \dots, m$  и закрепить за  $j$ -й культурой площадь  $S_i X_{ij}$   $i$ -го участка так, чтобы максимизировать прибыль

$$\sum_{j=1}^n \sum_{i=1}^m P_{ij} \cdot S_i \cdot X_{ij} \rightarrow \max \quad \text{при ограничениях}$$

$$1. \sum_{i=1}^m P_{ij} \cdot S_i \cdot X_{ij} \geq P_j, \quad j = 1, \dots, n;$$

$$2. \sum_{i=1}^m q_{ij} \cdot S_i \cdot X_{ij} \geq Q_j, \quad j = 1, \dots, n;$$

$$3. \sum_{i=1}^m S_i \cdot X_{ij} \leq S_j, \quad j = 1, \dots, n;$$

$$4. \sum_{j=1}^m X_{ij} = 1, \quad i = 1, \dots, m;$$

$$5. X_{ij} \geq 0, \quad i = 1, \dots, m; \quad j = 1, \dots, n.$$

Это классическая задача линейного программирования, метод решения которой входит в состав программного обеспечения современных ЭВМ.

Горийский экономический институт

(Поступило 15.9.1988)

#### Печатается

8. Кирсанов

СОЛНЦЕВОДСТВО-СЕВООБОРТОВЫЕ КОМПЛЕКСЫ И УСЛОВИЯ ИХ ПРИМЕНЕНИЯ  
СОВРЕМЕННЫХ УСЛОВИЙ

69 № 07 89

Научный редактор **Шеметова Альбина Романовна**  
отв. редактор **Городницкая Елена Геннадьевна**  
зам. ответственного редактора **Григорьев Юрий Георгиевич**  
редакторы **Ляшко Елена Геннадьевна**, **Ляшко Елена Геннадьевна**, **Симонова Елена Геннадьевна**  
художник **Борисов Юрий Григорьевич**  
издательство «Горийское» РГП «Горийский полиграфический комбинат»  
Брестская область, 210010 г. Брест, ул. Свободы, 16

G. G. CHARAEV

## SELECTION OF FORERUNNERS AND SUCCESSORS OF AGRICULTURAL CROPS BY THE METHOD OF MATHEMATICAL PROGRAMMING

### S u m-m a r y

The paper discusses selection of recommended agricultural crops to be sown based on the method of mathematical programming. Knowing the profit and yield capacity for each earlier sown crop, it is possible to identify the crops recommended for sowing according to the principle of maximal profit.

### СПИСОК СОЧИНЕНИЙ — ЛИТЕРАТУРА — REFERENCES

1. А. Б. Барский. Планирование параллельных вычислительных процессов. М., 1980.



## ИСТОРИЯ

П. Р. РАМИШВИЛИ

### О СТРУКТУРЕ ВОЗРАСТНЫХ ГРУПП ДЕЛОВЫХ ЛЮДЕЙ «КАППАДОКИЙСКИХ» ТАБЛИЧЕК

(Представлено академиком Г. А. Меликишвили 19.10.1988)

«Каппадокийский» клинописный текст из Каниша/Кюль-тепе (Турция), KTS 15, датируемый началом II тысячелетия до н. э., содержит весьма интересные данные, согласно которым можно высказать предположение о структуре возрастных групп деловых людей не только Каниша, но и всей Центральной Анатолии указанной эпохи.

Текст является письмом, которое АмурИли, автор KTS 15, адресует своему родному отцу — ИмдИлуму, крупному оптовику, главе ашшурской семейной торговой общине в Канише [1]. Содержание письма заключается в следующем: АмурИли оправдывается перед отцом, который обвиняет сына в денежной махинации. Конкретно речь идет о недостаче 10 мин (т. е. 5050 г) серебра, обнаруженной отцом. Однако АмурИли считает отцовские обвинения совершенно необоснованными. Из письма становится ясным, что утаение определенных денежных сумм со стороны сыновей неоднократно имело место в ашшуро-канишской международной торговле, за что отцы строго карали как нечестных сыновей, так и всех остальных людей, повинных в этом поступке (подразумеваются родичи, компатриоты и др.), — их проклинали перед богами. АмурИли особенно возмутило то, что отец сравнил его с теми «нечестными», которые то и дело «гневили сердца отцов» подобными поступками. Свое оправдание АмурИли заканчивает впечатляющими словами: «С делами такими Ашшур и пламенная Иштар да не сведут меня!».

Наше внимание особо привлекают строки 28—34 письма, из которых как будто можно сделать вывод о наличии структуры иерархии возрастных групп среди деловых людей канишского общества:

“... (28) i-nu-mi ša-ab-ru-ku-ni-ma a-a-e (29) lá a-ra-du-ú i-re-es<sub>15</sub>-ká (30)  
a-zí-zu ma-tí-ma ba-za-am u ší-lá-tám (31) lá ar-ší u-ma-am a-na-ku (32) a-na  
a-ḥi-ká ša-ab-ri-im ša (33) ki-na-tim-ma a-tù-gu-ma (34) ú we-dí a-wi-lu-tú  
ni-a-tí-i...”

«...(28) Когда я был мал и ничего (29) не сопровождал, я всегда к твоим услугам (30) оставался. (Ни) запросов и (ни) мерзостей (31) не желал. Теперь я (32) в твоего младшего брата (33) на самом деле превратился, (34) а мы ведь знатные люди...»

Предполагаем, что в приведенном отрывке отображена ступенчатая последовательность возрастных групп деловых людей Каниша. В развитии этих групп, исходя из KTS 15, можно выделить три этапа.

Начальный этап — это период, когда человек по возрасту «был мал», т. е. являлся «маленьким, малым» (по всей вероятности, это

были дети до десяти-двенадцати лет). Из рядов таких «малых» происходили так называемые *შუბაგი* — цухару, «малые», из числа которых постепенно пополнялся подсобный персонал многочисленных торговых объединений [2].

Согласно многочисленным документам, «малые» с детства принимали активное участие в жизни семейных торговых общин, выполняя в начале их трудовой деятельности незначительные поручения хозяев, находясь в основном на побегушках. «Малых» еще не включали в составы караванов, следовавших дальними маршрутами, что подтверждается и словами АмурИли из вышеприведенного отрывка (сткк. 28—29): «Когда я был мал и ничего не сопровождал...». Позже, с 12—15 лет, нагрузки «малых» росли и уже, сопровождая караваны, они перевозили различные грузы или выполняли разные поручения на местах. Иногда им доверяли даже маленькие денежные операции и доставку писем или деловых документов [3].

«Малые» представляли начальную (низшую) ступень в деятельности торговых общин. Они с детства постигали суть большого бизнеса оптовой торговли. Дальнейшее их продвижение по служебной иерархической лестнице всесело зависело от личных достоинств самих «малых». Хозяева предпочтение отдавали тем, кто выделялся трудолюбием, исполнительностью, честностью и другими положительными качествами, столь необходимыми в сложном процессе международной торговли. Не обладавшие же этими качествами навсегда оставались «малыми», хотя их возраст отнюдь не соответствовал их названию (такие «малые» имели семьи, хозяйства и др.).

Следующий этап в структуре возрастных групп деловых людей, судя по рассматриваемому нами тексту, представляли «братья» (по-аккадски *ابو*). Исходя из содержания второй части вышеприведенного отрывка KTS 15 (сткк. 31—33), где АмурИли пишет: «Теперь я в твоего младшего брата на самом деле превратился...», «братья» явно стоят выше «малых». По данному контексту, АмурИли является уже не «малым», а «братьем» (притом «младшим»), самостоятельно ведущим торговые дела и с чувством достоинства подчеркивающим свой статус «младшего брата», хотя он обращается к родному отцу. Это, полагаем, весомое доказательство того, что «братьев» следует рассматривать как среднюю ступень в иерархии торговой деятельности интересующих нас людей. Исходя из факта, согласно которому АмурИли называет себя «младшим братом», можно допустить существование и «старших братьев», хотя прямыми указаниями деления «братьев» на «младших» и «старших» пока не располагаем.

Нельзя оставить без внимания последнюю фразу АмурИли, которой заканчивается приведенный нами отрывок (стк. 34): «...а мы ведь знатные люди!» АмурИли не без основания считал, что в социальном отношении он с отцом принадлежал к «знатным людям». Семья ИмдИума, в которую, кроме АмурИли, входили еще «Пузур-Иштар-сын и дочь ИштарБашта, являлась одной из крупнейших по состоянию и престижных по положению. Она получала львиную долю прибыли в малоазиатской международной торговле. И несмотря на

«знатность», ИмДИлум, строго следуя законам бизнеса, заставил сына АмурИли начать свою деятельность с самых низов, ради профессионального постижения всех сложностей торгового дела.

Можно предположить, что после накопления опыта, а также большого состояния, следовательно, достижения высокого положения в обществе, «братья» превращались уже в «отцов» и, тем самым вступали на наивысшую ступень иерархии возрастных групп деловых людей. Мудрые, прозорливые «отцы» решали любые архисложные проблемы, связанные с вопросами различных торговых операций. Кроме ИмДИлума, в «каппадокийских» таблицах упомянуты и другие «отцы» семейных торговых объединений, успешно ведшие широкомасштабные дела. Например, Пушукен вместе с супругой, дочкой, четырьмя сыновьями, зятьями и другими родичами умело руководил своим родовым торговым объединением на протяжении нескольких десятилетий [4].

Структура иерархии возрастных групп деловых людей, выявленная на примере отрывка письма KTS 15, схематично будет выглядеть так: малые — братья (младшие/старшие) — отцы. Такая структура отображала не только возрастную стратификацию, но и, видимо, существовавшую служебную иерархию в процессе деятельности торговцев эпохи «каппадокийских» табличек. К сожалению, KTS 15 — единственный пока текст, содержащий интересующие нас сведения. Однако полагаем, что детальное изучение в будущем многочисленных «каппадокийских» документов выявит новые данные в пользу интересующего нас предположения.

Академия наук Грузинской ССР

Институт истории,  
археологии и этнографии  
им. И. А. Джавахишвили

(Поступило 20.10.1988)

ისტორია

### პ. რამიშვილი

საქართველოს ხალხის ასაკობრივი ჯგუფების სტრუქტურა „კაპადოკიური“  
ფირფიტების მიხედვით

### რეზიუმე

„კაპადოკიური“ ლურსმული ტექსტი KTS 15 ქანესიდან (ქიულ-თევე, თურქეთი), თარიღდება II ათასწლეულის დასწყისით ჩვ. წ. აღ-მდე და შე-იცავს უაღრესად საინტერესო მონაცემებს, რომელთა მიხედვით დამაჯერებლად იკვეთება როგორც საკუთრივ ქნესის, ისე ზემოაღნიშნული ეპოქის მთელი ცენტრალური ანატოლიის საქმიანი ხალხის ასაკობრივი ჯგუფების სტრუქტურა. ეს სტრუქტურა ასახვდა არა მხოლოდ ასაკობრივი სტრატიფიკაციას, არამედ როგორც განხილული ტექსტიდან ჩანს, „კაპადოკიური“ პე-რიოდის ვაჭრების საქმიანობაში არსებულ სამსახურებრივ იერარქიასაც.

P. R. RAMISHVILI

ON THE STRUCTURE OF THE AGE GROUPS OF BUSINESSMEN  
 ACCORDING TO CAPPADOCIAN TABLETS

## Summary

The Cappadocian cuneiform text KTS 15 from Kaniš/Kultepe (Turkey) dates back to the beginning of the 2-nd millennium B. C. It contains extremely interesting data convincingly accounting for the structure of relations among the age groups of businessmen not only in Kanis but in Central Anatolia in the above-mentioned epoch. On the basis of the investigated data it can be assumed that the text reflects the age stratification together with the existing trade hierarchy among the merchants in the period of Cappadocian tablets.

## ЛІТЕРАТУРА — REFERENCES

1. M. Ichisar. Les Archives Cappadociennes du Marchand Imdilum. Paris, 1981, 17.
2. П. Р. Рамишвили. Сведения «каппадокийских» документов о купле-продаже «цухарумов». Археологические изыскания. Тбилиси, 1986.
3. Н. Б. Янковская. Клинописные тексты из Кюль-тепе. М., 1968, 50.
4. M. T. Larsen. The Old Assyrian City-State and its Colonies. Copenhagen, 1976, 82.

6. ცულავა

ფიგულები ცხეთის ანტიკური ხანის სამაროვალი

(წარმოადგინა ეკადემიის წევრ-კორესპონდენტმა ო. ჭავჭაძიძე 21.4.1988)

1962 წ. ლეჩხუმში — სოფ. ცხეთაში გათხრილი ანტიკური ხანის 15 ორ-მსამარხის მრავალფეროვანი სამარხეული ინვენტარიდან, რომელიც წარმო-დგენილია სამკულით (სამაჯურები, საყურები, მძივები და სხვ), ტანსა-ပ-მელთან დაკავშირებული ნივთებით (ფიბულები, ქინძისთავები, აბზინდები), საბრძოლო და სამეურნეო იარაღით (შუბისპირები, დანები, სალესები) და თიხის ჭურჭელით, განსაკუთრებულ ყურადღებას იპყრობს ფიბულები.

ექვს სამარხში მოპოვებული ათ ფიბულიდან შეიძლება ოთხი ტიპის გამოყოფა: 1. ბუდებამული; 2. მკეთრადპროფილირებული; 3. რკალისებუ-რი ფიბული სახსრიანი შესაკრავით; 4. მინანქრიანი ფიბული.

ბუდებამული ფიბულებიდან ერთი მთლიანია (№ 2 სამარხი), ხოლო და-ნარჩენი ფრაგმენტებია (№№ 2, 10, 14 სამარხი).

№ 2 სამარხში აღმოჩენილი ბუდებამული ფიბული (სურ. 1) ბრინჯაოსად, მუხლუმბარიანი, ქვედა უღლით, ორწილადი; თანაბრად მორკალული მშვილ-დი ოთხუთხაგნივეკეთიანი და ბრტყელია. მშვილს ზემოდან (ზამბარიდან ცხვირამდე) გადაფარებული აქვს ბრინჯაოს თხელი ლენტი, რომლის დანი-შნულებაც გაურკვეველია: მას ან შემამკობელი ფუნქცია ექისრა, ან ზამბა-რის მუშაობას აუმჯობესებდა. ფიბულის სიგრძეა 65 მმ.

ფრაგმენტებით წარმოდგენილი ბუდებამული ფიბულებიც ორწილადია, ოლონდ მშვილდის შემალებული ადგილი მუხლისკენაა. არის როგორც ბრინჯაოსი, ისე რკინისა (სურ. 2, 3).

ამგვარად, ცხეთის სამაროვნის ბუდებამული ფიბულებში შეიძლება ორი ვარიანტის გამოყოფა — თანაბრადმორკალული მშვილდით და მკეთრად-მორკალული მშვილდით.

ორწილადი ბუდებამული ფიბულების წარმოება დას. საქართველოში IV საუკუნიდან დაიწყეს, ხოლო ბრინჯაოსა და რკინის ეგზემპლარების თანაარსე-ბობა მიუთითებს დამზადების ტექნიკის სწრაფ ათვისებაზე ადგილობრივ [1].

№ 2 სამარხის ბუდებამული მშვილდისებური ფიბულის ზუსტი ანალოგია ვერც ჩევნში და ვერც ჩრდ. შავიზღვისპირებში ვერ მოვიძეოთ, მიუხედავად იმისა, რომ ჩრდ. შავიზღვისპირების II—III სს-ით დათარიღებულ კომპლექ-სებში ამ ტიპის ფიბულები დიდი რაოდენობითაა წარმოდგენილი (ნეაპოლი, ქერსონესი, ფანაგორია, ბერზენი). მსგავსი ფიბულები არის რუმინეოშიც და ემთხვევა იქ სარმატების შეღწევის და განსახლების არეალს [2].

ფრაგმენტებით წარმოდგენილი ორწილადი ფიბულების ანალოგები კი არის როგორც დას. საქართველოს, ისე აღმ. საქართველოს ძეგლებში (წებელ-და, სამთავრო, ურბნისი და სხვ.).

ცხეთის სამაროვნის სამარხები, რომლებშიც ბუდებამული ფიბულებია მო-პოვებული, თანმხლები მასალის გათვალისწინებით შესაძლებელია დავთარი-ღოთ ას. წ. IV საუკუნის I ნახევრით.

შეკვეთრადპროფილირებული შავიზლვისპირული ტიპის ფიბულები წარმოდგენილია ერთი მთლიანი ნიმუშით (№ 1 სამარხი) და სამი ფრაგმენტებად ქცეული ფაბულით (№№ 1 და 2 სამარხი).

ფიბულები ბრინჯაოსია, ერთშისამა, შეკვეთრადპროფილირებული (შეკვეთრად გაღუნული) შშვილდი ბოლოვდება რელიეფური ირგვლივ სარტყლით, რომელიც გადადის მძივისებური შევრილით თავშემცულ ბრტყელ, მაღალ და გირშო შესაქრავში. მუხლზამბარიანია (ზამბარა შედგება რამდენიმე ხვიისაგან), ქვედა უღლით.

რამდენადმე განსხვავებულია № 2 სამარხის ფრაგმენტებადაქცეული პატარა ფიბულა — მას მშვილდი ბრტყელი და განიერი აქვს (სურ. 6). ზომები მერყეობს 20—35 მმ ზორის (სურ. 4, 5, 7).

საქართველოში ამგვარი ფაბულების ოღმოჩენის მხოლოდ ორი ფაქტია ჭერჭერობით ცნობილი: მცხეთისგრძის სამაროვანზე IV—V სს-ით დათარიღებულ ქაუყუთში [3] და სოხთაში, გვიანნტიქური ხანის ორმოსამარხში [4]. დასავლეთ საქართველოდან ამგვარი ფიბულები დღემდე ცნობილი არ იყო.

№ 1 სამარხის ორივ ფიბულა (სურ. 4, 5) და № 2 სამარხის ერთი ფიბულა (სურ. 7) ტიპოლოგიურად განკუთვნება ჩრდ. შავიზლვისპირების შეკვეთრადპროფილირებული ფიბულების ტიპს, რომელთაც არ გააჩნიათ კაუჭი საყრდენისათვის. ამგვარი ფიბულების გავრცელების ქრონოლოგიური ჩარჩოები ახ. წ. II—III სს. და ოღმოჩენილია სამხრ. ოსეთში, ჩრდ. კავკასიში, ჩრდ. შევიზლვისპირებში [2].

№ 2 სამარხის ფრაგმენტებად ქცეული მკვეთრად პროფილირებული პატარა და ბრტყელმშვილდიანი ფიბულის მსგავსი არის ჩრდ. კავკასიის მასალებში [2], ჩვენთან კი მათი ოღმოჩენის ფაქტი ჭერჭერობით უცნობია.

შეკვეთრადპროფილირებული ტიპის ფიბულების შემცველ სამარხებს ვათარიღებთ ახ. წ. III ს. და IV ს. დასტურისთ.

აქვე გვინდა ხაზგასმით აღვნიშნოთ ბუდებმშელი და მკვეთრადპროფილირებული ფიბულების სამარხებში (№№ 1 და 2) თანაარსებობის ფაქტი, რაც საშუალებას გვაძლევს კიდევ უფრო დაგაზუსტოთ ქრონოლოგიური ჩარჩოები.

„ავცისას“ მსგავსი პროვიული ტიპის მუხლსახსრიანი ფიბულა (№ 5 სამარხი) რკინისაა, ბრტყელი და განიერი მშვილდი ბოლოვდება ჭიკარტისებური შევრილით, რომლის ქვემოთაც ჩამოშვებულია მილაქისებურად თავშეხვეული ბრტყელი ბუდე ნემსისათვის. ფიბულის სიგრძეა 50 მმ.

ამგვარი ფიბულები ჩვენში აღმოჩენილია დას. საქართველოში, სოფ. ლიასთან გათხრილ I—II სს-ით დათარიღებულ ოღმოსამარხებში [5]. ცნობილია სამხრ. ოსეთიდან [6], ჩრდ. კავკასიდან, ჩრდ. შავიზლვისპირებიდან [2].

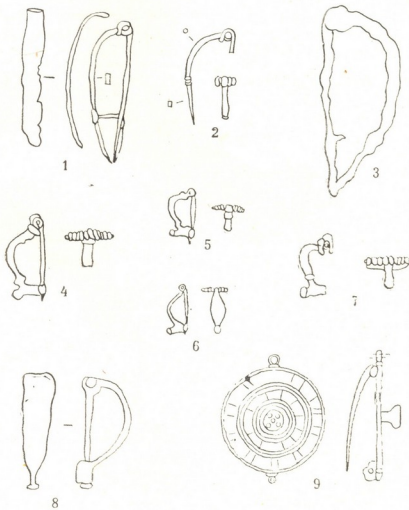
ჩვენი ფიბულის ზუსტ ანალოგიად მიგვაჩნია მინგეჩაურის შევერსამარხის ფიბულა [7]. № 5 სამარხს ახ. წ. I—II სს-ით ვათარიღებთ.

მინანქრიზ შემკული ბრინჯაოს ფიბულა (№ 15 სამარხი) წარმოადგენს მრგვალ გულსაბნევს ორსაყრდენიანი სახსრიანი შესაქრავით. მისი ფარაკი შემკულია ლურსმნისთავის მსგავსი, თეთრი მინანქრიზ შევსებული შევრილით და ფერადი (ლურჯი, მწვანე, წითელი, თეთრი) მინანქრის ნაჭრებით შედგენილი კონცენტრული სარტყლებით. ფაბულის ფარაკის დიამეტრია 56 მმ.

საქართველოში ამ ტიპის მინანქრიანი ფიბულები აღმოჩენილია კლდევთში, აღმაზისევეში, მცხეთაში, სოხთაში, კიკეთში, სტრიფაზში, მაგრამ ცხეთის ფიბულის ზუსტ ანალოგიას არც ერთი არ წარმოადგენს. ჩვენი ფიბულა მეტ მსგავსებას ამჟღავნებს ჩრდ. კავკასიში (კამუნთა, კუშჩულთა) აღმოჩენილ ამ ტიპის მრგვალ ფიბულებთან [8].

მინანქრიანი ფიბულები აღმოჩენილია ჩრდ. შავიზღვისპირეთშიც [2].

მინანქრიანი ფიბულების გავრცელების არეალი საქმაოდ ვრცელია — დასაულეთ ევროპიდან მოყოლებული ჩრდ. კავკასიამდე. მათი წარმოების ცენტრიად ბელგიის გალია ითვლება, სადაც სახელოსნოც კი არის აღმოჩენილი — ვილა ანტე. ჩრდ. კავკასიაში მოპოვებული მინანქრიანი გულსაბჭევების გალიურ წარმოშობაზე მიუთიებს მათი დუბლიკატების არსებობა ნამიურისა და სენტერმენის მუზეუმებში. III ს-ის მეორე ნახევარში ანტეს სახელოსნო წყვეტს არსებობას ფრანგების თავდასხმების გამო [9]. ყოველივე ზემოთ აღნიშნულის შედეგად ცხეთის სამაროვნის მინანქრიანი ფიბულაც (და № 15 სამარხიც) ახ. წ. II—III სს-ით უნდა დავათარილოთ.



სურ. 1

ამგვარად, ცხეთის სამაროვანის მარტო ფიბულებზე დაკვირვებაც კი შესაძლებელს ხდის დაცანახოთ ლეჩხუმის (მთიანი კოლხეთის ერთ-ერთი რეგიონის) შეიძრონ კავშირი არამარტო აღმოსავლეთ და დასავლეთ საქართველოს თანადროულ მატერიალური კულტურის ძეგლებთან, არამედ მეზობელ ქვეყნებთან (ჩრდ. კავკასია, ჩრდ. შავიზღვისპირეთი) ინტენსიური ურთიერთობაც.

საქართველოს სსრ სეცენტრებათა აკადემია  
ივ. კავახაშვილის სახ. ისტორიის, არქეოლოგიისა და  
ეთნოგრაფიის ინსტიტუტის  
არქეოლოგიური კულევის ცენტრი

Н. О. СУЛАВА

## ФИБУЛЫ ЦХЕТСКОГО МОГИЛЬНИКА АНТИЧНОГО ВРЕМЕНИ

## Резюме

Фибулы (10 шт.) Цхетского могильника (Лечхуми, Зап. Грузия) представлены четырьмя типами: 1) подвязные двуцветные; 2) сильно профилированные одночленные причерноморских типов; 3) шарнирная дуговидная фибула провинциального типа; 4) фибула-брошь с эмалью.

Такое разнообразие фибул на одном могильнике редкое и интересное явление. Фибулы дают возможность точно датировать погребения (№№ 2, 10, 14—I пол. IV в. н. э., № 1—III в. или I пол. IV в. н. э., № 5—I—II вв. н. э., № 15—I—III вв. н. э.) и указывают не только на связь с материальной культурой Восточной и Западной Грузии, но и на взаимоотношения с Северным Кавказом и Северным Причерноморьем.

## ARCHAEOLOGY

N. O. SULAVA

## FIBULAE FROM THE TSKHETA ANTIQUE AGE CEMETERY

## Summary

Ten fibulae discovered at the Tskheta cemetery (western Georgia) are represented by four types: 1. two-piece fibula with tied-up catchplate; 2. one-piece fibula of the Black Sea type with strongly articulated bow; 3. hinged arched fibula of the provincial type; 4. brooch fibula with enamel inlays.

Such a diversity of fibulae at one cemetery is a rare and interesting occurrence. The fibulae enable precise dating of burials (No 2, 10, 14—the first half of the 4th c. A. D.; No. 1—the 3rd or the first half of the 4th c. A. D.; No. 5—the 1st-2nd cc. A. D.; No. 15—the 2nd-3rd cc. A. D.) With regard to material culture they point not only to close relation with eastern and western Georgia, but to interrelationship with Northern Caucasus and northern coast of the Black Sea.

## ლიტერატურა — ЛИТЕРАТУРА — REFERENCES

1. ნ. აფხაზი ადრეული შუასაუნების ძემოსავლეთ საქართველოს ნივთიერი კლ-ტურა. თბილისი, 1979.
2. А. К. Амбров. Фибулы Юга европейской части СССР, САИ, вып. Д1—30, М., 1966.
3. გ. ნიკოლაიშვილი, გ. გიუნაშვილი, ნ. ღლონტი. მცხეთისგორის სამართვი, მცხეთა, VII. თბილისი, 1985.
4. А. Х. Сланов. ПАИ в 1976 г. Тбилиси, 1979.
5. ლ. ჭითლაბაძე. ძეგლის მეგობარი, 33, 1973.
6. Р. Х. Гаглоев. ПАИ в 1975 г., Тбилиси, 1979.
7. С. М. Казиев. О двух кувшинных погребениях. МКА, II. Баку, 1951.
8. П. С. Уварова. Могильники Северного Кавказа, МАК, VIII. СПб., 1900.
9. М. К. Тенишева. Эмаль и инкрустация, Seminarium Kondakovianum. Прага, 1930.





## К СВЕДЕНИЮ АВТОРОВ

1. В журнале «Сообщения АН ГССР» публикуются статьи академиков, членов-корреспондентов, научных работников системы Академии и других ученых, содержащие еще не опубликованные новые значительные результаты исследований. Печатаются статьи лишь из тех областей науки, номенклатурный список которых утвержден Президиумом АН ГССР.

2. В «Сообщениях» не могут публиковаться полемические статьи, а также статьи обзорного или описательного характера по систематике животных, растений и т. п., если в них не представлены особенно интересные научные результаты.

3. Статьи академиков и членов-корреспондентов АН ГССР принимаются непосредственно в редакции «Сообщений», статьи же других авторов представляются академиком или членом-корреспондентом АН ГССР. Как правило, академик или член-корреспондент может представить для опубликования в «Сообщениях» не более 12 статей разных авторов (только по своей специальности) в течение года, т. е. по одной статье в каждый номер, собственные статьи—без ограничения, а с соавторами—не более трех. В исключительных случаях, когда академик или член-корреспондент требует представления более 12 статей, вопрос решает главный редактор. Статьи, поступившие без представления, передаются редакцией академику или члену-корреспонденту для представления. Один и тот же автор (за исключением академиков и членов-корреспондентов) может опубликовать в «Сообщениях» не более трех статей (независимо от того, с соавторами она или нет) в течение года.

4. Статья обязательно должна иметь направление из научного учреждения, где проведена работа автора, на имя редакции «Сообщений АН ГССР».

5. Статья должна быть представлена автором в двух экземплярах, в готовом для печати виде, на грузинском или на русском языке, по желанию автора. К ней должны быть приложены резюме—к грузинскому тексту на русском языке, а к русскому на грузинском, а также краткое резюме на английском языке. Объем статьи, включая иллюстрации, резюме и список цитированной литературы, приводимой в конце статьи, не должен превышать четырех страниц журнала (8000 типографских знаков), или шести стандартных страниц машинописного текста, отпечатанного через два интервала (статьи же с формулами—пяти страниц). Представление статьи по частям (для опубликования в разных номерах) не допускается. Редакция принимает от автора в месяц только одну статью.

6. Представление академика или члена-корреспондента на имя редакции должно быть написано на отдельном листе с указанием даты представления. В нем необходимо указать: новое, что содержится в статье, научную ценность результатов, насколько статья отвечает требованиям пункта 1 настоящего положения.

7. Статья не должна быть перегружена введением, обзором, таблицами, иллюстрациями и цитированной литературой. Основное место в ней должно быть отведено результатам собственных исследований. Если по ходу изложения в статье сформулированы выводы, не следует повторять их в конце статьи.

8. Статья оформляется следующим образом: вверху страницы в середине пишутся инициалы и фамилия автора, затем—название статьи; справа вверху представляющий статью указывает, к какой области науки относится она. В конце основного текста статьи с левой стороны автор указывает полное название и местонахождение учреждения, где выполнена данная работа.

9. Иллюстрации и чертежи должны быть представлены в двух экземплярах в конверте; чертежи должны быть выполнены черной тушью на кальке. Надписи на чертежах должны быть исполнены каллиграфически в таких размерах, чтобы даже в случае уменьшения они оставались отчетливыми. Подрисуночные подписи, сделанные на языке основного текста, должны быть представлены на отдельном листе. Не следует приклеивать фото и чертежи к листам оригинала. На полях оригинала автор отмечает карандашом, в каком месте должна быть помещена та или

иная иллюстрация. Не должны представляться таблицы, которые не могут уместиться на одной странице журнала. Формулы должны быть четко вписаны <sup>чернилами</sup> в оба экземпляра текста; под греческими буквами проводится одна черта <sup>красным</sup> карандашом, под прописными — две черты черным карандашом снизу, над строчными — также две черты черным карандашом сверху. Карандашом должны быть обведены полуокругом индексы и показатели степени. Резюме представляются на отдельных листах. В статье не должно быть исправлений и дополнений карандашом или чернилами.

10. Список цитированной литературы должен быть отпечатан на отдельном листе в следующем порядке. Вначале пишутся инициалы, а затем — фамилия автора. Если цитирована журнальная работа, указываются сокращенное название журнала, том, номер, год издания. Если автор считает необходимым, он может в конце указать и соответствующие страницы. Список цитированной литературы приводится не по алфавиту, а в порядке цитирования в статье. При ссылке на литературу в тексте или в сносках номер цитируемой работы помещается в квадратные скобки. Не допускается вносить в список цитированной литературы работы, не упомянутые в тексте. Не допускается также цитирование неопубликованных работ. В конце статьи, после списка цитированной литературы, автор должен подписаться и указать место работы, занимаемую должность, точный домашний адрес и номер телефона.

11. Краткое содержание всех опубликованных в «Сообщениях» статей печатается в реферативных журналах. Поэтому автор обязан представить вместе со статьей ее реферат на русском языке (в двух экземплярах).

12. Автору направляется корректура статьи в сверстном виде на строго ограниченный срок (не более двух дней). В случае невозврата корректуры к сроку редакция вправе приостановить печатание статьи или печатать ее без визы автора.

13. Автору выдается бесплатно 25 оттисков статьи.

(Утверждено Президиумом Академии наук Грузинской ССР 10.10.1968; внесены изменения 6.2.1969)

Адрес редакции: Тбилиси 60, ул. Кутузова, 19, телефоны: 37-22-16, 37-86-42,  
37-85-61

Почтовый индекс 380060

Условия подписки: на год — 22 руб. 80 коп.

676/76

ЧАСТЬ 1 856. 90 КОП.  
ЦЕНА 1 РУБ. 90 КОП.

ИНДЕКС 76181

